

بِسْمِ اللّٰهِ الرَّحْمٰنِ الرَّحِیْمِ



Transformation (Data analysis)

سید محمد صادق موحد

دانشکده فیزیک دانشگاه شهید بهشتی

گروه کیهانشناسی محاسباتی و آزمایشگاه میان رشته ای ابن سینا



Outlook:

Transformation: General definition

Fourier Transformation (FT)

General properties of FT

Some subroutines

Nyquist Phenomenon

Phase randomizing (surrogate)

Discrete Fourier Transform

Making filter, Trend and Noise

Detrending and denoising

Beam effect

Singular Value decomposition (SVD)

Intrinsic mode decomposition (IMD)

Principle component Analysis

References:

- [1] Nussbaumer, Henri J., and Henri J. Nussbaumer. The fast Fourier transform. Springer Berlin Heidelberg, 1982.
- [2] Chun-Lin, Liu. "A tutorial of the wavelet transform." NTUEE, Taiwan 21.22 (2010): 2.
- [3] Heckbert, Paul. "Fourier transforms and the fast Fourier transform (FFT) algorithm." Computer Graphics 2.1995 (1995): 15-463.
- [4] Walnut, David F. An introduction to wavelet analysis. Springer Science & Business Media, 2013.
- [5] Misiti, Michel, et al. "Wavelet toolbox." The MathWorks Inc., Natick, MA 15 (1996): 21.
- [6] <https://www.geeksforgeeks.org>

Part 1: General notes & Motivations

What and Why: 1

به طور کلی به دنبال یافتن اجزا و پایه‌های تشکیل دهنده سری است
 $\{x\}$

Time Series $\{x\} : \{x(t_i)\}$ سری زمانی پیوسته است
 $\{x\} : \{x_1, x_2, \dots, x_n\}$ سری زمانی گسسته است

$$\left\{ \begin{array}{l} \Delta t_j = t_{j+1} - t_j \\ \Delta t_i = t_{i+1} - t_i \end{array} \right\} \quad \Delta t = t_{i+1} - t_i$$

"Regular" سری زمانی گسسته و منظم

$\forall i, j \quad \Delta t_i = \Delta t_j$

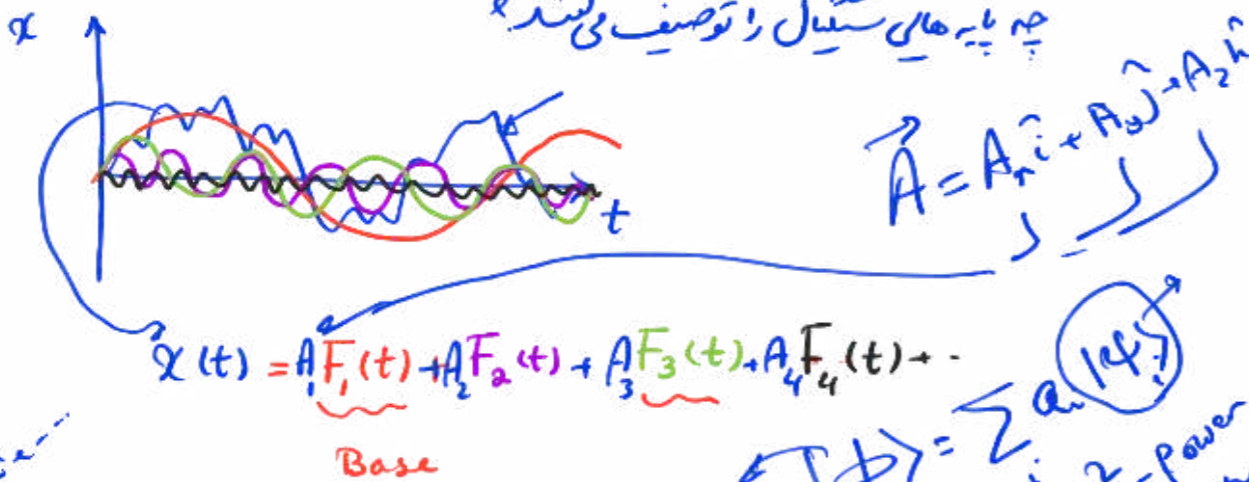
یعنی بازه‌های داده برداری یکسان است

power spectrum for a Regular Series

Time Series
 $\rightarrow t$
 $\rightarrow r$ } متغیر است
 $\rightarrow \delta$

$\left\{ \begin{array}{l} x(t) \rightarrow \text{Time Series} \\ x(r) \rightarrow \text{Position Series} \\ x(\delta) \rightarrow \text{Angular Series} \end{array} \right\} \begin{array}{l} \text{Regular} \\ \text{Describe} \\ \text{Series} \end{array}$

چون پایه‌های سینوسی را توصیف می‌کنند



What:

Expansion in terms of bases.

Why:

- 1) To find the constructed components of underlying field
- 2) For pruning the nuisance parts of data
- 3) To have multi-resolution Analysis
- 4) To construct mock data (field)
- 5) To get rid from the undesired parts of data
- 6) Solve differential and integral equations
- 7) Non-stationary detection



Fast wavelet basis search for generic gravitational wave bursts in Pulsar Timing Array data

arXiv:2408.07864

Jacob A. Taylor , Rand Burnette , and Bence Bécsy
Department of Physics, Oregon State University, Corvallis, OR 97331, USA

Neil J. Cornish
eXtreme Gravity Institute, Department of Physics,
Montana State University, Bozeman, MT 59717, USA
(Dated: December 2, 2024)

Monthly Notices
of the
ROYAL ASTRONOMICAL SOCIETY
MNRAS **478**, 1132–1140 (2018)
Advance Access publication 2018 May 1

doi:10.1093/mnras/sty10

Cosmic string detection with tree-based machine learning

A. Vafaei Sadr,^{1,2,3} M. Farhang,¹ S. M. S. Movahed,^{1★} B. Bassett^{3,4,5,6} and M. Kunz²

Monthly Notices
of the
ROYAL ASTRONOMICAL SOCIETY



Advance Access publication 2017 December 14

A Multiscale pipeline for the search of string-induced CMB anisotropies

A. Vafaei Sadr,^{1,2,3★} S. M. S. Movahed,^{1★} M. Farhang,^{1★} C. Ringeval⁴
and F. R. Bouchet⁵

¹Department of Physics, Shahid Beheshti University, Velenjak, Tehran 19839, Iran

²Département de Physique Théorique and Center for Astroparticle Physics, Université de Genève, 24 Quai Ernest Ansermet, CH-1211 Genève 4, Switzerland

³African Institute for Mathematical Sciences, 6 Melrose Road, Muizenberg 7945, South Africa

⁴Centre for Cosmology, Particle Physics and Phenomenology, Université Catholique de Louvain, Louvain-la-Neuve B-1348, Belgium

⁵Institut d'Astrophysique de Paris (UMR7095: CNRS & UPMC-Sorbonne Universities), F-75014 Paris, France

THE ASTROPHYSICAL JOURNAL, 864:162 (18pp), 2018 September 10

© 2018. The American Astronomical Society. All rights reserved.

<https://doi.org/10.3847/1538-4357/aad7b9>

JOURNAL OF APPLIED PHYSICS **122**, 085302 (2017)



Multifractal Analysis of Pulsar Timing Residuals: Assessment of Gravitational Wave Detection

Characterization of the anisotropy of rough surfaces: Crossing statistics

M. Ghasemi Nezhadhighi,¹ S. M. S. Movahed,^{2,3,a)} T. Yasseri,^{4,5}
and S. Mehdi Vaez Allaei^{6,7,b)}

¹Department of Physics, College of Sciences, Shiraz University, Shiraz 71454, Iran

²Department of Physics, Shahid Beheshti University, G.C., Evin, Tehran 19839, Iran

³School of Physics, Institute for Research in Fundamental Sciences (IPM), P.O. Box 19395-5531, Tehran, Iran

⁴Oxford Internet Institute, University of Oxford, 1 St Giles', Oxford OX1 3JS, United Kingdom

⁵Alan Turing Institute, 96 Euston Rd., London NW1 2DB, United Kingdom

⁶Department of Physics, University of Tehran, Tehran 14395-547, Iran

⁷The Abdus Salam International Centre for Theoretical Physics, Strada Costiera 11, I-34013 Trieste, Italy

I. Eghdami¹, H. Panahi¹, and S. M. S. Movahed^{2,3}

¹Department of Physics, University of Guilan, Rasht 41635-1914, Iran; t-panahi@guilan.ac.ir

²Department of Physics, Shahid Beheshti University, Velenjak, Tehran 19839, Iran; m.s.movahed@ipm.ir

³School of Physics, Institute for Research in Fundamental Sciences (IPM), P.O. Box 19395-5531, Tehran, Iran

Received 2017 May 7; revised 2018 July 27; accepted 2018 July 27; published 2018 September 12



CrossMark

Part 2: Fourier Transformation

What and Why: 2

Transformation

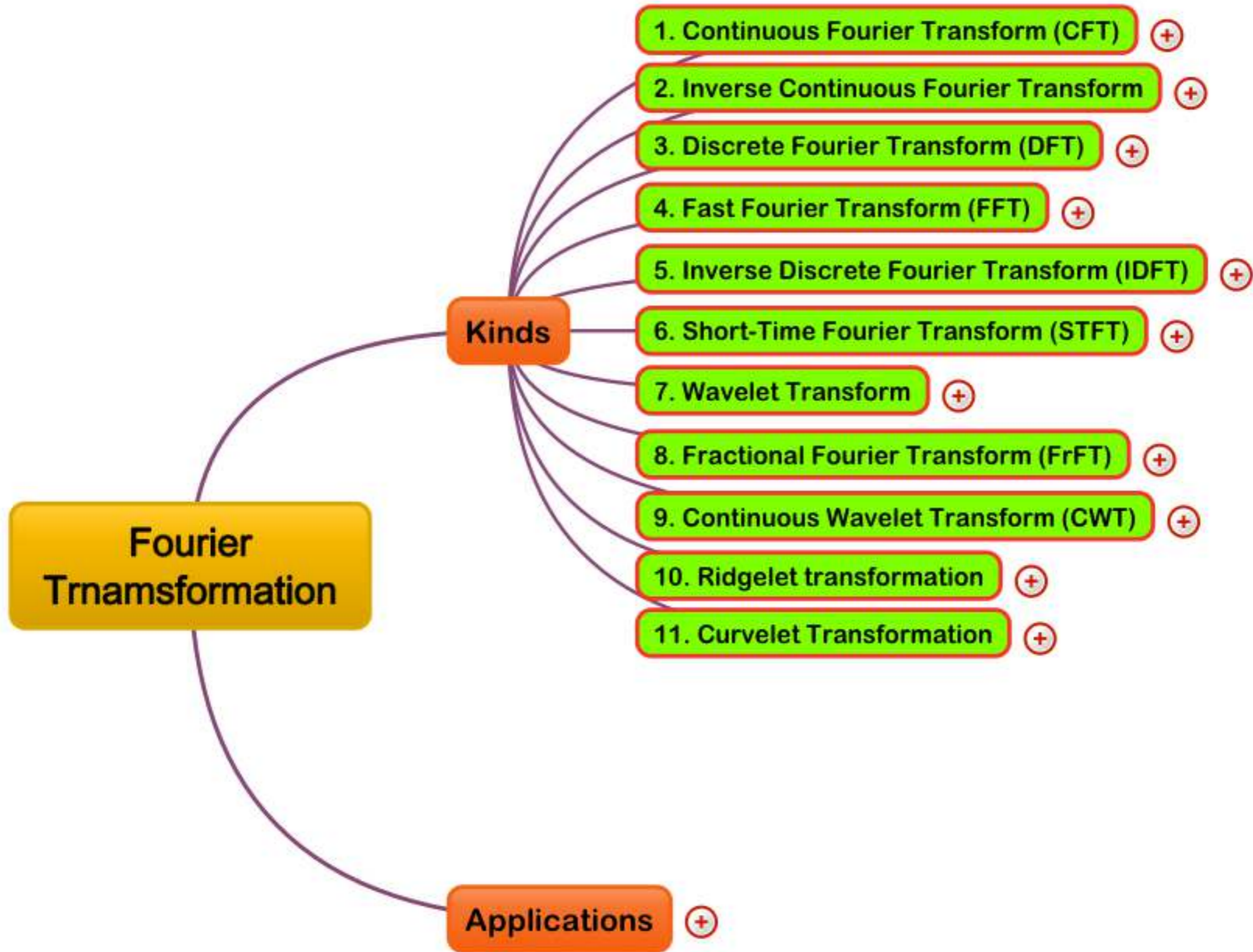
Kinds

- Fourier Transformation +
- Laplace Transformation +
- Legendre Transformation +
- Spherical Harmonic Transformation +
- Hankel transform +
- Laguerre transform +
- Chebyshev transformation +
- Wavelet Transform +
- Curvelet Transformation +
- Ridgelet transformation +
- Hilbert Transform +
- Z-Transform +
- Radon Transform +

Applications

- Solving Partial Differential Equations +
- Solving Integral Equations +
- Data Processing +
- Solving Integral Equations +

Fourier Transformation (1)



Fourier Transformation (2)

Power Spectrum

طیف توان
به طوری به دنبال یافتن اجزا و پایه های تشکیل دهنده سری است
 $\{x\}$

Time Series

$\{x\} : \{x(t)\}$ سری زمانی پیوسته است
 $\{x\} : \{x_1, x_2, \dots, x_n\}$ سری زمانی گسسته

$$\left\{ \begin{array}{l} \Delta t_j = t_{j+1} - t_j \\ \Delta t_i = t_{i+1} - t_i \end{array} \right.$$

$\Delta t = t_{i+1} - t_i$
سری زمانی گسسته و منظم "Regular"

$\forall i, j \quad \Delta t_i = \Delta t_j$

یعنی بازه های داده برداری یکسان است

power spectrum for a Regular Series

Time Series

$\rightarrow t$
 $\rightarrow r$
 $\rightarrow \varphi$ } متغیر است

}	$x(t) \rightarrow$ Time Series	}	Regular
	$x(r) \rightarrow$ Position Series		Describe
	$x(\varphi) \rightarrow$ Angular Series		Series

$$x(t) = \int d\omega e^{i\omega t} X(\omega) \rightarrow X(\omega) = \int dt e^{-i\omega t} x(t)$$

\sum_j (محدود) $\int |x(t)| dt$ (مکمل)

$$x(t) = \sum_j \underbrace{e^{i\omega_j t}}_F \underbrace{X(\omega_j)}_A$$

$$F(k) = \int_{-\infty}^{+\infty} f(x) e^{-2\pi i k x} dx$$

$$f(x) = \int_{-\infty}^{+\infty} F(k) e^{2\pi i k x} dx$$

$$g(\vec{k}) = \frac{1}{(2\pi)^{3/2}} \int f(\vec{r}) e^{i\vec{k} \cdot \vec{r}} d\vec{r}$$

$$f(\vec{r}) = \frac{1}{(2\pi)^{3/2}} \int g(\vec{k}) e^{-i\vec{k} \cdot \vec{r}} d\vec{k}$$

Fourier Transform

در فصل قبل با بطن فوریه آشنا شدیم و ضمن گفتار در فضای حقیقی تابع $f(t)$ داریم در فضای فوریه فرایب لطیف صورت گرفت:

$$g(\omega) = \frac{1}{\sqrt{2\pi}} \int_{-\infty}^{+\infty} f(t) e^{i\omega t} dt$$

Cosine and Sine Trans form:

$$g_c(\omega) = \frac{2}{\sqrt{2\pi}} \int_0^{+\infty} f(t) \cos \omega t dt$$

$$g_s(\omega) = \frac{2}{\sqrt{2\pi}} \int_0^{+\infty} f(t) \sin \omega t dt$$

توجه کنید اگر بخواهیم به صورت منظم عبارات را تغییر کنیم پس تبدیل فوریه یک تبدیل اندرالر باشد $e^{i\omega t}$

Ex: Fourier Transform of Gaussian function

$f(t) = e^{-a^2 t^2} \rightarrow g(\omega) = ?$

$g(\omega) = \frac{1}{\sqrt{2\pi}} \int_{-\infty}^{+\infty} e^{-a^2 t^2} e^{i\omega t} dt$ By completing the square

$$-a^2 t^2 + i\omega t = -\left(at - \frac{i\omega}{2a}\right)^2 - \frac{\omega^2}{4a^2}$$

$$= -a^2 t^2 + \frac{\omega^2}{4a^2} + i\omega t - \frac{\omega^2}{4a^2} = -a^2 t^2 + i\omega t$$

So:

$$g(\omega) = \frac{1}{\sqrt{2\pi}} e^{-\omega^2/4a^2} \underbrace{\int_{-\infty}^{+\infty} e^{-a^2 t^2} dt}_{\sqrt{\pi}/a}$$

$$g(\omega) = \frac{1}{a\sqrt{2}} e^{-\omega^2/4a^2}$$

توجه کنید با افزایش a در فضای حقیقی به انت

سریع می شود. در حالیکه در فضای فوریه حاصل پس رسیدن به این مقدار نیز از آن جهت قابل فهم است. همچنین
 با افزایش در فضای حقیقی از تعداد بیشتری از توابع فوریه تشکیل می شود پس در فضای فوریه تابع این می شود. همچنین

15.2 Development of The Fourier Integral

در فرض ۱۴ دیدیم که سری فوری برای فونکشن $[0, 2\pi]$ $\subseteq [-L, +L]$ $\subseteq (-\infty, +\infty)$ مخصوصاً اگر تابع تناوبی باشد، پس

$$f(x) = \frac{a_0}{2} + \sum a_n \cos nx + b_n \sin nx$$

$$= \frac{a_0}{2} + \sum a_n \cos \frac{n\pi}{L} x + b_n \sin \frac{n\pi}{L} x$$

یعنی:

$$a_n = \frac{1}{L} \int_{-L}^{+L} f(t) \cos \frac{n\pi t}{L} dt$$

$$b_n = \frac{1}{L} \int_{-L}^{+L} f(t) \sin \frac{n\pi t}{L} dt$$

پس می توان تابع f را به صورت زیر نوشت:

$$f(x) = \frac{1}{2L} \int_{-L}^{+L} f(t) dt + \frac{1}{L} \sum_{n=1}^{\infty} \cos \frac{n\pi x}{L} \underbrace{\int_{-L}^{+L} f(t) \cos \frac{n\pi t}{L} dt}_{a_n}$$

$$+ \frac{1}{L} \sum_{n=1}^{\infty} \sin \frac{n\pi x}{L} \underbrace{\int_{-L}^{+L} f(t) \sin \frac{n\pi t}{L} dt}_{b_n}$$

توجه کنید جمله ① مقدار متوسط تابع در این بازه است. عملیات بعدی تصحیح کنونی خواهند بود.

پس می توان نوشت:

$$f(x) = \frac{1}{2L} \int_{-L}^{+L} f(t) dt + \frac{1}{L} \sum_{n=1}^{\infty} \int_{-L}^{+L} f(t) \cos \frac{n\pi}{L} (t-x) dt$$

$$\omega_n = \frac{n\pi}{L}, \quad \Delta\omega = \frac{\pi}{L}$$

ماتریس را می بینیم.

$$f(x) = \frac{1}{\pi} \int_{-\infty}^{+\infty} d\omega \int_{-L}^{+L} f(t) \cos \omega(t-x) dt$$

توجه کنید جمله اول یعنی $\lim_{2L \rightarrow \infty} \frac{1}{2L} \int_{-L}^{+L} f(t) dt$ در صورتی که تابع در بازه مورد مطالعه متناهی باشد، یعنی کمترین ولتجیت اشتباه کردیم که شرط لازم و کافی برای وجود تبدیل فوری است.

① Continuous function

② Differentiable function

③ Absolutely Integrable

$$\int_{-\infty}^{+\infty} |f(x)| dx \rightarrow \text{finite}$$

الکدن می توانیم انتگرال فوری را تعریف کنیم یعنی:

$$f(x) = \frac{1}{2\pi} \int_{-\infty}^{+\infty} d\omega \int_{-\infty}^{+\infty} f(t) \cos \omega(t-x) dt$$

$$0 = \frac{1}{2\pi} \int_{-\infty}^{+\infty} d\omega \int_{-\infty}^{+\infty} f(t) \sin \omega(t-x) dt$$

چون $\int_{-\infty}^{+\infty} d\omega \sin \omega(t-x) = 0$ پس، جمع کردن در عبارت فوق البته خوب (نیست)

$$f(x) = \frac{1}{2\pi} \int_{-\infty}^{+\infty} e^{-i\omega x} d\omega \int_{-\infty}^{+\infty} f(t) e^{i\omega t} dt$$

$$f(x) = \frac{1}{\sqrt{2\pi}} \int_{-\infty}^{+\infty} d\omega e^{-i\omega x} F(\omega)$$

$$F(\omega) = \frac{1}{\sqrt{2\pi}} \int_{-\infty}^{+\infty} dt e^{i\omega t} f(t)$$

Cosine Transform

اگر f زوج یا زوج باشد آن تبدیل را فوریه زوجی نوسان:

$$g_c(\omega) = \frac{1}{\sqrt{2\pi}} \int_{-\infty}^{+\infty} f_c(t) (\cos \omega t + i \sin \omega t) dt$$

$$= \sqrt{\frac{2}{\pi}} \int_0^{+\infty} f_c(t) \cos \omega t dt \quad f = \text{even}$$

$$f_c(t) = \sqrt{\frac{2}{\pi}} \int_0^{\infty} g_c(\omega) \cos \omega t d\omega$$

Sine Transform

اگر f فرد یا فرد باشد آن تبدیل را فوریه فردی نوسان:

$$g_s(\omega) = \sqrt{\frac{2}{\pi}} \int_0^{\infty} f_s(t) \sin \omega t dt$$

$$f_s(t) = \sqrt{\frac{2}{\pi}} \int_0^{\infty} g_s(\omega) \sin \omega t dt \quad f = \text{odd}$$

15.4: Fourier Transform of

Derivative.

$$g(\omega) = \frac{1}{\sqrt{2\pi}} \int_{-\infty}^{+\infty} f(x) e^{i\omega x} dx$$

حال تعریف کنیم

$$g_1(\omega) \equiv \frac{1}{\sqrt{2\pi}} \int_{-\infty}^{+\infty} \left(\frac{df}{dx} \right) e^{i\omega x} dx$$

حالا فرض کنیم که f در $-\infty$ و $+\infty$ صفر باشد

$$= \frac{e^{i\omega x}}{\sqrt{2\pi}} f(x) \Big|_{-\infty}^{+\infty} - \frac{i\omega}{\sqrt{2\pi}} \int_{-\infty}^{+\infty} f(x) e^{i\omega x} dx$$

$$g_1(\omega) = -i\omega g(\omega)$$

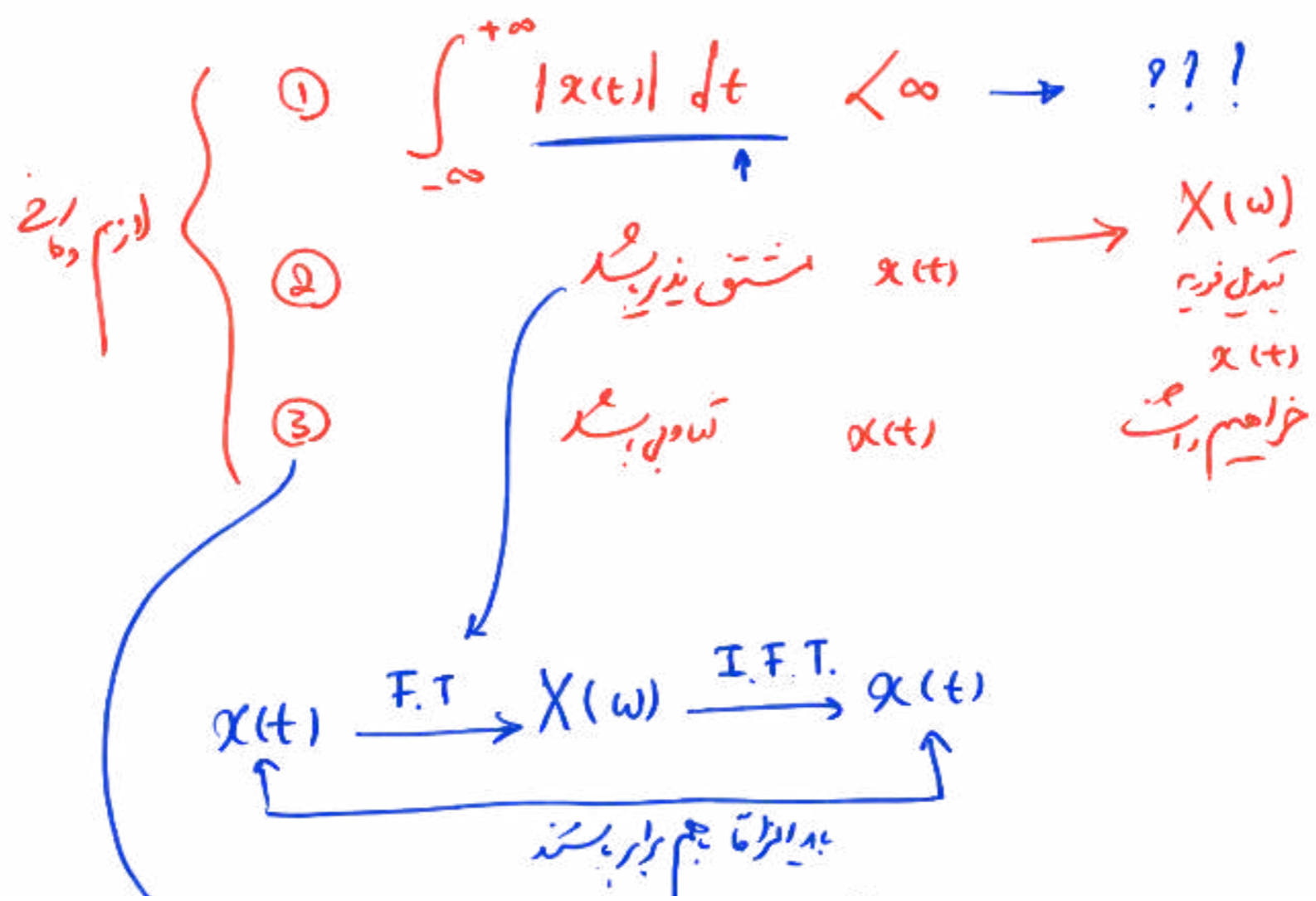
به تکرار نشان دادیم

$$g_n(\omega) = (-i\omega)^n g(\omega)$$

Fourier Transformation (3)

Fourier Transform

Necessary and sufficient Condition



Fourier Transformation (4)

در مابقی واقع به جای آنکه تبدیل فوریه را در خود داده ایم و به این معنی تابع همبستگی این هم
 ↓
 Weighted TPCF

$$C(\tau) = \langle x(t)x(t+\tau) \rangle_t$$

- ① $\int d\tau |C(\tau)| < \infty$
- ② مشتق نداشت جوارش
- ③ فرض کردیم که دارد

$$S(\omega) = \int d\tau e^{-i\omega\tau} C(\tau)$$

Power Spectrum
طیف توان

$$S(\omega) \overset{?}{\longleftrightarrow} X(\omega)$$

↑ تبدیل فوریه تابع همبستگی
↑ تبدیل فوریه سیگنال

Fourier Transformation (5)

فرض کریم $\langle x \rangle = 0$

خبر دہری در خصوص طیف توان

$$\textcircled{1} C_x(\tau) = \int d\omega e^{i\omega\tau} S(\omega)$$

$$\text{if } \tau=0 \rightarrow C(\tau=0) = \langle x(t) x(t+0) \rangle \\ = \langle x(t)^2 \rangle$$

$$\sigma_x^2 = \langle x(t)^2 \rangle = C_x(0) = \int d\omega S(\omega)$$

لیج زری متخی طیف توان ← در این داده؟

Fourier Transformation (6)

$$② \quad S(\omega) = A(\omega) + iB(\omega)$$

$$S(\omega) = \int d\tau e^{-i\omega\tau} C_x(\tau)$$

حقیقی فرض کنیم
↓

$$A(\omega) + iB(\omega) = \int d\tau [C_{\cos}(\omega\tau) + i \sin(\omega\tau)] C_x(\tau)$$

$$A(\omega) = \int d\tau C_{\cos}(\omega\tau) C_x(\tau)$$

$$B(\omega) = \int d\tau \sin(\omega\tau) C_x(\tau)$$

For Stationary case $C_x(t_i, t_j) = C_x(|t_i - t_j|)$

$$\text{باید} \rightarrow C_x(\tau) = C_x(-\tau)$$

$$B(\omega) = \int_{-\infty}^{+\infty} d\tau C_x(\tau) \sin(\omega\tau) = 0$$

↑
زوج

فرد

بزرگ سیگنال ها، مختبر مرسومه طیف توان صوتی

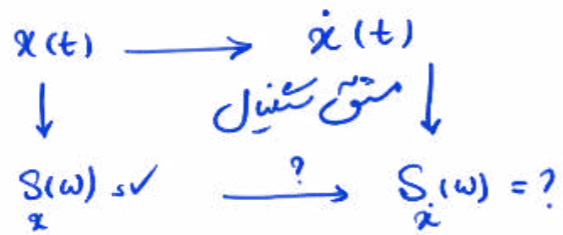
Fourier Transformation (7)

$$\begin{aligned} \textcircled{3} S(\omega) &= \int d\tau e^{i\omega\tau} C_{\tau}(\tau) \\ &= \int d\tau e^{-i\omega\tau} \langle x(t)x(t+\tau) \rangle_t \end{aligned}$$

$$S(\omega) = \delta_D(\omega - \omega_2) \delta_D(\omega_1 + \omega) X(-\omega) X(\omega)$$
$$S(\omega) \approx |X(\omega)|^2$$

Fourier Transformation (8)

4



$$C_x(\tau) = \langle x(t) x(t+\tau) \rangle_t$$

$$\frac{dC_x(\tau)}{d\tau} = \langle x(t) \frac{d}{d\tau} x(t+\tau) \rangle_t$$

$$= \left\langle x(t) \frac{d}{d(t+\tau)} x(t+\tau) \frac{d(t+\tau)}{d\tau} \right\rangle_t$$

$$= \left\langle x(t) \dot{x}(t+\tau) \cdot 1 \right\rangle_t$$

$t \rightarrow t-\tau$ * خاصيت تيار استمراري

$$\frac{dC_x(\tau)}{d\tau} = \left\langle x(t-\tau) \dot{x}(t) \right\rangle_t$$

$|t-\tau - t| = \tau$
 $t_i - t_j$

$$\frac{d^2 C_x(\tau)}{d\tau^2} = \left\langle \dot{x}(t-\tau) \dot{x}(t) \right\rangle_t$$

$$= - \left\langle \dot{x}(t) \dot{x}(t+\tau) \right\rangle_t$$

$$\ddot{C}_x(\tau) = - \dot{C}_x(\tau)$$

Fourier Transformation (9)

$$-\omega^2 S_x(\omega) = -S_{\ddot{x}}(\omega)$$

$$\omega^4 S_x(\omega) = S_{\overset{4}{x}}(\omega)$$

$$S_{x^{(n)}}(\omega) = (-1)^n \omega^{2n} S_x(\omega)$$

$$x^{(n)} = \frac{d^n x}{dt^n}$$

$S_x(\omega)$ فیفران سیگنل
 درست نہیں ہونے کی وجہ سے اس سے مشتق کرنا صحیح نہیں ہے
 فیفران مشتقات کے لئے درست ہے

Fourier Transformation (10)

$$\textcircled{5} \quad \langle x(t) \dot{x}(t) \rangle_t = ? \quad \text{برای سیگنال،}$$

$$C_x(\tau) = \langle x(t) x(t+\tau) \rangle_t$$

$$\frac{dC_x(\tau)}{d\tau} = \langle x(t) \dot{x}(t+\tau) \rangle_t = \frac{d}{d\tau} \int d\omega e^{i\omega\tau} S_x(\omega)$$

$$\langle x(t) \dot{x}(t) \rangle_t = 0$$

برای سیگنال همگام،

$$\underline{\langle x(t) \dot{x}(t+\tau) \rangle_t} \neq 0 \quad \begin{array}{l} \text{در صورت کلی} \\ \text{همی نوسانگر} \end{array}$$

- Fourier or legendre transformation of correlation function

$$\begin{aligned} C_x(i, j) &= \langle x(i) \cdot x(j) \rangle \\ &= C_x(|i - j|) \equiv C_x(\tau) = \langle x(i) \cdot x(i + \tau) \rangle \end{aligned}$$

$$S_x(\omega) = \frac{1}{2T} \int_{-T}^T C_x(\tau) e^{i\omega\tau} d\tau$$

$$C_x(\tau) = \int_{-T}^T S_x(\omega) e^{-i\omega\tau} d\omega$$

Some properties

$$\sigma^2 = C_x(0) = \int_{-T}^T S_x(\omega) d\omega$$

$$C_x(\tau) = C_x(-\tau)$$

$$S_x(\omega) = A(\omega) + iB(\omega)$$

$$B(\omega) = \frac{1}{2T} \int_{-T}^T C_x(\tau) \sin(\omega\tau) d\tau = 0$$

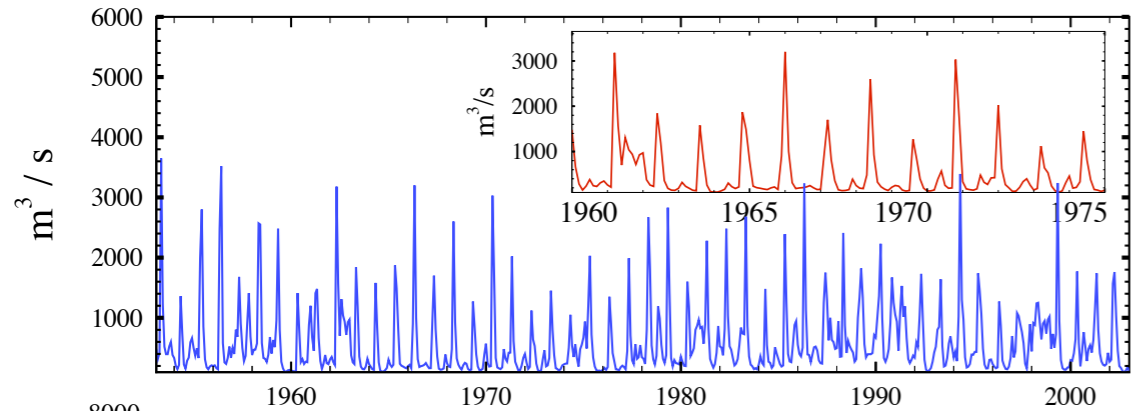
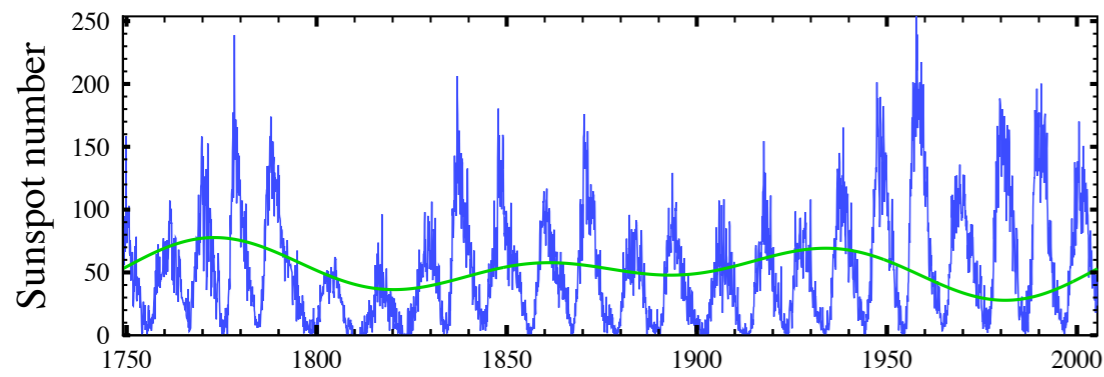
$$S_x(\omega) = |X(\omega)|^2$$

$$S_x(\omega) = \frac{1}{2T} \int_{-T}^T C_x(\tau) e^{i\omega\tau} d\tau = \frac{1}{2T} \int_{-T}^T \langle x(t) \cdot x(t+\tau) \rangle e^{i\omega\tau} d\tau$$

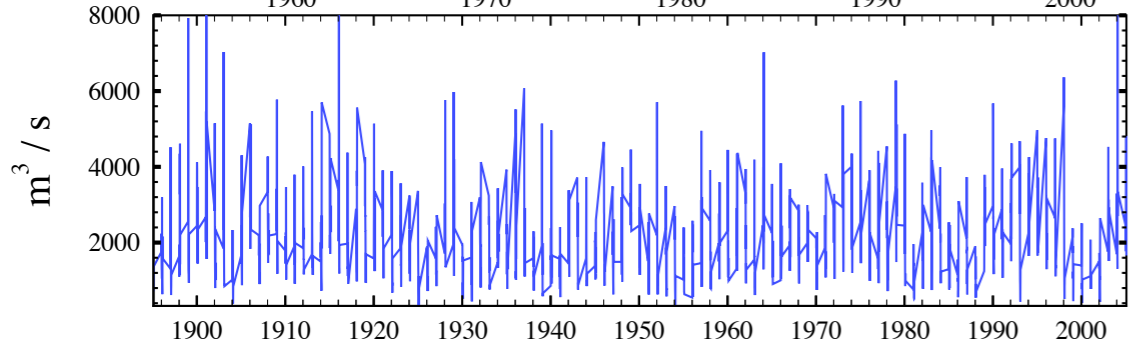
$$= \frac{1}{2T} \int_{-T}^T \frac{1}{T} \int_{-T}^T x(t) \cdot x(t+\tau) dt e^{i\omega\tau} d\tau$$

$$= \frac{1}{2T^2} \int_{-T}^T \int_{-T}^T \left(\int X(\omega') e^{-i\omega' t} d\omega' \right) \left(\int X(\omega'') e^{i\omega''(t+\tau)} d\omega'' \right) dt e^{i\omega\tau} d\tau$$

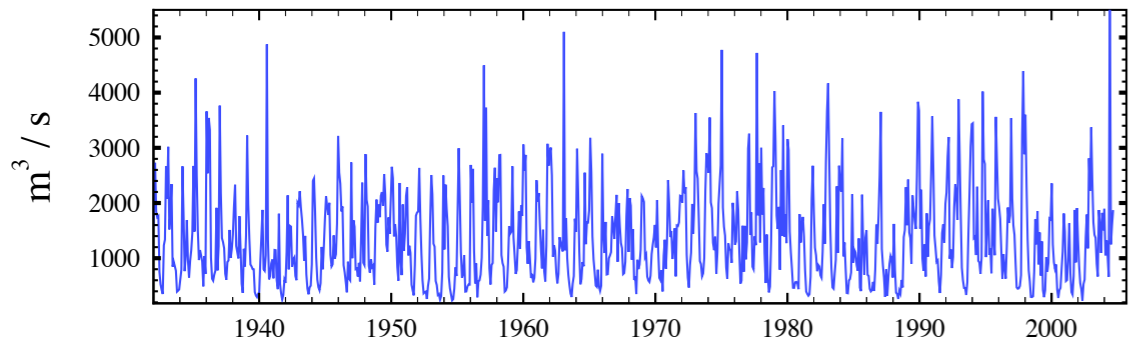
$$= \frac{1}{2T^2} (2\pi)^2 \delta(\omega - \omega'') \delta(\omega' + \omega) X(\omega) X^*(\omega)$$



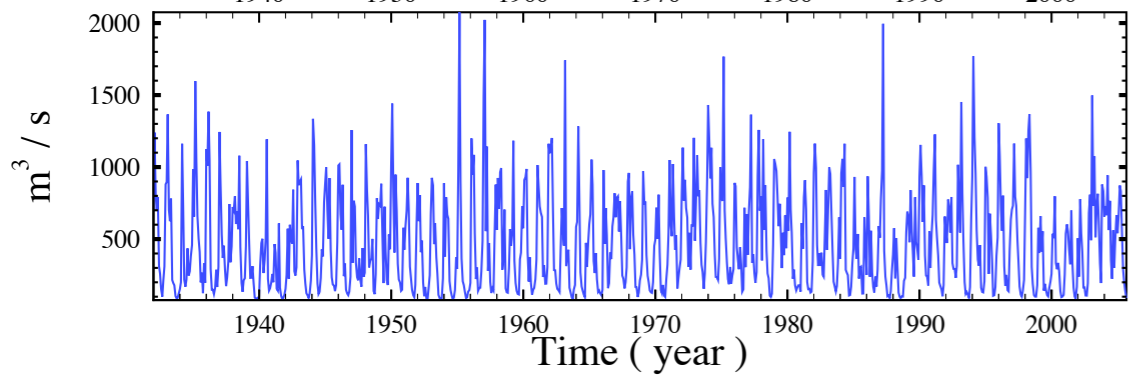
Daugava



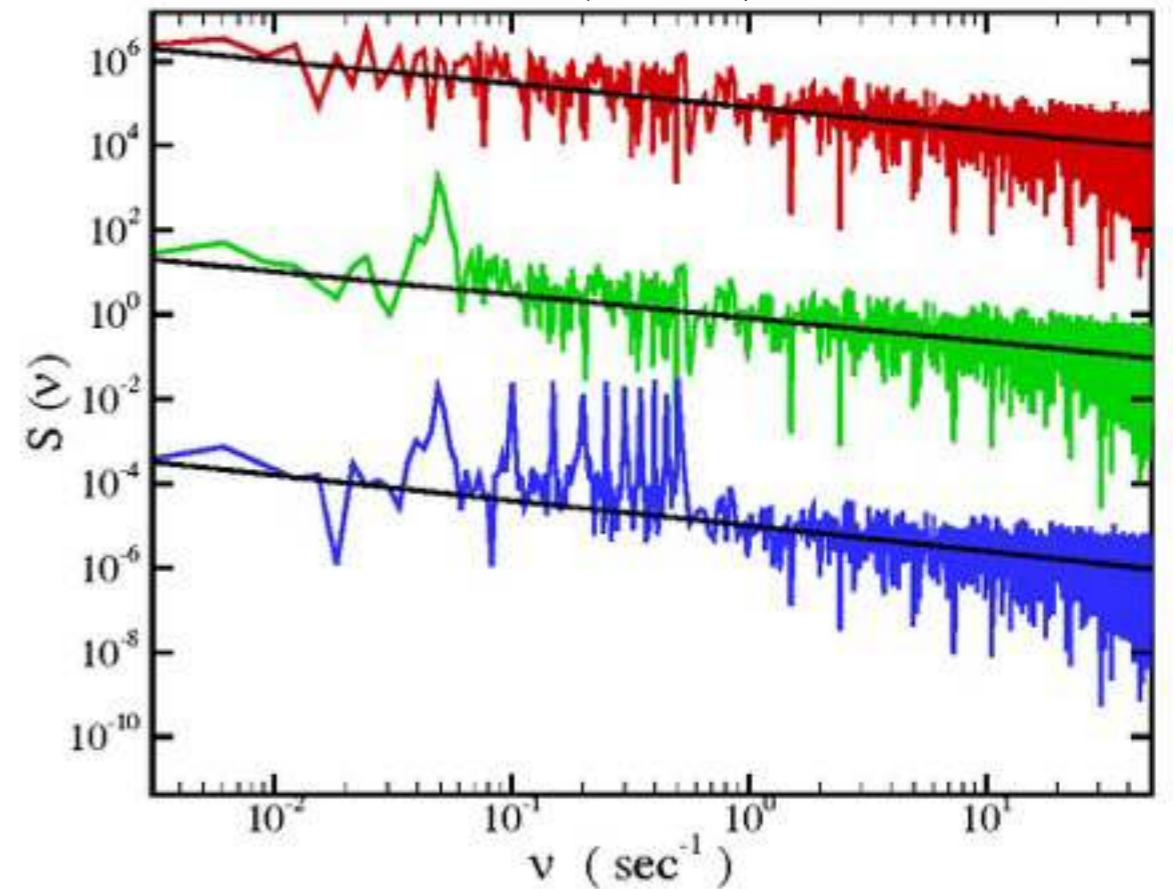
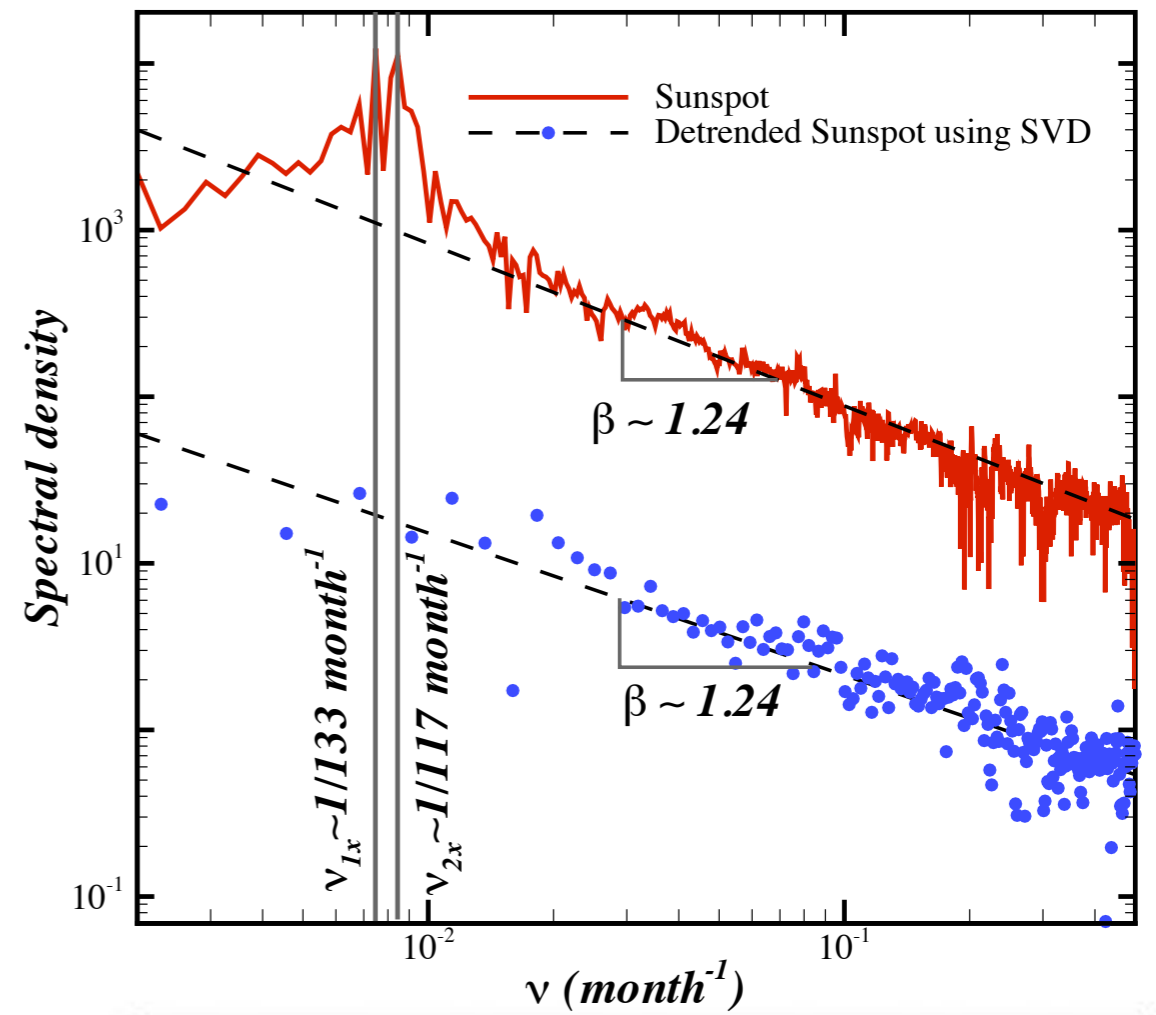
French Broad



Nolichucky



Holston



Fourier Transformation (11)

1. Signal Processing

Frequency Analysis: Decomposing signals into their constituent frequencies, allowing for the analysis of harmonic content.

Filtering: Designing filters (low-pass, high-pass, band-pass) to remove unwanted noise or to isolate specific frequency components.

Compression: Techniques such as MP3 for audio and JPEG for images rely on Fourier transformation for data compression.

2. Quantum Mechanics

Wave Function Analysis: Fourier Transform allows the conversion of a wave function from position representation to momentum representation, crucial for determining probability distributions.

Spectral Analysis: Analyzing the energy levels of quantum systems by studying the Fourier components of wave functions.

3. Optics

Diffraction Patterns: Understanding and analyzing light diffraction in optical systems; Fourier Transform relates the aperture function to the resulting intensity pattern.

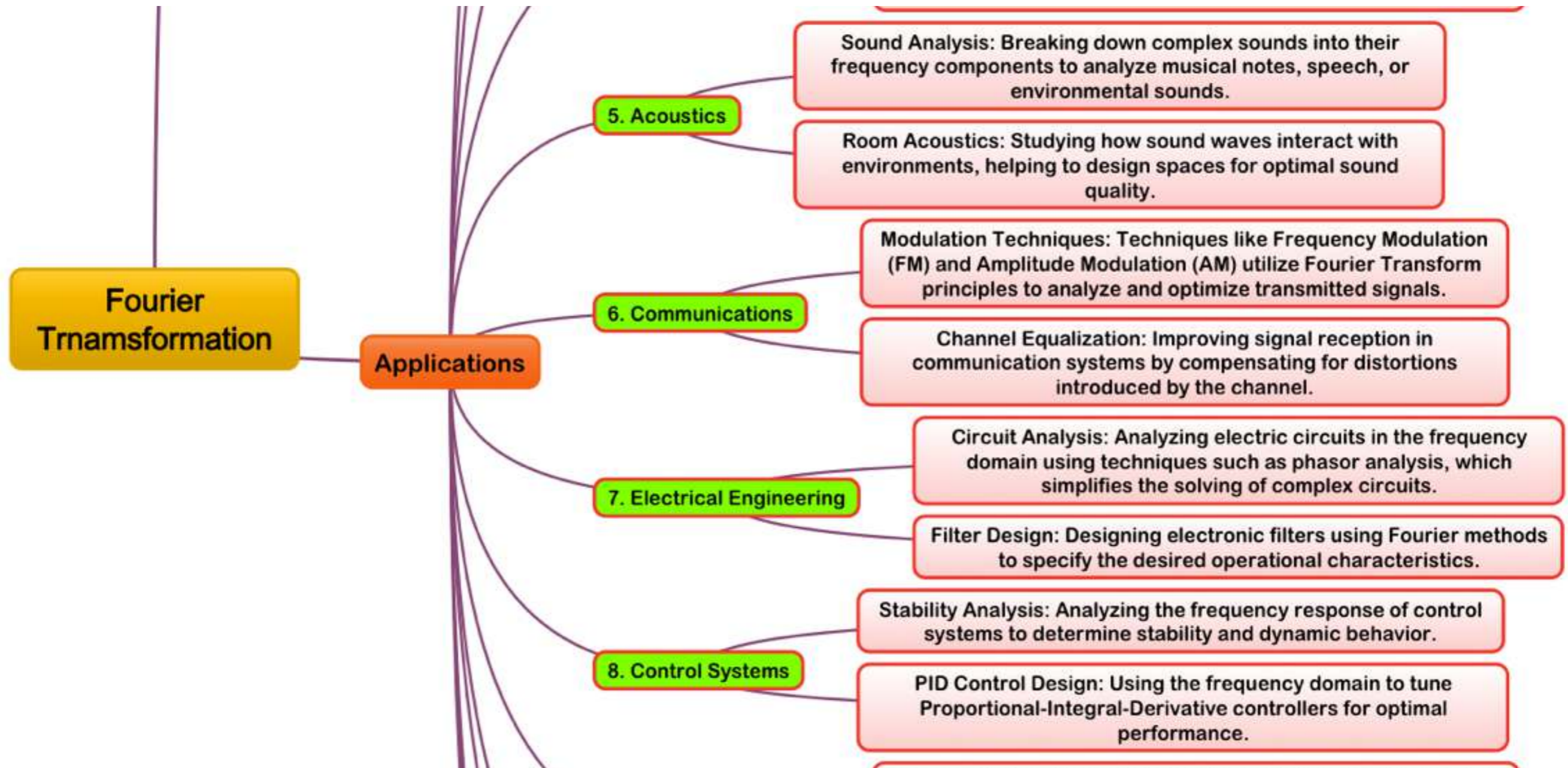
Image Processing: Enhancing images by manipulating their frequency components, including edge detection and image filtering.

4. Vibration Analysis

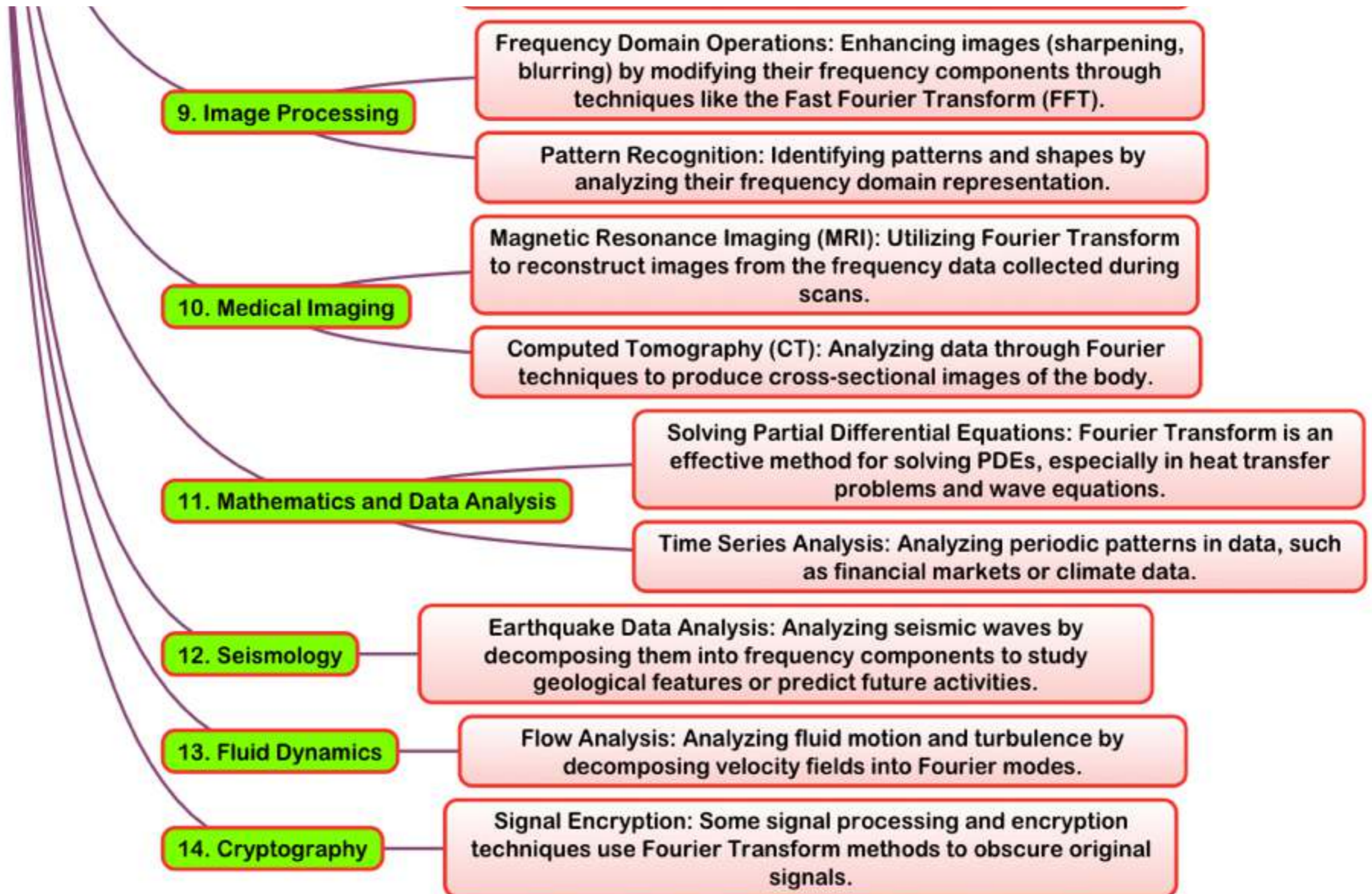
Modal Analysis: Identifying natural frequencies and mode shapes of structures (buildings, bridges, machines) using responses to vibrations.

Condition Monitoring: Diagnosing mechanical faults in rotating machinery by analyzing vibration signatures in the frequency domain.

Fourier Transformation (12)



Fourier Transformation (13)



Ex: PDEs. Suppose that

$$\frac{\partial^2 y}{\partial x^2} = \frac{1}{v^2} \frac{\partial^2 y}{\partial t^2}$$

initial condition $y(x, 0) = f(x)$

① $(x, t) \rightarrow (\alpha, t)$

لذا سب سے تبدیل فرم کریں

② $Y(\alpha, t) = \frac{1}{\sqrt{2\pi}} \int_{-\infty}^{+\infty} y(x, t) e^{i\alpha x} dx$

③ $\int_{-\infty}^{+\infty} \frac{\partial^2 y}{\partial x^2} e^{i\alpha x} dx = \frac{1}{v^2} \int_{-\infty}^{+\infty} \frac{\partial^2 y}{\partial t^2} e^{i\alpha x} dx$

④ $(-i\alpha)^2 Y(\alpha, t) = \frac{1}{v^2} \frac{\partial^2 Y(\alpha, t)}{\partial t^2}$

حال شرط طرز اور احوال کی کہیں PDE \rightarrow ODE

یہ (4) یعنی

⑤ $Y(\alpha, 0) = \frac{1}{\sqrt{2\pi}} \int_{-\infty}^{+\infty} \underbrace{y(x, 0)}_{f(x)} e^{i\alpha x} dx \equiv F(\alpha)$

⑥ جواب: (4) کی صورت زیر ہے:

$$Y(\alpha, t) = F(\alpha) e^{\pm i v \alpha t}$$

⑦ $y(x, t) = \frac{1}{\sqrt{2\pi}} \int_{-\infty}^{+\infty} Y(\alpha, t) e^{-i\alpha x} d\alpha$

$$= \frac{1}{\sqrt{2\pi}} \int F(\alpha) e^{-i\alpha(x \pm vt)} d\alpha$$

$= f(x - vt)$ ← سمت درائیں ۹۶
 $= f(x + vt)$ → سمت درائیں ۹۷

دقت بہت ۹۶ کی مدد سے سنا سب سے اور نیز بہتر معاملہ سنا سب سے در (۹۵) درزائی کی جلی ۱

یہ $(x - vt)$

⑦

لہذا بہت ۹۷ کی مدد سے سنا سب سے اور آئی جتنی کہ معاملہ سنا سب سے در (۹۶) درزائی کی جلی

یہ $(x + vt) \rightarrow 0$
 ↓

Fast Fourier Transform

VS.

Discrete Fourier Transform

How fast?

N	CPU Time Required at 10^6 Flops	
	Discrete Fourier Transform	Fast Fourier Transform
10^3	1.0 sec	0.01 sec
10^6	10^6 sec = 12 days	20 sec
10^9	10^{12} sec = 32,000 years	3.0×10^5 sec = 8.3 hours

$$x(0) \cdots x(N-1) \quad x(0) \cdots x((N-1)\Delta t) \quad T_{\min} = \Delta t \quad \omega_{\max} = \frac{2\pi}{\Delta t}$$

$$T_{\max} = N\Delta t \quad \omega_{\min} = \frac{2\pi}{N\Delta t} \quad \Delta t \rightarrow \Delta\omega = \frac{2\pi}{N\Delta t} \quad \omega_k = \frac{2\pi k}{N\Delta t}$$

$$y_i = x(2j) \quad z_j = x(2j+1)$$

$$Y_k = \frac{1}{N/2} \sum_{j=0}^{N/2-1} y_j e^{\frac{i2\pi kj}{N/2}}$$

$$Z_k = \frac{1}{N/2} \sum_{j=0}^{N/2-1} z_j e^{\frac{i2\pi kj}{N/2}} \quad k = 0 \dots N/2-1$$

$$X_k = \frac{1}{N} \sum_{j=0}^{N-1} x(j) e^{\frac{i2\pi kj}{N}} \quad k = 0 \dots N-1$$

$$X_k = \frac{1}{N} \sum_{j=0}^{M-1} x(2j) e^{\frac{i2\pi kj}{N}} + x(2j+1) e^{\frac{i2\pi k(2j+1)}{N}}$$

$$= \frac{1}{N} \sum_{j=0}^{M-1} y_j e^{\frac{i2\pi kj}{N}} + z_j e^{\frac{i2\pi k(2j+1)}{N}} = \frac{1}{2} \left[Y_k + e^{\frac{i2\pi k}{N}} Z_k \right] \quad k = 0 \dots N/2-1$$

$$X_k = \frac{1}{2} \left[Y_k + e^{\frac{i2\pi k}{N}} Z_k \right] \quad k = N/2 \dots N-1$$

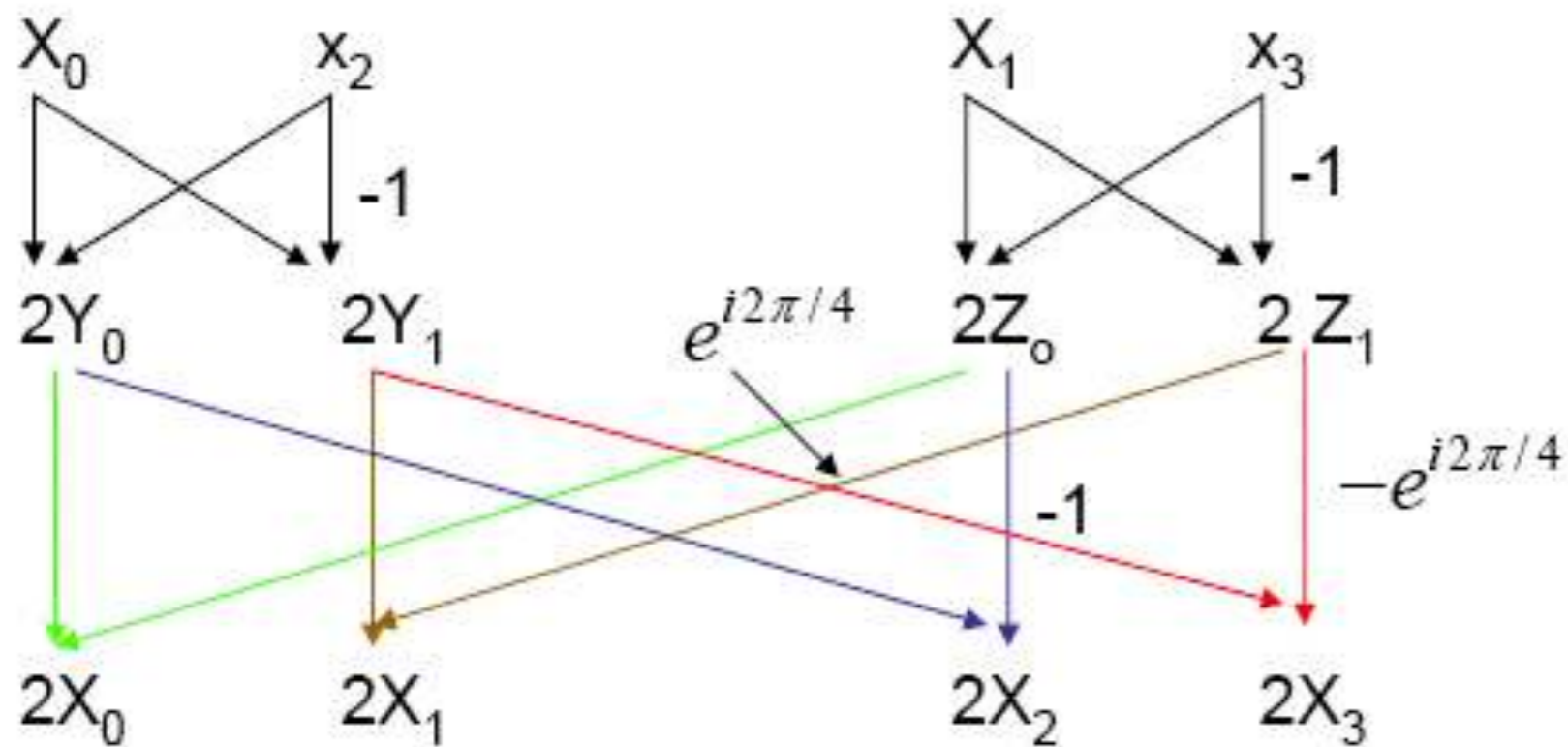
$$= \frac{1}{2} \left[Y_{k-\frac{N}{2}} + e^{\frac{i2\pi k}{N}} Z_{k-\frac{N}{2}} \right] \quad k \rightarrow k + N/2 \quad k = 0 \dots N/2-1$$

$$X_{k+\frac{N}{2}} = \frac{1}{2} \left[Y_k - e^{\frac{i2\pi k}{N}} Z_k \right] \quad k = 0 \dots N/2-1$$

Fast Fourier Transformation (FFT)

Butterfly diagram

$X: \{X_0, X_1, X_2, X_3\}$



$$X_0 = \frac{1}{2} \{Y_0 + Z_0\}$$

$$X_1 = \frac{1}{2} \{Y_1 + e^{i2\pi/4} Z_1\}$$

$$X_2 = \frac{1}{2} \{Y_0 + e^{i2\pi 2/4} Z_0\}$$

$$X_3 = \frac{1}{2} \{Y_1 - e^{i2\pi/4} Z_1\}$$

A sample for FFT by Fortran

```
program fft_example
  implicit none
  integer, parameter :: N = 8
  complex(8) :: x(N), X(N)
  integer :: i

  ! Example input
  x(1) = (0.0, 0.0)
  x(2) = (1.0, 0.0)
  x(3) = (0.0, 0.0)
  x(4) = (1.0, 0.0)
  x(5) = (0.0, 0.0)
  x(6) = (1.0, 0.0)
  x(7) = (0.0, 0.0)
  x(8) = (1.0, 0.0)

  ! Calculate the FFT
  call fft(N, x, X)

  ! Print the result
  print *, 'FFT Result:'
  do i = 1, N
    print *, X(i)
  end do

end program fft_example
```

```
subroutine fft(N, x, X)
  integer, intent(in) :: N
  complex(8), intent(in) :: x(N)
  complex(8), intent(out) :: X(N)
  integer :: m, k, n1, n2
  complex(8) :: t, u
  real(8) :: w, angle

  ! Bit-reversal permutation
  n1 = 1
  n2 = N / 2
  do while (n1 < N)
    do k = 1, n1
      if (k <= n2) then
        t = x(k + n1)
        x(k + n1) = x(k) - t
        x(k) = x(k) + t
      end if
    end do
    n1 = n1 * 2
    n2 = n2 / 2
  end do

  ! FFT computation
  do n1 = 1, log(real(N)) / log(2.0)
    n2 = 1 << n1
    angle = 2.0 * acos(0.0) / real(n2)
    u = (1.0, 0.0)
    do m = 1, n2 / 2
      w = u
      do k = m, N, n2
        t = w * x(k + n2 / 2)
        x(k + n2 / 2) = x(k) - t
        x(k) = x(k) + t
      end do
      u = (cos(angle * m), sin(angle * m)) * u
    end do
  end do

  X = x
end subroutine fft
```

A sample for FFT by C++

```
#include <iostream>
#include <complex>
#include <vector>
#include <cmath>
using namespace std;
void fft(vector<complex<double>>& x) {
    int N = x.size();
    if (N <= 1) return;
    // Divide
    vector<complex<double>> even(N / 2);
    vector<complex<double>> odd(N / 2);
    for (int k = 0; k < N / 2; k++) {
        even[k] = x[k * 2];
        odd[k] = x[k * 2 + 1];
    }
    // Recursive FFT
    fft(even);
    fft(odd);
    // Combine
    for (int k = 0; k < N / 2; k++) {
        complex<double> t = polar(1.0, -2 * M_PI * k / N) * odd[k];
        x[k] = even[k] + t;
        x[k + N / 2] = even[k] - t;
    }
}
int main() {
    const int N = 8;
    vector<complex<double>> x = {
        {0.0, 0.0}, {1.0, 0.0}, {0.0, 0.0}, {1.0, 0.0},
        {0.0, 0.0}, {1.0, 0.0}, {0.0, 0.0}, {1.0, 0.0}
    };
    fft(x);
    cout << "FFT Result:" << endl;
    for (const auto& v : x) {
        cout << v << endl;
    }
    return 0;
}
```

A sample for FFT by Python

```
import numpy as np

def fft(x):
    N = len(x)
    if N <= 1:
        return x
    even = fft(x[0::2])
    odd = fft(x[1::2])
    combined = [0] * N
    for k in range(N // 2):
        t = np.exp(-2j * np.pi * k / N) * odd[k]
        combined[k] = even[k] + t
        combined[k + N // 2] = even[k] - t
    return combined

# Example usage
x = [complex(0.0, 0.0), complex(1.0, 0.0), complex(0.0, 0.0), complex(1.0, 0.0),
     complex(0.0, 0.0), complex(1.0, 0.0), complex(0.0, 0.0), complex(1.0, 0.0)]

fft_result = fft(x)
print("FFT Result:")
for val in fft_result:
    print(val)
```

A sample for FFT by Fortran (2D)

```
module params
use numerical_libraries
implicit none
real(8),parameter:: num=1024          !***** The pixels of simulated map
real(8),parameter:: size=7.2         !***** The size simulated map
real(8),parameter:: FWHM1=5          !***** The FWHM of beam As a Planck-like instrument
real(8),parameter:: snr=10           !*****S/N
character(256) :: numstr,numstring,numstr1
real(8) coef15(0:num-1,0:num-1),
INTEGER      runpower,IR, IS, J, LDA, LDcoef, NCA,
COMPLEX(8)   C, CEXP, CMPLX,
COEF(num,num),coef_cmb(num,num),fourier_temp(num,num),coef180(num,num),INTRINSIC CEXP, CMPLX, FLOAT
end module params
```

A sample for FFT by Fortran (2D)

```
use params
implicit none
INTEGER, PARAMETER:: double=SELECTED_REAL_KIND(15,307)
real(double)      CHSQ,DF1,t2,chi_sq_GSN_GN,t_GSN_GN(0:10000)
integer           LDB,num11,map_rin
Print*,'This program generate map including CMB-S4 Beam'

Print*,'The value of FWHM in arcmin'
read*,FWHM
pi=4*atan(1.0)
theta_c=theta_c1*pi/180
l_kc=2*pi*d_c*ferquency_c/(theta_c*cc)
      call random_seed
      call initial_condition
      call noise
      call gaussian_map

!***** Power spectrum (G+S)_beam
n_run=1
write(numstr,*) n_run
numstring='power_GS_beam.'//trim(adjustl(numstr))
open(7570000,file=numstring)
power=0
l_angular=0
yu=0
st=0
do i=0,num-1
do j=0,num-1
st(i,j)=tempGS_beam(i+1,j+1)
enddo
enddo
call power_spectrum
do k=mink,maxk
p(k)=p(k)/numm(k)
yu=yu+1
power(yu)=(2*pi)*p(k)*((360.0/size)*delta*k)**2
l_angular(yu)=(360.0/size)*delta*k
write(7570000,*)l_angular(yu),power(yu)
endif
enddo
```

A sample for FFT by Fortran (2D)

```
!***** Power spectrum computation
subroutine power_spectrum
use params
im=(0,1)
lda=num
nca=num
nra=num
LDCOEF=num
pi=4*atan(1.0)
L=size*pi/180
maxk1=-100000000
maxk2=maxk1
numm=0
p=0
coef14=0
mink=1000000
maxk=-1000000
!***** make a forward fourier transformation of st(i,j) *****

CALL DFFT2D (NRA, NCA, st, LDA, COEF14, LDCOEF)
coef15=(real(coef14))**2+(real(coef14*(-im)))**2      !***** T(K)**2

delta=1.0

do i=0,num-1
do j=0, num-1
k=int(sqrt((i*1.0+1.0)**2+(j*1.0+1.0)**2)/delta+wwz)-wwz
p(k)=p(k)+coef15(i,j)
if(k.le.mink)then
mink=k
endif

if(k.ge.maxk)then
maxk=k
endif
numm(k)=numm(k)+1
enddo
enddo

end subroutine power_spectrum
```


The FFT and Quantum Wave-packet Motion

Q. Wave Packet (FFT)

سید اللہ مراد حسین

معارف سٹوڈنٹس فارم ریفرنس ہیں۔ ڈیٹا میں اس بات کو ملحوظ رکھنا چاہئے کہ یہ مخصوص ڈیٹا رینج و دیگر متعلقہ سسٹم ہائی
کوالٹی پر اس وقت دیا گیا ہے کہ اس کے ذریعے زیادہ سے زیادہ بہ صورت زیر آئے:

$$1D \rightarrow i\hbar \frac{\partial}{\partial t} \psi(x,t) = -\frac{\hbar^2}{2m} \frac{\partial^2}{\partial x^2} \psi(x,t) + V(x)\psi(x,t)$$

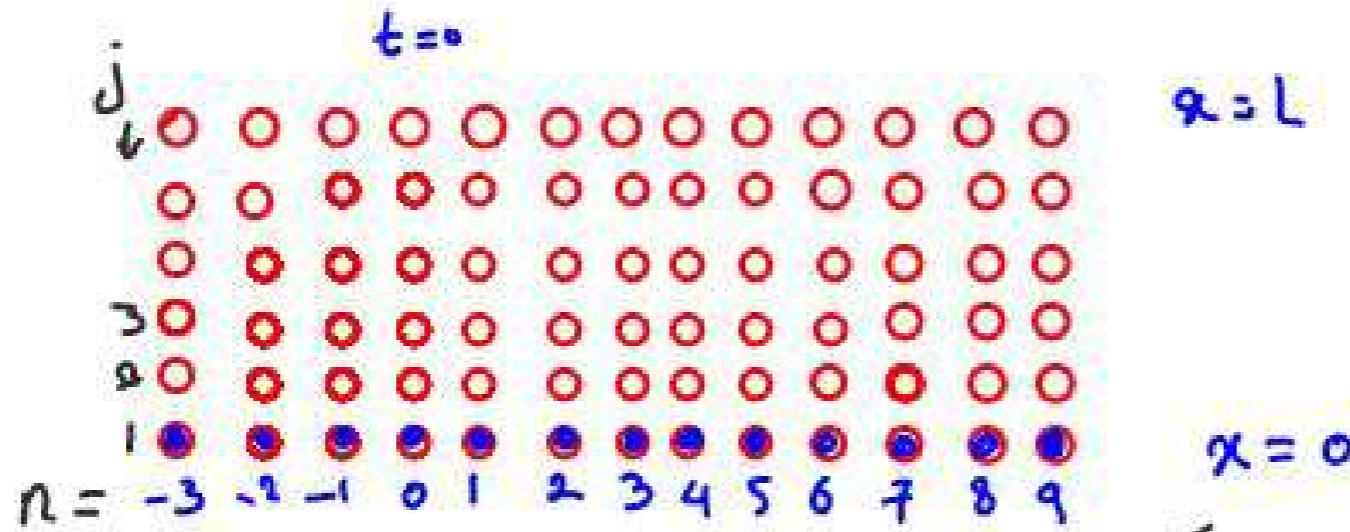
حل ایسے معادلات بہ صورت زیر آئے:

$$\psi(x,t) = e^{-\frac{i}{\hbar} H t} \psi(x,0)$$

$$H \equiv -\frac{\hbar^2}{2m} \frac{\partial^2}{\partial x^2} + V(x)$$

: H.H

The FFT and Quantum Wave-packet Motion



حالتوں کے ریکل بلک ہڈے میں شور بیدگتہ سازی کرد:

$$0 \leq x \leq L \rightarrow h \equiv \Delta x = \frac{L}{N} \Rightarrow \begin{cases} x_j = hj \\ j = 0, \dots, N \\ t_n = n\tau \end{cases}$$

$$\tau = \Delta t$$

$$\psi_j^n(x_j, t_n)$$

پس تابع موج در (x_j, t_n) بہ صورت

$$\bar{V}_j \equiv \bar{V}(x_j) \quad \text{مکین بیانیں صورت}$$

Time Evolution (FT)

اگزن کہ سٹریٹ میزری اسٹیف کریم آمارہ ایم کہ بہ صدمت گتہ عارہ را حل کنیم ہیں

$$i\hbar \frac{\partial \psi}{\partial t} = -\frac{\hbar^2}{2m} \frac{\partial^2 \psi}{\partial x^2} + V(x) \psi \equiv (\mathcal{T} + \mathcal{V}) \psi$$

\mathcal{T} : Differential operator
 \mathcal{V} : Multiplicative operator
 } in Position space

با لوصہ تبدیل فوریر $x \rightarrow p$ مفروضہ را $\int_{-\infty}^{+\infty} dx \exp(-i \frac{px}{\hbar}) \psi(x, t)$

$$\bar{\psi}(p, t) = \frac{1}{\sqrt{2\pi\hbar}} \int_{-\infty}^{+\infty} dx \exp(-i \frac{px}{\hbar}) \psi(x, t)$$

ہیں ریاضی فوریر را ہم:

$$\begin{aligned}
 i\hbar \frac{\partial}{\partial t} \int e^{+i \frac{px}{\hbar}} \bar{\psi}(p, t) dt &= -\frac{\hbar^2}{2m} \frac{\partial^2}{\partial x^2} \int e^{+i \frac{px}{\hbar}} \bar{\psi}(p, t) dt \\
 &+ \int \bar{V}(q) e^{i \frac{qx}{\hbar}} dq \int \bar{\psi}(p) e^{i \frac{px}{\hbar}} dp \frac{1}{\sqrt{2\pi\hbar}}
 \end{aligned}$$

$$i\hbar \frac{\partial}{\partial t} \bar{\psi}(p,t) = \frac{p^2}{2m} \bar{\psi}(p,t) + \frac{1}{\sqrt{2\pi\hbar}} \int_{-\infty}^{+\infty} V(p-q) \psi(q) dq \quad \text{یعنی}$$

حالتی که در فضا اندازه حرکت $\hbar k$ یک عملکردی از حالتی به نیایش عملکردی

تبدیل کنیم به حل ساده صورت:

$$\psi(x,t) = e^{-i(\tau + v)\frac{(t-t_0)}{\hbar}} \psi(x,t_0)$$

$$\psi(x,t+\tau) = e^{-i(\tau+v)\frac{\tau}{\hbar}} \psi(x,t)$$

$$e^A e^B = e^C$$

این تصویر عبارت:

$$C = A + B + \frac{1}{2}[A, B] + \dots$$

$$e^{-i\frac{(\tau+v)\tau}{\hbar}} \approx e^{-i\frac{\tau^2}{\hbar}} e^{-i\frac{v\tau}{\hbar}}$$

پس

$$= e^{-i\frac{v\tau}{2\hbar}} e^{-i\frac{\tau^2}{\hbar}} e^{-i\frac{v\tau}{2\hbar}}$$

یا

Initial value

الآن ما ده ايم شرح لنيم يعني:

↓

$$(1) \psi(x,t) \rightarrow \psi'(x) = e^{\frac{iV\tau}{\hbar}} \psi(x,t)$$

$$(2) \tilde{\psi}'(p) = \frac{1}{\sqrt{2\pi\hbar}} \int_{-\infty}^{+\infty} dx e^{-\frac{ipx}{\hbar}} \psi'(x)$$

$$(3) \tilde{\psi}'(p) \rightarrow \tilde{\psi}''(p) = e^{-\frac{iP^2\tau}{2m\hbar}} \tilde{\psi}'(p)$$

$$(4) \psi''(x) = \frac{1}{\sqrt{2\pi\hbar}} \int_{-\infty}^{+\infty} dp e^{+\frac{ipx}{\hbar}} \tilde{\psi}''(p)$$

$$(5) \psi(x,t+\tau) = e^{-\frac{iV(x)\tau}{\hbar}} \psi''(x)$$

پہلے براہ راست در طول زمان جھومی رہیم تاہم t_n پر ہم الیہ در حالت کتہ توہم لیندہ

شرط تبادلی

$$-\infty < x < +\infty \rightarrow 0 < x < L, \quad x_j = z \frac{L}{N} = z\hbar, \quad z=0, \dots, N-1$$

$$-\infty < p < +\infty \rightarrow \frac{N}{2} \frac{2\pi\hbar}{L} < p < \frac{N}{2} \frac{2\pi\hbar}{L}, \quad p_k = \frac{2\pi\hbar}{L} k, \quad k=0, \pm 1, \dots, \pm \frac{N}{2}$$

Exercise: $\psi(x,0) = \left(\frac{1}{\sqrt{2\pi\sigma^2}} \right)^{1/4} e^{ik_0 x - \frac{(x-x_0)^2}{4\sigma^2}}$

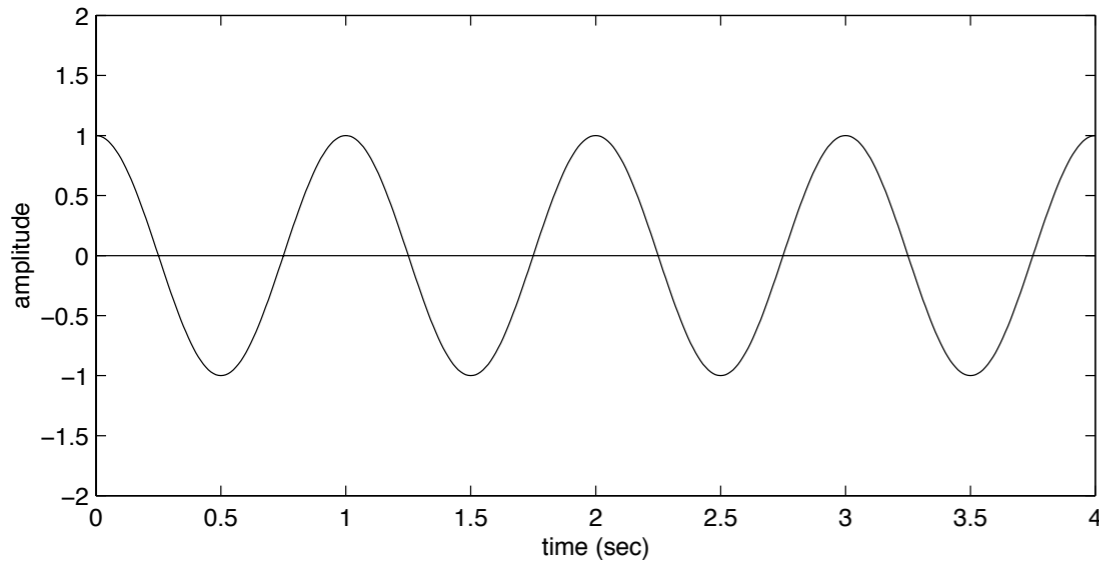
$$e^{\frac{iPL}{\hbar}} = 1$$

$$\psi(0,t) \text{ and } \psi(L,t)$$

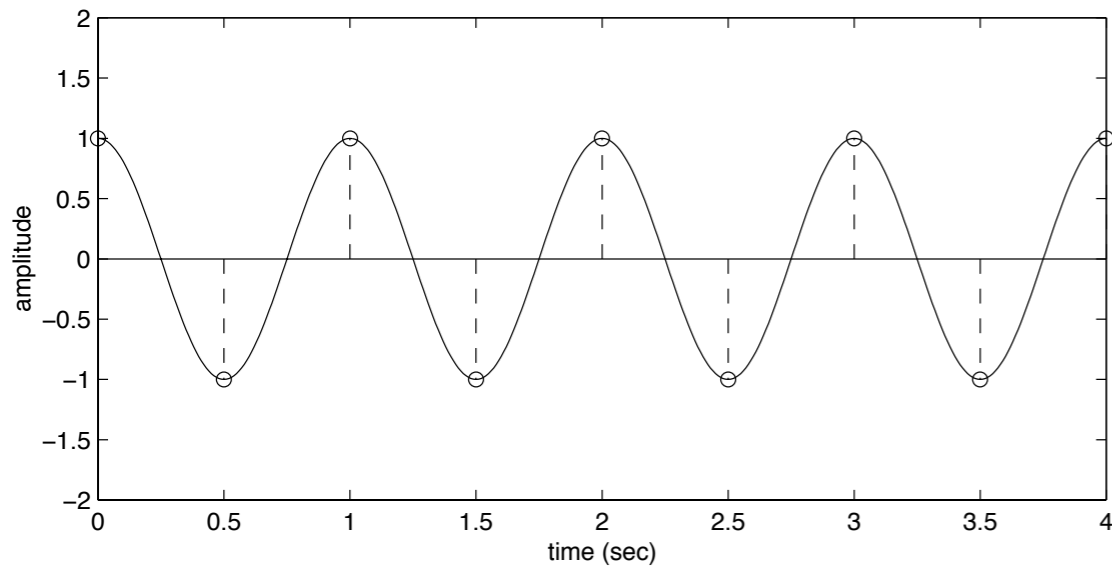
**Part 3:
Alias effect
&
Nyquist sampling**

Nyquist Frequency

Bruno A. Olshausen
PSC 129 - Sensory Processes

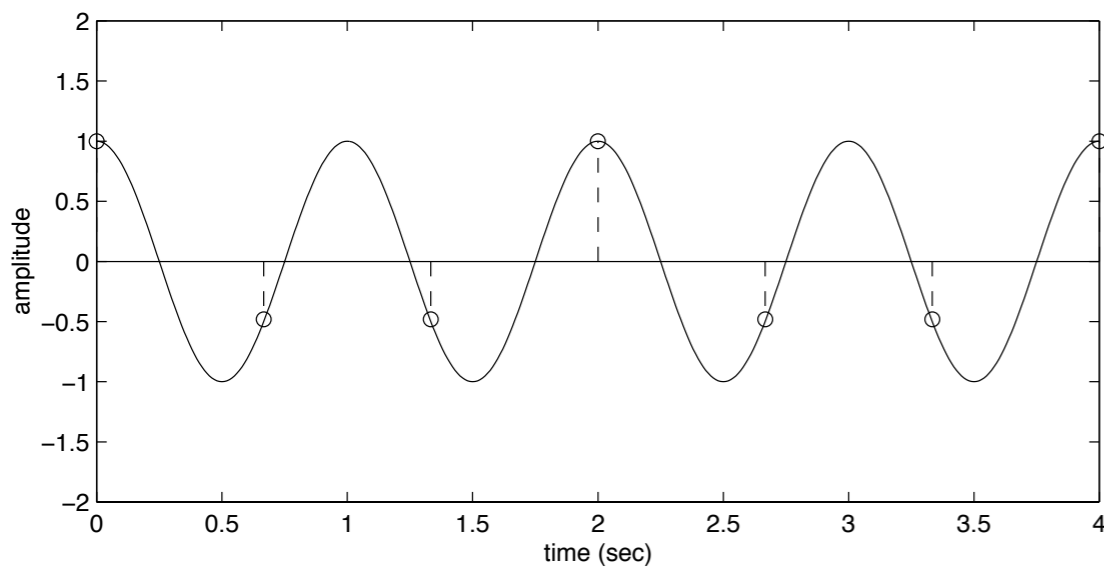


$f_s = 1\text{Hz}$

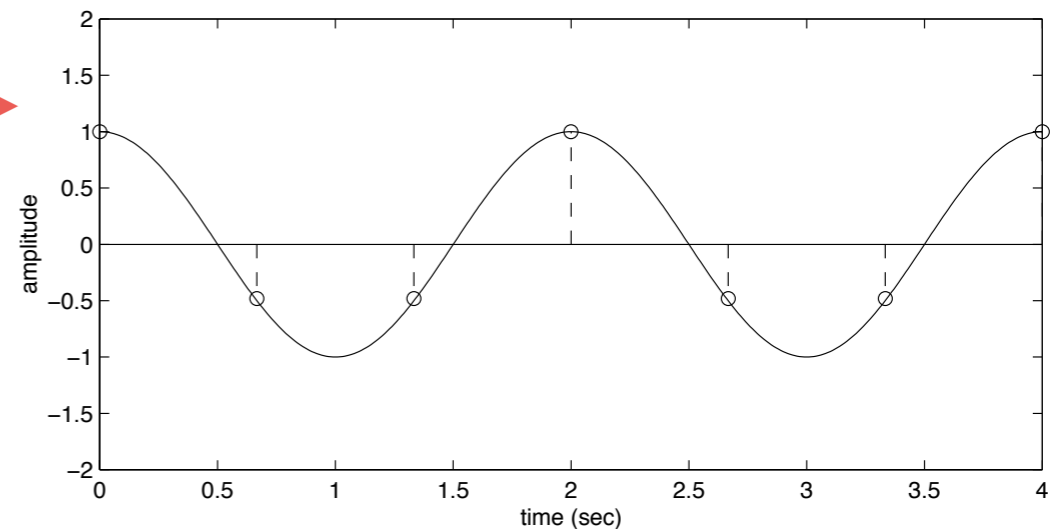


$f_N = 2\text{Hz}$

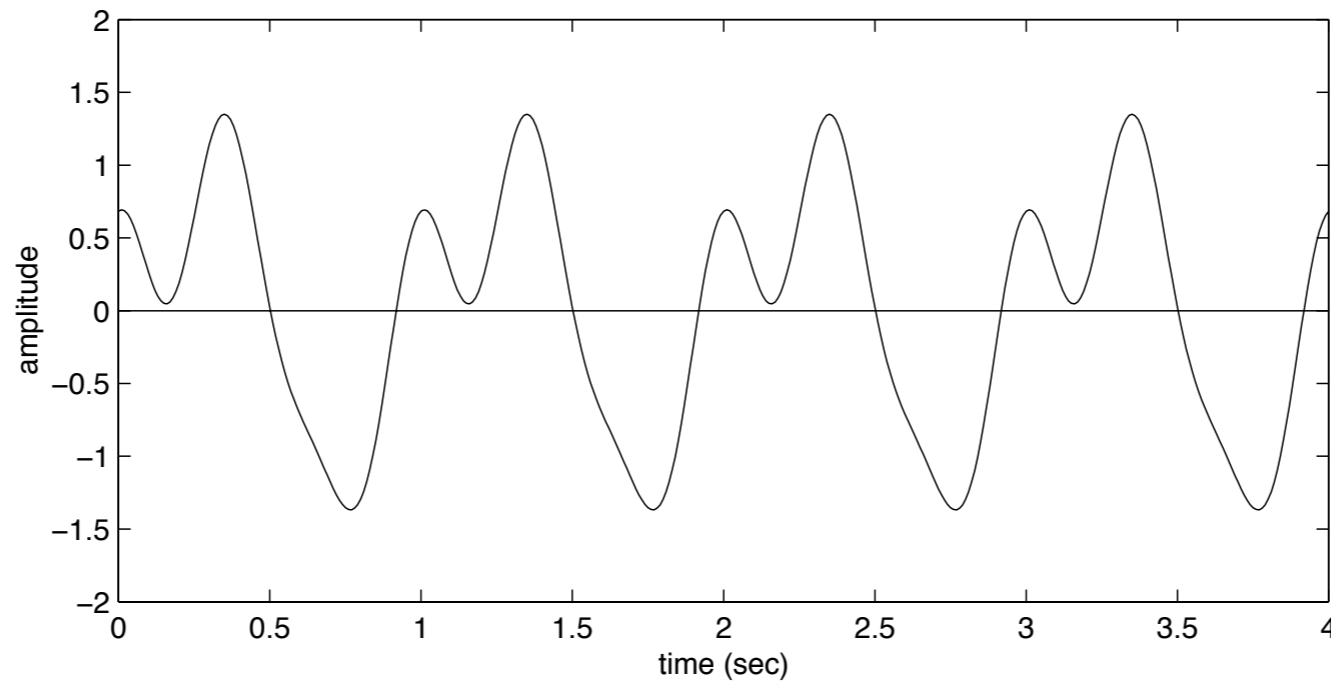
Losing information
as well as getting
wrong information



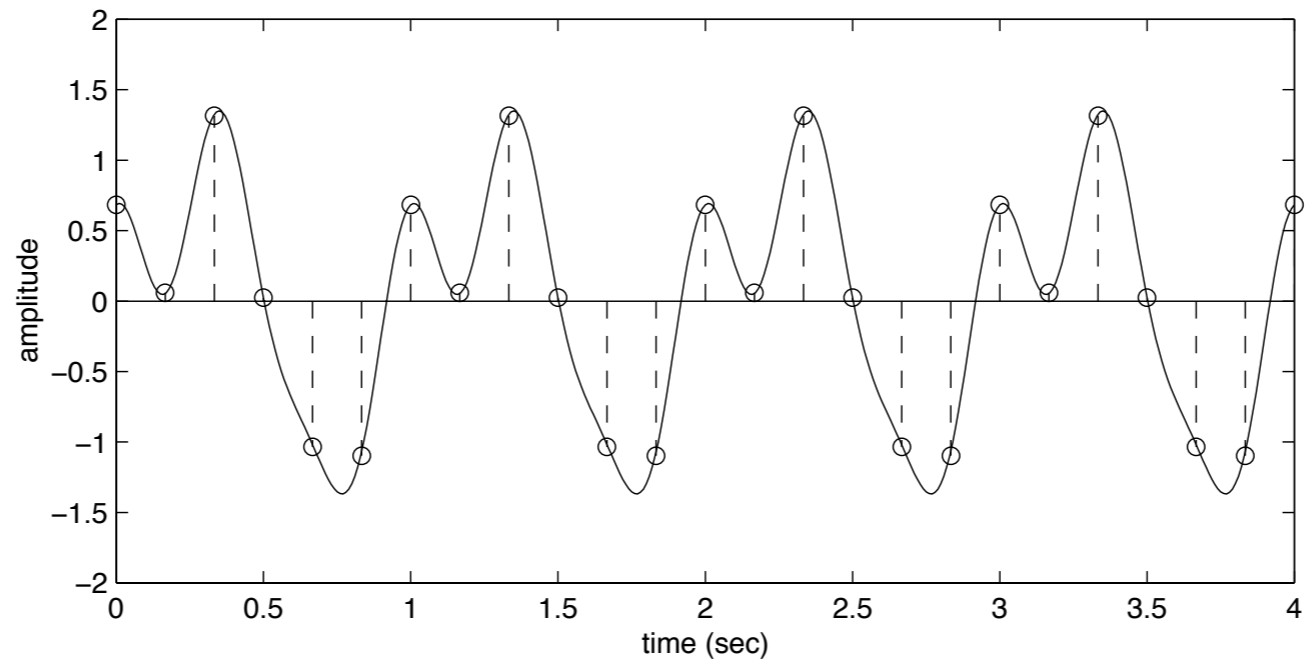
1.5Hz



A series includes 1 Hz, 2 Hz, and 3 Hz frequencies



$$f_N > 2f_s$$
$$f_N > 6\text{Hz}$$



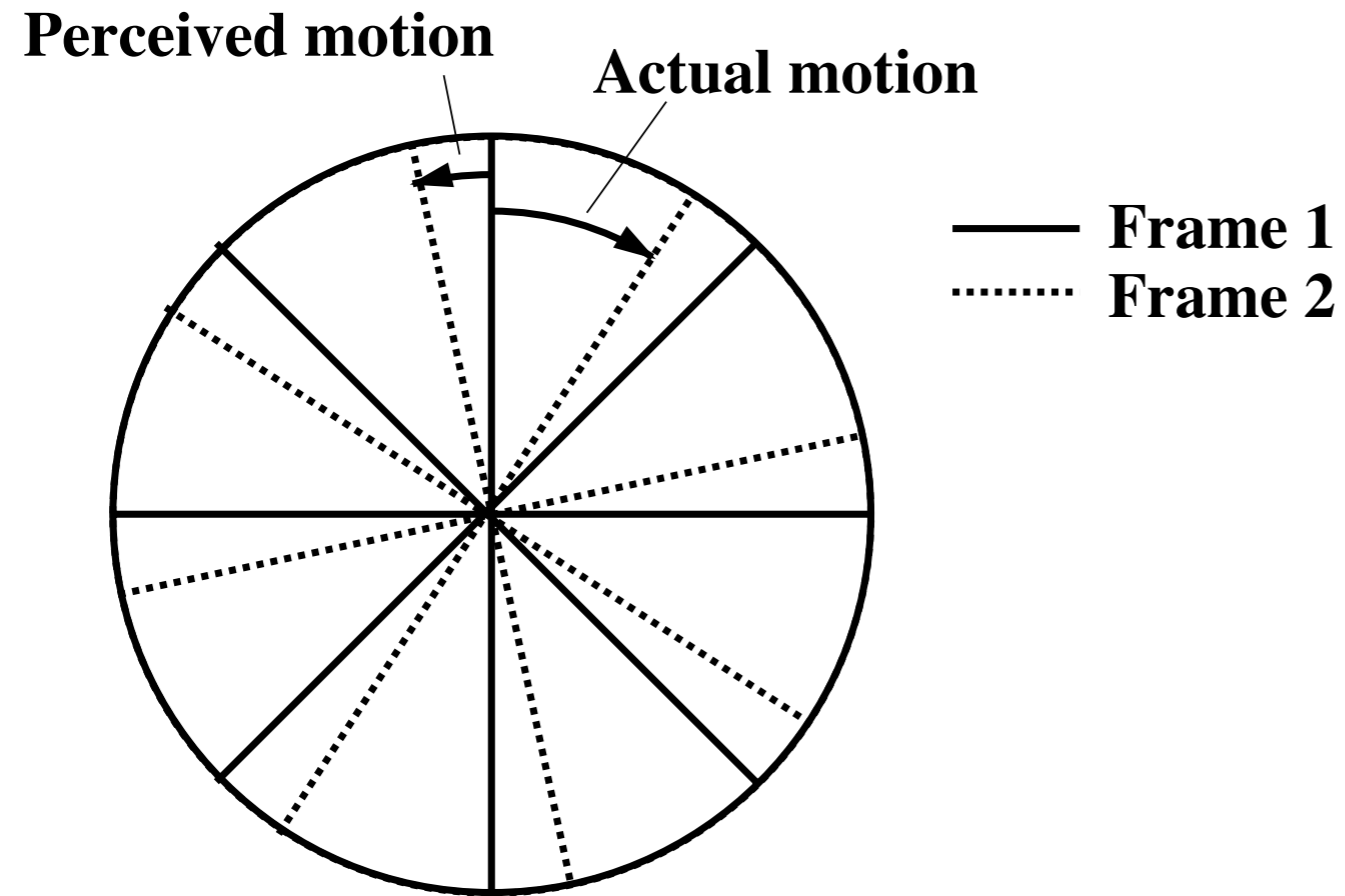
Bruno A. Olshausen
PSC 129 - Sensory Processes

samples correspond to 6 Hz sampling rate

Wagon wheel effect



Wagon wheel effect



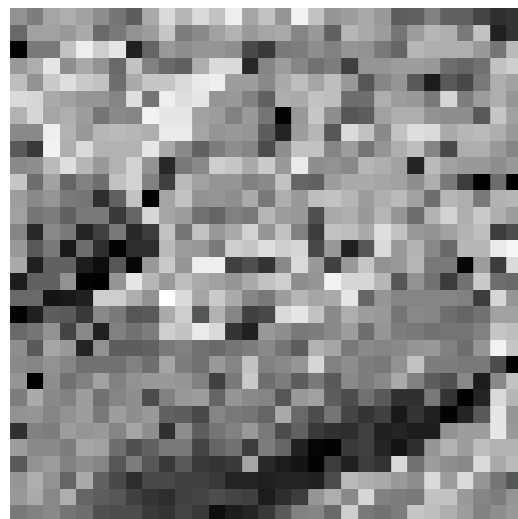
Alias effect



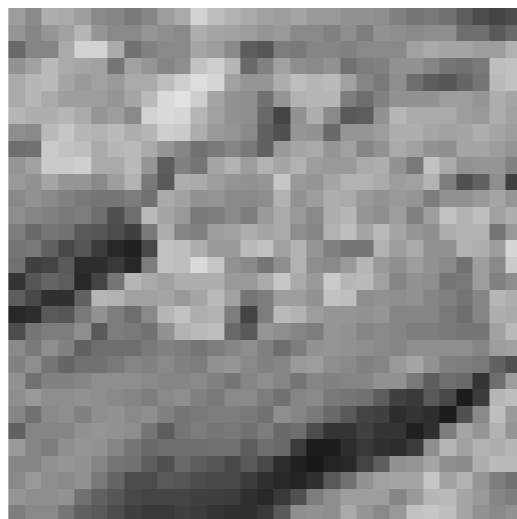
blur



sample



sample



Welcome to Joe's webpage!

subsampling

Welcome to Joe's webpage!

Welcome to Joe's webpage!

smoothing

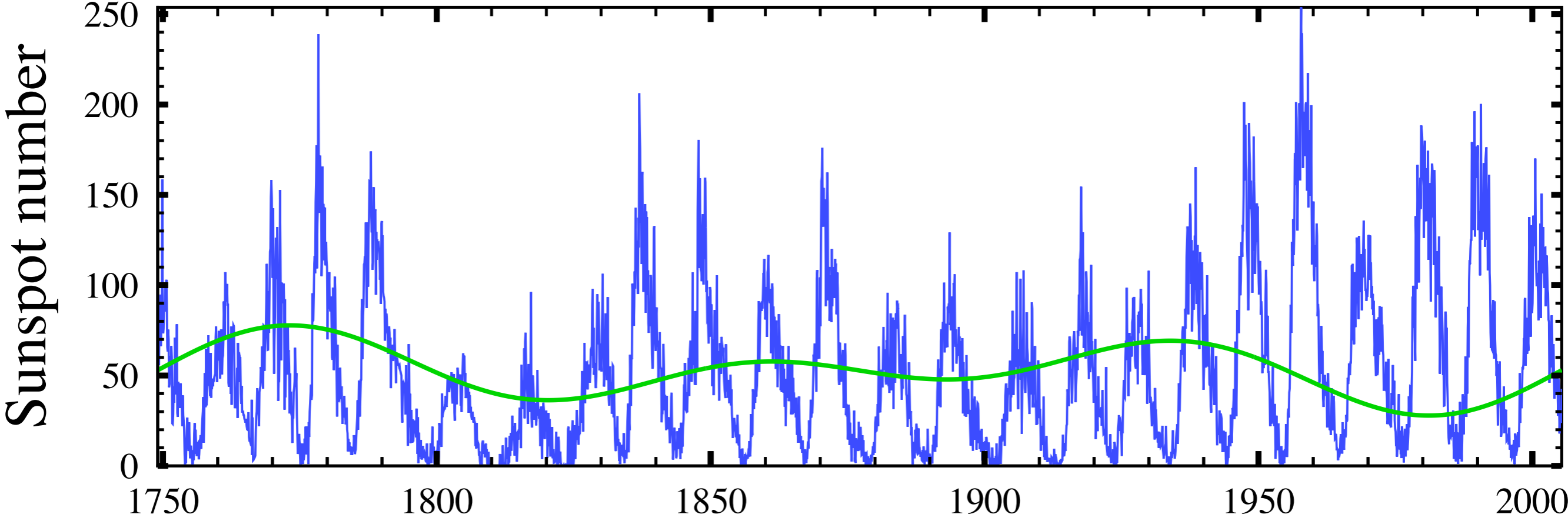
Welcome to Joe's webpage!

subsampling

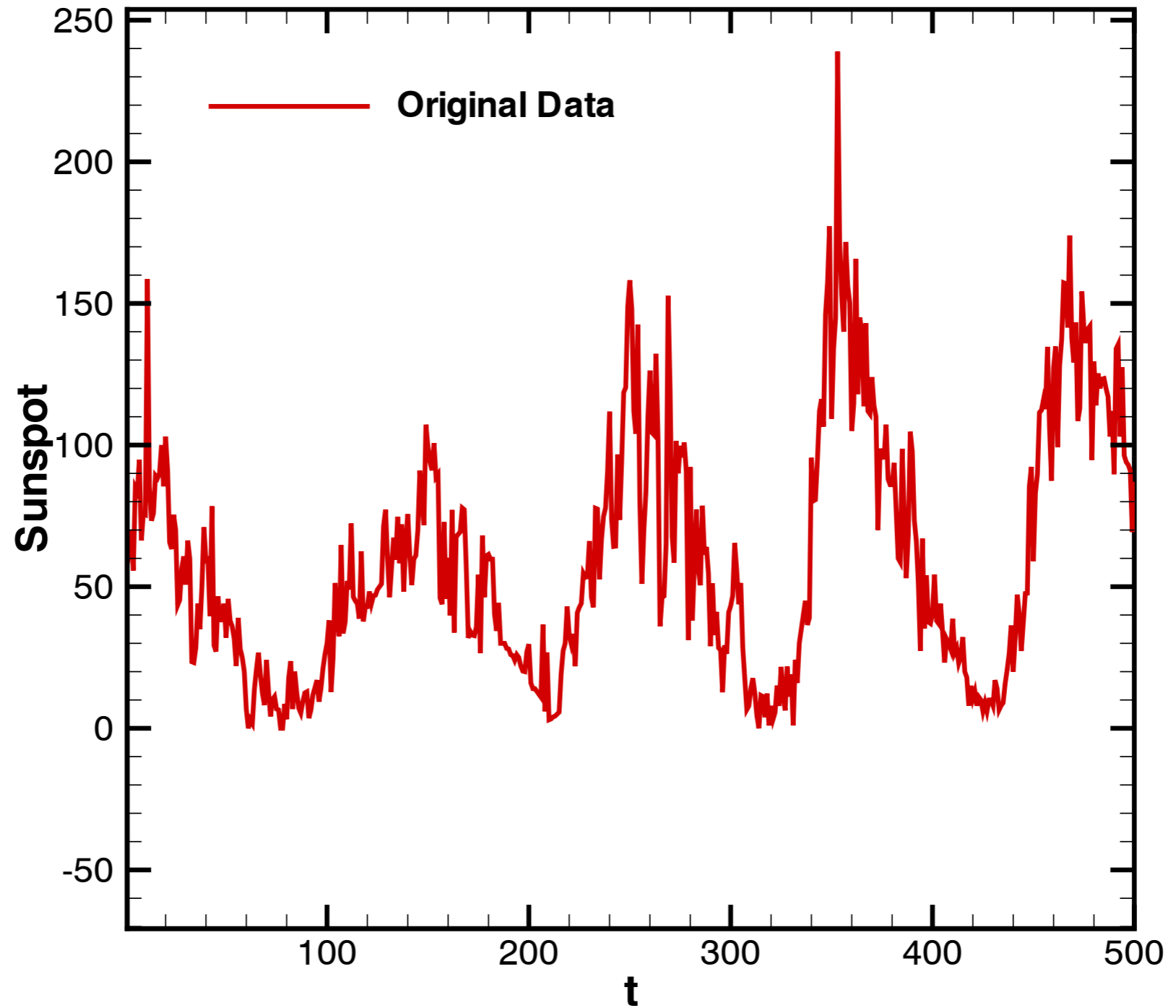
Welcome to Joe's webpage!

Part 4: Filter construction

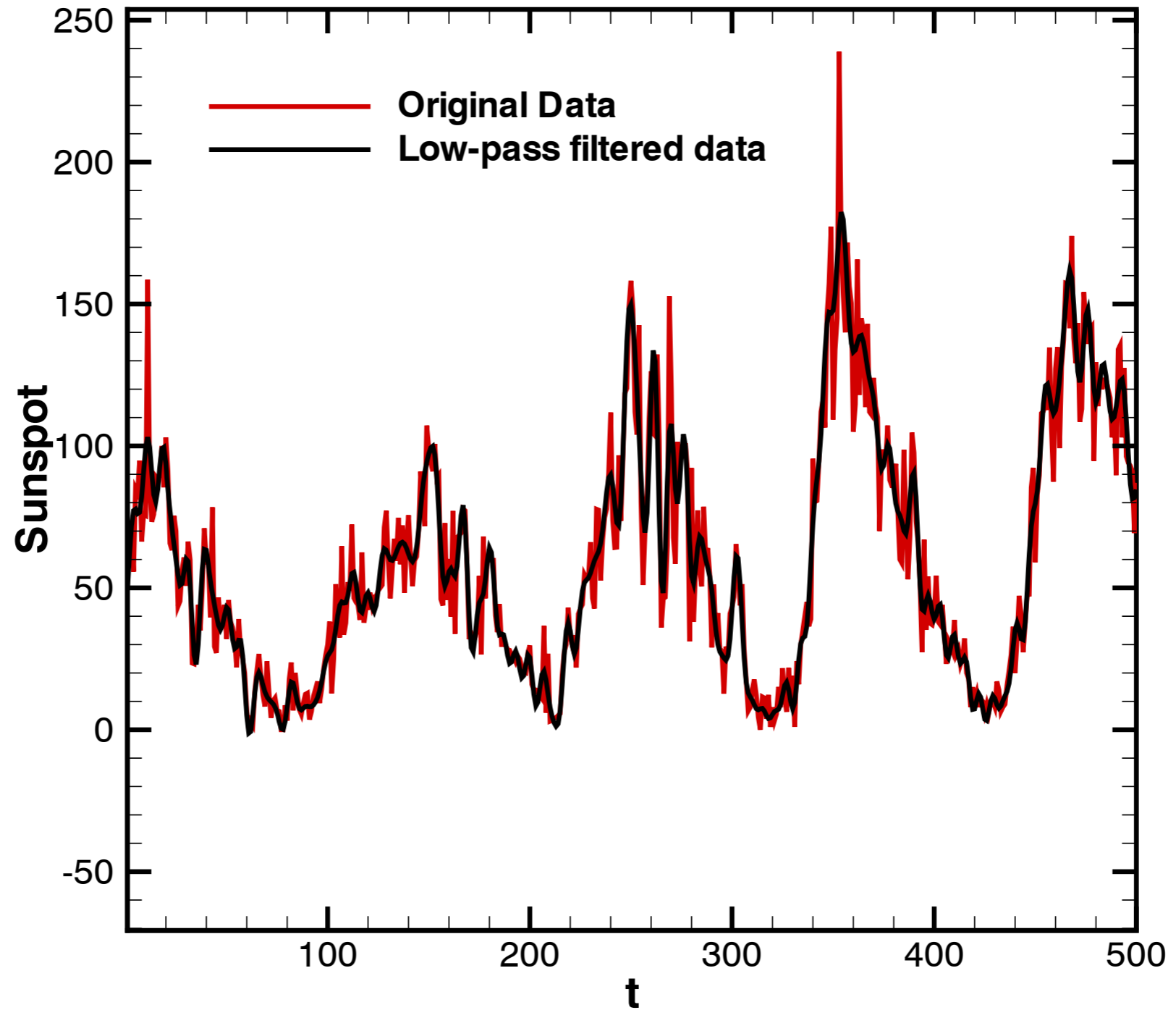
Generic examples



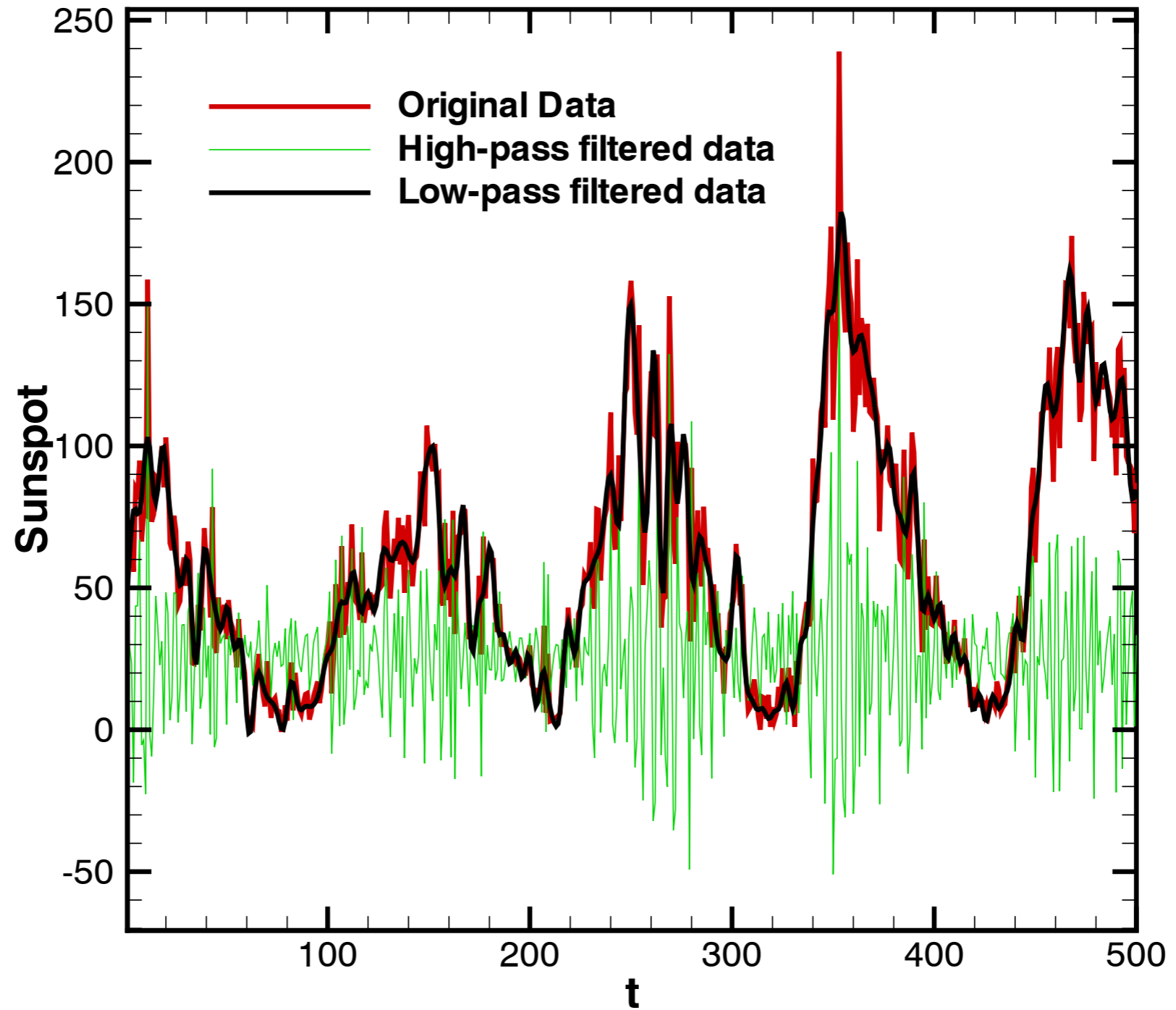
Generic examples



Generic examples



Generic examples

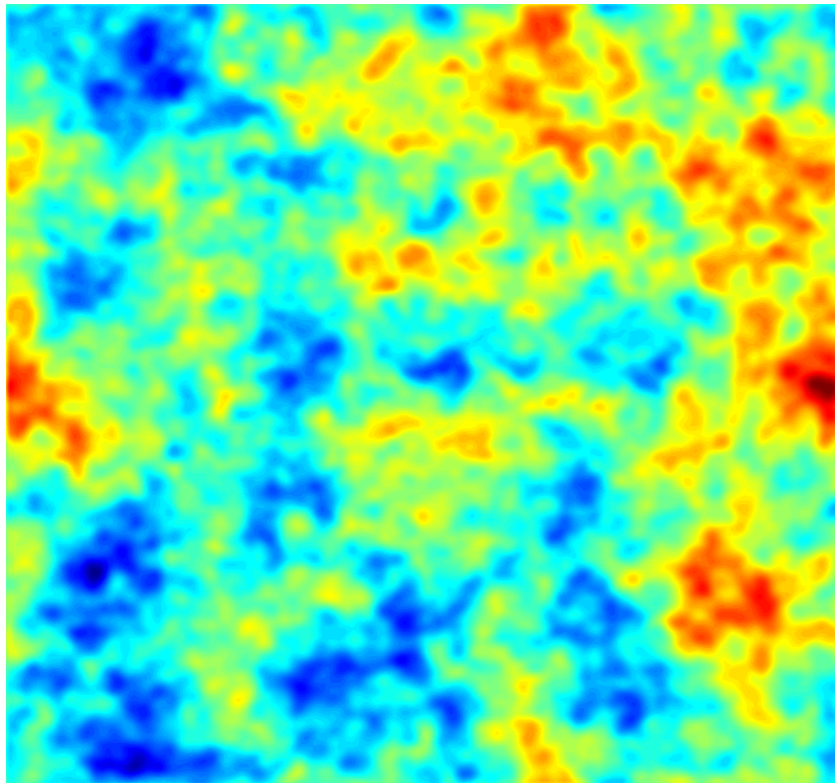


Convolution

Our search proposal

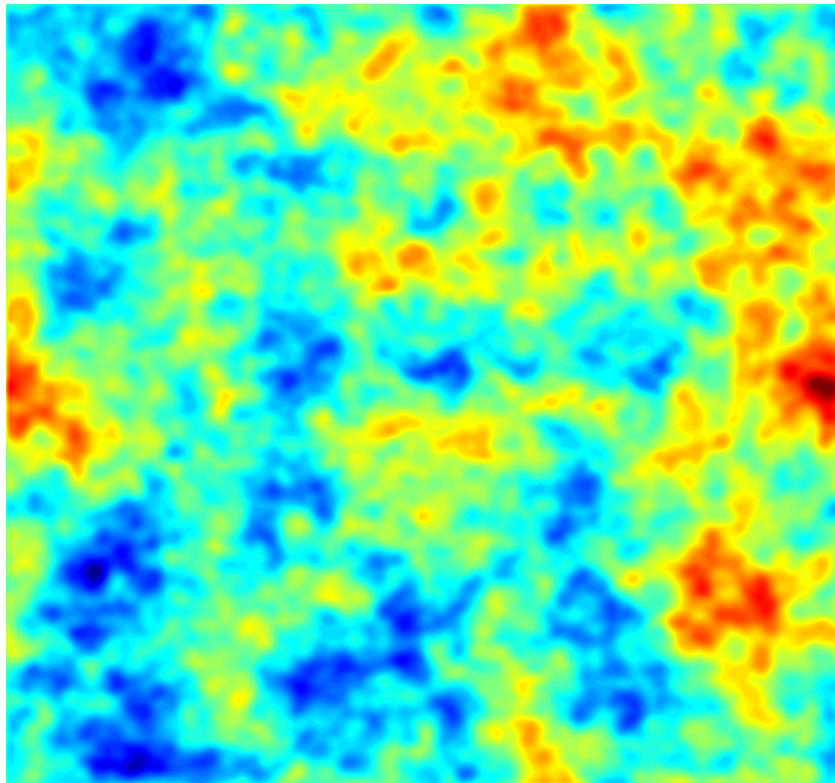
First: what is the lower limit of CS intensity identified in the observations?

Our search proposal



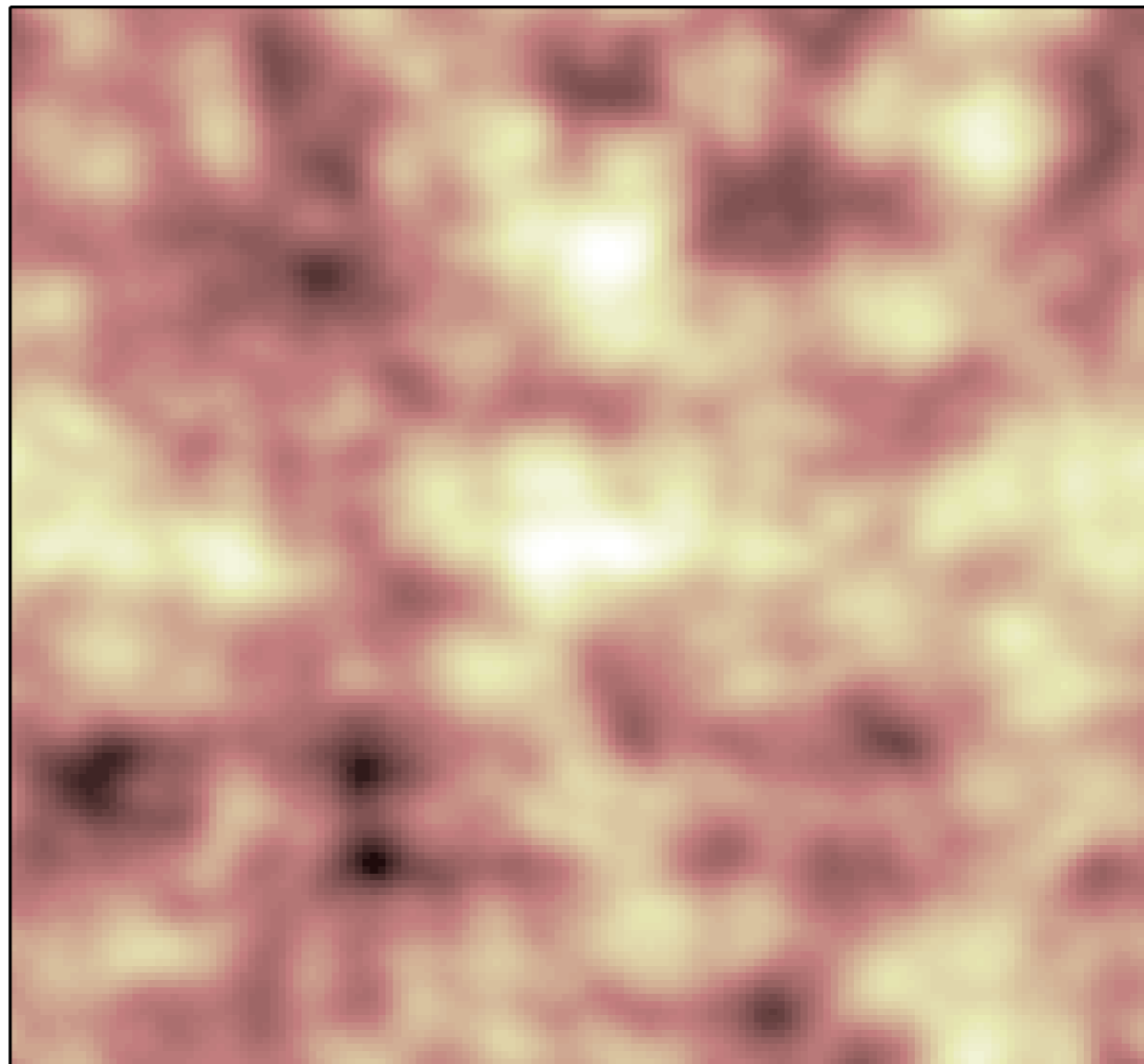
Pure CMB+Beam

Our search proposal

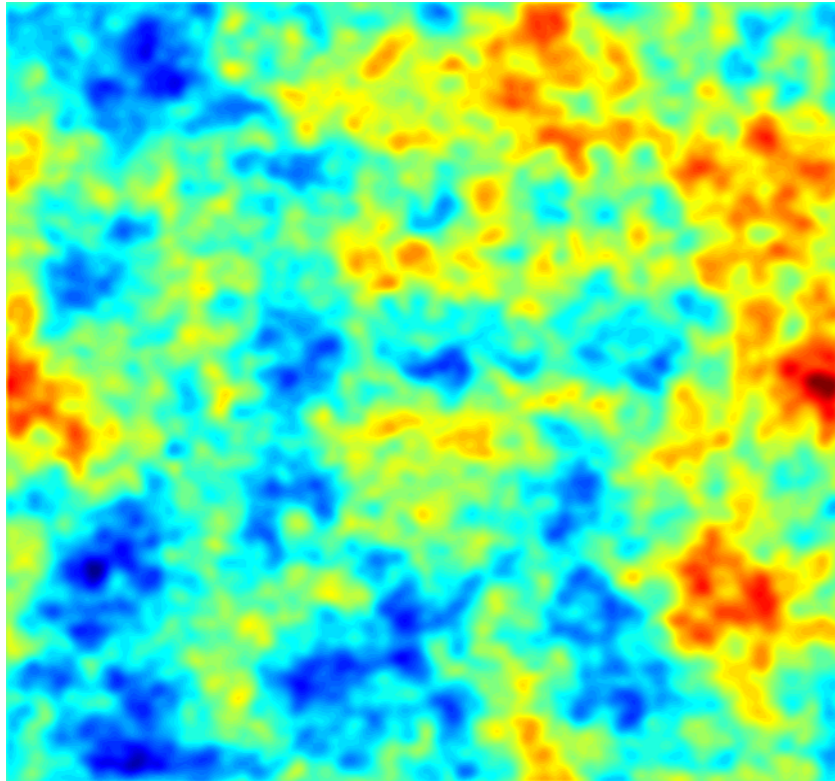


Pure CMB+Beam

G

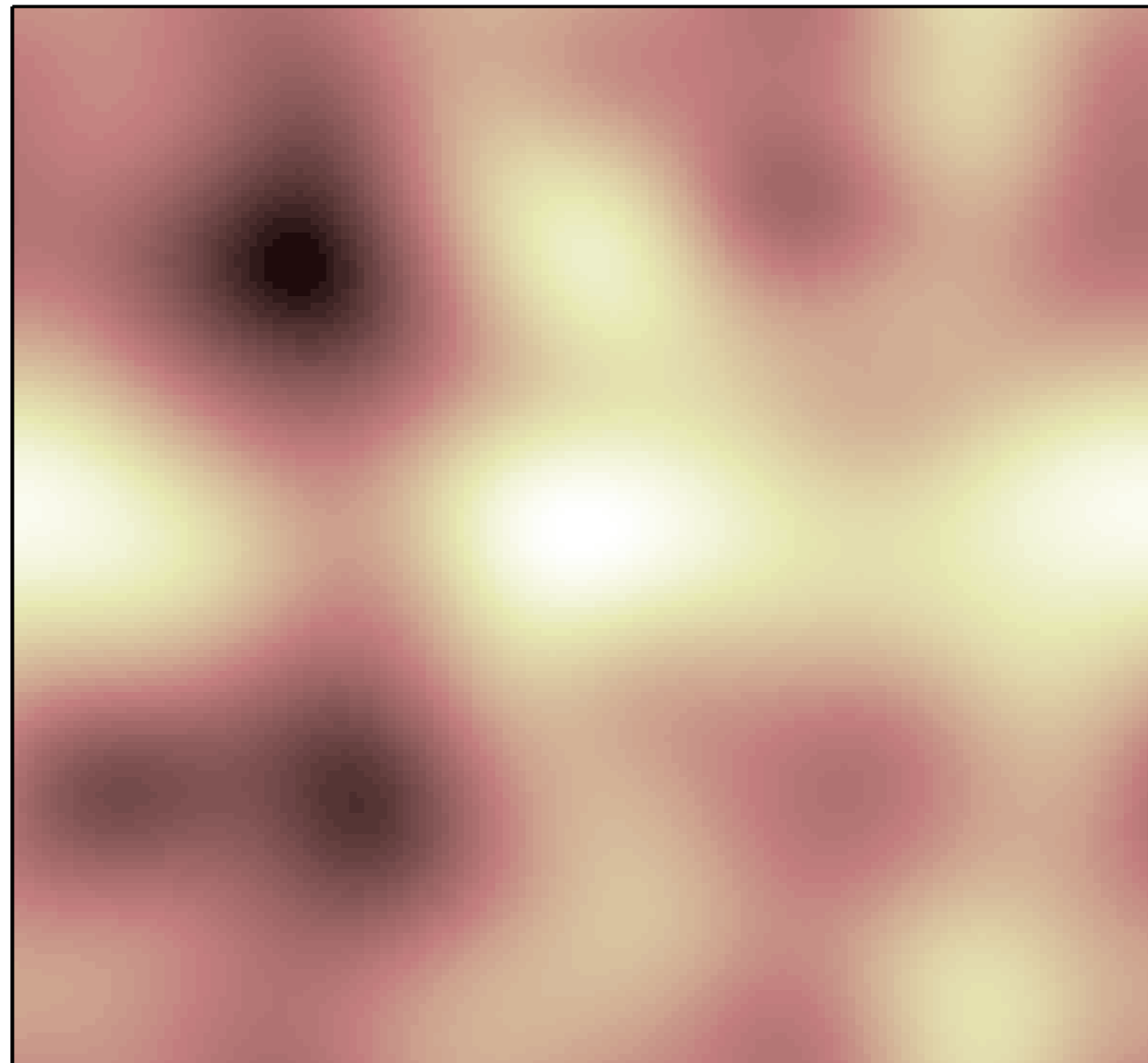


Our search proposal

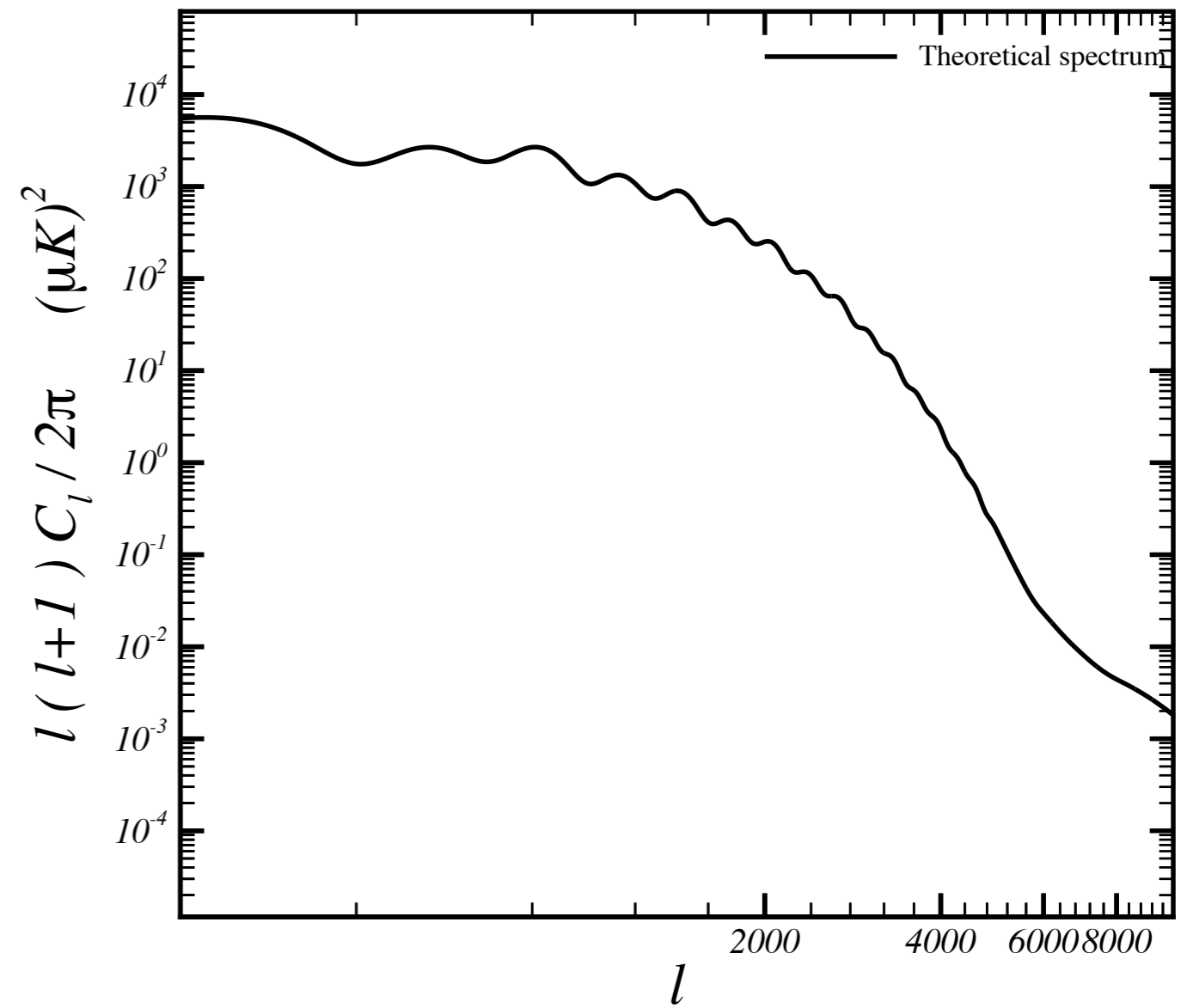
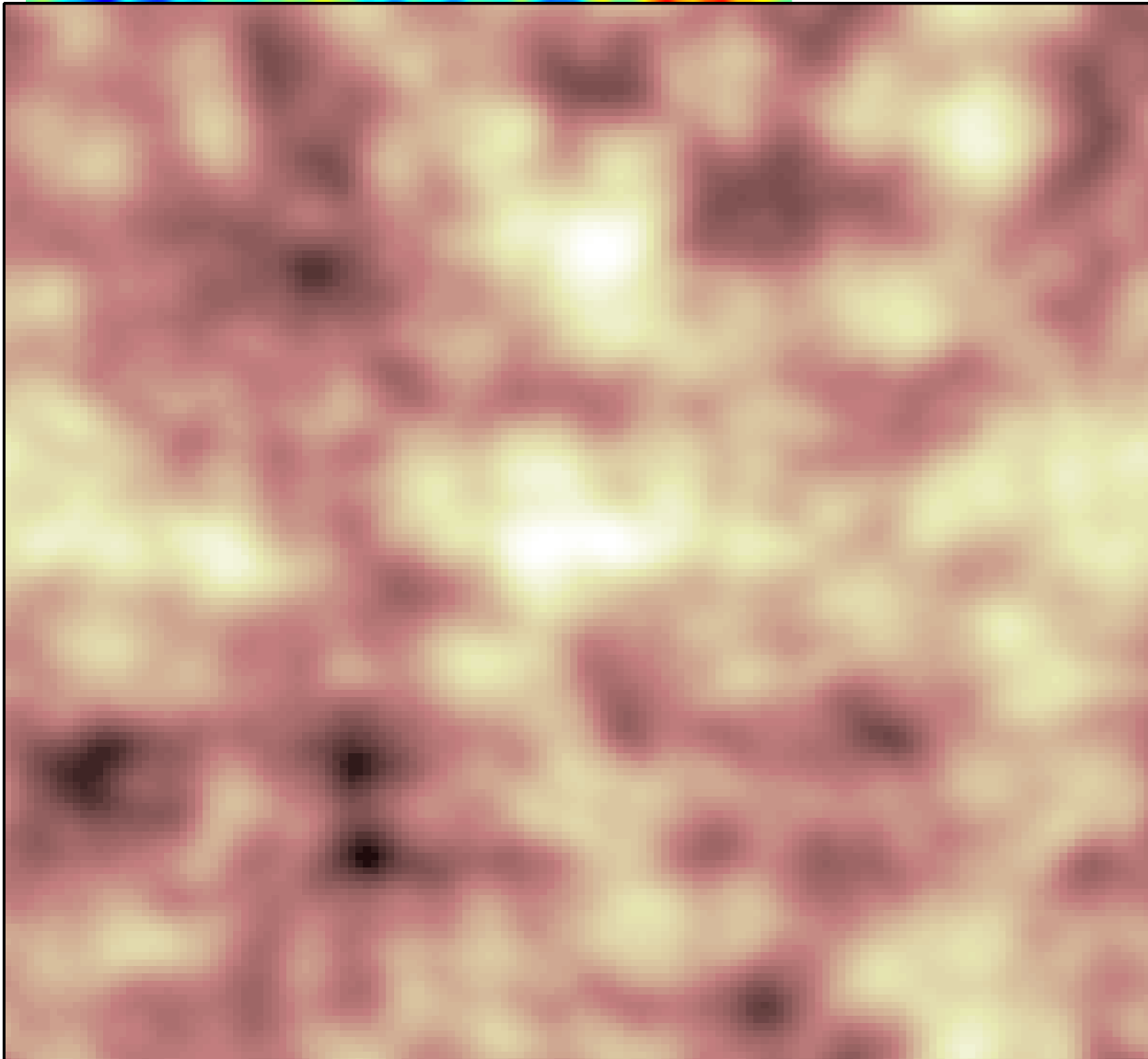
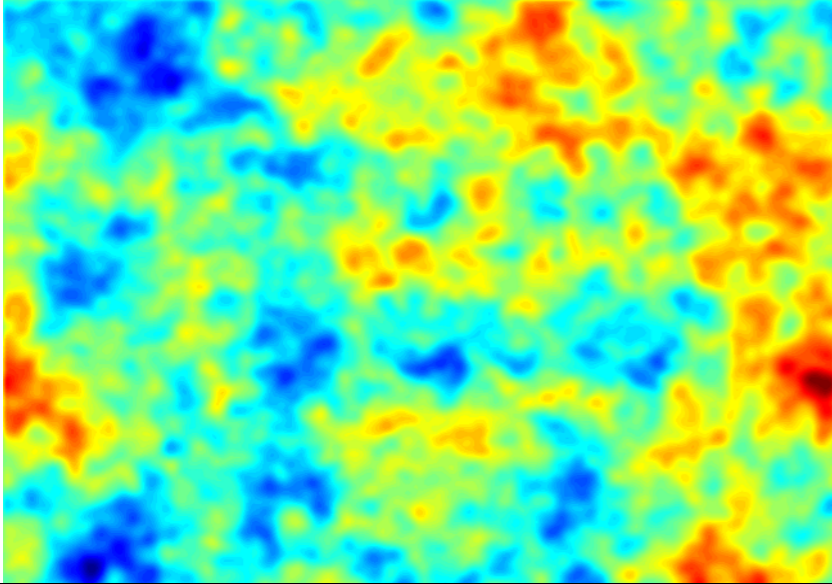


Pure CMB+Beam

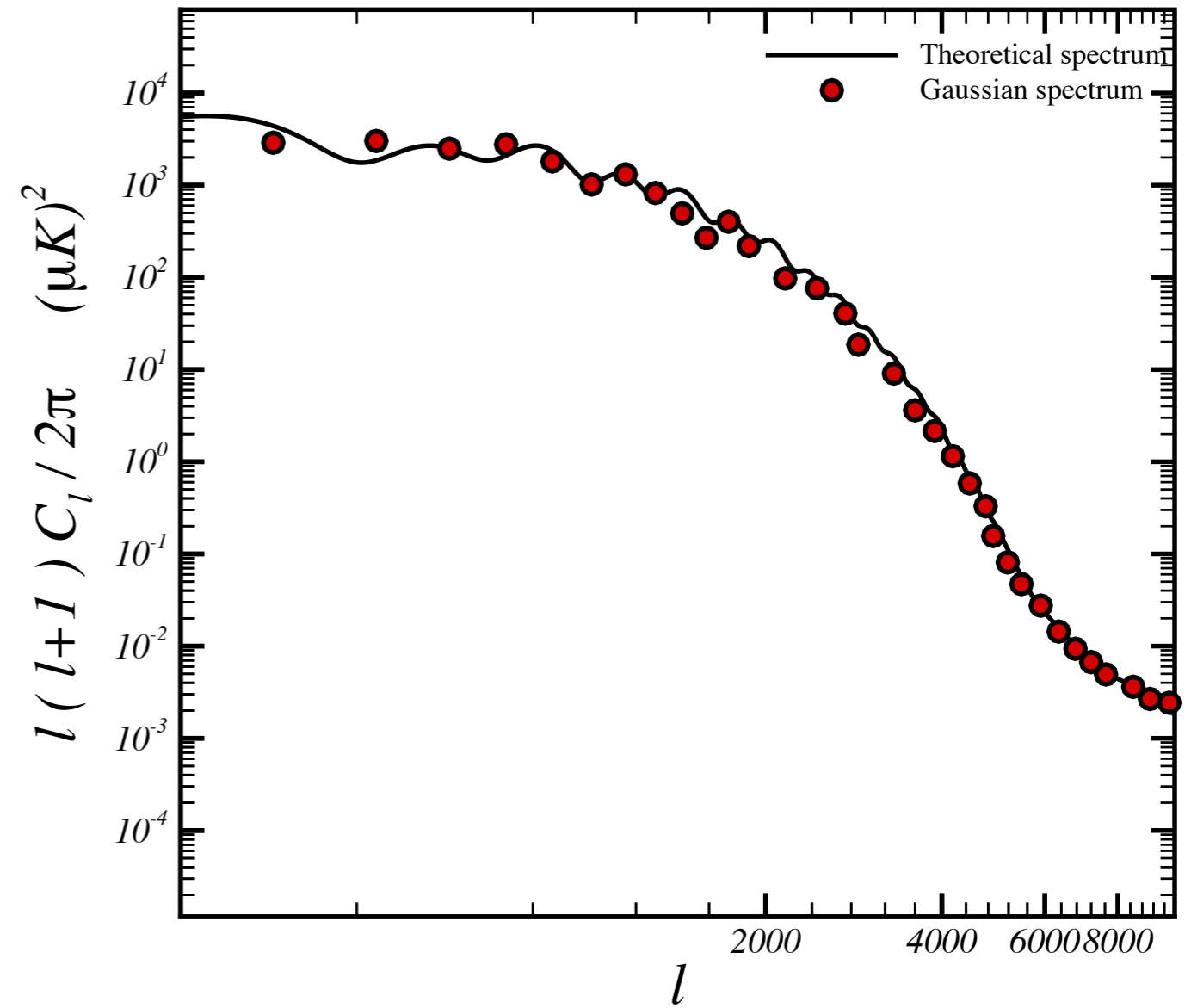
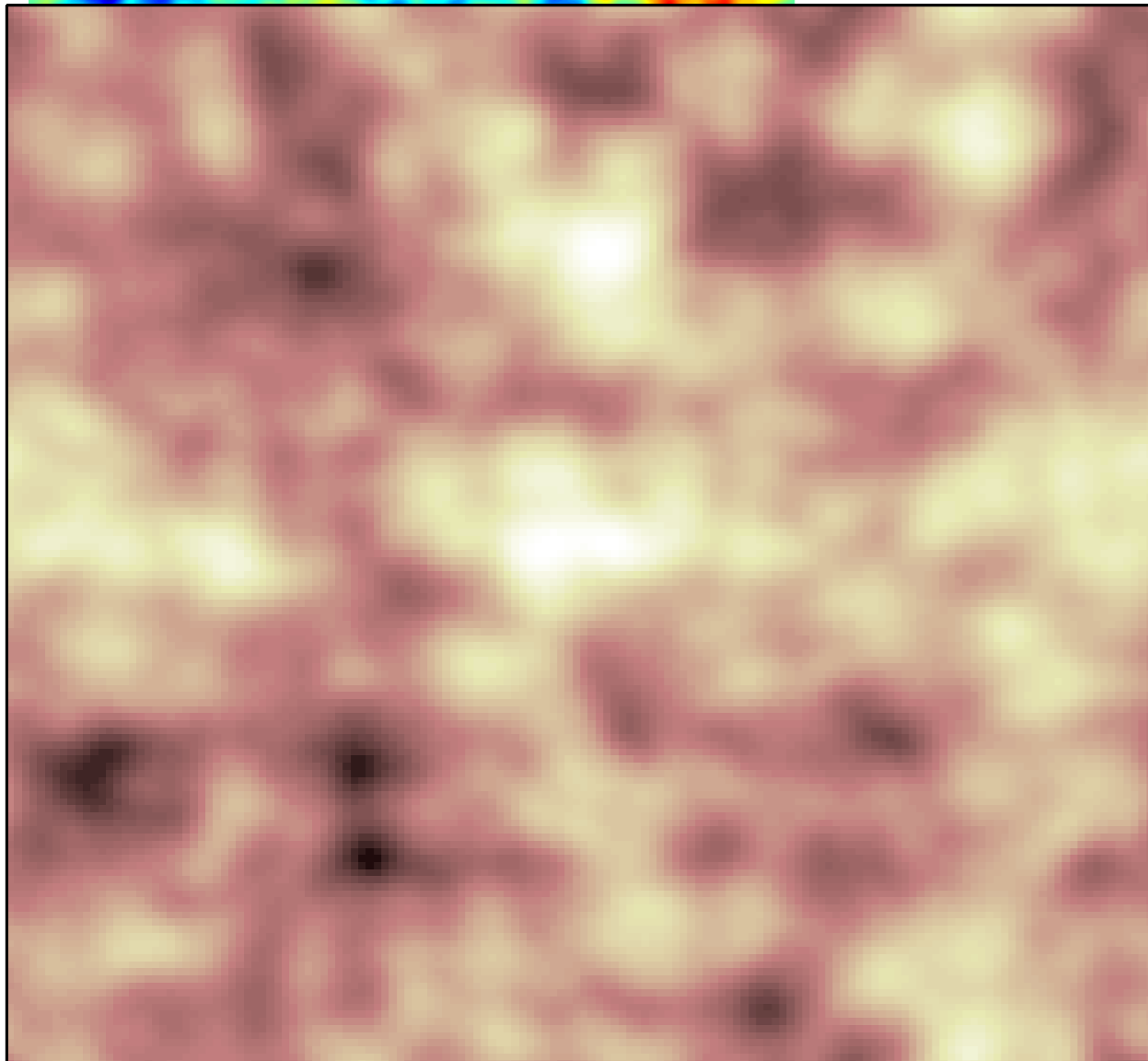
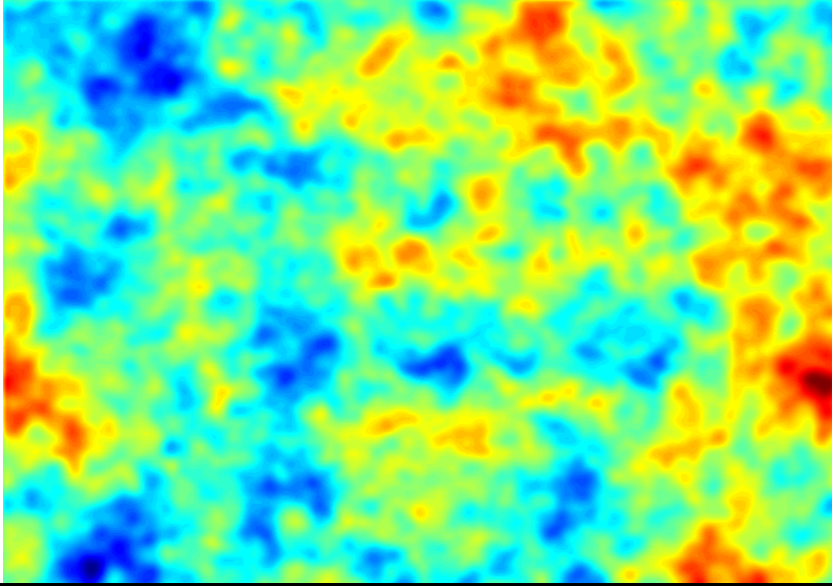
GB



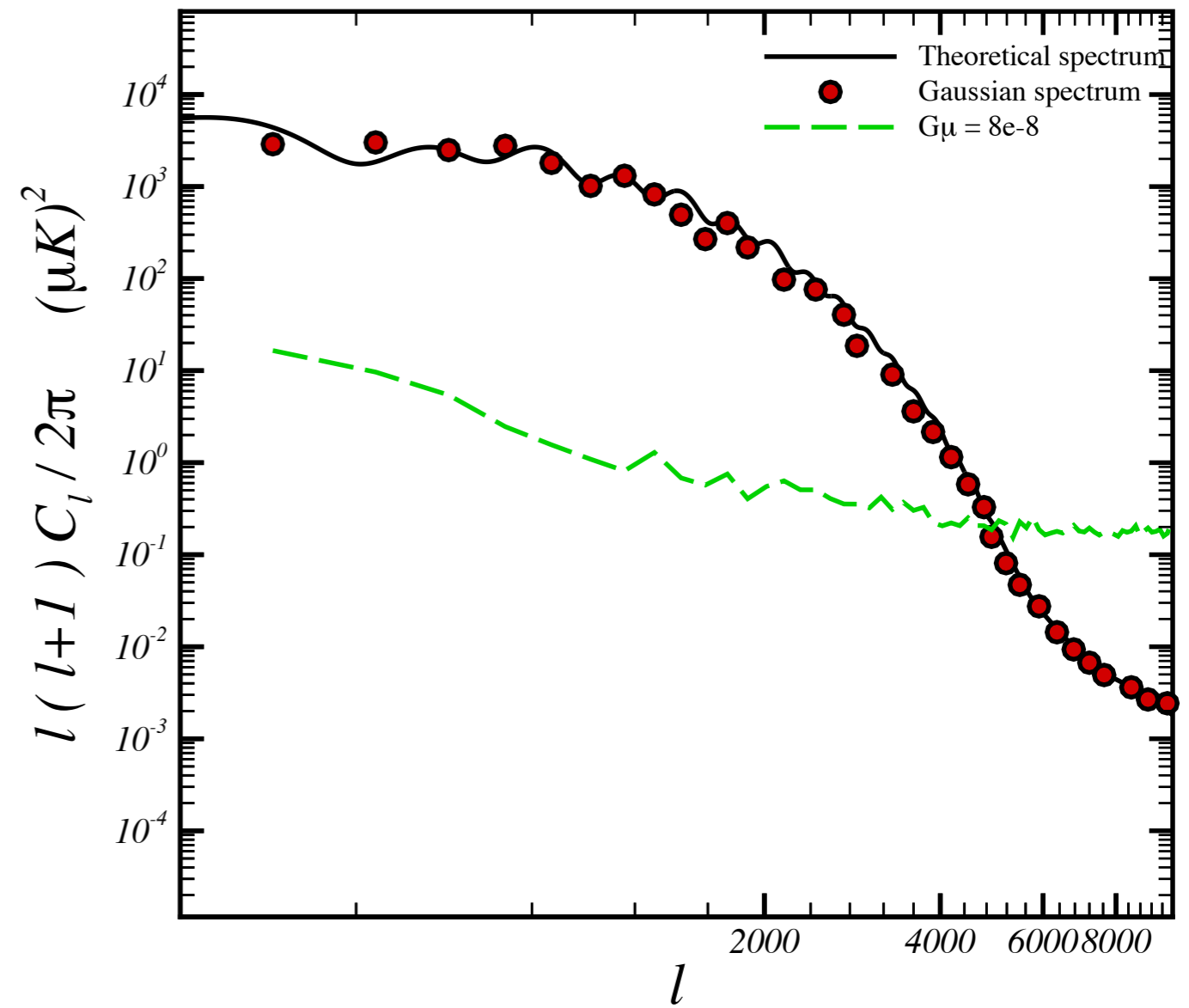
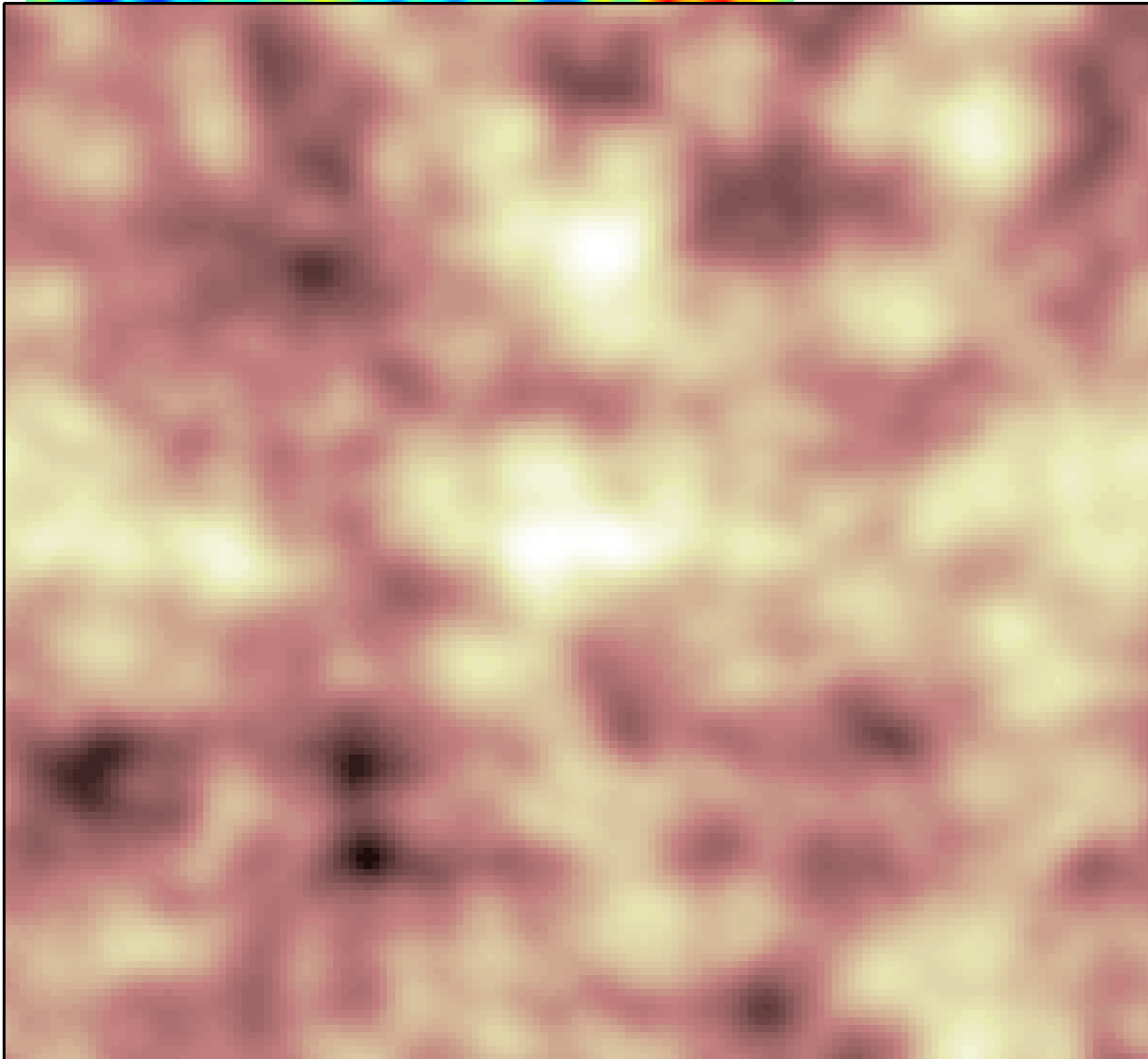
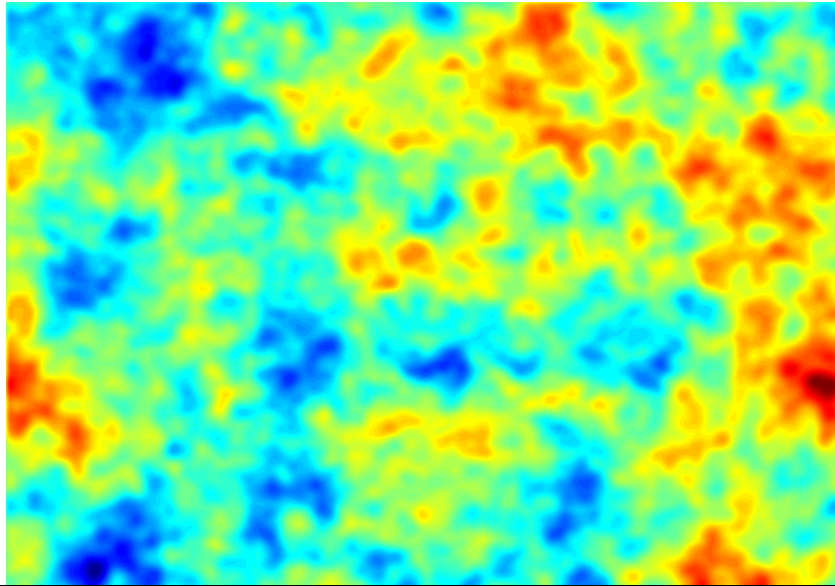
Our search proposal



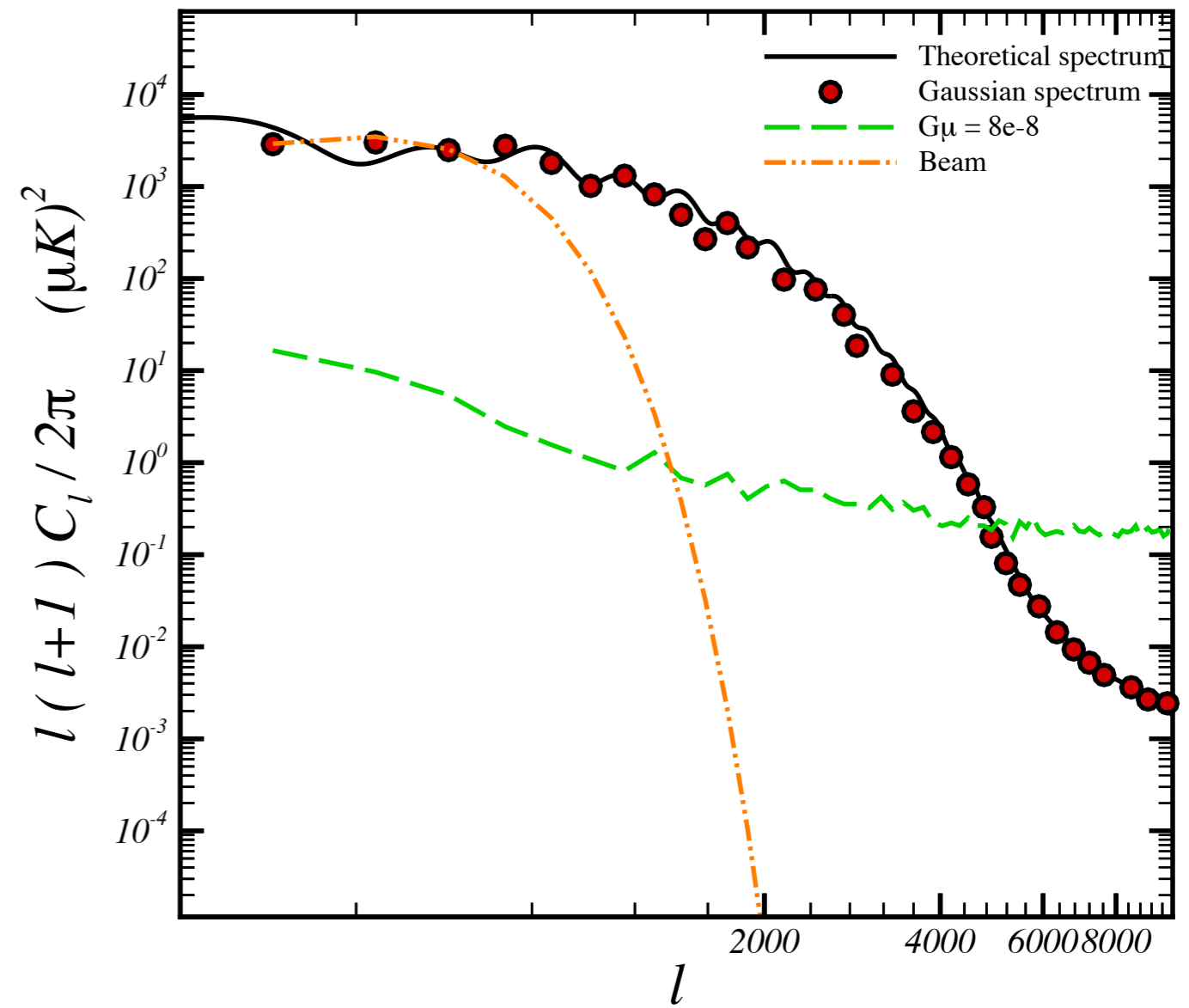
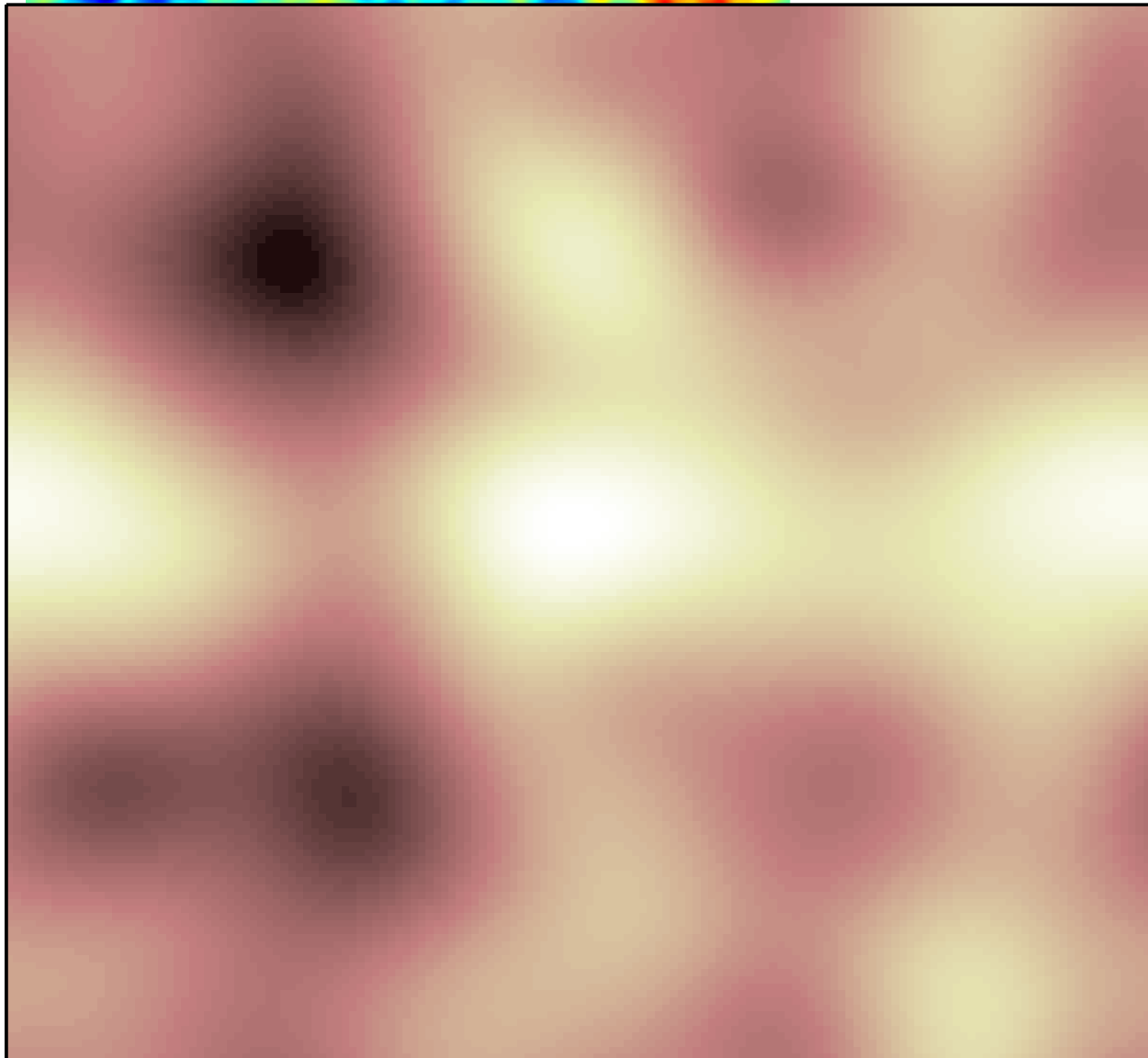
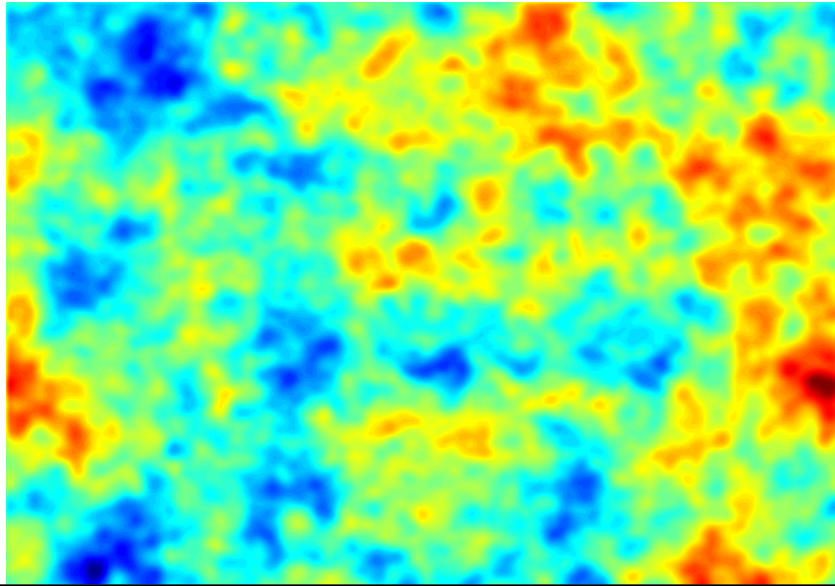
Our search proposal



Our search proposal



Our search proposal



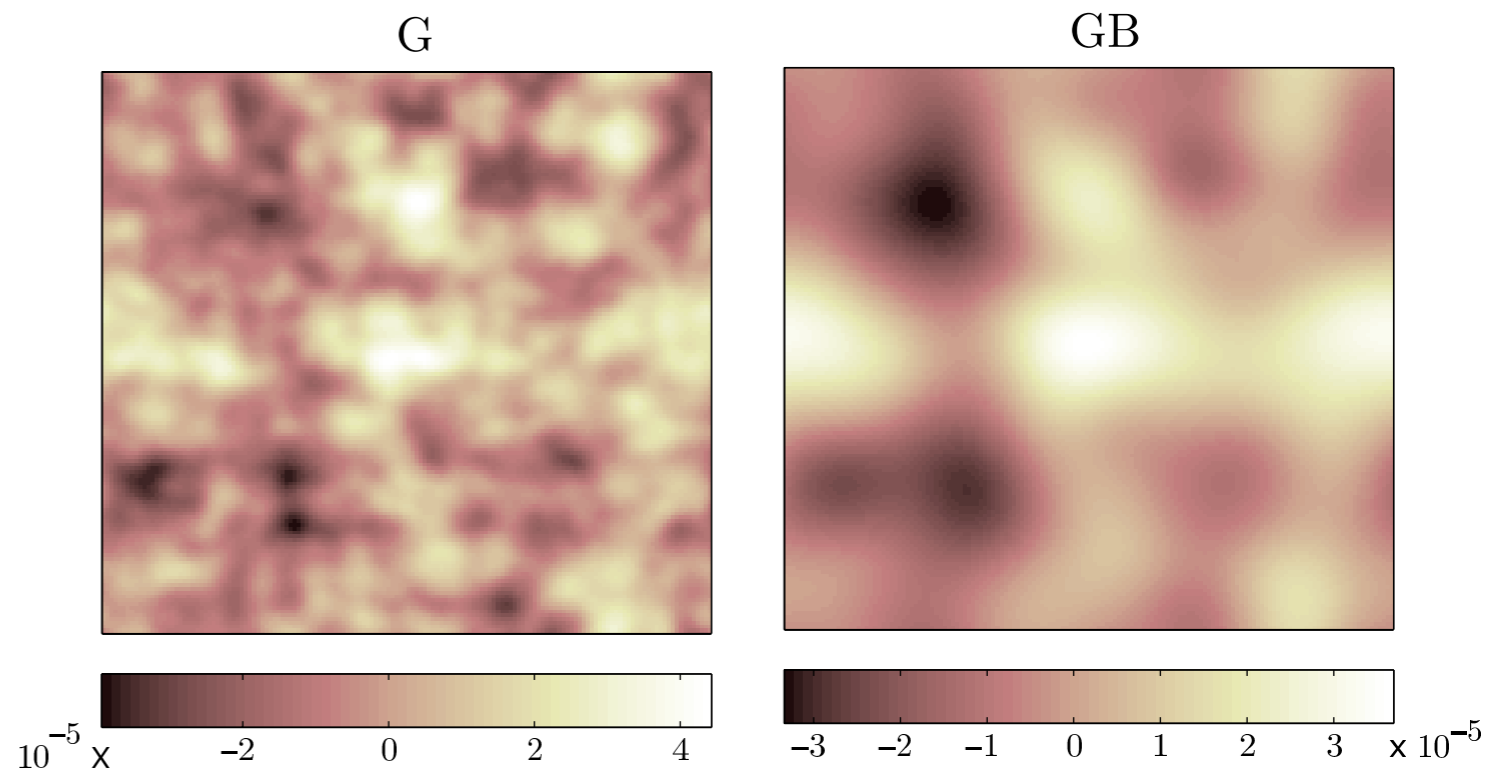
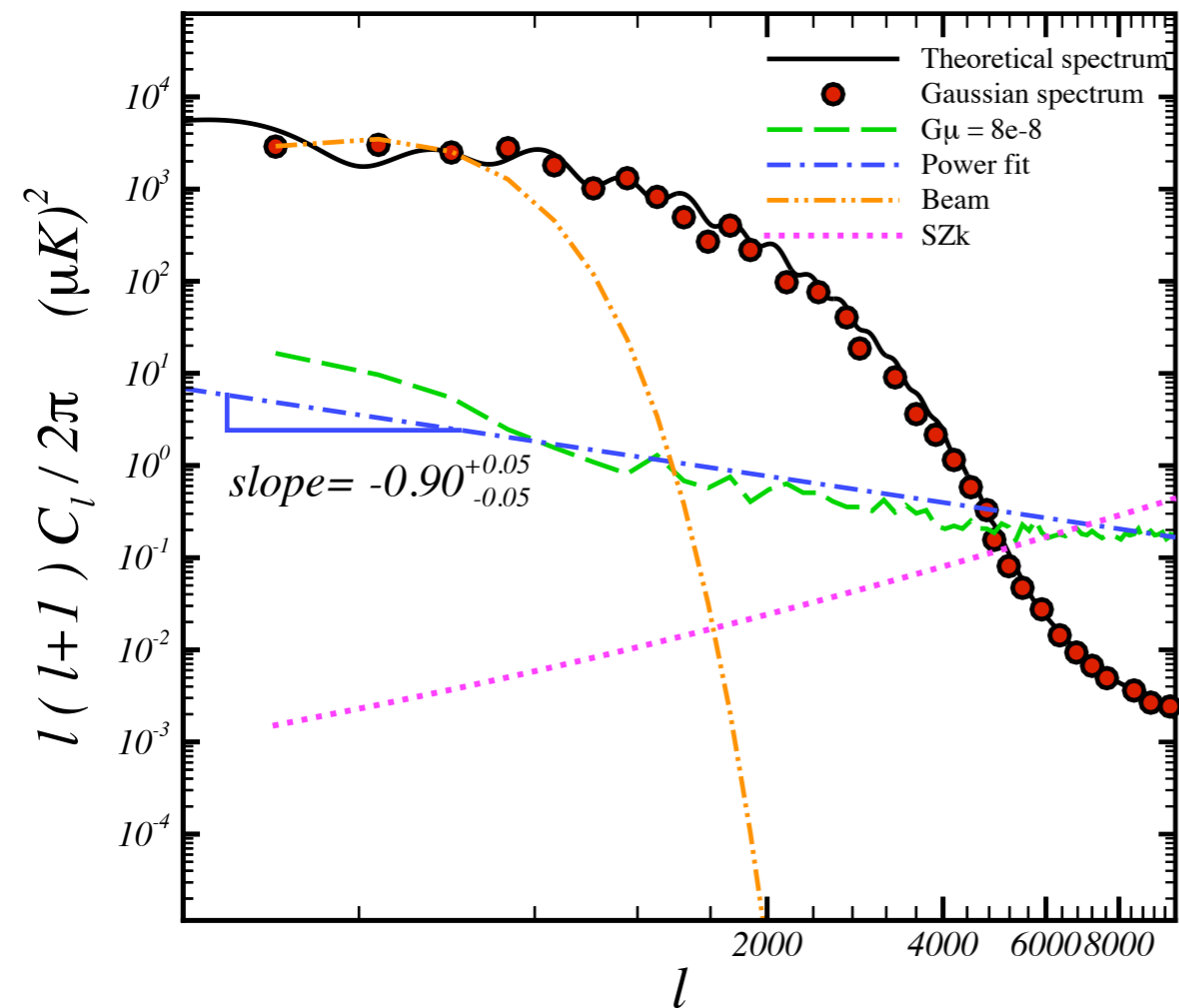
Smoothed stochastic field

Finite beam size of instrument: Beam effect

$$f_{smoothed}(\vec{r}) = \int d^d \vec{r}' W_R(|\vec{r} - \vec{r}'|) f(\vec{r}')$$

$$W_R(r) \sim \Theta(R - r)$$

$$W_R(r) \sim \exp\left(-\frac{r^2}{2R^2}\right)$$



Additional comments on Beam

$$\mathcal{F}_B(\vec{k}, \Gamma) = \int d\vec{k}' \mathcal{B}(\vec{k} - \vec{k}'; \Gamma) \mathcal{F}(\vec{k}' - \vec{k})$$

$$\mathcal{B}(\vec{k} - \vec{k}'; \Gamma) = \frac{1}{2\pi\Gamma^2} e^{-\frac{|\vec{k}-\vec{k}'|}{\Gamma}}$$

$$W_\ell = \exp(-\ell(\ell + 1) \Delta^2/2),$$

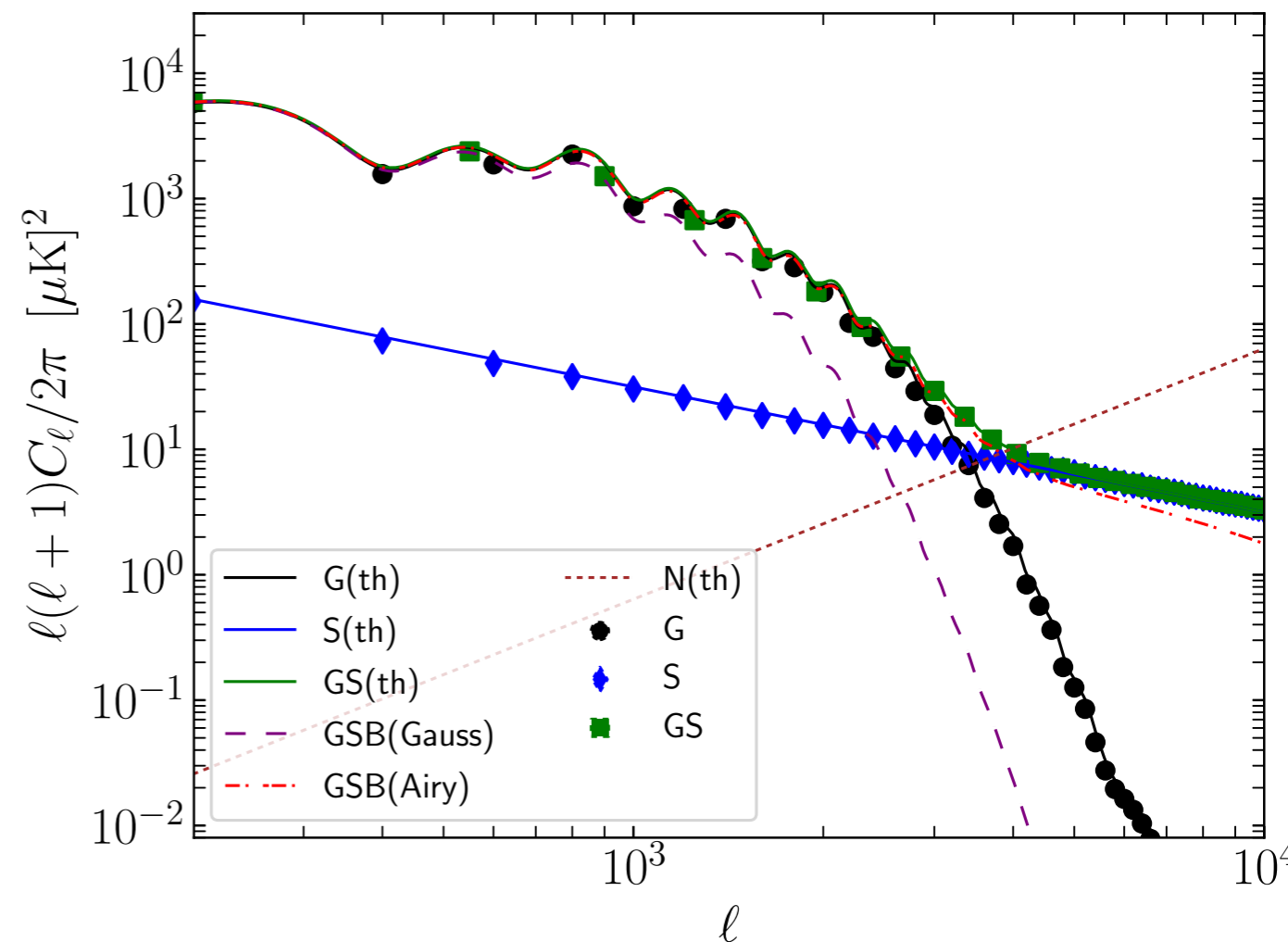
$$\Delta = \text{FWHM} / \sqrt{8 \ln 2}.$$

$$A(\ell) = \frac{2}{\pi^4 d^2} \left(\arccos \frac{\ell}{l_c} - \frac{\ell}{l_c} \sqrt{1 - \left(\frac{\ell}{l_c}\right)^2} \right),$$

$$C_\ell^{\text{GSBN}} = (C_\ell^{\text{G}} + C_\ell^{\text{S}}) W_\ell^2 + \sigma_{\text{noise}}^2.$$

Afzal et. al, 2024

Parameters	Planck	CMB-S4	ACT
f (GHz)	270	150	277
d (m)	—	—	6
θ (degree)	—	—	70
FWHM (arcmin)	5	1	—
σ_{noise} (μK -arcmin)	46.8	3.07	8



بدون رَوَند سازی داده ها

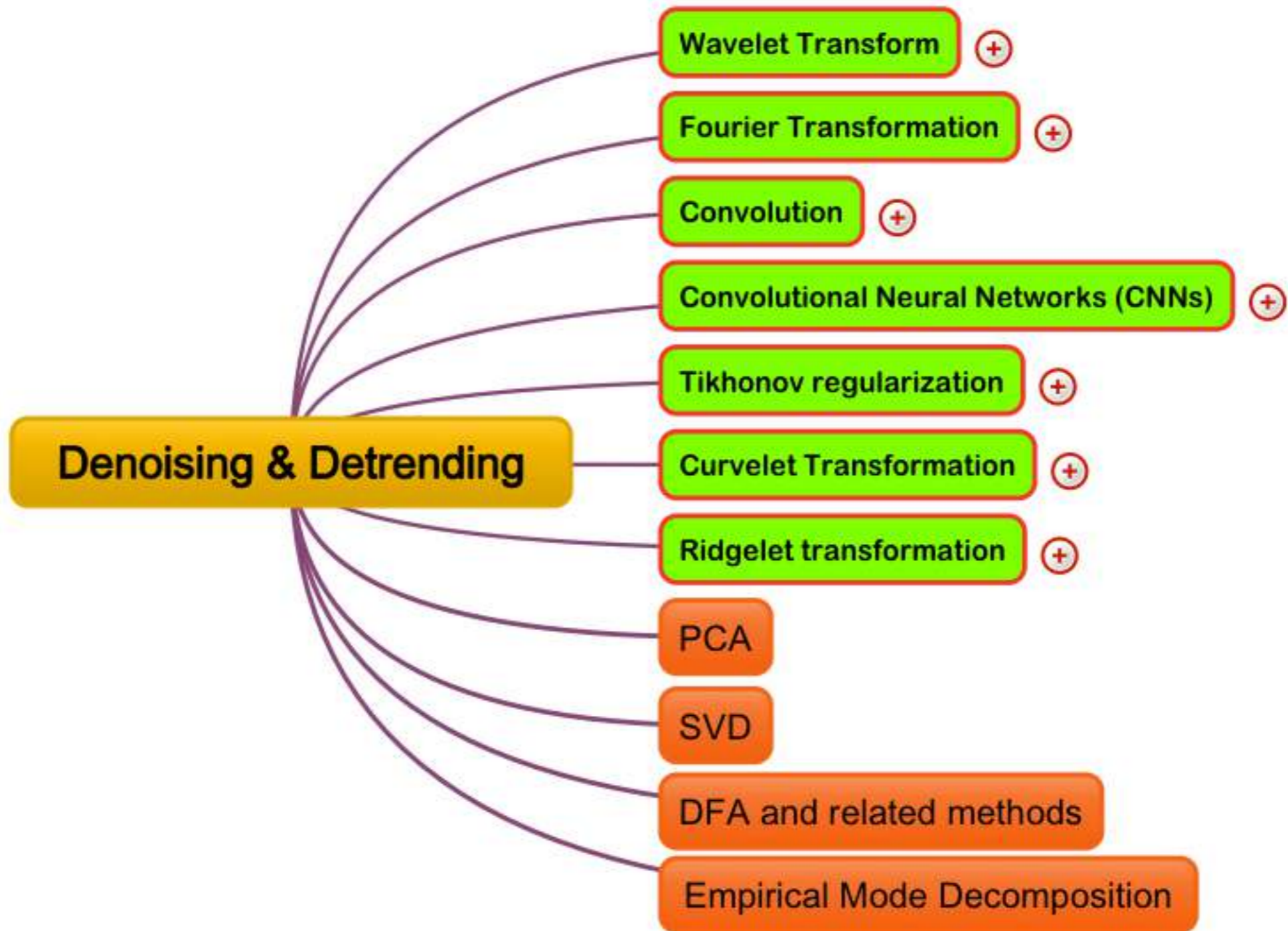
تعریف:

هر گونه تغییراتی که منجر به نامانایی داده ها شود رَوَند نام دارد. یا هر بخش که دارای طول موج بلند باشد روند نامیده می شود

به طور کلی با استخراج رَوَندها دو هدف عمده را دنبال خواهیم کرد:

(۱) یارَوَندها دارای معنای فیزیکی هستند بنابراین با مقوله Low-pass filter مواجه خواهیم بود بنابراین به دنبال استخراج رَوَندهایی با طول موج بلند هستیم و با حذف بقیه عوامل فقط آنها را تجزیه و تحلیل می کنیم

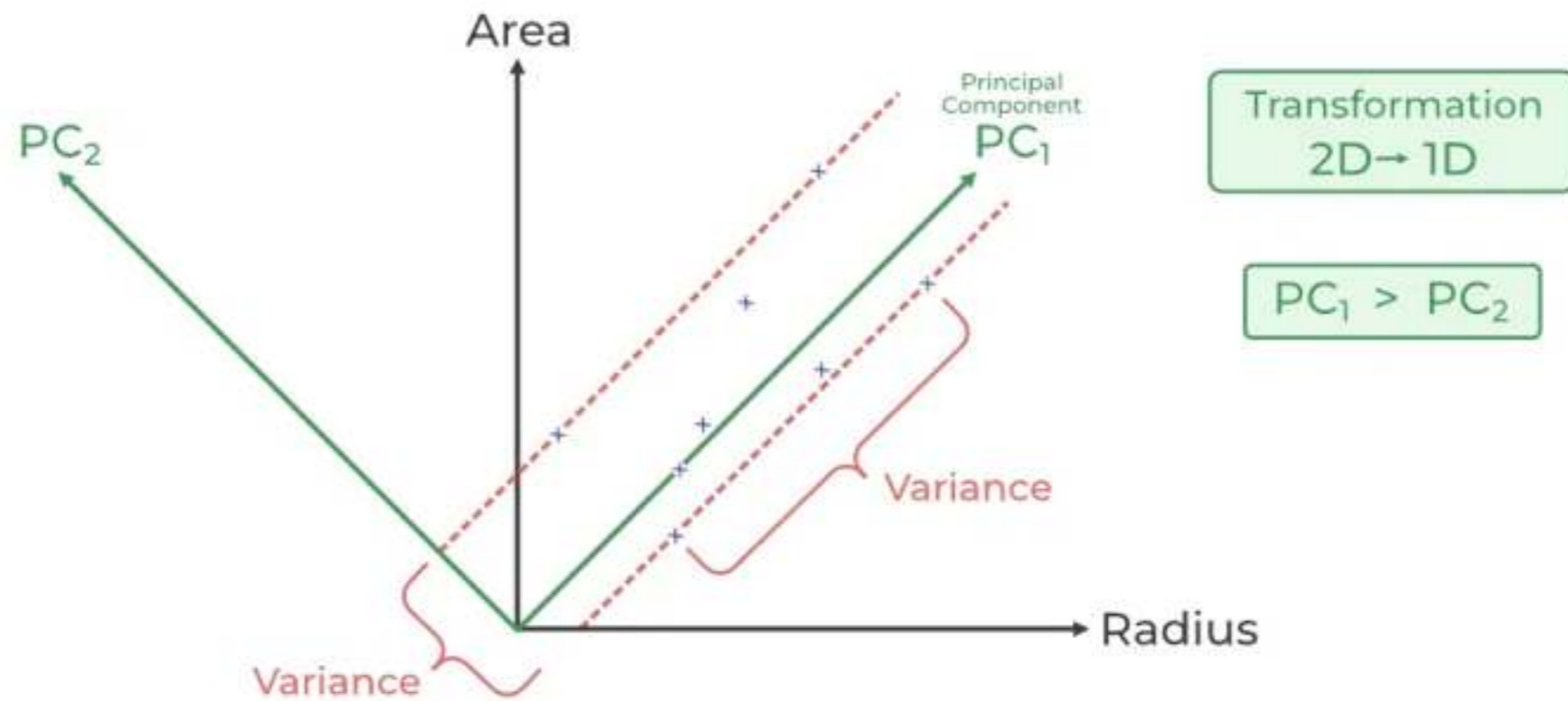
(۲) و یا به طور کلی ماهیت رَوَندها شناخته شده و چیز جدیدی ارائه نمی کنند و ما به دنبال طول موجهای کوچک در داده ها هستیم که با مقوله High-pass filter روبرو هستیم



Principle Component Analysis

- 1) Principal Component Analysis (PCA) technique was introduced by the mathematician Karl Pearson in 1901.
- 2) Principal Component Analysis (PCA) is a statistical procedure that uses an orthogonal transformation
- 3) Principal Component Analysis (PCA) is an unsupervised learning
- 4) The main goal of Principal Component Analysis (PCA) is to reduce the dimensionality of a dataset while preserving the most important patterns or relationships between the variables without any prior knowledge of the target variables.

Principle Component Analysis: (Intuitive meaning)



Advantages of Principal Component Analysis

1. Dimensionality Reduction
2. Feature Selection
3. Data Visualization
4. Multicollinearity
5. Noise Reduction
6. Data Compression
7. Outlier Detection

Disadvantages of Principal Component Analysis

1. Interpretation of Principal Components
2. Data Scaling
3. Information Loss
4. Non-linear Relationships
5. Computational Complexity
6. Overfitting

Principle Component Analysis: (Example)

Let our data matrix X be the score of three students :

Student	Math	English	Art
1	90	60	90
2	90	90	30
3	60	60	60
4	60	60	90
5	30	30	30

Matrix construction

$$\mathbf{A} = \begin{bmatrix} 90 & 60 & 90 \\ 90 & 90 & 30 \\ 60 & 60 & 60 \\ 60 & 60 & 90 \\ 30 & 30 & 30 \end{bmatrix}$$

Matrix A

1

2

3

The mean of matrix A would be

$$\bar{\mathbf{A}} = [66 \quad 60 \quad 60]$$

Mean of Matrix A

Its covariance matrix would be

	Math	English	Art
Math	504	360	180
English	360	360	0
Art	180	0	720

5

4

Formula

$$\text{cov}(X, Y) = \frac{1}{n} \sum_{i=1}^n (x - \bar{x})(y - \bar{y})$$

cov(X, Y) → Covariance between X & Y variables

x & y → members of X & Y variables

\bar{x} & \bar{y} → mean of X & Y variables

n → number of members

<https://getcalc.com/statistics-covariance-calculator.htm>

Principle Component Analysis: (Example)

6

$$\det(A - \lambda I) = 0 \quad \det \left(\begin{pmatrix} 504 & 360 & 180 \\ 360 & 360 & 0 \\ 180 & 0 & 720 \end{pmatrix} - \lambda \begin{pmatrix} 1 & 0 & 0 \\ 0 & 1 & 0 \\ 0 & 0 & 1 \end{pmatrix} \right)$$

$$\lambda \approx 44.81966\dots, \lambda \approx 629.11039\dots, \lambda \approx 910.06995\dots$$

7

Eigenvectors

$$\begin{pmatrix} -3.75100\dots \\ 4.28441\dots \\ 1 \end{pmatrix}, \begin{pmatrix} -0.50494\dots \\ -0.67548\dots \\ 1 \end{pmatrix}, \begin{pmatrix} 1.05594\dots \\ 0.69108\dots \\ 1 \end{pmatrix}$$

5

New data with e.g. two maximum eigenvalues (denoising)

$$W = \begin{bmatrix} 1.05594 & -0.50494 \\ 0.69108 & -0.67548 \\ 1 & 1 \end{bmatrix}$$

$$y = W' \times x$$

Singular Value Decomposition

Definition: The singular value decomposition (SVD) is a factorization of a real or complex matrix into a rotation, followed by a rescaling followed by another rotation

① Suppose that Γ is a $(d \times D)$ -rectangular Matrix

$$\Gamma_{d \times D}$$

$d \equiv$ embedding Dimension

$$D \equiv N - (d-1)\tau$$

$\tau \equiv$ Delay factor

② The SVD of Γ is given by.

$$\Gamma_{d \times D} = U_{d \times d} S_{d \times d} V^T_{D \times D}$$

Right eigenvalue

Rectangular diagonal Matrix

$$\Gamma = \sum_{i=1}^r s_i u_i v_i^*$$

Left eigenvalue

$$r = \min\{d, D\} \equiv \text{Rank of } \Gamma$$

$$\textcircled{3} \quad \Gamma^T_{D \times d} \Gamma_{d \times d} V_i = \lambda_i^2 V_i$$

$$\Gamma_{d \times d} \Gamma^T_{D \times d} U_i = \lambda_i U_i$$

④ Example

$$S = \begin{bmatrix} 1 & 0 & 0 \\ 0 & 4 & 0 \\ 0 & 0 & 3 \\ 0 & 0 & 0 \end{bmatrix} \quad \text{or} \quad \begin{bmatrix} 1 & 0 & 0 & 0 \\ 0 & 4 & 0 & 0 \\ 0 & 0 & 3 & 0 \\ 0 & 0 & 0 & 0 \end{bmatrix}$$

⑤ Relation between PCA & SVD.

Suppose that X is a given Matrix

$$\langle X \rangle = 0$$

$$C = X^T X \leftarrow \text{Covariance Matrix}$$

$$X = U S V^T$$

$$C = X^T X = (V S U^T) (U S V^T) = S^2$$

$$\lambda_i = S_i^2 \leftarrow \text{eigenvalue in SVD}$$

\leftarrow eigenvalue of Covariance matrix.

⑥ Detrending (removing long modes)

e.g. for p th long modes, $(2p+1)$ of

maximum eigenvalues set to zero and

$$S \longrightarrow \tilde{S} \longrightarrow \tilde{T} = U \tilde{S} V^{\dagger}$$

$$S_i = 0 \text{ for } i < 2p+1$$

⑦ Denoising (removing short modes).

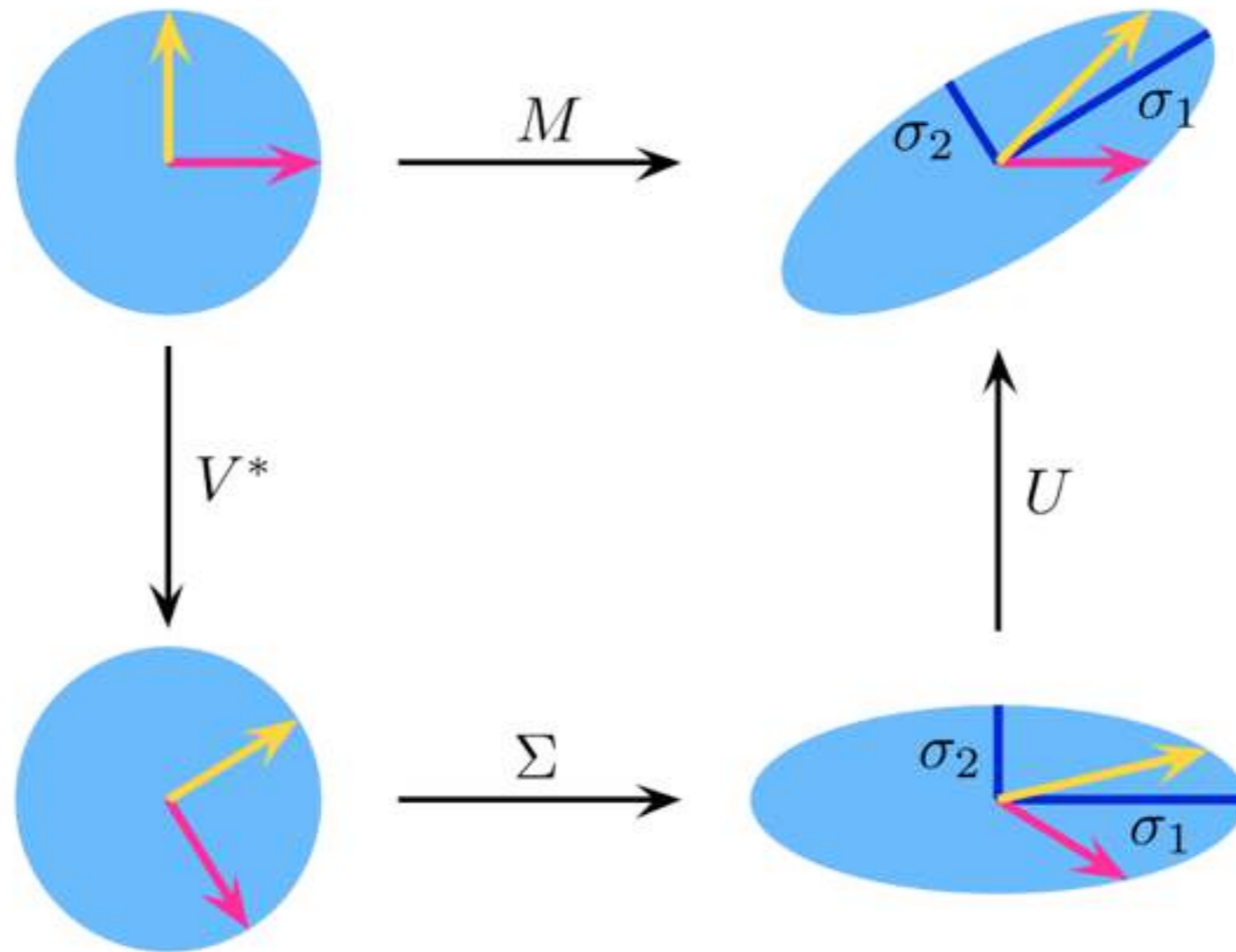
e.g. Keeping $(2p+1)$ of maximum eigenvalues and

rest values set to zero

$$S_i = 0 \text{ for } i > 2p+1$$

Singular Value Decomposition

(Intuitive meaning)



$$M = U \cdot \Sigma \cdot V^*$$

Singular Value Decomposition (SVD)

۳-۳ تجزیه مقدار تکین

تعیین روند و سازوکاری مناسب برای بدون روند کردن مهم‌ترین بخش در راستای تحلیل دقیق است. این موضوع خصوصاً در تحلیل داده‌های هواشناسی اهمیت ویژه‌ای دارد. همانطور که Z.Wu و همکارانش در مرجع [۷۴] نشان می‌دهند، روش یکتایی برای تعریف روند و روشی مناسب برای استخراج آن از داده‌های مانا و نامانا وجود ندارد. در رهیافتی دیگر روند در داده‌های واقعی و نامانا یک تابع ذاتی است که توسط طبیعت به افت‌وخیزها القا می‌شود. برای تبیین روند در داده‌ها، سری در تمام دامنه‌ها یا در یک دامنه خاص بررسی می‌شود. برای داده‌های خطی و مانا تعیین اندازه داده برای تخمین روند معمولاً ساده است اما برای داده‌های واقعی که تحت تاثیر نامانایی و غیر خطی بودن قرار می‌گیرند، نیازمند ارائه تعریف دقیقی از روند هستیم. با توجه به اهمیت بررسی روند و احتمالاً حذف آن از داده‌ها می‌توان به دو هدف زیر اشاره کرد:

الف: در بسیاری حالت‌ها دو یا چند مقیاس که در آن رفتار مقیاسی تابع افت و خیز تغییر می‌کند وجود دارد. این طرح بیانگر وجود رفتارهای مختلف و همبستگی‌های مختلف در مقیاسهای مختلف می‌باشد [۴۷ و ۶۹-۴۸ و ۷۰ و ۷۵].

ب: در برخی حالت‌های دیگر، این مقیاسهای مهم توسط روندهای تناوبی ایجاد می‌شوند مانند روندهای فصلی در سری‌های زمانی هواشناسی. پس برای یافتن نمای مقیاسی افت‌وخیزهای ذاتی بایستی روندها را خارج ساخته و سپس داده‌های بدون روند را به عنوان ورودی در بخشهای بعدی مورد استفاده قرار دهیم [۴۷ و ۴۸ و ۶۶] برای حذف روندهای مربوط به دوره تناوبهایی با فرکانس کوچک به جای استفاده از روش تبدیل فوریه [۴۷ و ۴۸ و ۷۷-۷۵] از روش تجزیه مقدار تکین SVD استفاده می‌کنیم [۷۱].

با استفاده از روش SVD نه تنها می‌توان اثر روندهای تناوبی را دنبال کرد بلکه همزمانی سری‌های تحت مطالعه نیز حفظ می‌شود [۶۹ و ۷۰]. به اضافه اینکه می‌توان مقیاسهای زمانی که در روندها یا افت‌وخیزها غالب می‌شوند را نیز تعیین کرد [۷۰-۶۸ و ۷۸ و ۷۹]. پس از حذف توابع تناوبی غالب مانند روندهای تناوبی نماهای مقیاسی صحیح را از روش MF-DXA استخراج می‌کنیم.

Singular Value Decomposition (SVD)

I: فرض کنید داده مورد بررسی که شامل روند تناوبی است به صورت زیر باشد $\{x_i\} : i = 1, \dots, N$ دو کمیت (d, τ) به ترتیب به عنوان بُعد غوطه‌وری و تاخیر زمانی در آنالیز در نظر می‌گیریم. داده‌ها را می‌توان توسط ماتریس زیر نمایش داد:

$$\Gamma \equiv \begin{pmatrix} x_1 & x_{1+\tau} & \cdots & x_{1+N-(d-1)\tau-1} \\ \vdots & \vdots & \vdots & \vdots \\ x_i & x_{i+1} & \cdots & x_{i+N-(d-1)\tau-1} \\ \vdots & \vdots & \vdots & \vdots \\ x_d & x_{d+\tau} & \cdots & x_{d+N-(d-1)\tau-1} \end{pmatrix} \quad (11)$$

همانطور که دیده می‌شود $1 \leq i \leq d$ و برای روند تناوبی وارد شده در داده‌ها تعداد p تا عضو فرکانس غالب به صورت $e^{(i\omega_k t)}, k = 1 \dots p$ در طیف توان در نظر می‌گیریم. برای تعداد N تا داده اولیه بیشینه مقدار d در ماتریس مسیر Γ برابر با $d \leq N - (d-1)\tau + 1$ می‌باشد.

Singular Value Decomposition (SVD)

II. ماتریس Γ به دو ماتریس متعامد راست و چپ به صورت زیر تجزیه می‌شود

$$\Gamma = USV^\dagger \quad (12)$$

در این رابطه $U_{d \times d}$ و $V_{(N-(d-1)\tau) \times (N-(d-1)\tau)}$ به ترتیب ماتریس متعامد چپ و راست می‌باشند. عناصر قطری ماتریس $S_{d \times (N-(d-1)\tau)}$ در حقیقت همان مقادیر تکین مورد نظر می‌باشند

تجزیه مقدار تکین ماتریس Γ به ویژه تجزیه ماتریس‌های متقارن $\Gamma^\dagger \Gamma$ و $\Gamma \Gamma^\dagger$ به صورت $\Gamma^\dagger \Gamma v_i = \lambda_i^2 v_i$ و $\Gamma \Gamma^\dagger u_i = \lambda_i^2 u_i$ مربوط می‌شود. مقادیر ویژه غیر صفر ماتریس $\Gamma^\dagger \Gamma$ برابر با مقادیر ویژه $\Gamma \Gamma^\dagger$ و تعیین کننده مرتبه ماتریس Γ است. ویژه مقادیر به صورت $\lambda \geq \lambda_{i+1} \geq 0$ ردیف می‌شوند و عناصر قطری ماتریس S را تشکیل می‌دهند و بقیه عناصر صفر می‌شوند ستونهای ماتریس U و V توسط u_i و v_i که ویژه توابع نامیده می‌شوند، ساخته می‌شوند. این ویژه توابع معادل با ویژه مقادیر ردیف شده هستند. با بکار بردن SVD بر روی ماتریس Γ ما S و V و U را بدست می‌آوریم.

اگر فرض کنیم که تعداد فرکانسهای غالب برابر با p باشد بنابراین تعداد $2p + 1$ تا از ویژه مقادیر را که از بزرگ به کوچک که در عناصر قطری ماتریس S نشسته‌اند را صفر می‌کنیم و به این ترتیب ماتریس S^* بدست می‌آید و ماتریس فیلتر شده Γ^* به صورت $\Gamma^* = US^*V^+$ تعیین شده و با یک نگاشت به داده‌های یک بعدی فیلتر شده یعنی

$$X_{i+j-1}^* = \Gamma_{ij}^* \quad (13)$$

می‌رسیم که $1 \leq i \leq d$ و $1 \leq j \leq N - (d - 1)\tau$ است.

Singular Value Decomposition (SVD)

$$\{x_i\}; i = 1, \dots, N \quad d \leq N - (d-1)\tau + 1$$

$$\mathbf{\Gamma} \equiv \begin{pmatrix} x_1 & x_{1+\tau} & \dots & x_{1+N-(d-1)\tau-1} \\ \vdots & \vdots & \vdots & \vdots \\ x_i & x_{i+\tau} & \dots & x_{i+N-(d-1)\tau-1} \\ \vdots & \vdots & \vdots & \vdots \\ x_d & x_{d+\tau} & \dots & x_{d+N-(d-1)\tau-1} \end{pmatrix}$$

$$\mathbf{\Gamma} = \mathbf{U} \mathbf{S} \mathbf{V}^\dagger$$

$$\mathbf{\Gamma}^\dagger \mathbf{\Gamma} \mathbf{v}_i = \lambda_i^2 \mathbf{v}_i$$

$$\mathbf{\Gamma} \mathbf{\Gamma}^\dagger \mathbf{u}_i = \lambda_i^2 \mathbf{u}_i$$

$$x_{i+j-1}^* = \Gamma_{ij}^*$$

The p dominant eigenvalue and associating eigendecomposed vector represent the superimposed trend and the remaining $(d-p)$ demonstrates intrinsic fluctuations

موفی برنامه

۱- در برنامه

n : تعداد داده های ورودی

d -embed = d بُعد عکس طوری

$x(i)$: داده های ورودی

$$A(x(i)) \rightarrow T^T$$

$$AA^T(x(i)) \rightarrow T$$

$$t_r \rightarrow 2p+1$$

تعداد مقادیر که با همی همزنند
شوند

۲- برای تخمین داده s به صورت $mean$ free ، $Var = 1$ کاربرد می شوند.

۳- نتایج نشان می دهد که حجم d یعنی بُعد عکس طوری که صحت بیشتر داشته باشد هیچ یک از دیتا مقادیر همزنند نمی

$t_r = 0$ باشد در آن صورت داده کمتر تغییر خواهند کرد. بیانی دیگر در فنلاند $d = 50$ و $t_r = 0$

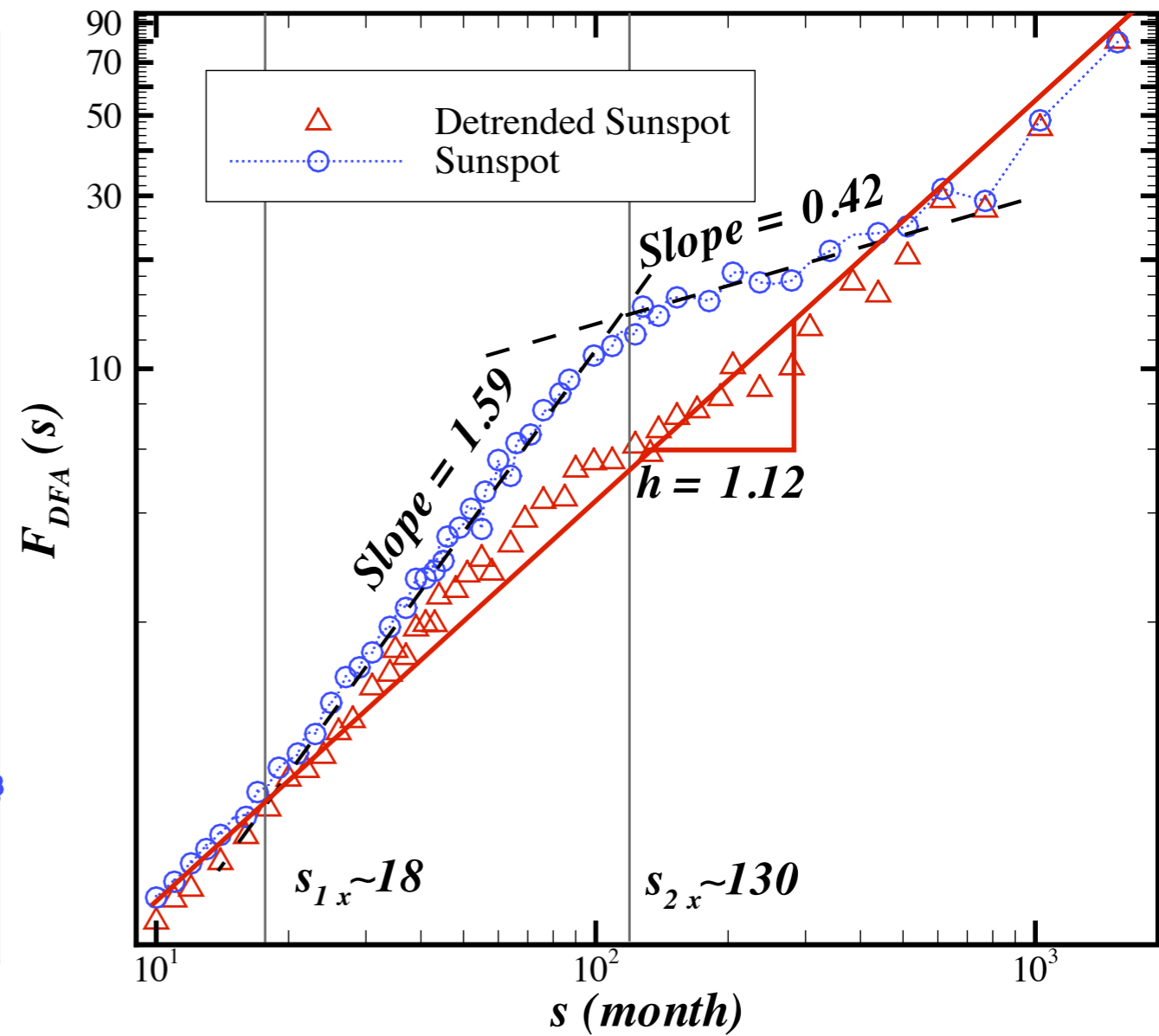
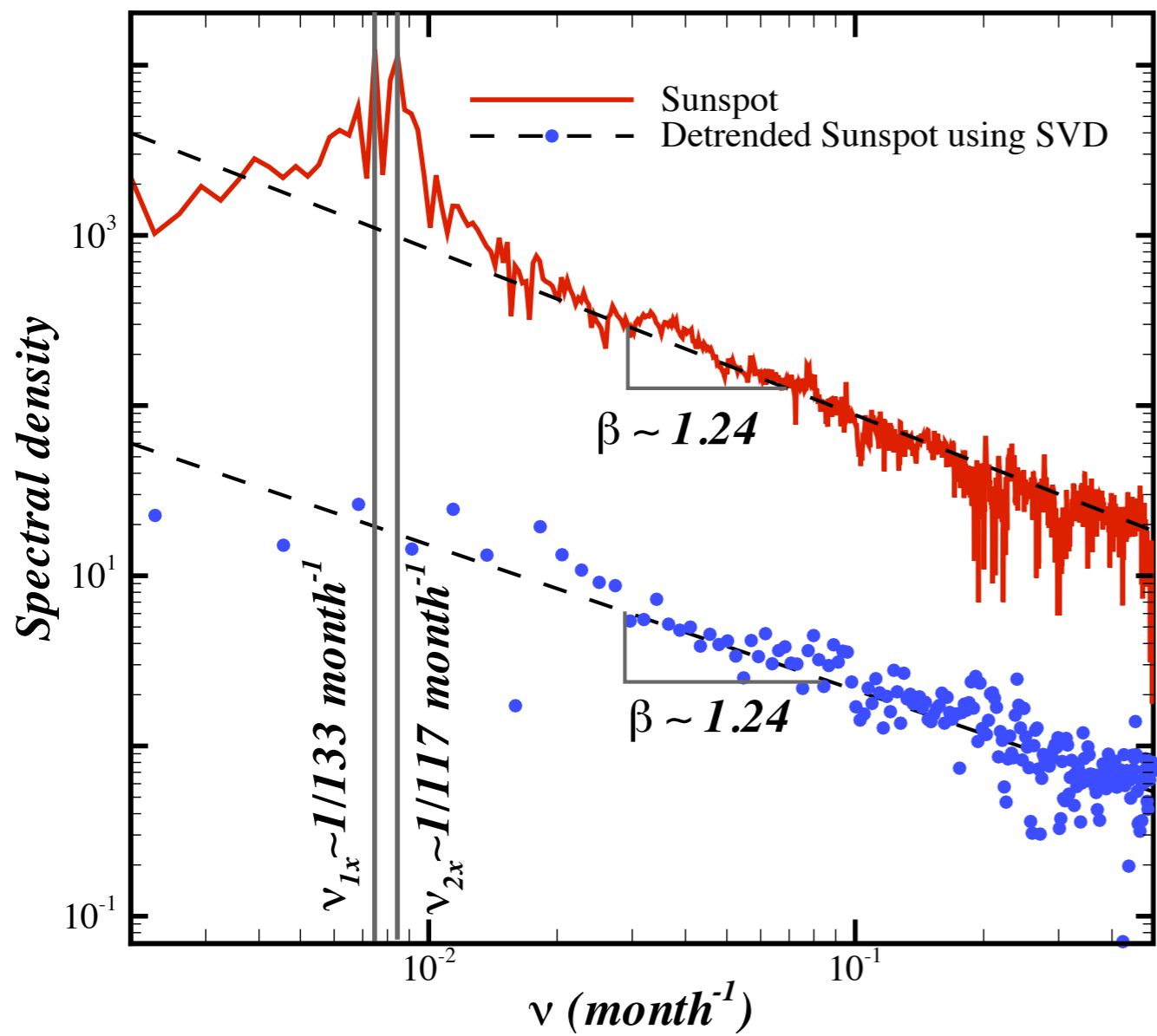
در آن صورت انتظار اینکه روندی حذف شود وجود ندارد و داده های تولید شده دارای روند هستند ولی فلتس است

نمی لبت به داده های اولیه متفاوت باشند. با افزایش مقدار t_r شاهد می کنیم که داده بدون وجود روند

تولید می شوند.

تبار این تعیین مقدار d و t_r بسیار مهم است. برای مطالعه قبلی درباره ورودی از مرتبه 3000 بود مقدار $d=50$ و $t_r=10$ انتخاب شد. البته با تطبیق تعیین $t_r=2p+1$ و p رده روند موجود درباره t_r است.

اگر رده چند مقدار رده n باشد پس $p=n$ و $t_r=2n+1$ و مقدار d را می توان با این روش و خطای دست t_r (تعیین) البته یک معیار خوب این است که t_r حدت شود.
اینکه با رسم طیف توان t_r می توانیم که رابطه معیاری سری برای تمام معیالات وجود دارد.



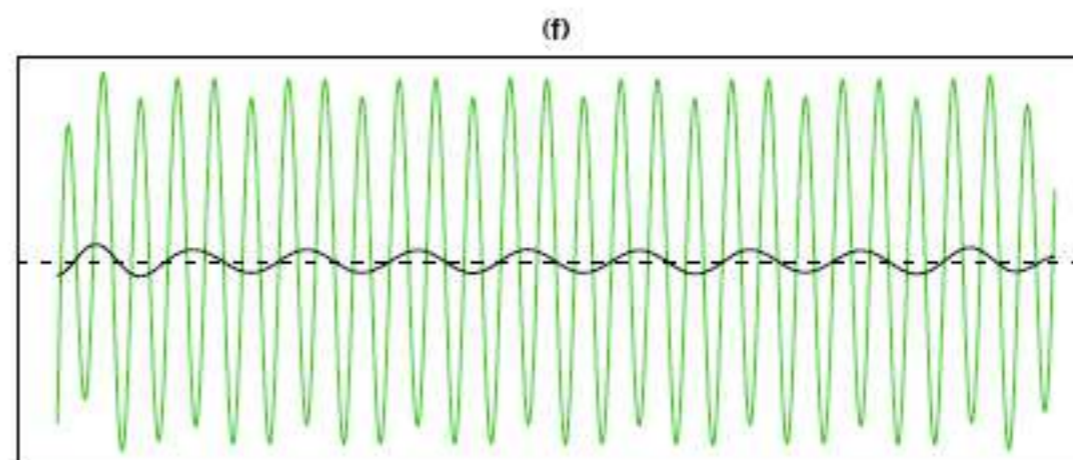
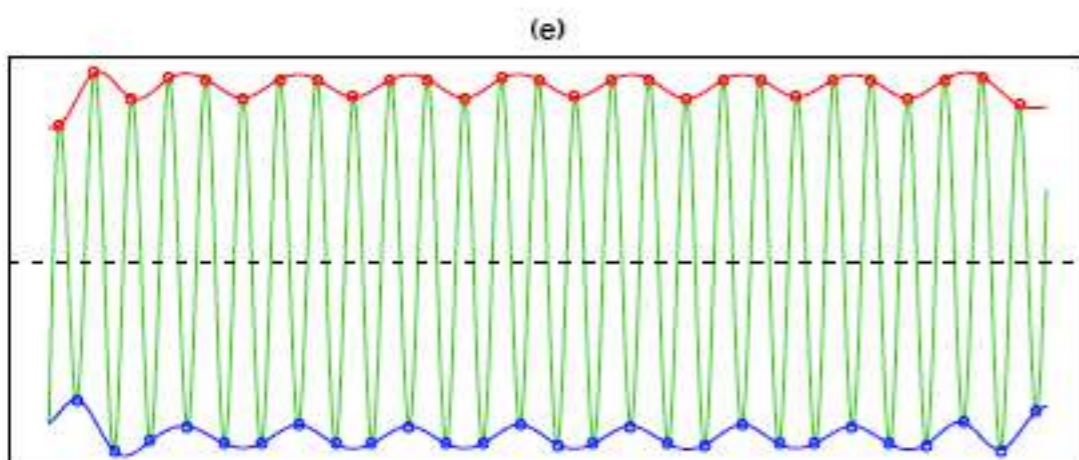
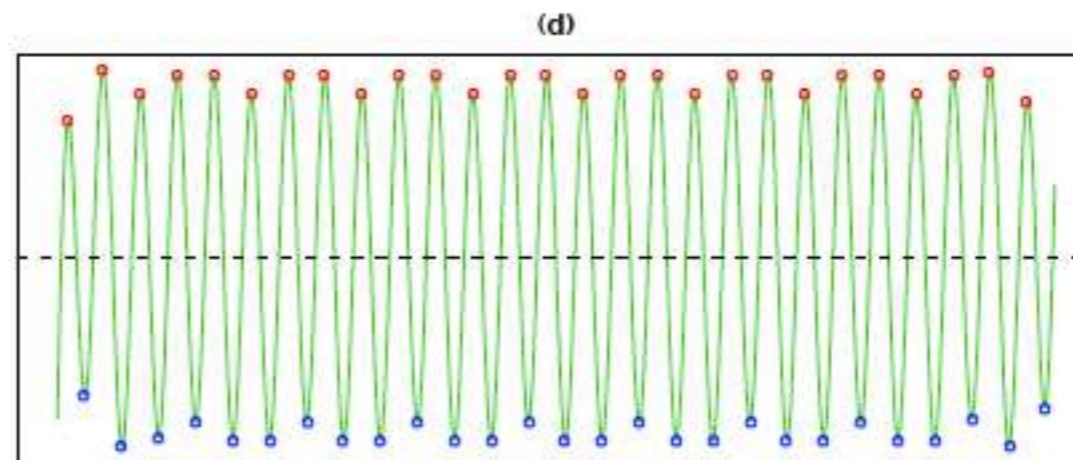
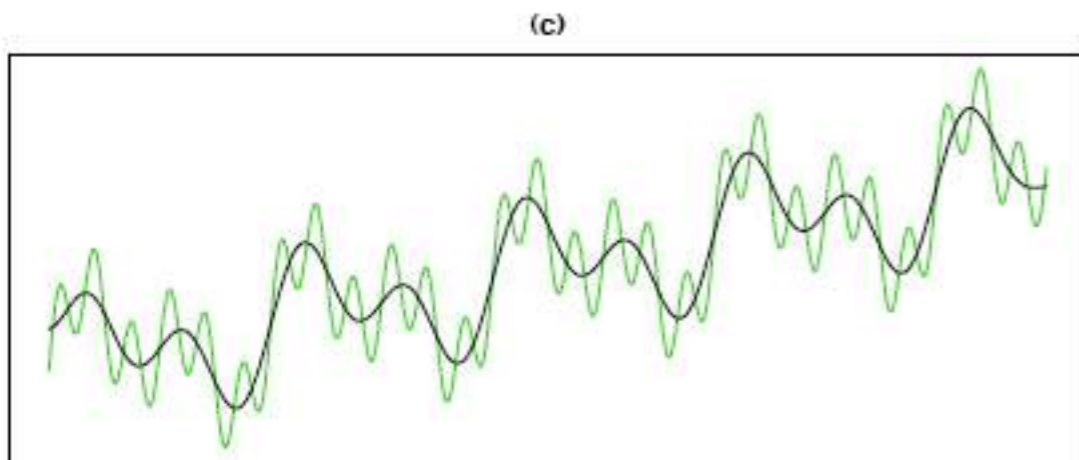
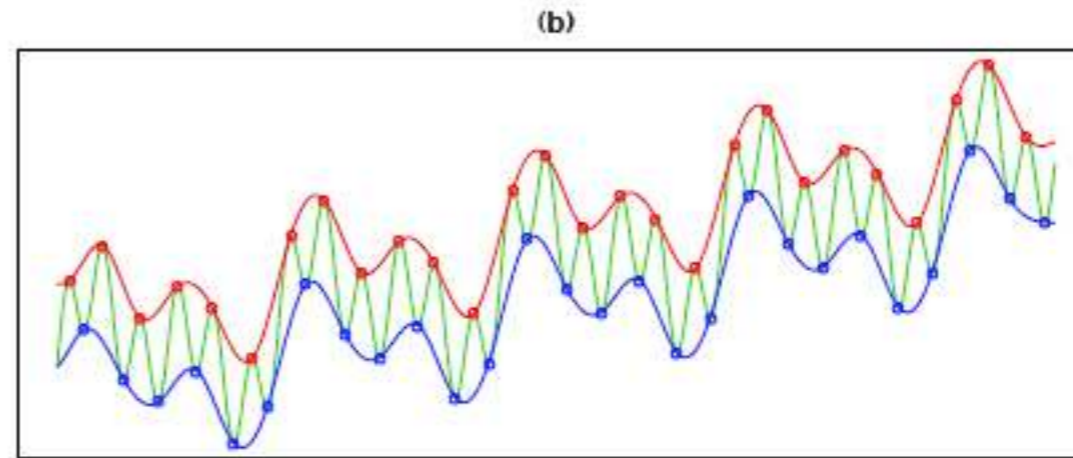
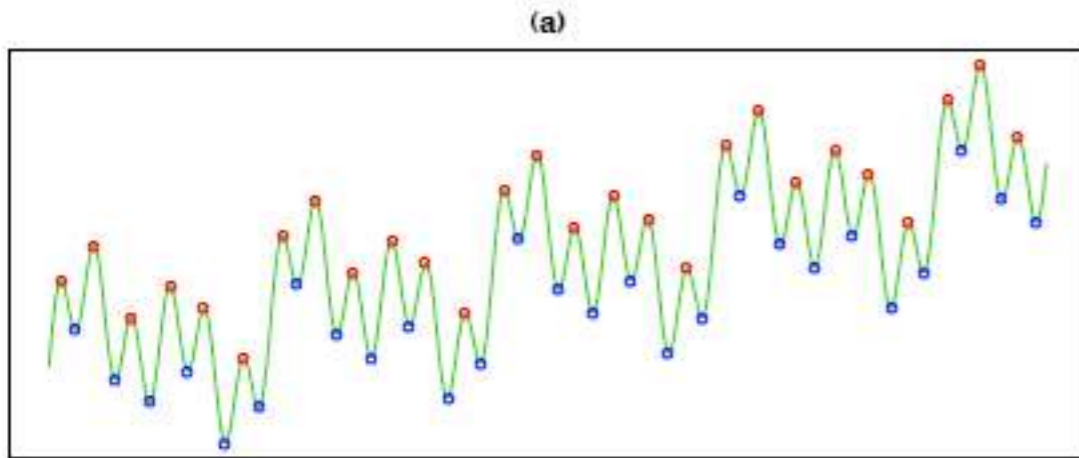
Empirical Mode decomposition (EMD)

Empirical mode decomposition (EMD) is a data-adaptive multiresolution technique to decompose a signal into physically meaningful components

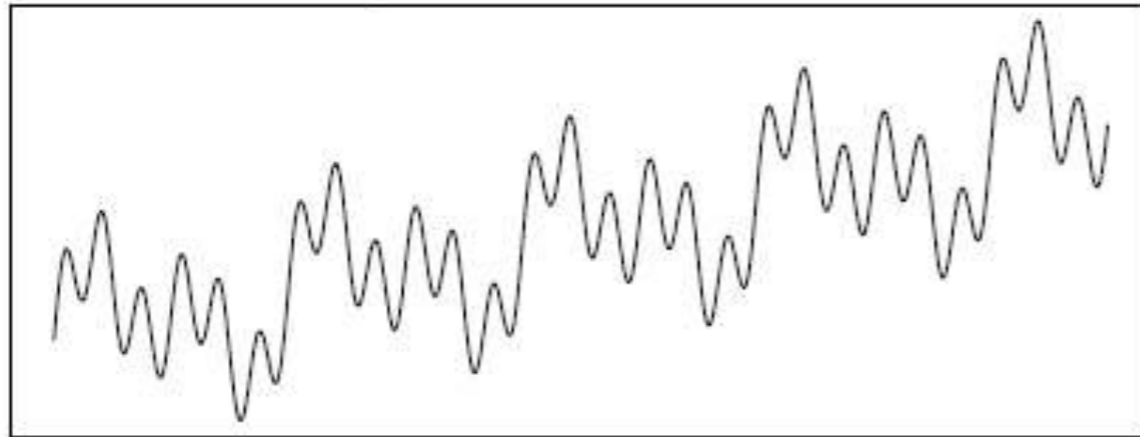
- This method is known as non-parametric method
- There is a good review by Norden E. Huang
Proceedings: Mathematical, Physical and Engineering Sciences, Vol. 454, No. 1971 (Mar. 8, 1998)
- In this case, the intrinsic mode functions (IMFs) satisfy two conditions:
 - 1) The number of extrema and zero-crossing differs only by one
 - 2) The local average is zero

- 1) Identify the local extrema and find their average (Generating upper envelope and lower envelope)
- 2) Subtracting the envelop mean from signal
- 3) Check the IMF conditions

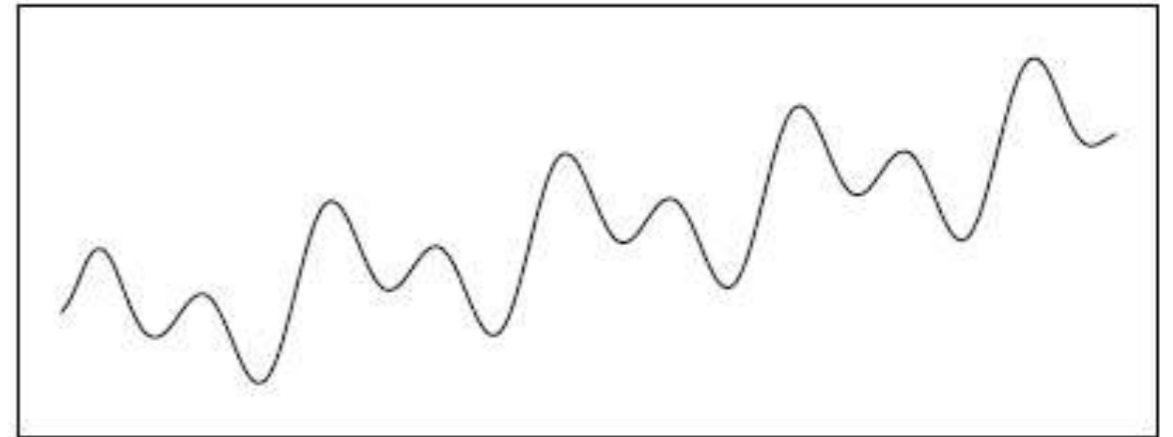
$$\sum_t \left(\frac{h_i(t) - h_{i-1}(t)}{h_{i-1}(t)} \right)^2 < \text{tol.}$$



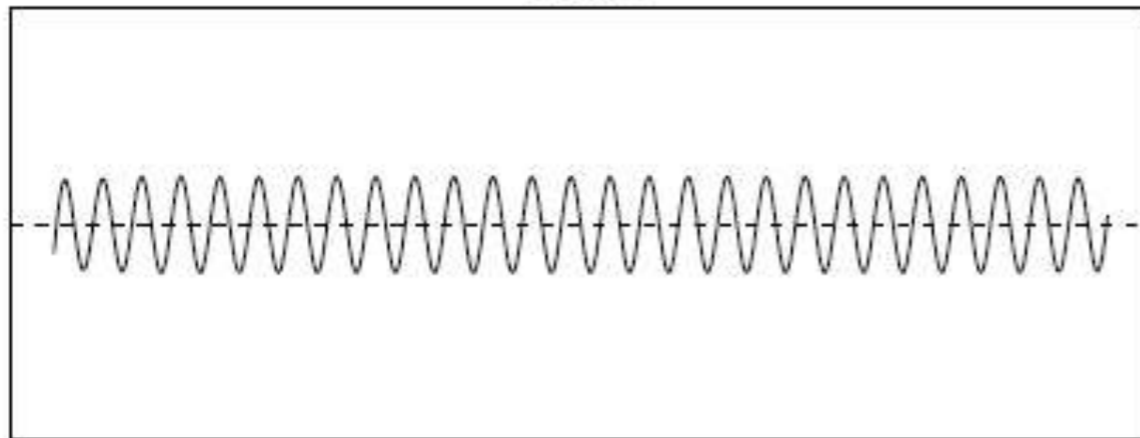
Signal = 1-st IMF + 1-st residue



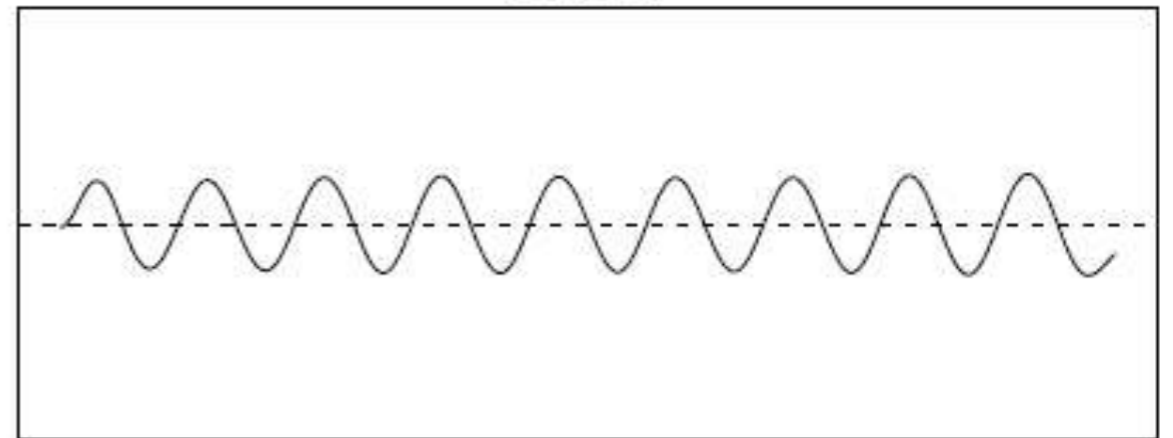
1-st residue = 2-nd IMF + 2-nd residue



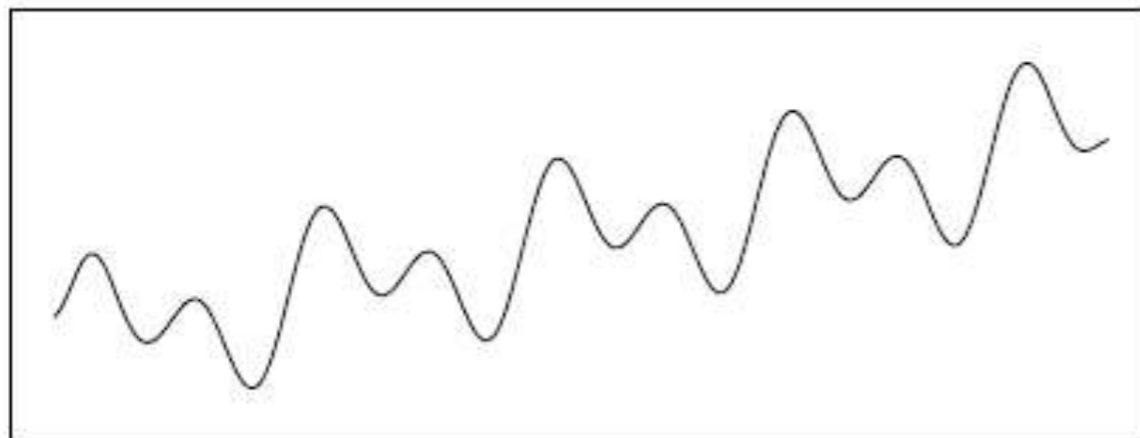
1-st imf



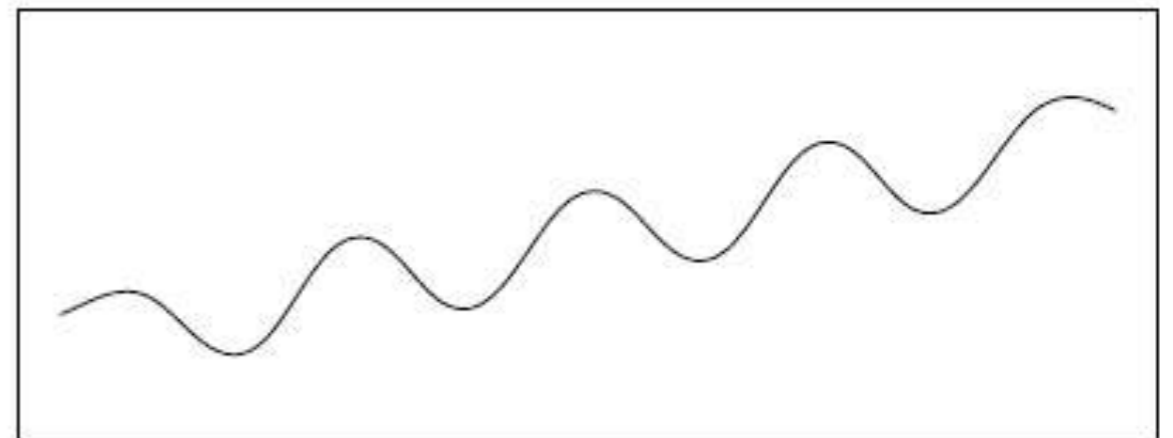
2-nd imf



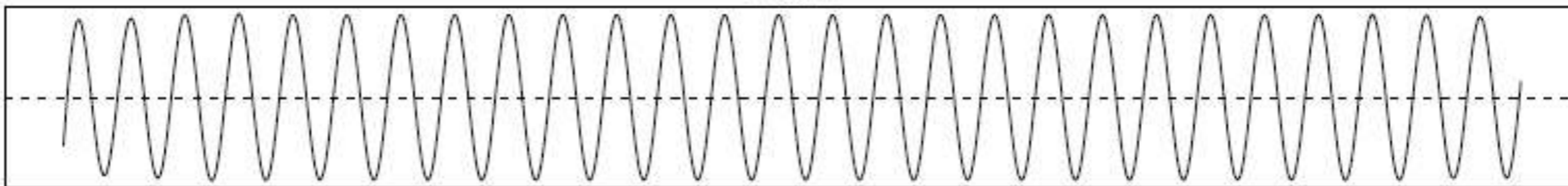
1-st residue



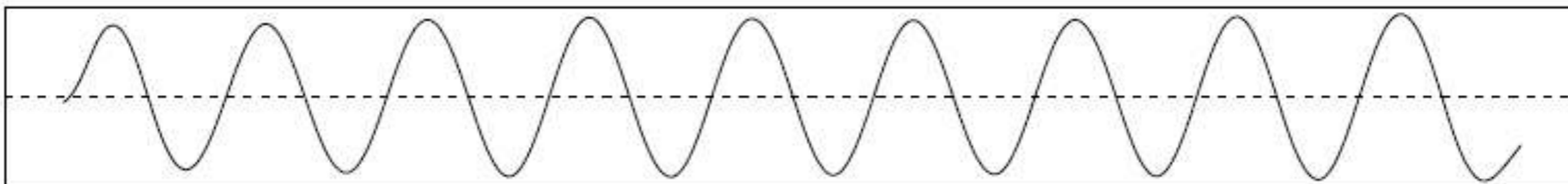
2-nd residue



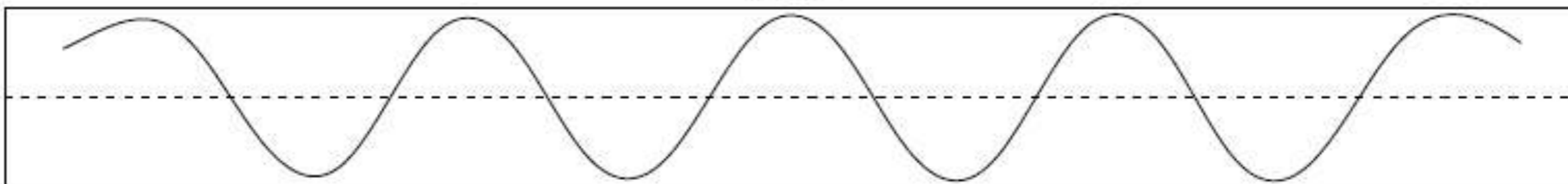
1-st IMF



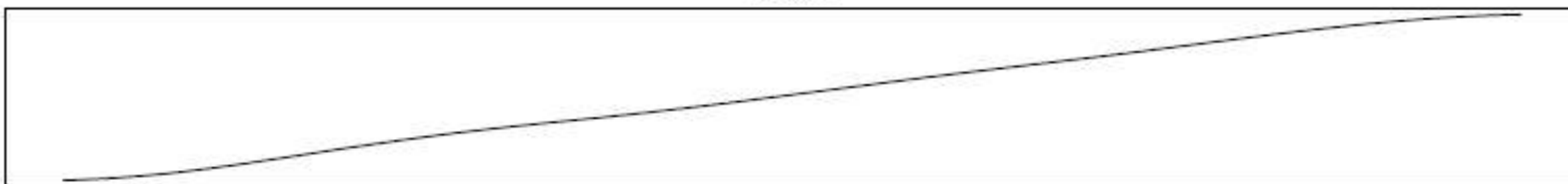
2-nd IMF

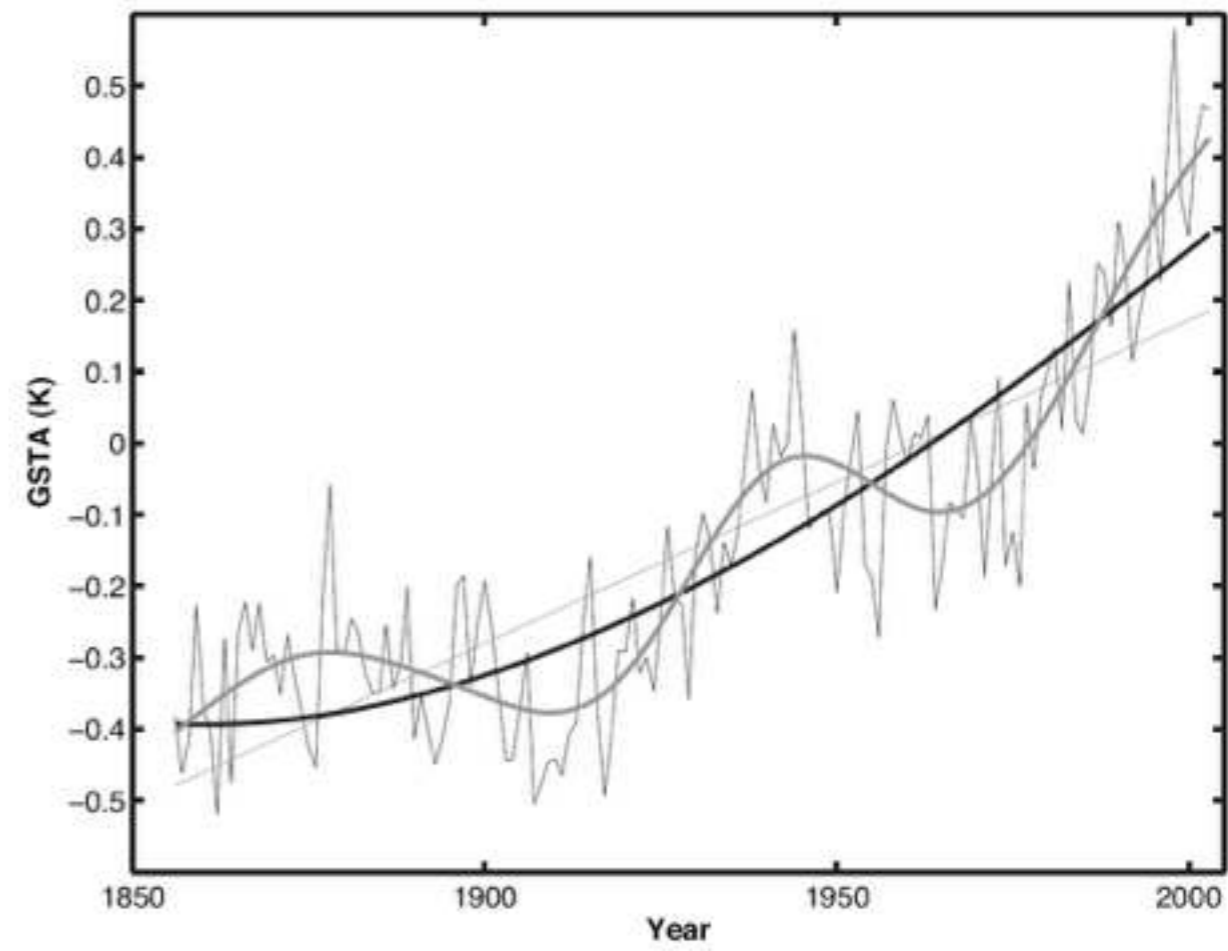
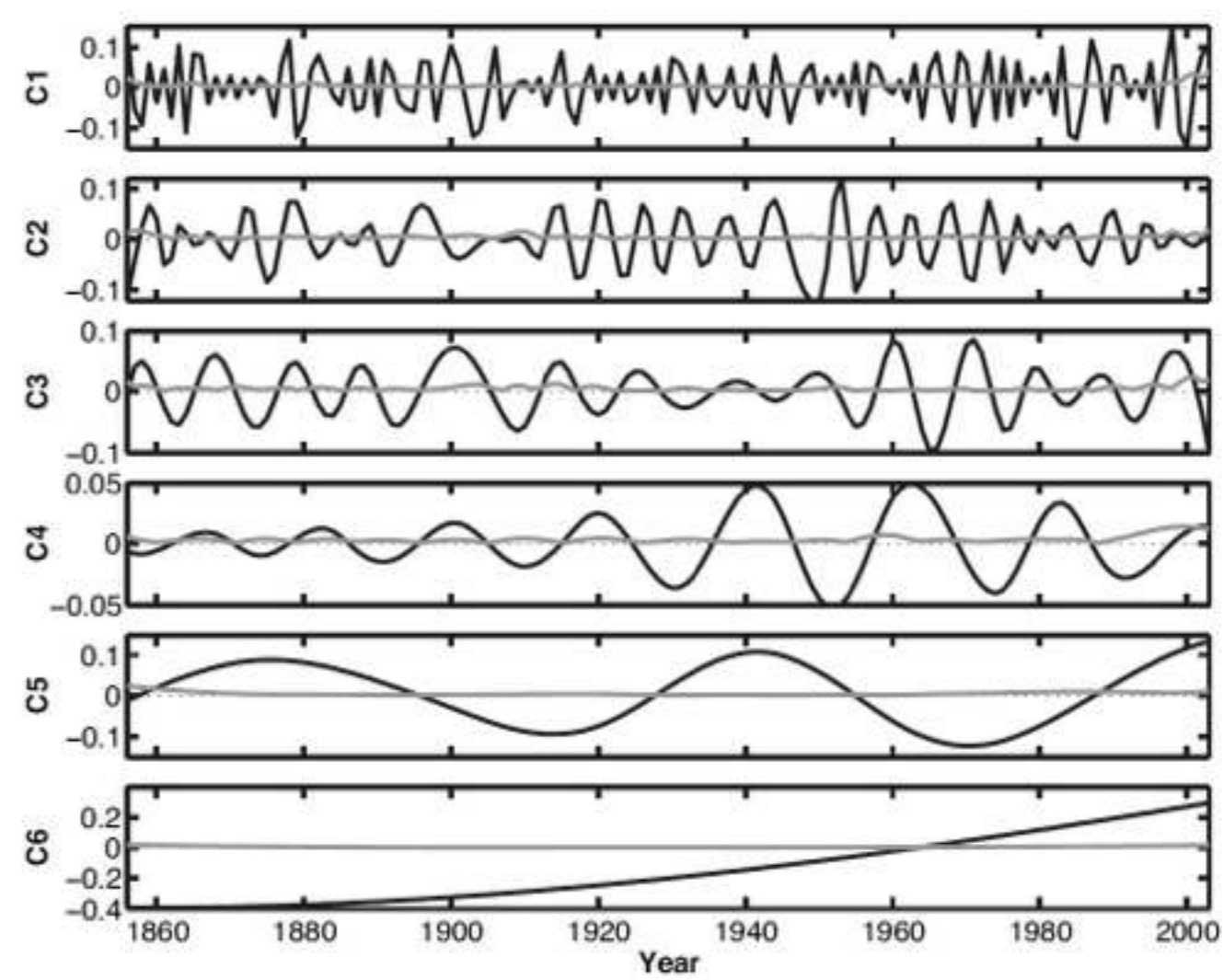
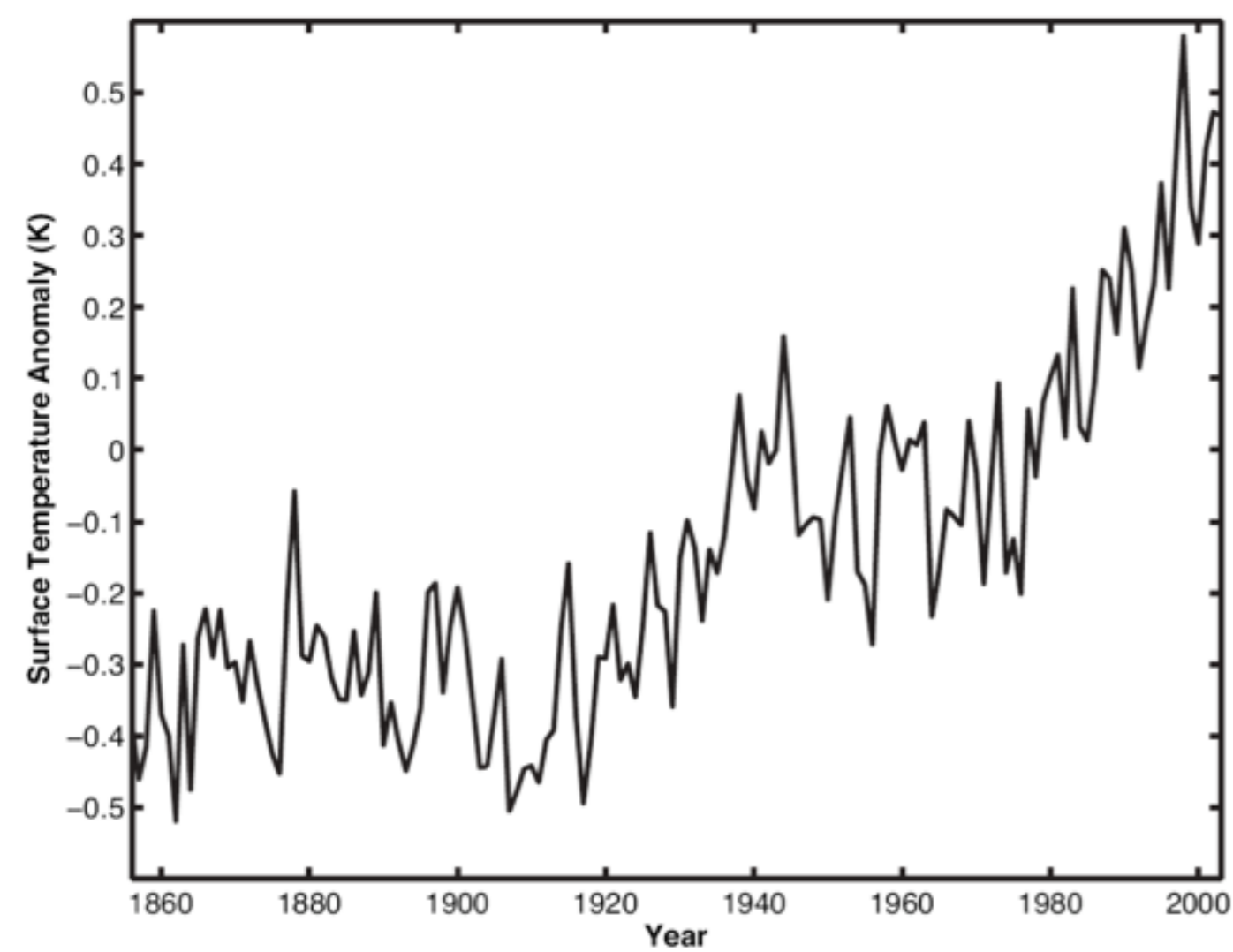


3-rd IMF



residue





Wu, Zhaohua, et al. "On the trend, detrending, and variability of nonlinear and nonstationary time series." *Proceedings of the National Academy of Sciences* 104.38 (2007): 14889-14894.

Part 5: Wavelet, Curvelet, Ridgelet

Wavelet versus FFT

(۱) در بسیاری از سری ها که مانا باشند عموماً روش FFT کافی است
(۲) با توجه به روشی که در FFT بکار گرفته می شود می توان دریافت که
اطلاعاتی از نوع:

مکان (زمان) رخ دادن را نمی دهد
چه نوع رخدادی رخ داده نیز مشخص نمی کند

(۳) تبدیلهای مبتنی بر موجک ها یعنی ابزارهایی که در مقابل موجهای
تخت بسیار جایگزیده تر می باشند به مراتب اطلاعات بیشتری را منعکس
می کنند پس

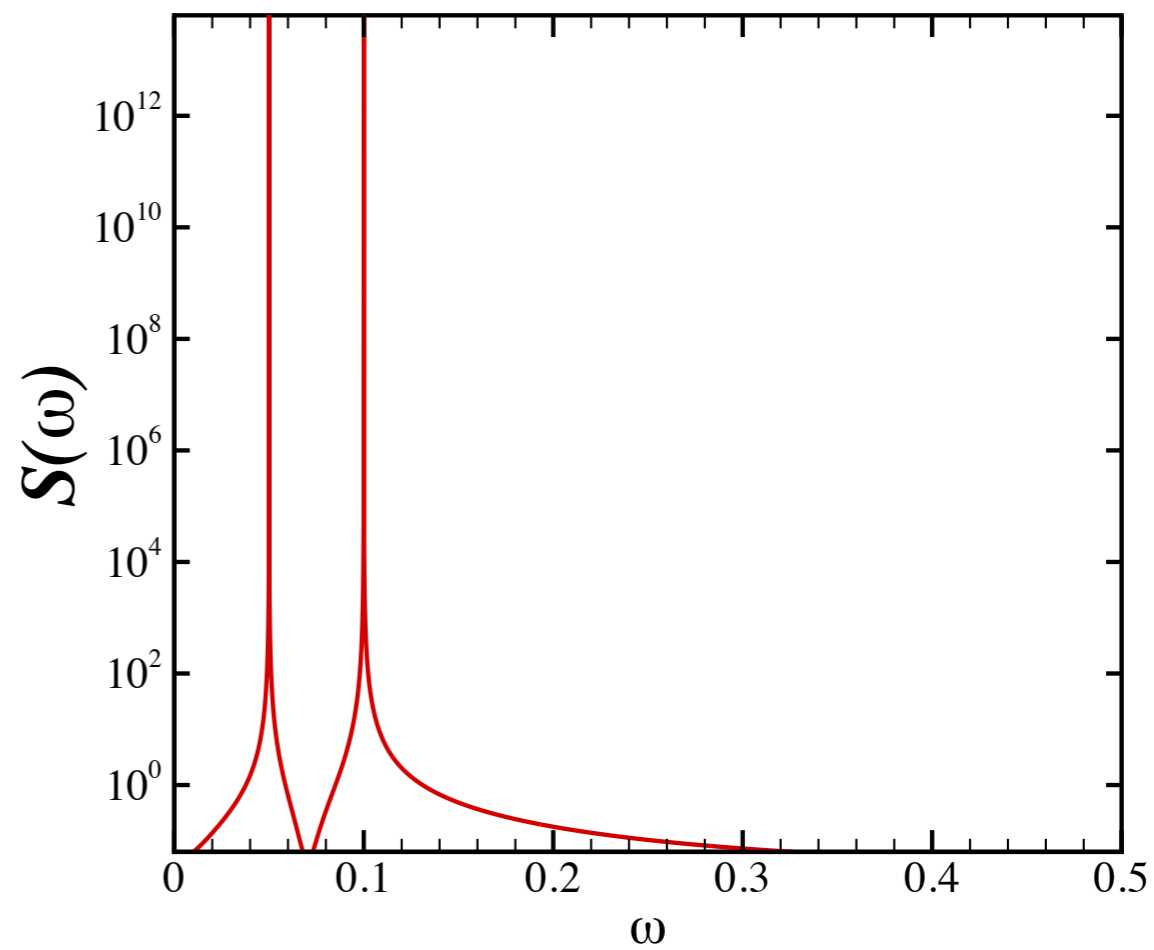
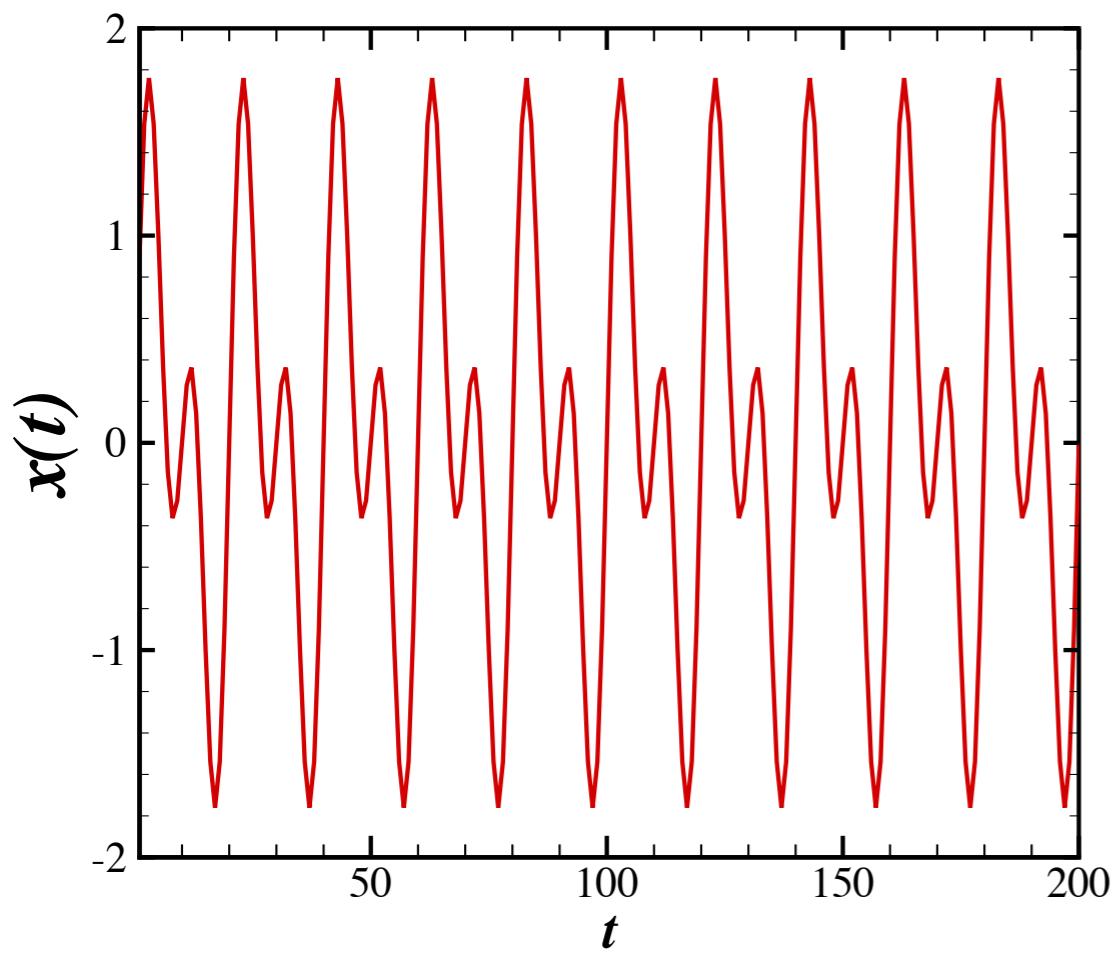
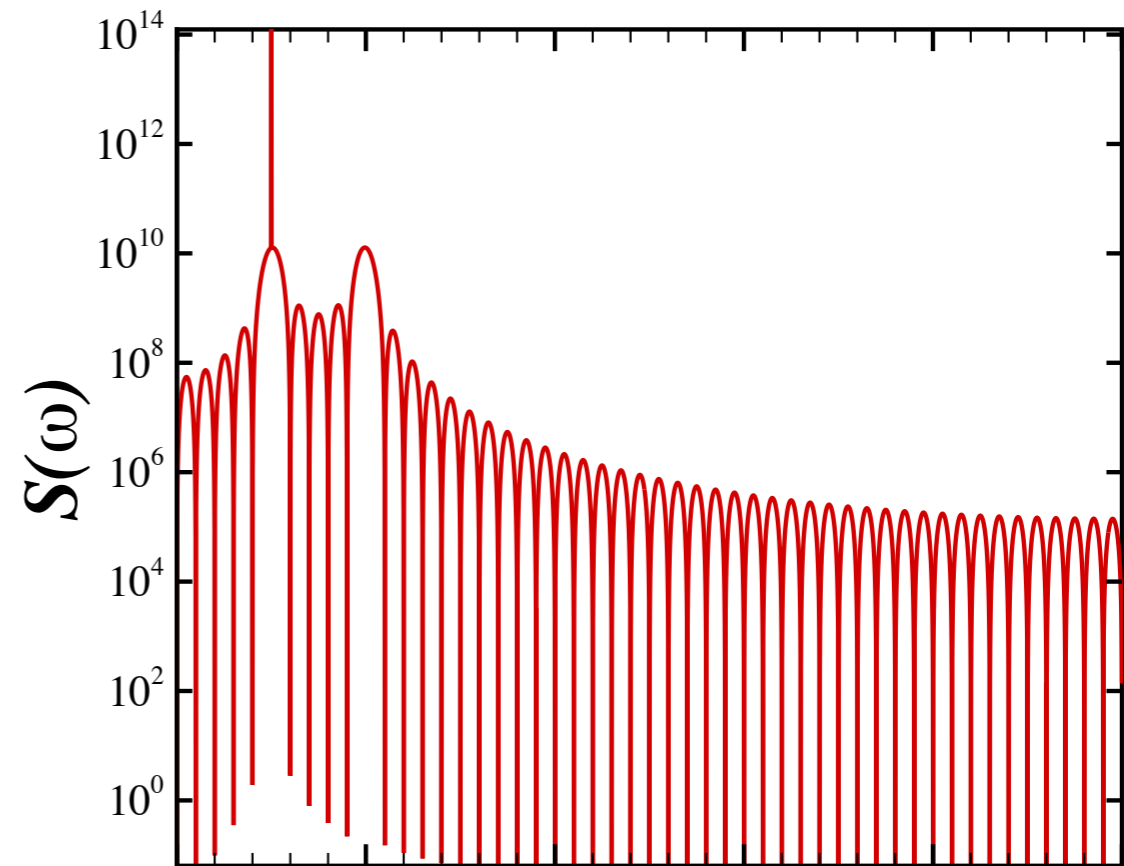
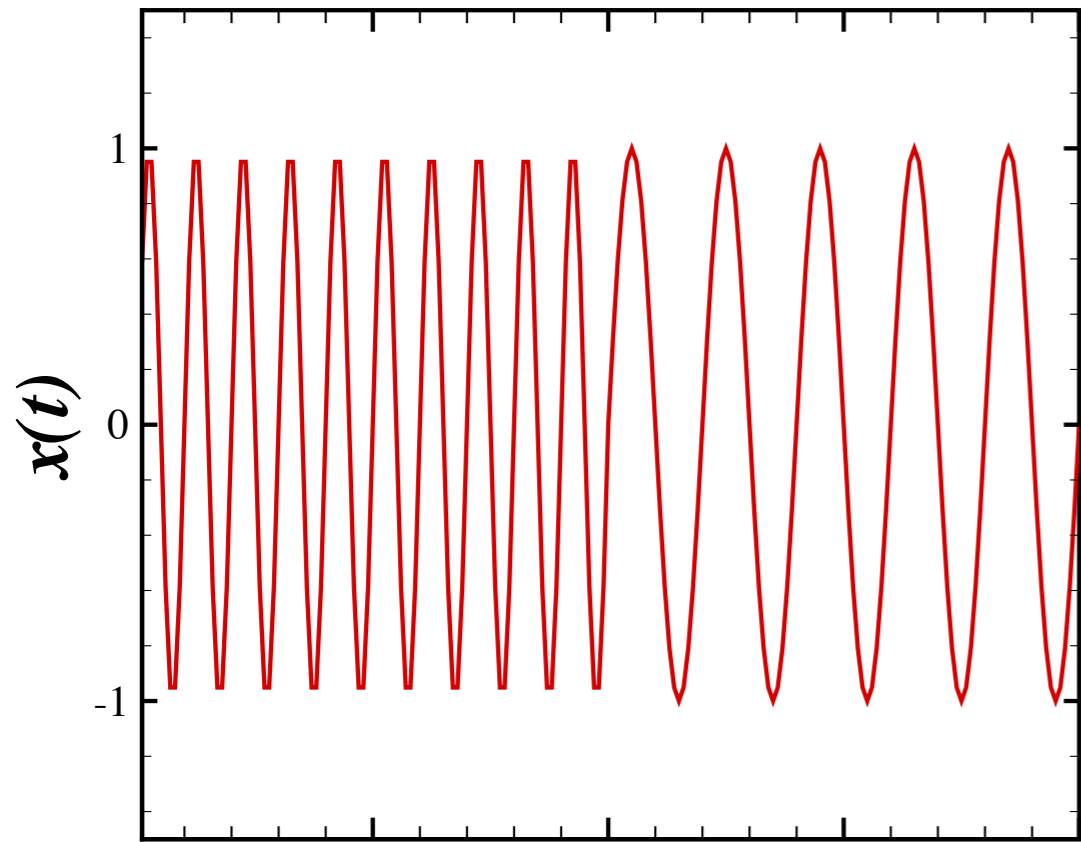
Wavelet, curvelet, contourlet, Transform
نیاز است

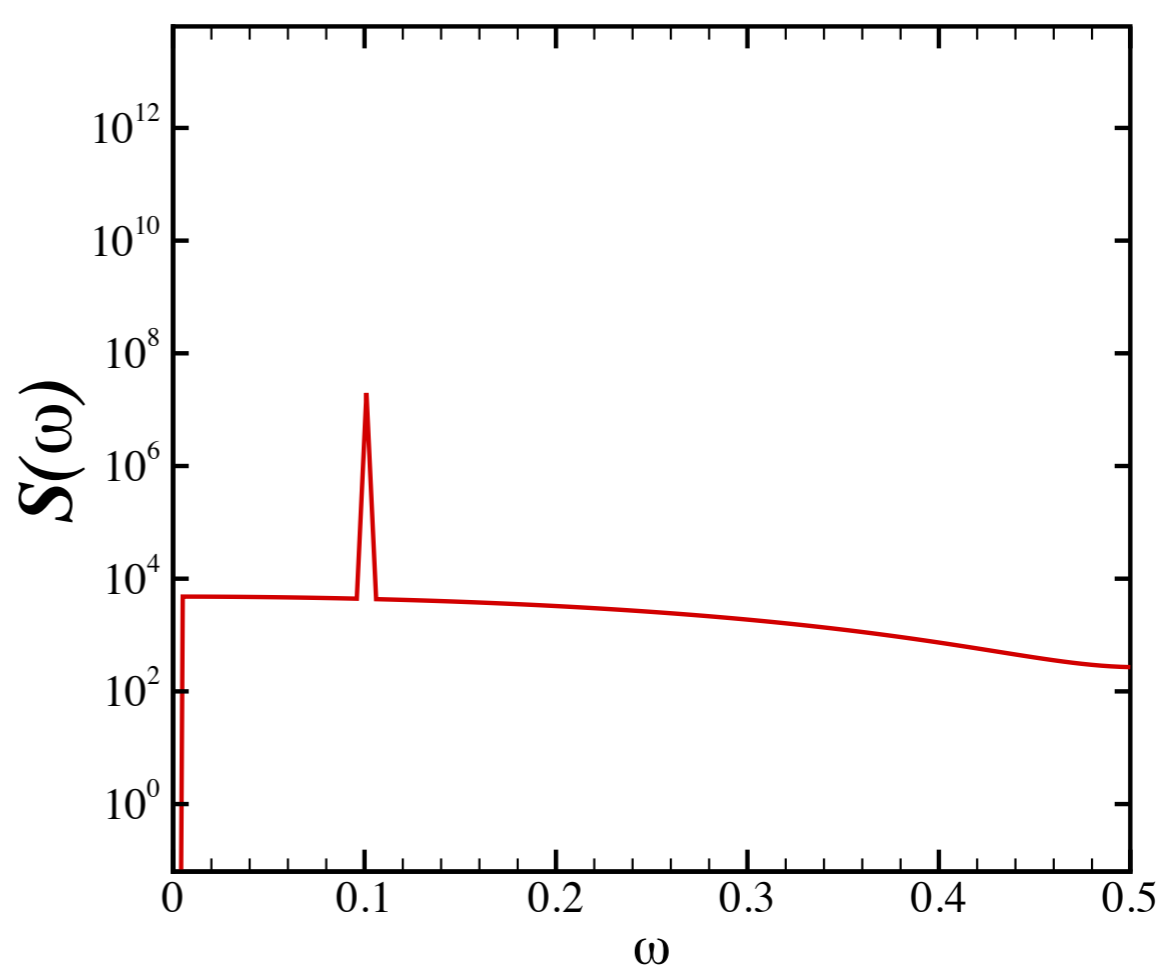
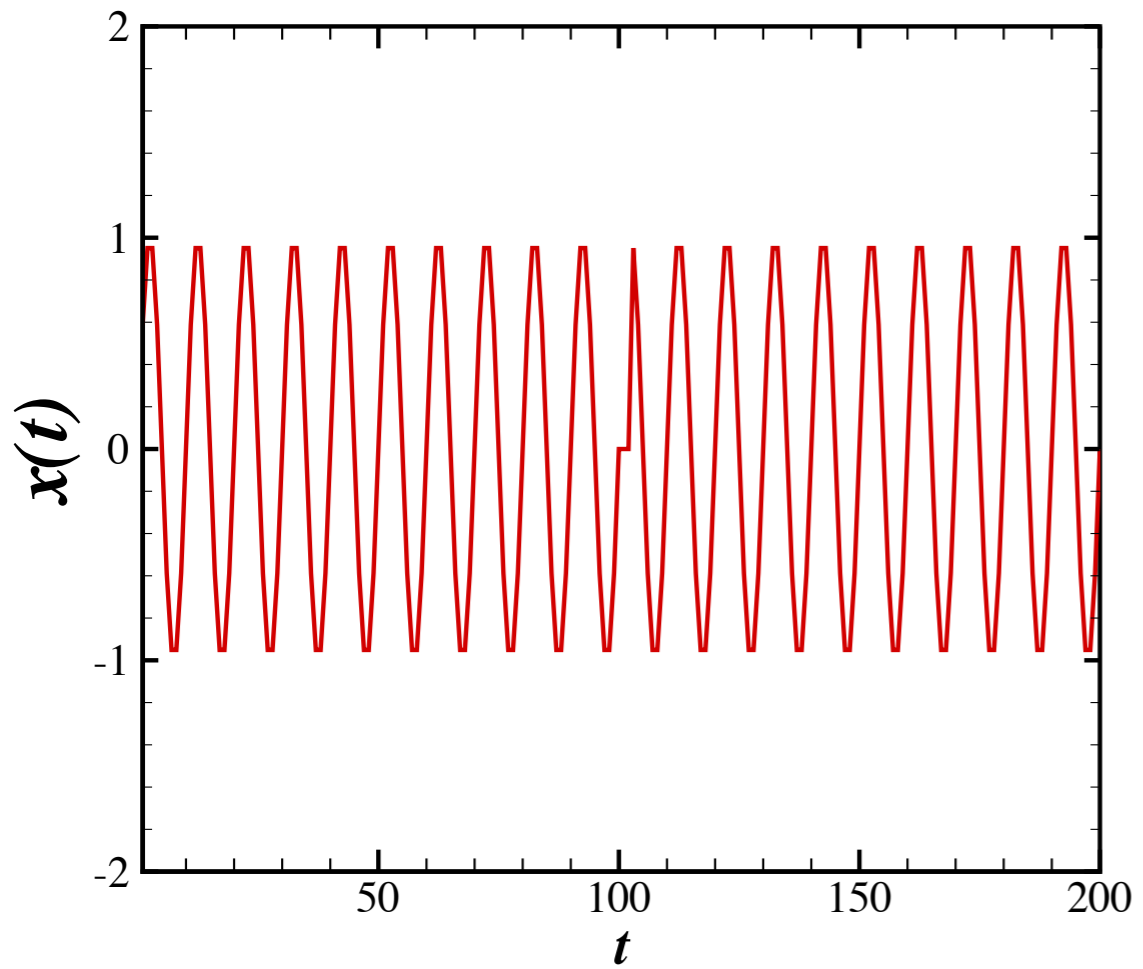
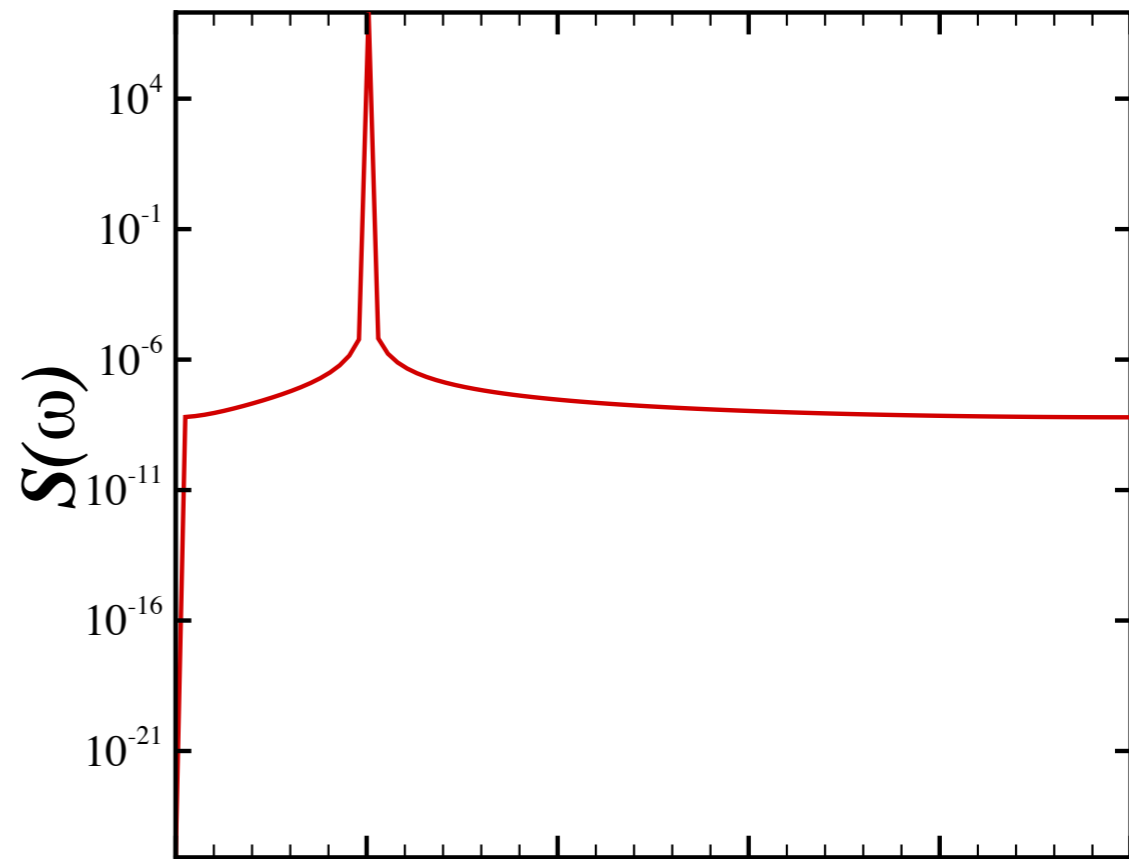
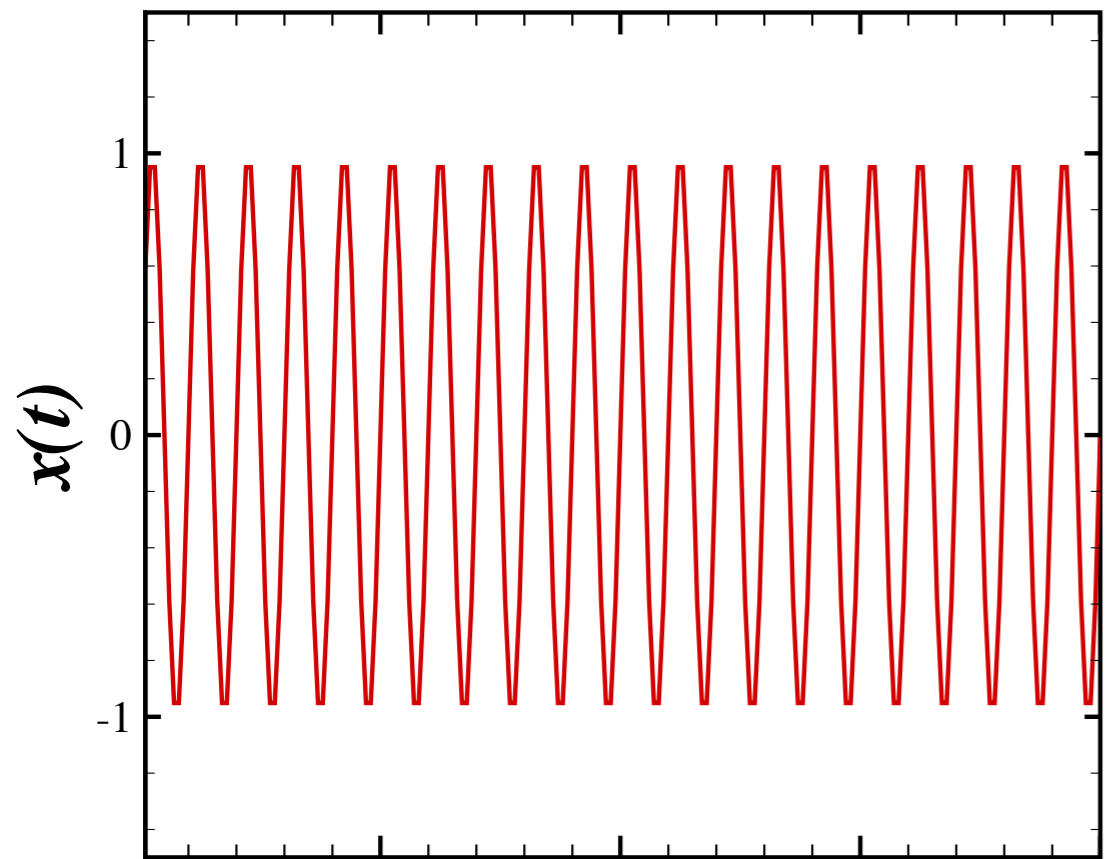
time-frequency analysis techniques: Fast Fourier Transform

Continuous wavelet transform Short-time Fourier transform Chirplet transform

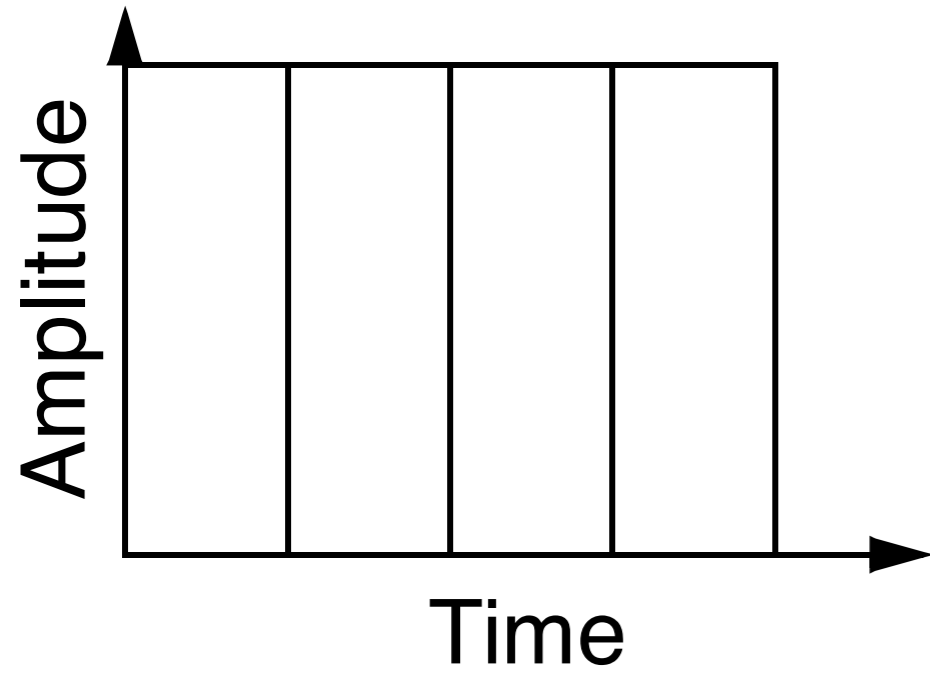
Fractional Fourier transform

چند مثال

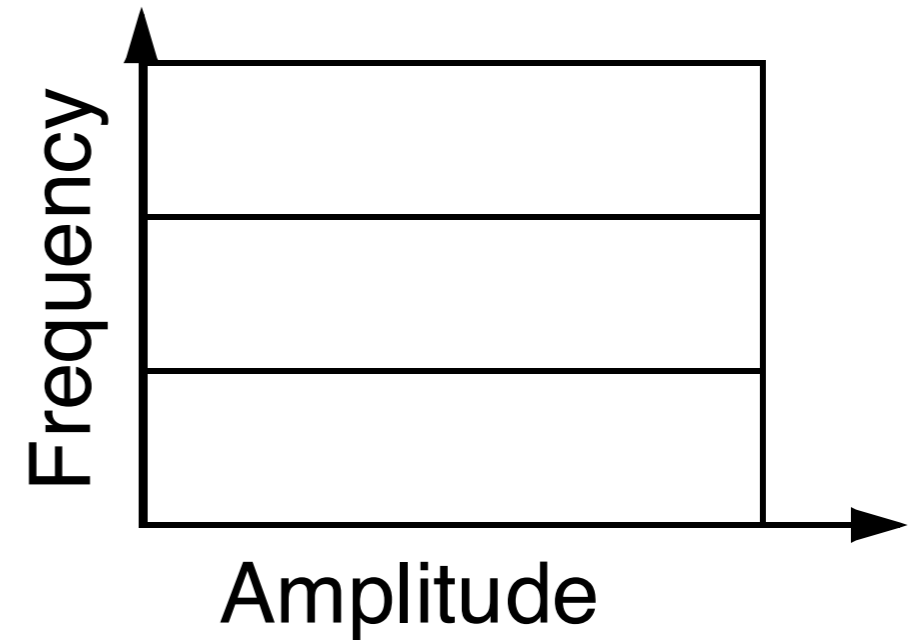




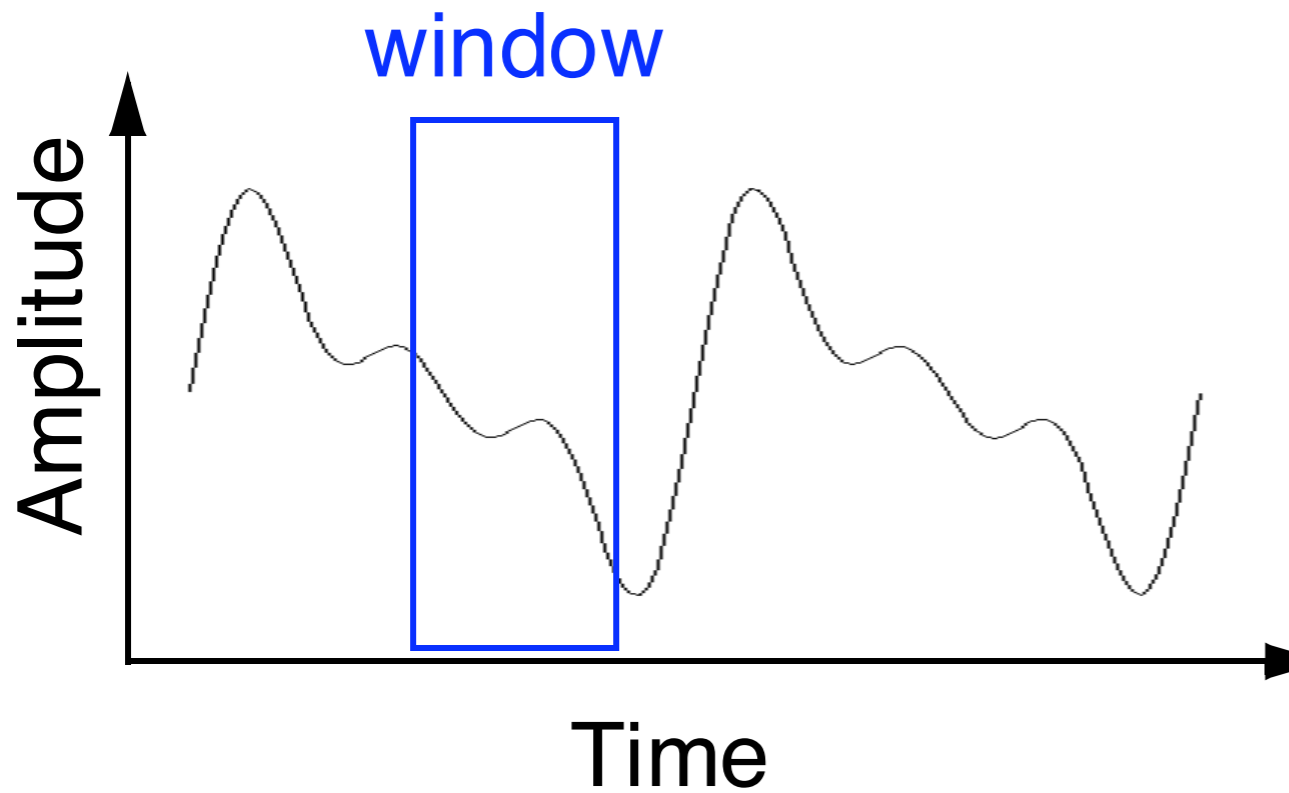
Short time Fourier Transform



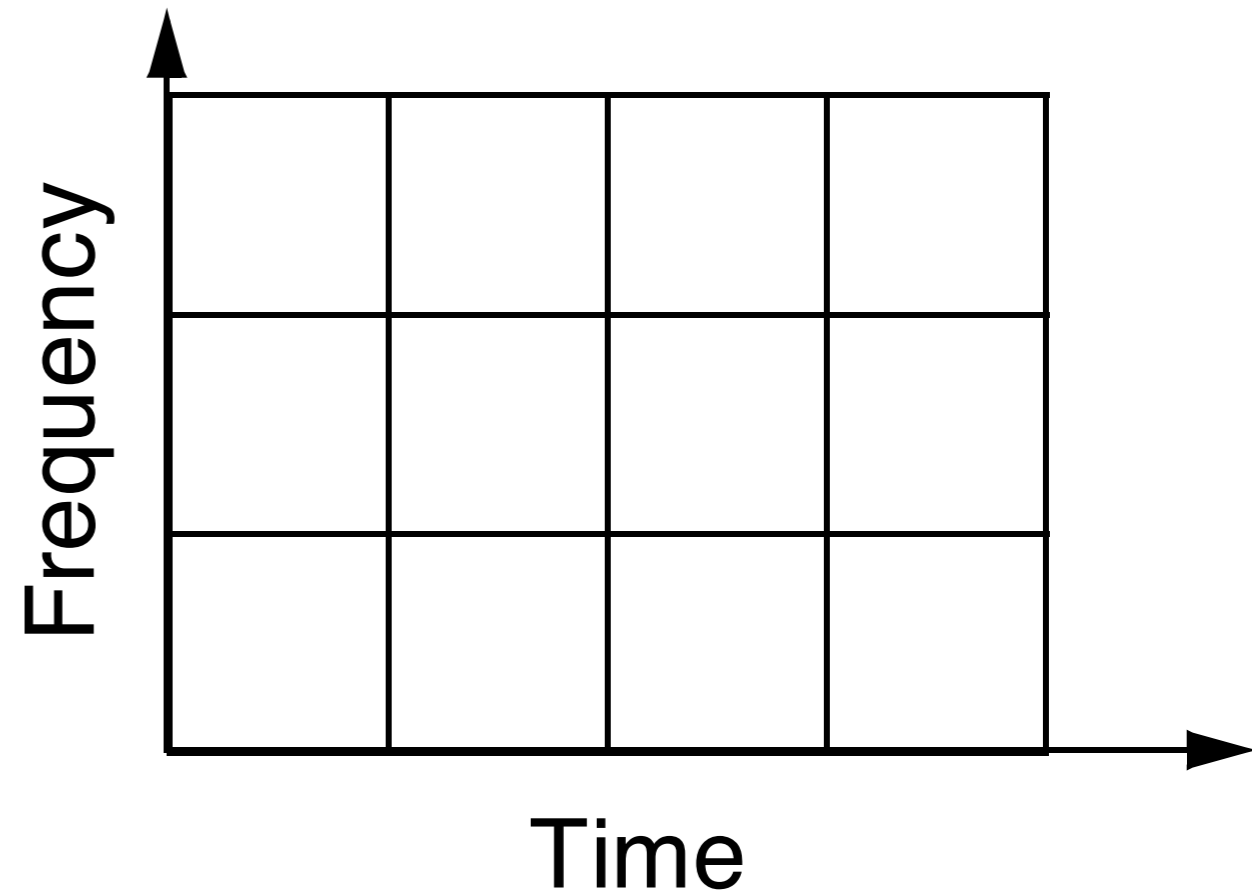
Time Domain (Shannon)



Frequency Domain (Fourier)



Matlab-wavelet package



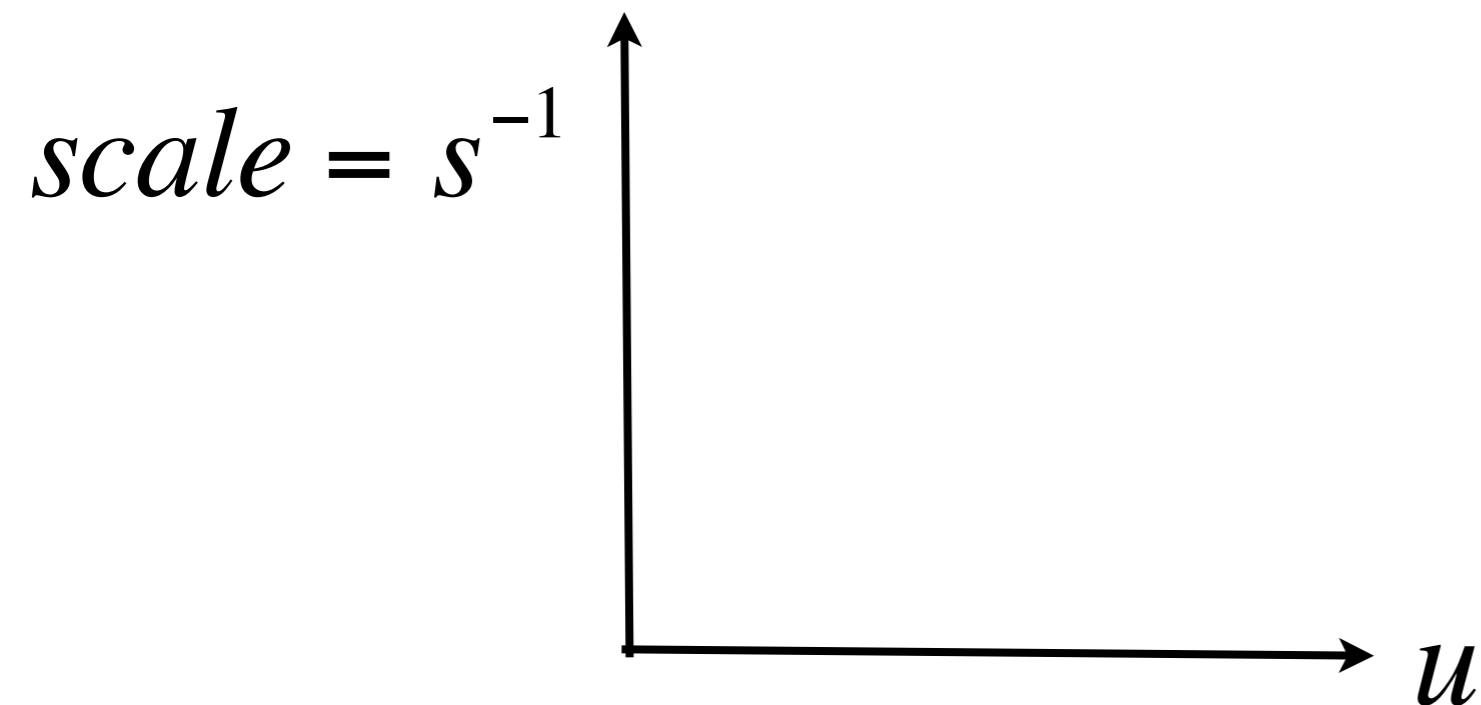
$$F(u, s) = \int_{-\infty}^{+\infty} g_{u,s}(t) f(t) dt$$

for $g_{u,s}(t) = e^{ist}$

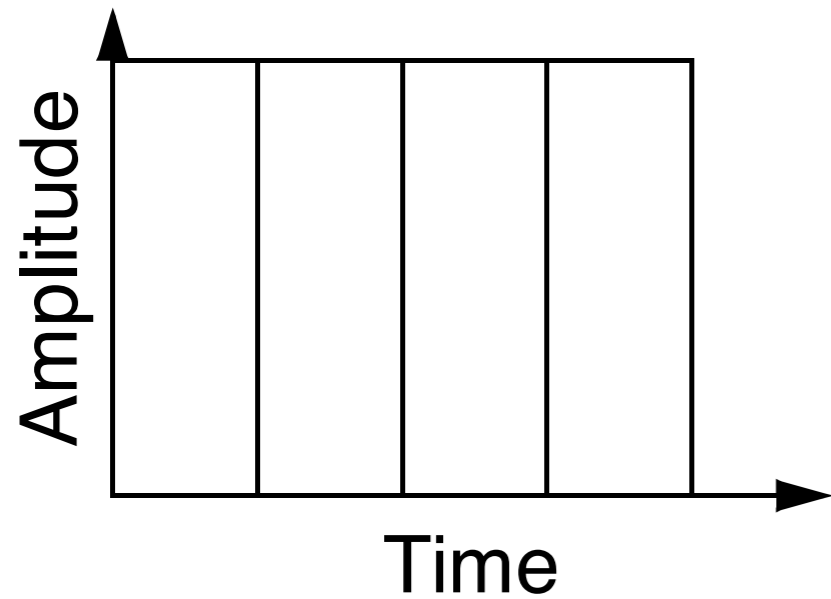
$$F(s) = \int_{-\infty}^{+\infty} e^{ist} f(t) dt$$

یک تابع متقارن و جایگزیده در $g_{u,s}(t) = e^{ist} g(u - t)$

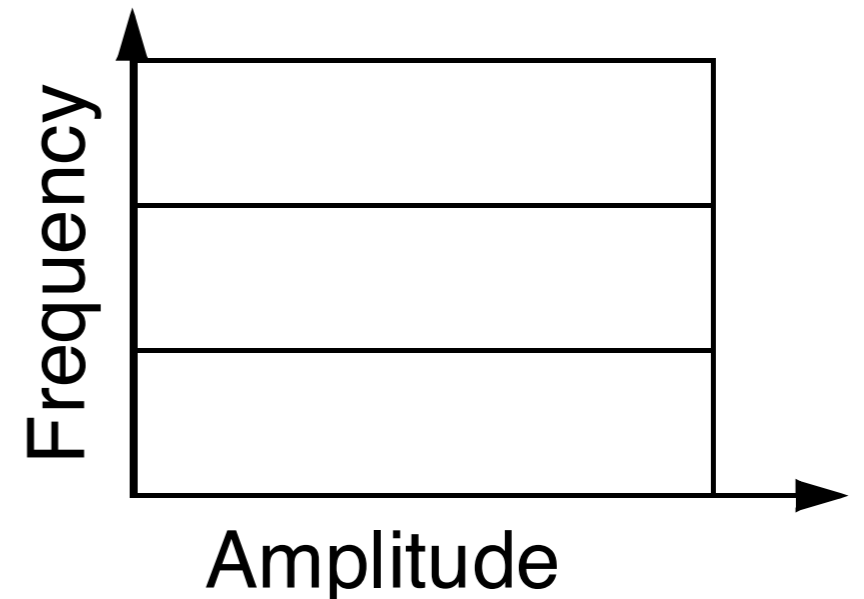
$$u = t$$



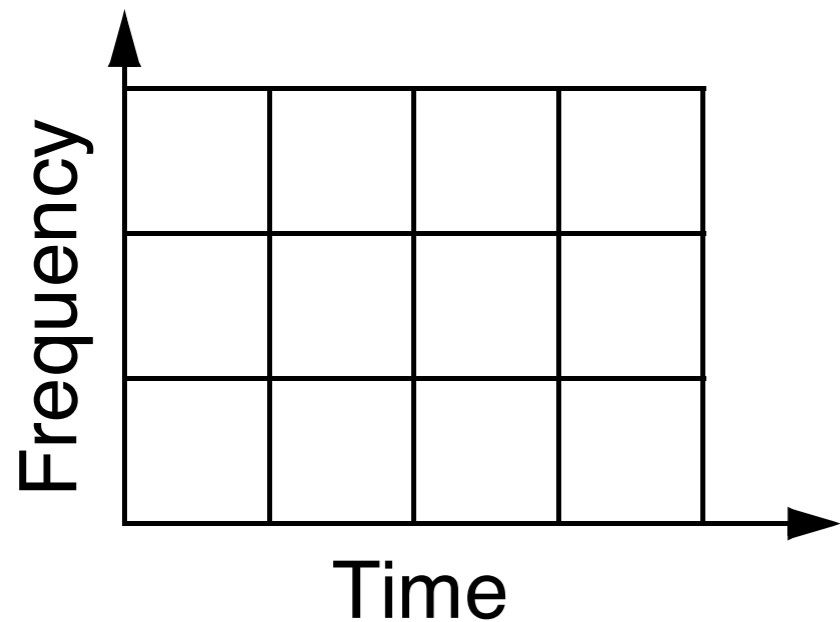
STFA versus Wavelet



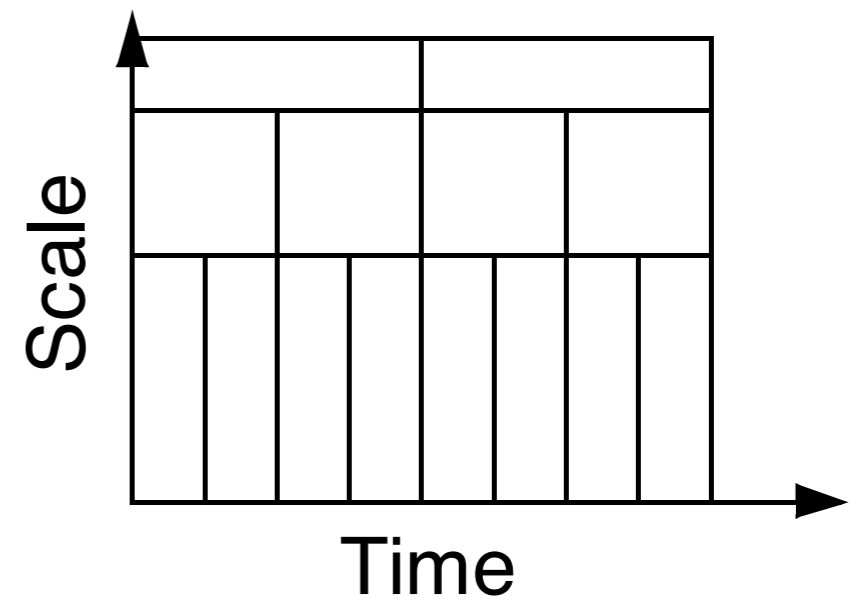
Time Domain (Shannon)



Frequency Domain (Fourier)



STFT (Gabor)



Wavelet Analysis

Matlab-wavelet package

وقتی بخواهیم فرکانسهای کوچک را با دقت اندازه گیری کنیم در زمان گسترده می شویم
 وقتی بخواهیم فرکانسهای بزرگ را با دقت اندازه گیری کنیم در آن صورت در زمان باید
 محدود شویم

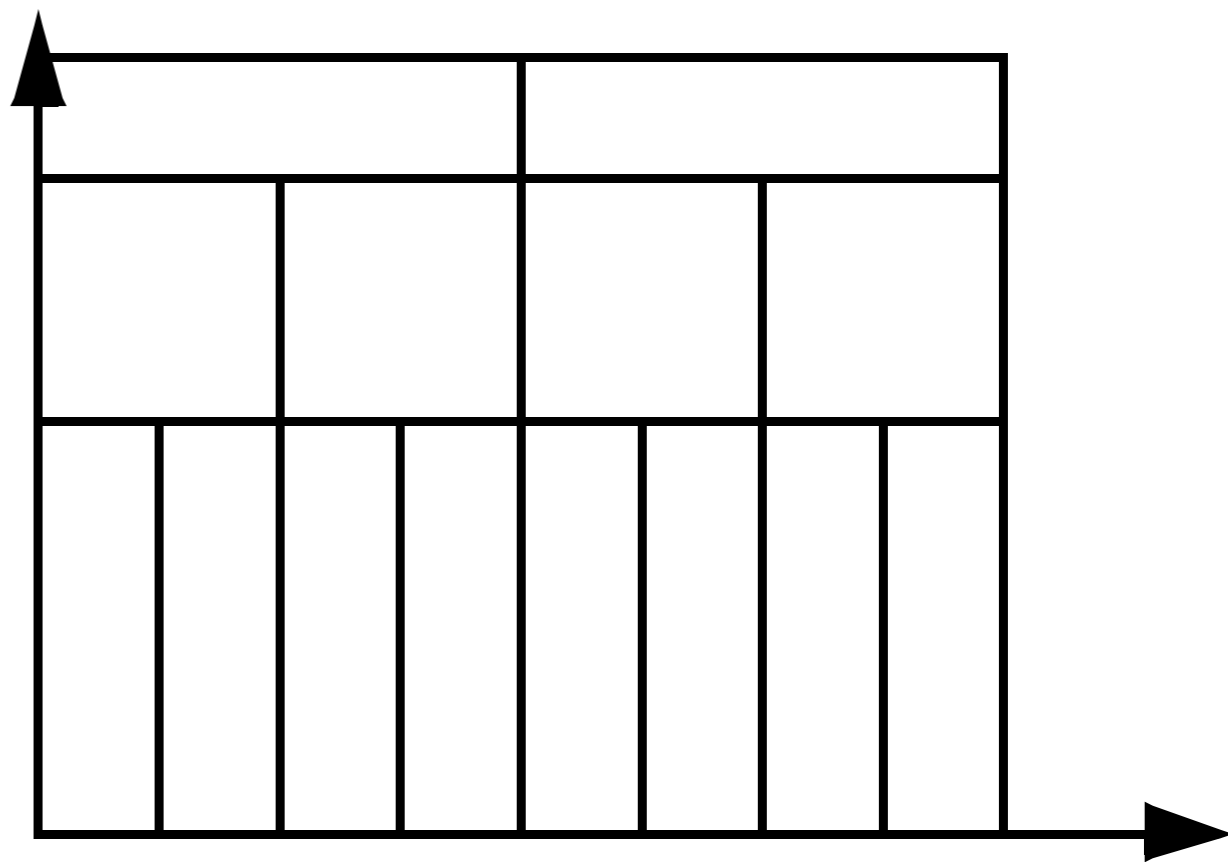
فرکانسهای کوچک

$$s : t^{-1}$$

$$scale \equiv s^{-1} = t$$

فرکانسهای بزرگ

Scale



Time

Wavelet Analysis

$$\text{CWT}_x^\psi(\tau, s) = \Psi_x^\psi(\tau, s) = \frac{1}{\sqrt{|s|}} \int x(t) \cdot \psi\left(\frac{t-\tau}{s}\right) dt$$

Translation
(The location of the window)

Scale

Mother Wavelet

- Wavelet
 - Small wave
 - Means the window function is of finite length
- Mother Wavelet
 - A prototype for generating the other window functions
 - All the used windows are its dilated or compressed and shifted versions

High resolution problem in STFA

$$\sigma_{f(t)}^2 = \int_{-\infty}^{+\infty} f^2(t) p(t) dt = \int d\omega S(\omega) = \int d\omega |F(\omega)|^2$$

$$\sigma_t^2 \equiv \int_{-\infty}^{+\infty} (t - u)^2 |g_{u,s}(t)|^2 dt$$

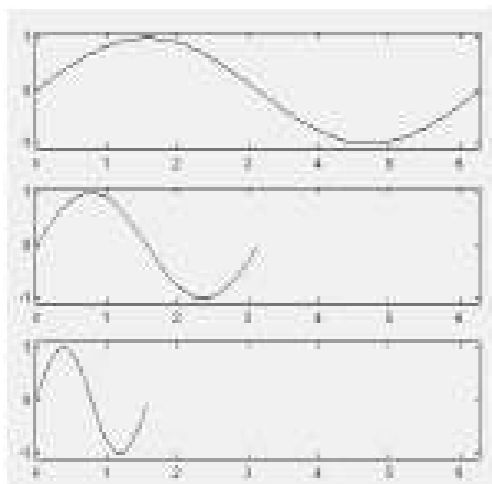
$$\sigma_\omega^2 \equiv \int_{-\infty}^{+\infty} (\omega - s)^2 |g_{u,s}(t)|^2 d\omega$$

$$\sigma_t^2 \sigma_\omega^2 \geq \frac{1}{2}$$

با توجه به انتخاب پایه در این روش برای فرکانسهای پایین که گسترگی فضایی پایه زیاد تر است و بنابراین ناحیه بزرگتری از سیگنال اولیه باید مورد بررسی قرار گیرد تا نتیجه به دست آمده برای ضریب قابل اعتماد باشد لحاظ نمی گردد. همچنین برای فرکانسهای بالا نیز به گسترگی فضایی کوچکتری هستیم تا نتیجه مورد اعتماد باشد در این رهیافت این توانایی به دست نمی آید

Scales

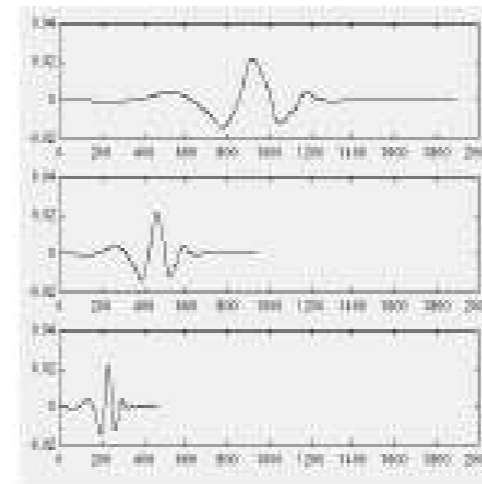
- Scale
 - $S > 1$: dilate the signal
 - $S < 1$: compress the signal
- Low Frequency \rightarrow High Scale \rightarrow Non-detailed Global View of Signal \rightarrow Span Entire Signal
- High Frequency \rightarrow Low Scale \rightarrow Detailed View Last in Short Time
- Only Limited Interval of Scales is Necessary



$$f(t) = \sin(t) \quad ; \quad a = 1$$

$$f(t) = \sin(2t) \quad ; \quad a = \frac{1}{2}$$

$$f(t) = \sin(4t) \quad ; \quad a = \frac{1}{4}$$



$$f(t) = \psi(t) \quad ; \quad a = 1$$

$$f(t) = \psi(2t) \quad ; \quad a = \frac{1}{2}$$

$$f(t) = \psi(4t) \quad ; \quad a = \frac{1}{4}$$

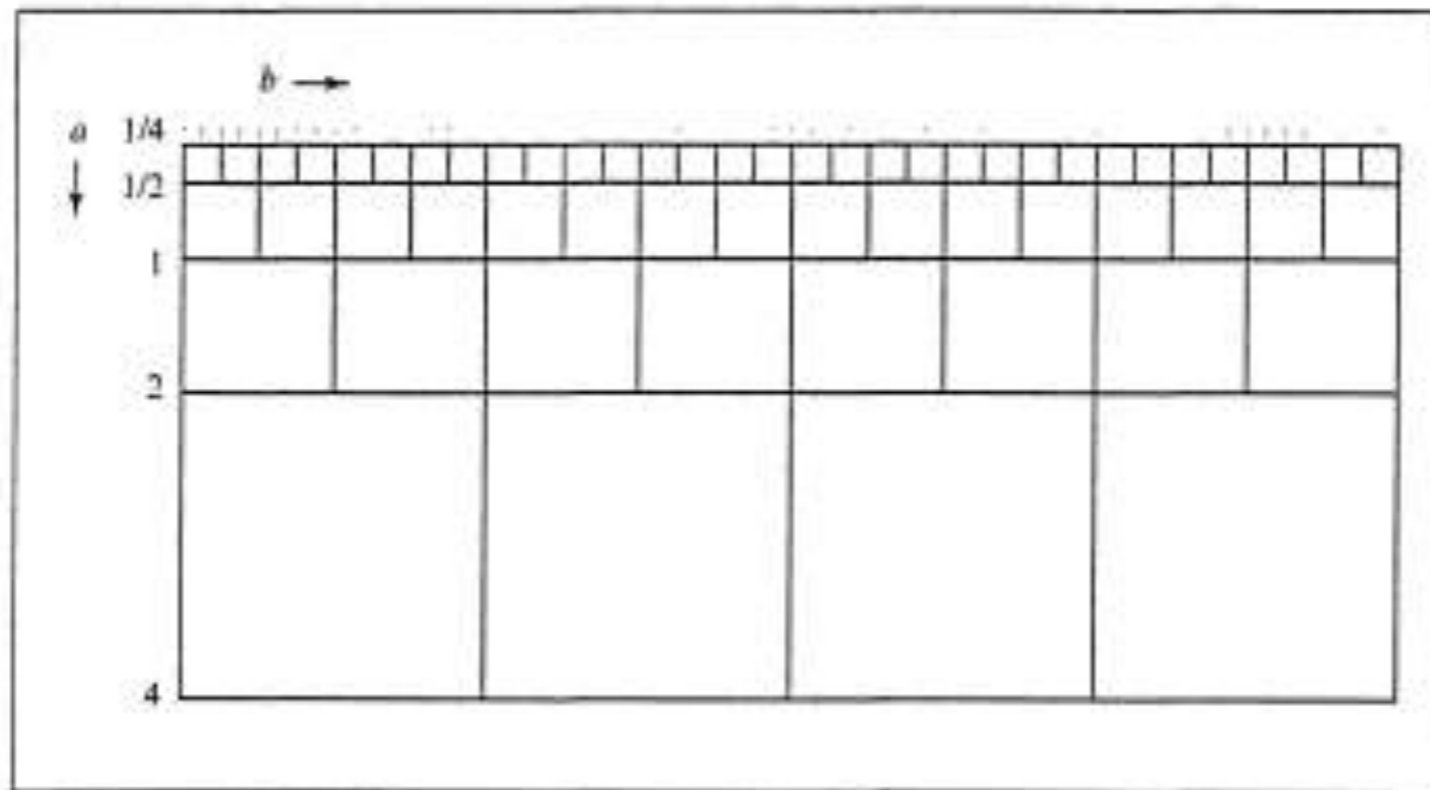
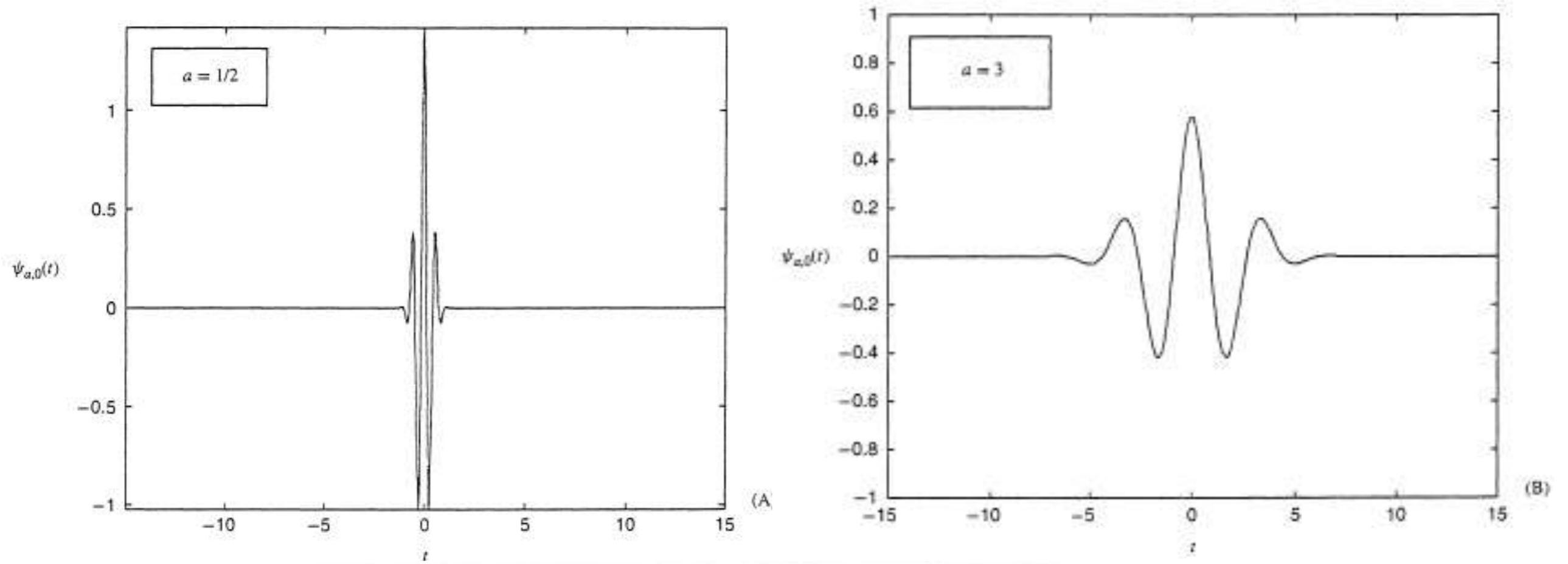
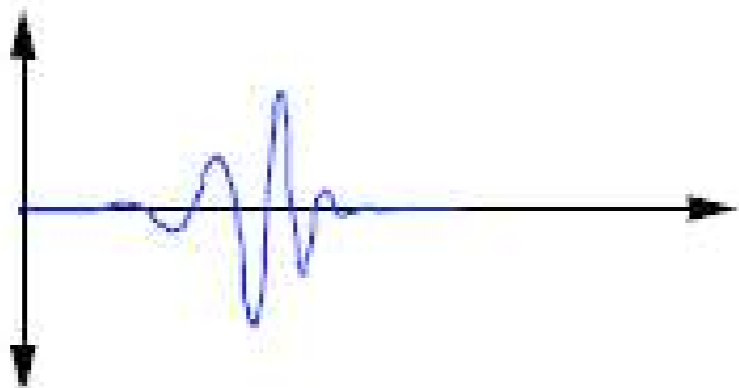


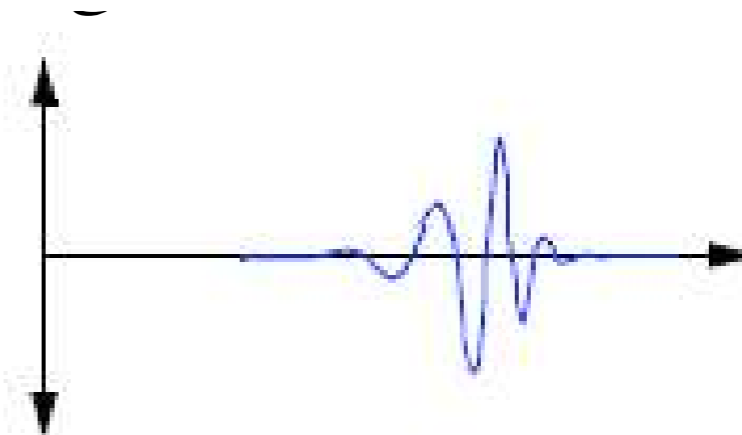
Figure 2.3 The time-frequency cells that correspond to dyadic sampling.

Rao, R. M. "Wavelet Transforms: Introduction to Theory and Applications." Addison Wesley (1998).

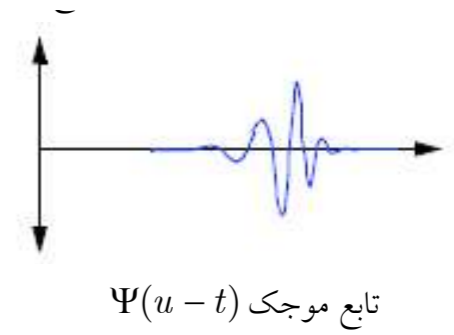
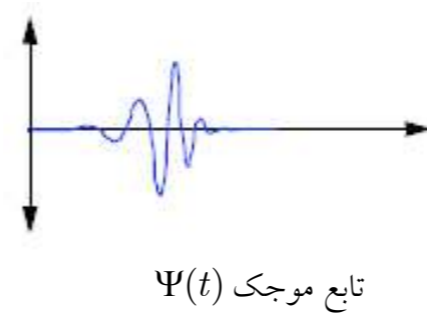
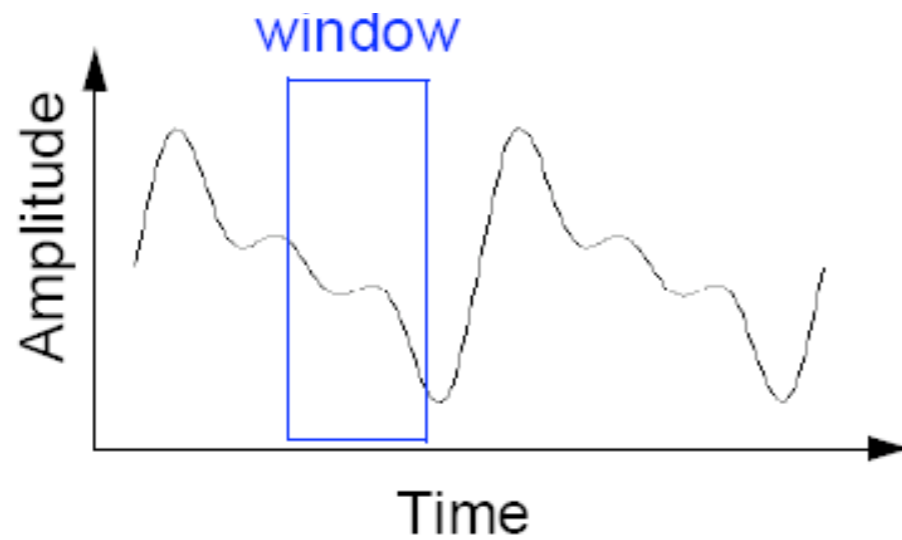
Shifting



تابع موجک $\Psi(t)$



تابع موجک $\Psi(u-t)$



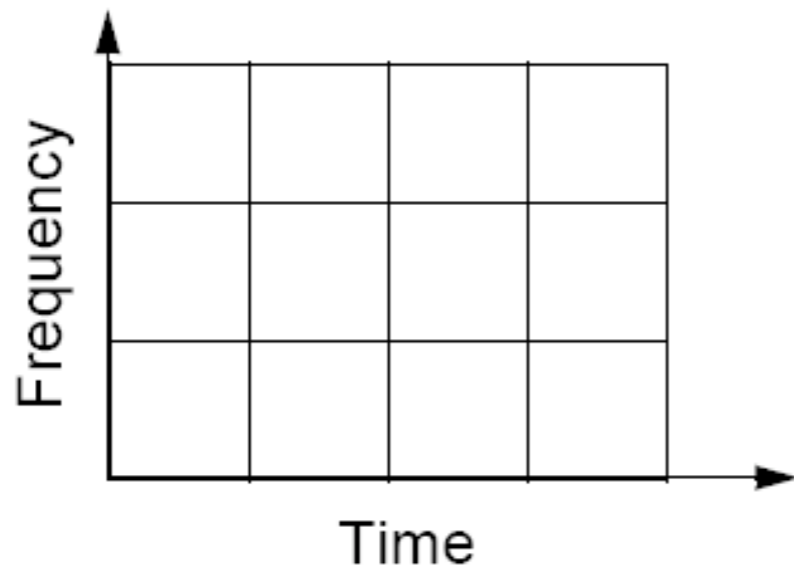
$$F(\omega) = \int_{-\infty}^{+\infty} f(t)e^{-i\omega t} dt \quad (17)$$

در صورتی که در تبدیل موجک داریم:

$$C(scale, position) = \int_{-\infty}^{+\infty} f(u)\Psi(scale, u)du \quad (18)$$

که در معادله بالا $\Psi(scale, u)$ تابع موجک نام دارد. شکل عمومی این تابع به صورت زیر است:

$$\begin{aligned} \Psi(scale, u) &\equiv \Psi(\lambda, u) \\ &= \frac{1}{\sqrt{\lambda}} \Psi\left(\frac{u-t}{\lambda}\right) \end{aligned} \quad (19)$$



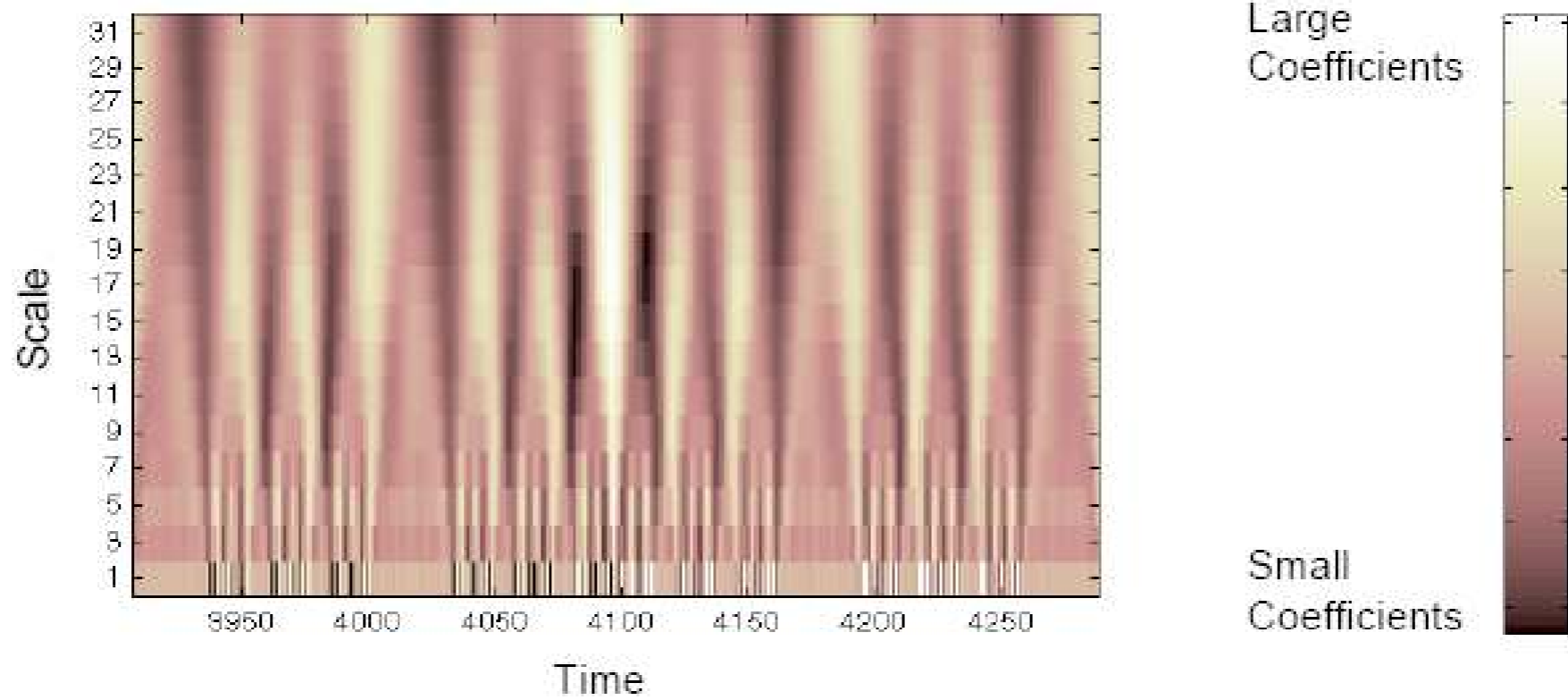
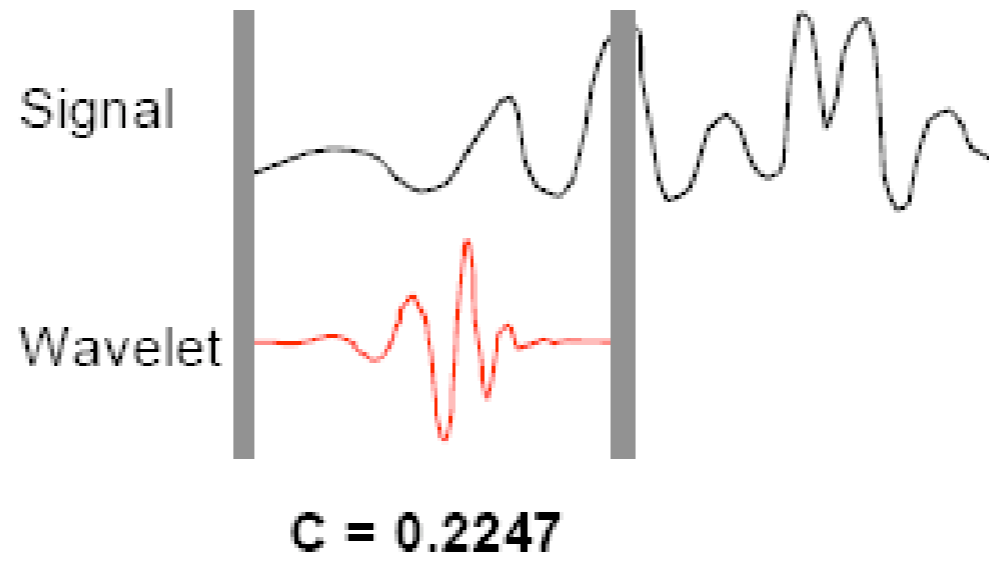
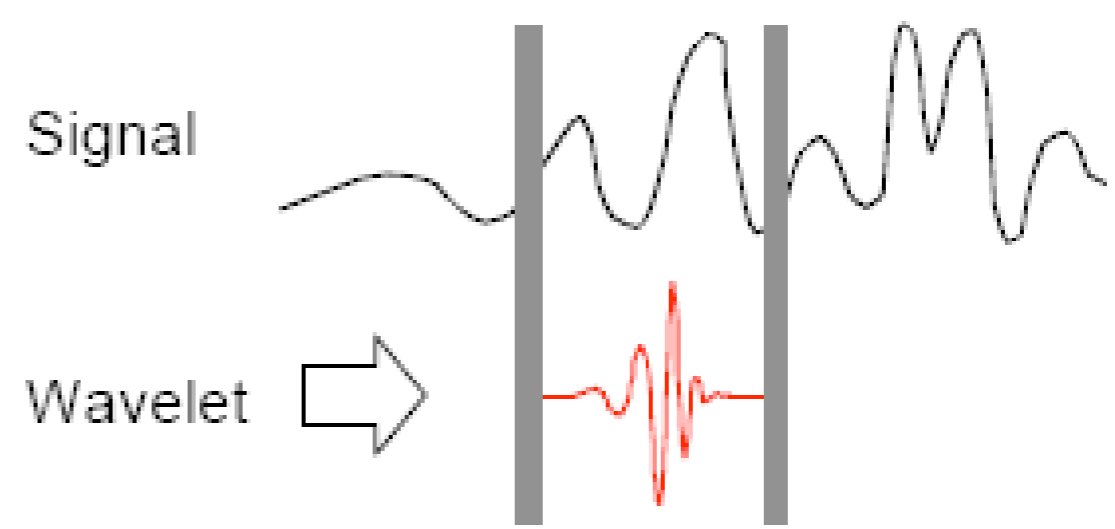
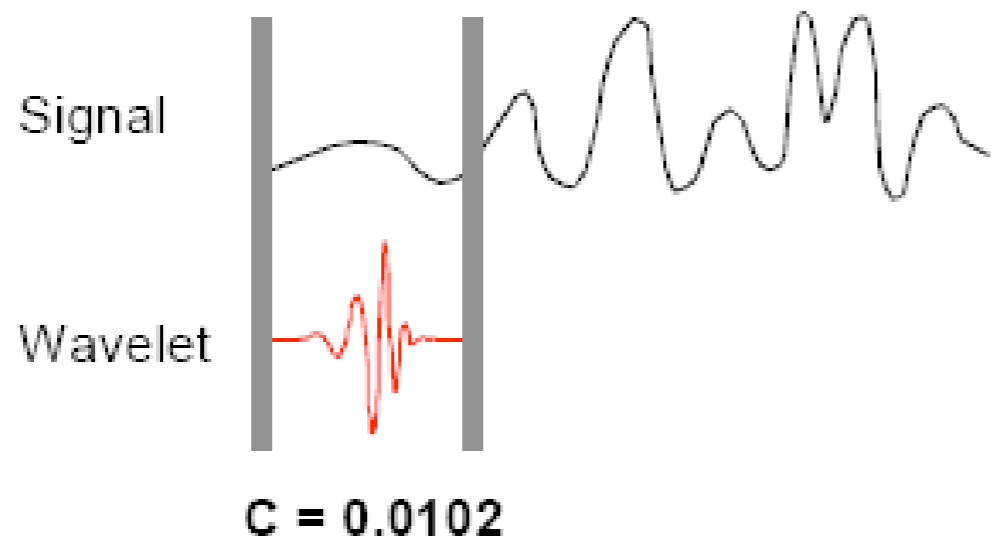
شکل ۱۹: بخش بالا به صورت شماتیک روش تحلیل فوریه زمان کوتاه و بخش پایین نتیجه حاصل از این تحلیل

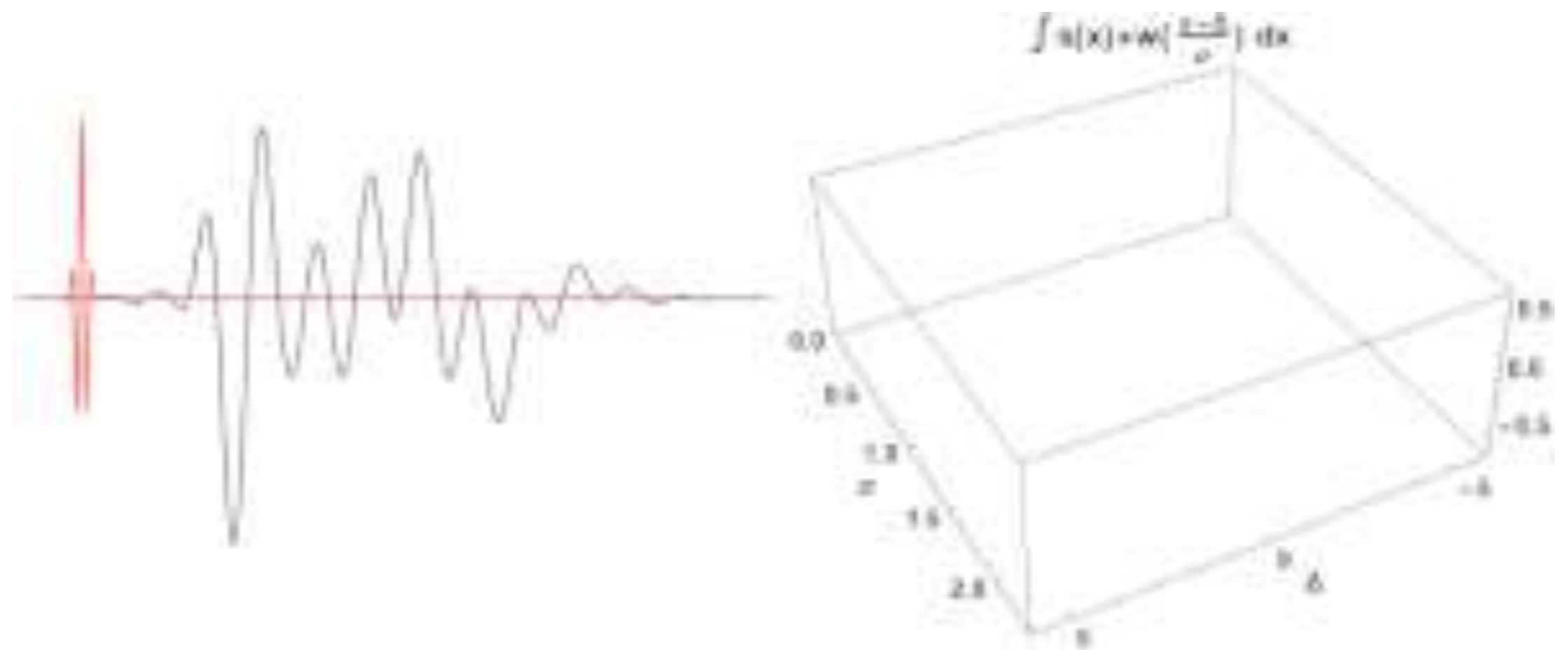
این روش به دنبال پاسخ به دو سؤال زیر است:

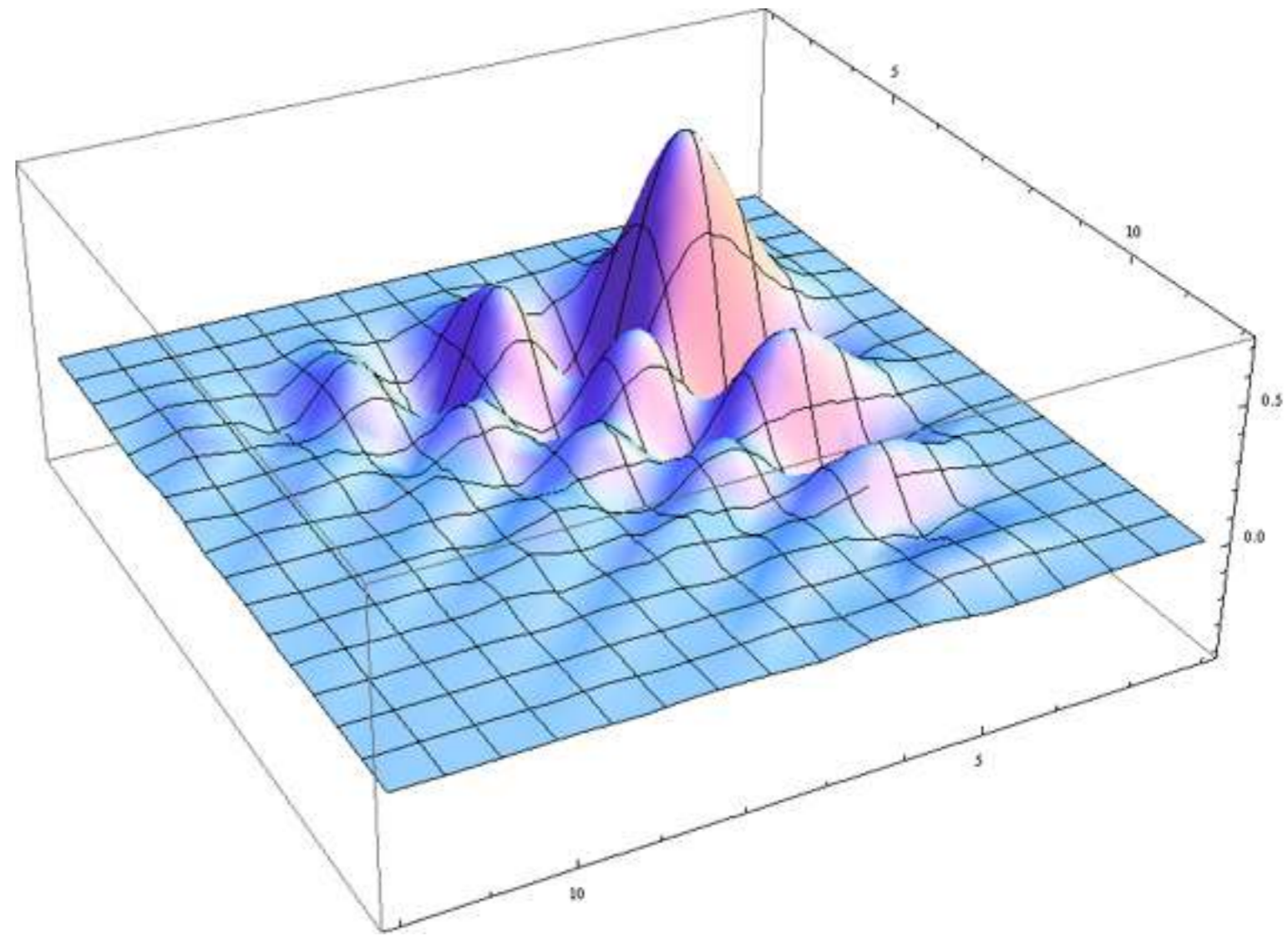
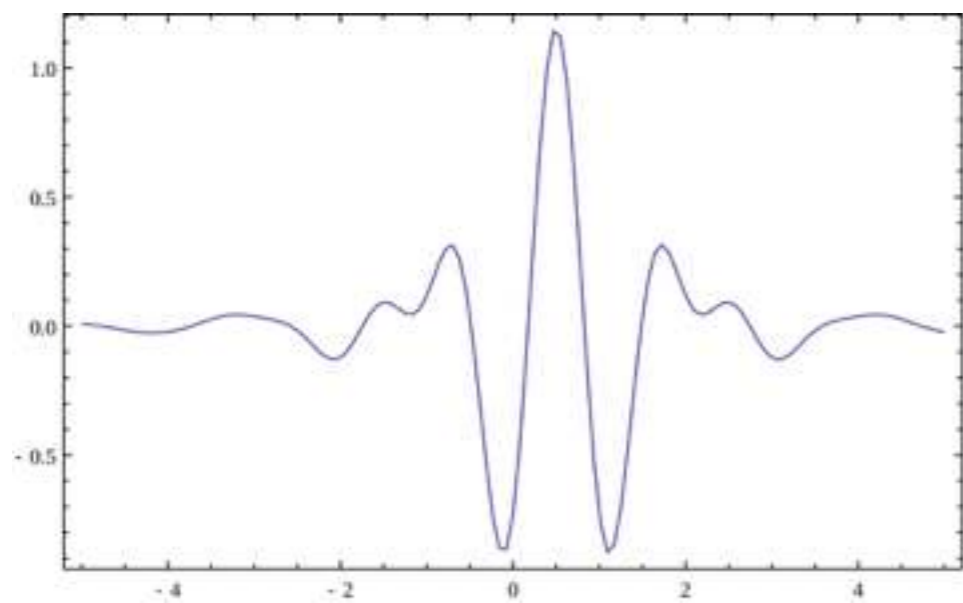
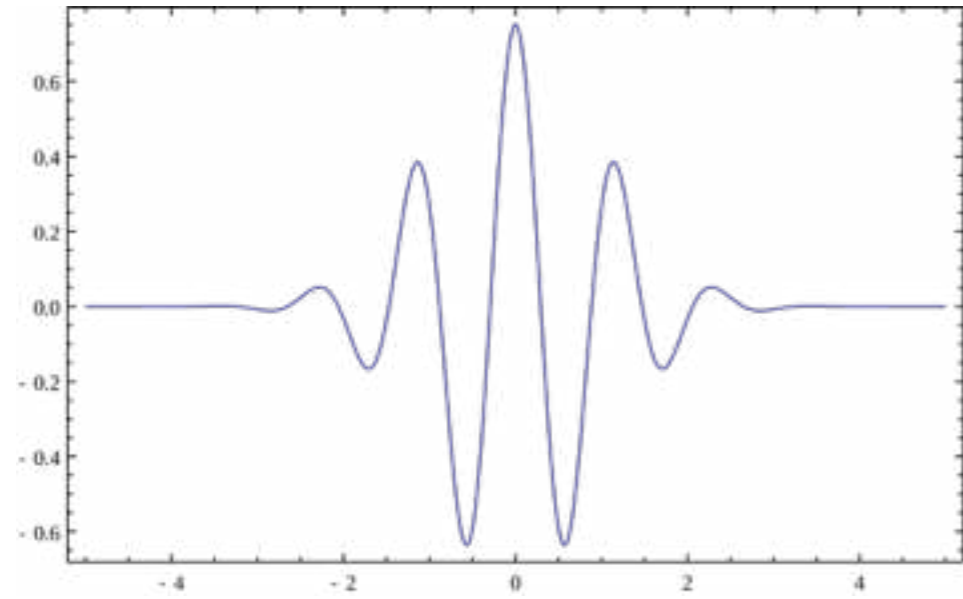
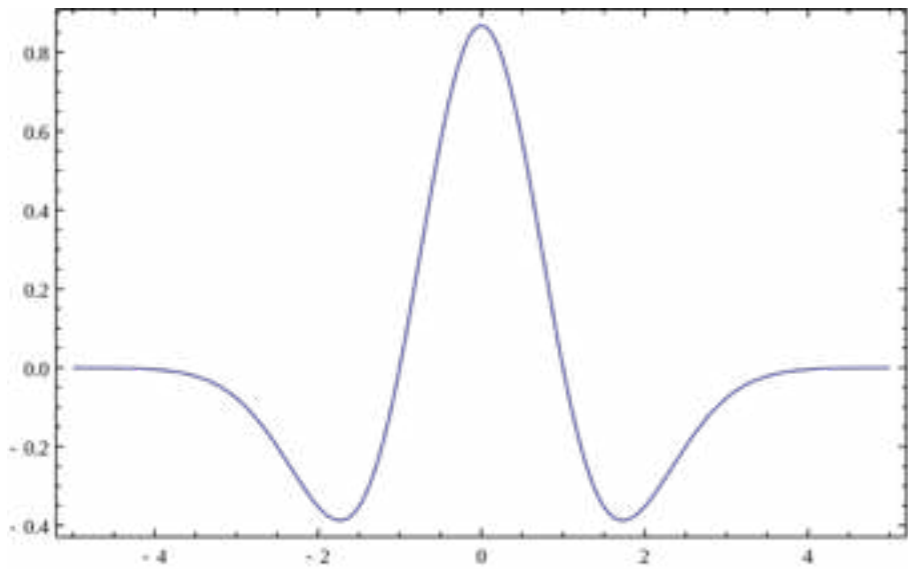
(۱) در چه زمانی؟

(۲) و چه رخدادی روی داده است؟

با این روش دقت محدودی بسته به اندازه پنجره در نظر گرفته شده به دست می‌آید. برای بسیاری از سری‌های زمانی نیاز به انعطاف بیشتری در انتخاب اندازه پنجره در زمانهای مختلف داریم که در این روش به دست نمی‌آید. قدم منطقی بعدی استفاده از رهیافت تبدیل موجک است.



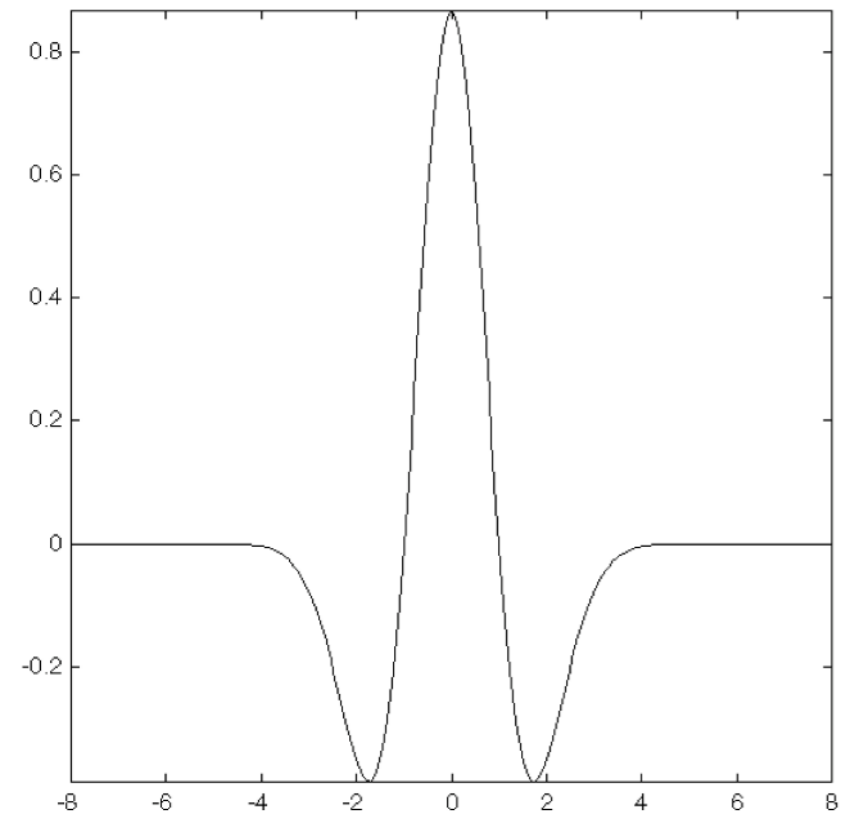




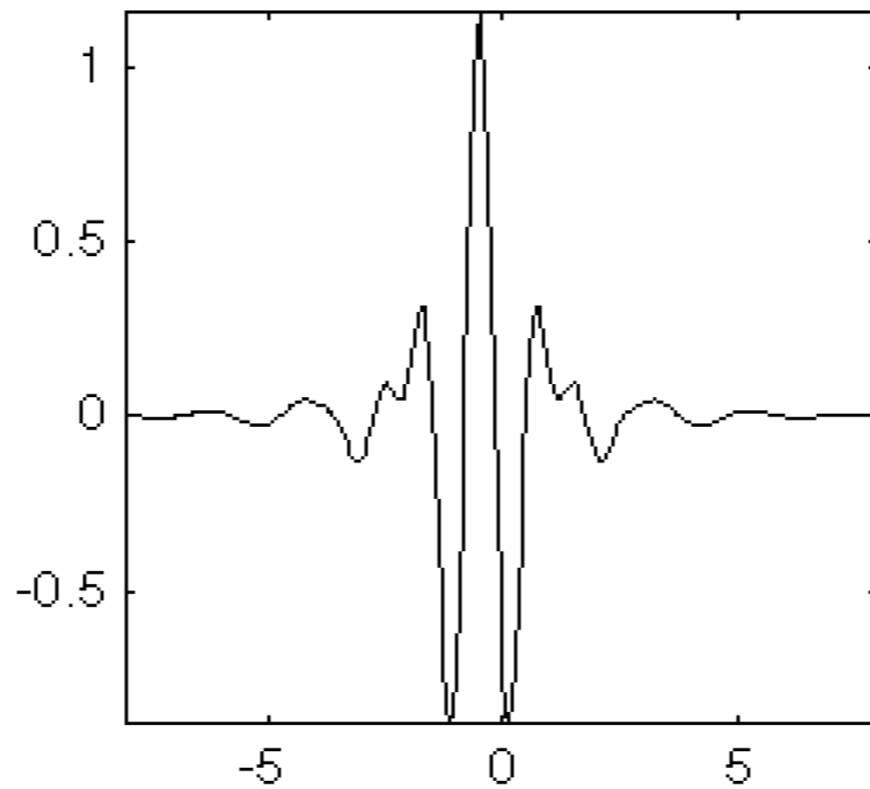
$$\Psi(t) = \frac{2}{\sqrt{3\sigma\pi^{\frac{1}{4}}}} \left(1 - \frac{t^2}{\sigma^2}\right) e^{-\frac{t^2}{2\sigma^2}}$$

$$\Psi(t) = \begin{cases} +1 & \text{for } 0 \leq t < \frac{1}{2} \\ -1 & \text{for } \frac{1}{2} \leq t < 1 \\ 0 & \text{otherwise} \end{cases}$$

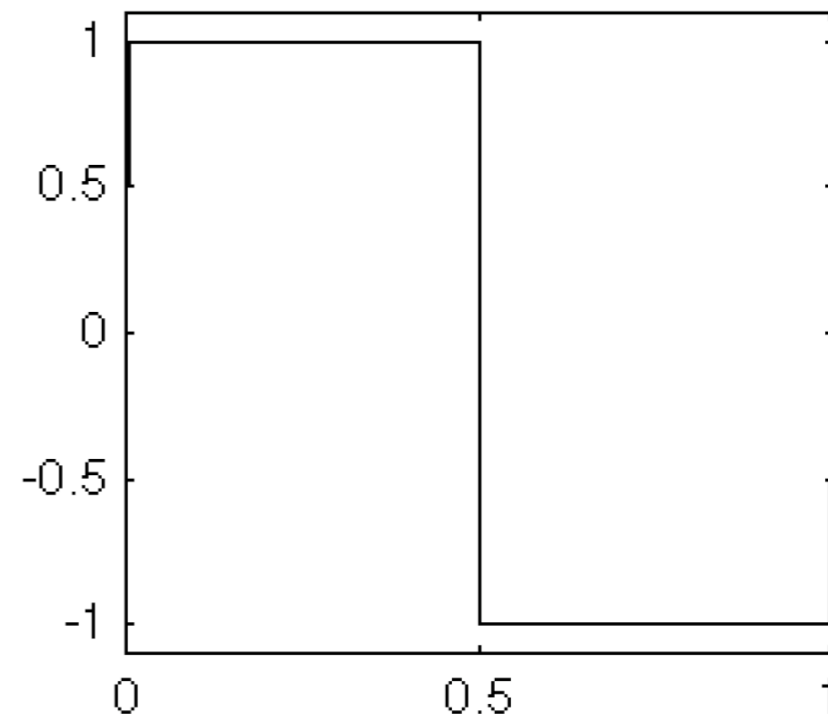
Wavelet function psi



شکل ۳۴: تابع موجک Mexican Hat



شکل ۳۵: تابع موجک Meyer

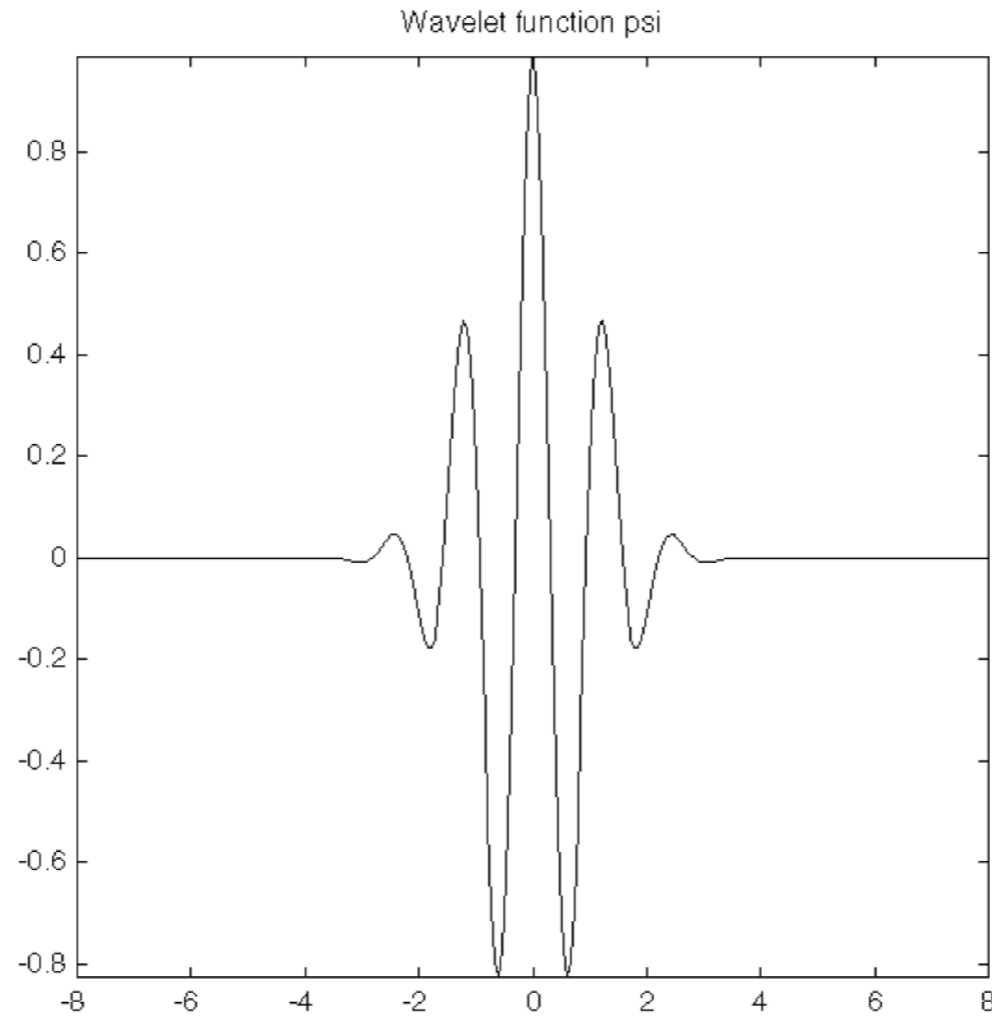


شکل ۳۶: تابع موجک Haar

$$\Psi(\lambda, t) = c_\lambda \pi^{-\frac{1}{4}} e^{-\frac{t^2}{2}} \left(e^{i\lambda t} - \kappa_\lambda \right)$$

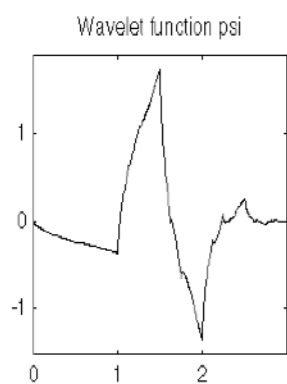
$$c_\lambda \equiv \left(1 + e^{-\lambda^2} - 2e^{-\frac{3}{4}\lambda^2} \right)^{-\frac{1}{2}}$$

$$\kappa_\lambda \equiv e^{-\frac{\lambda^2}{2}}$$

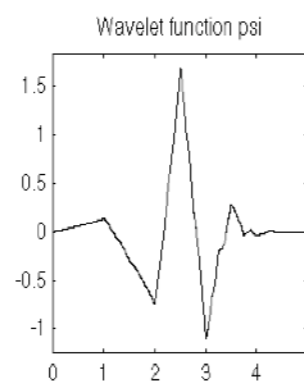


شکل ۳۲: تابع موجک Morlet

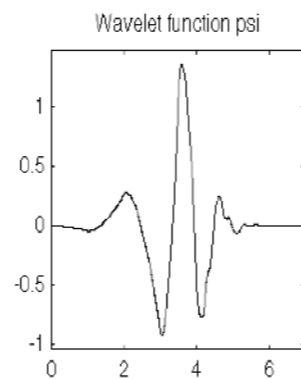
الف: تابع موجک Daubechie که در شکل زیر این خانواده معرفی شده است:



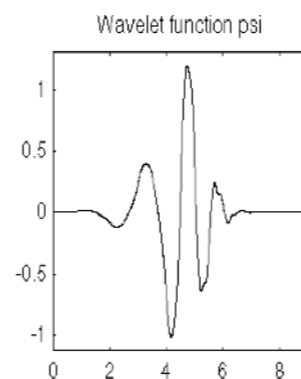
db2



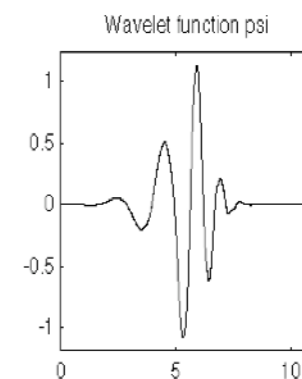
db3



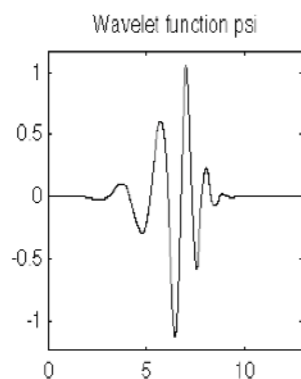
db4



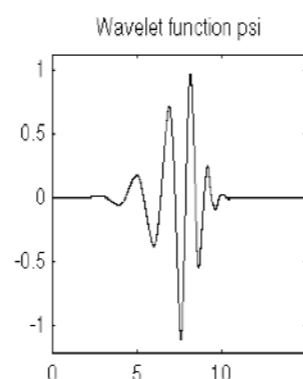
db5



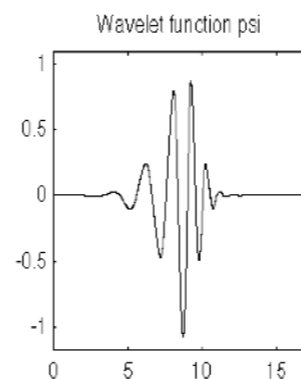
db6



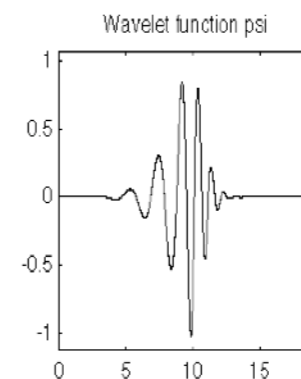
db7



db8



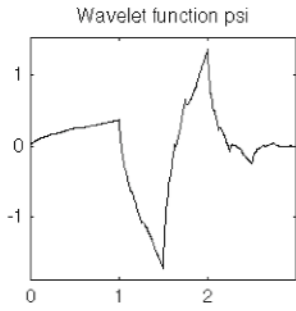
db9



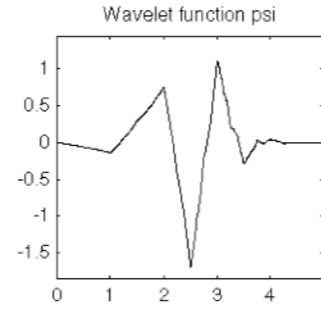
db10

شکل ۲۹: خانواده موجک Daubechie

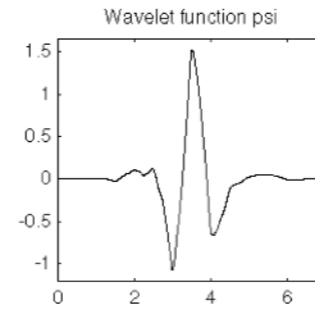
ج: تابع موجک Symlet



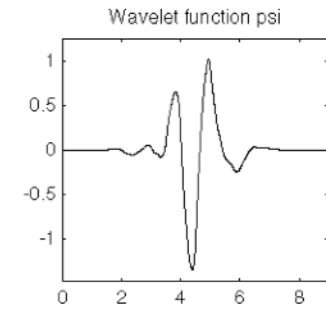
sym2



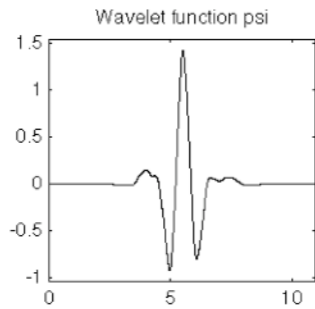
sym3



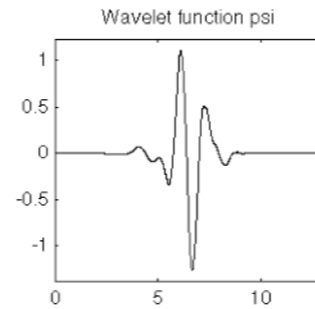
sym4



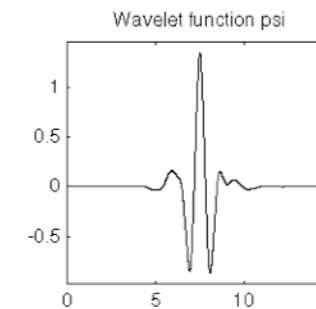
sym5



sym6



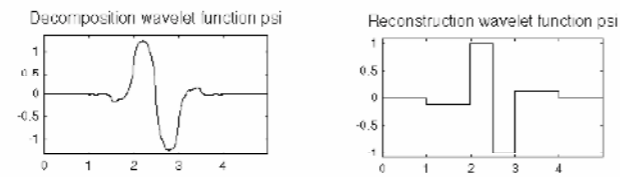
sym7



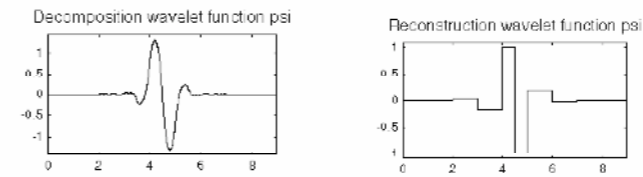
sym8

شکل ۳۱: خانواده موجک Symlets

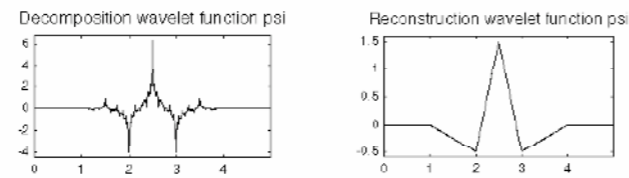
د: تابع موجک Biorthogonal نیز به صورت زیر است:



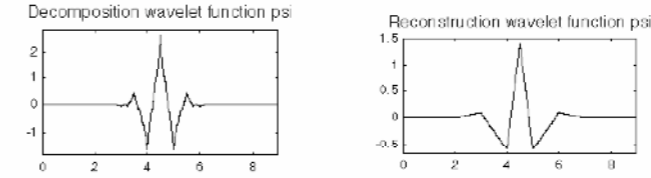
bior1.3



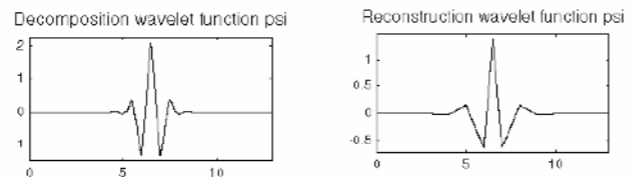
bior1.5



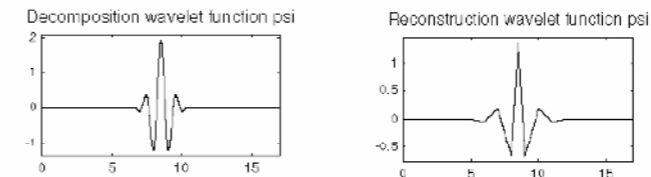
bior2.2



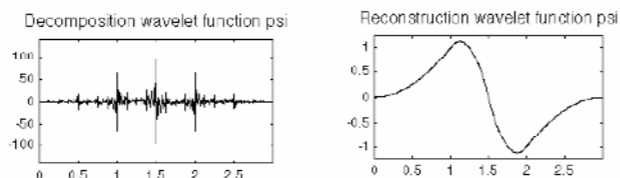
bior2.4



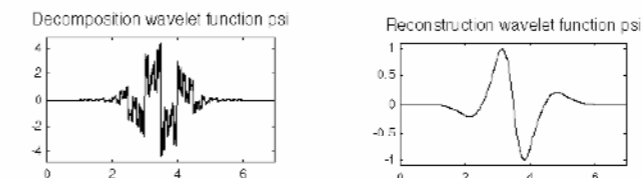
bior2.6



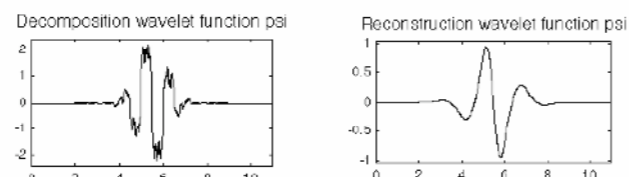
bior2.8



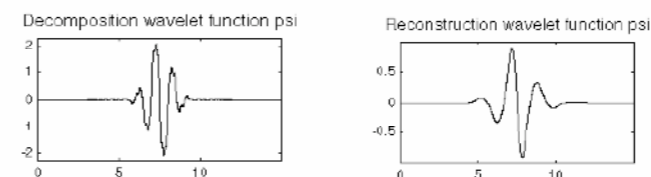
bior3.1



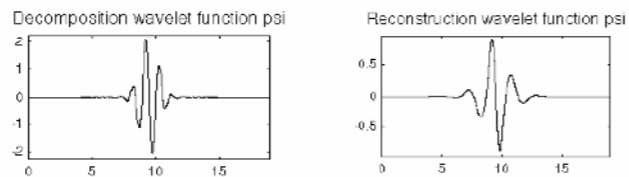
bior3.3



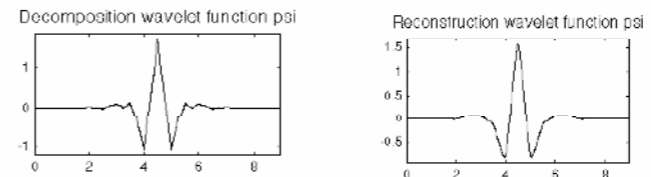
bior3.5



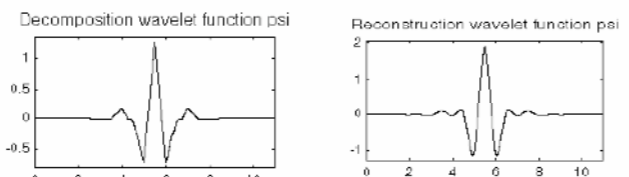
bior3.7



bior3.9



bior4.4



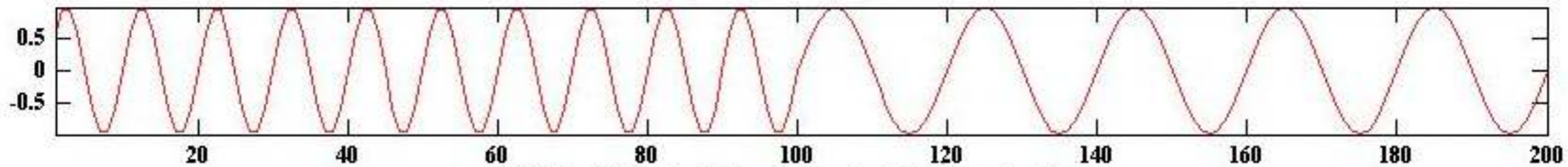
bior5.5



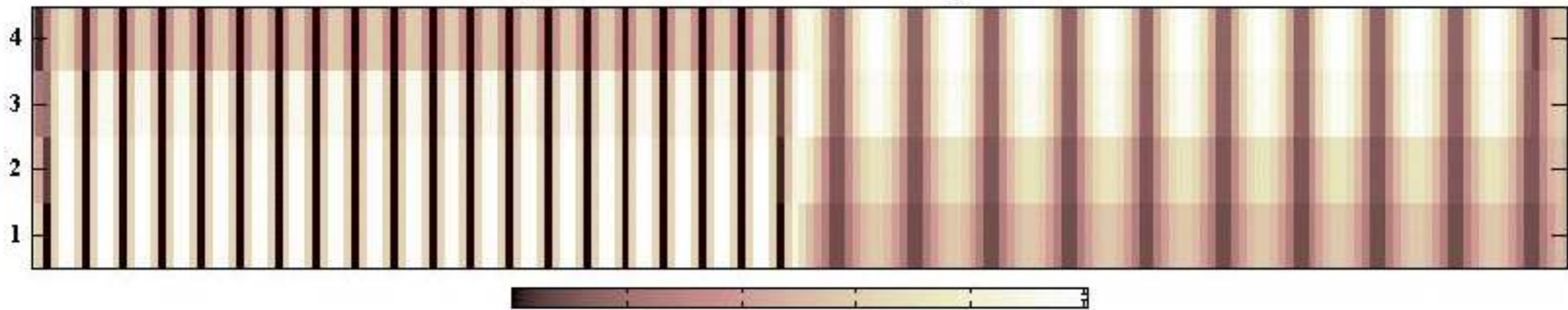
bior6.8

شکل ۳۳: خانواده موجک Biorthogonal

Analyzed Signal (length = 200)

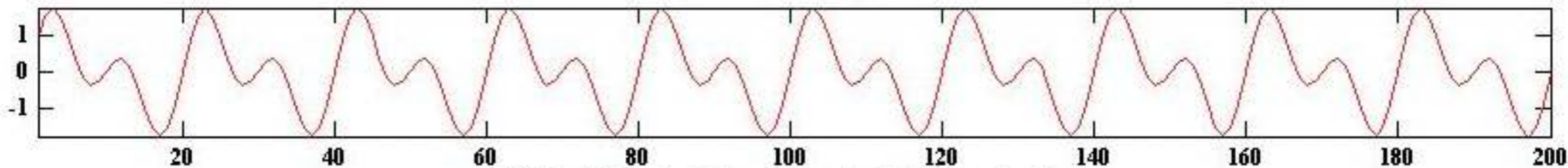


Ca,b Coefficients - Coloration mode: init + by scale + abs

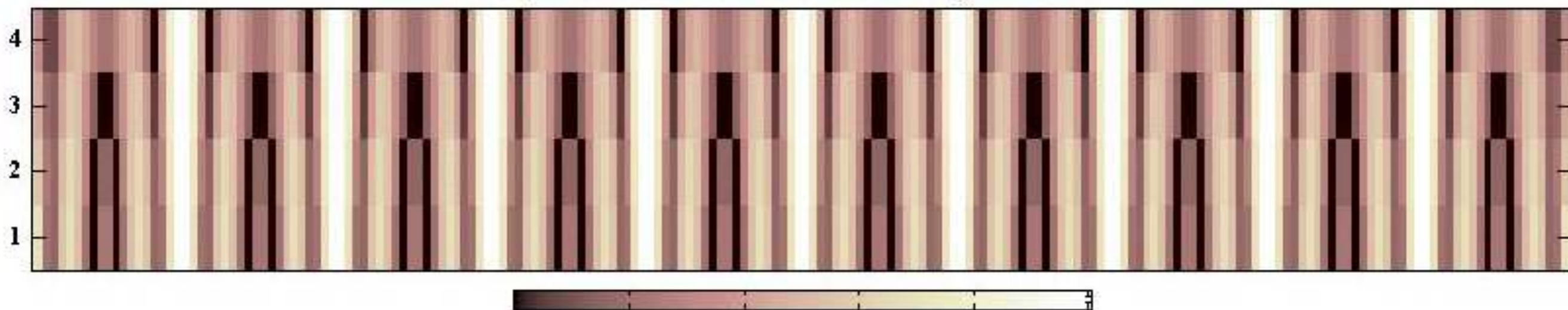


Scale of colors from MIN to MAX

Analyzed Signal (length = 200)

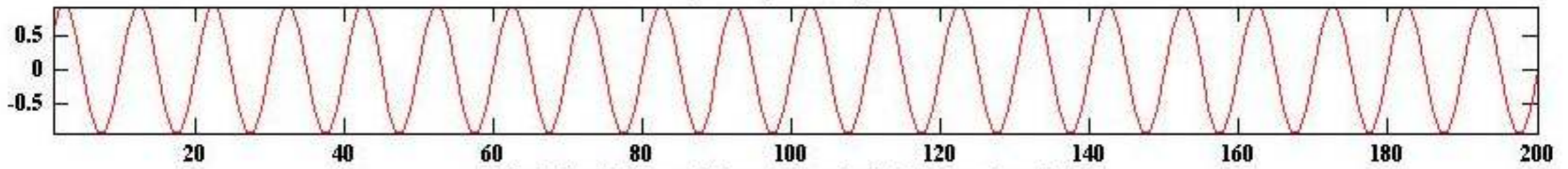


Ca,b Coefficients - Coloration mode: init + by scale + abs

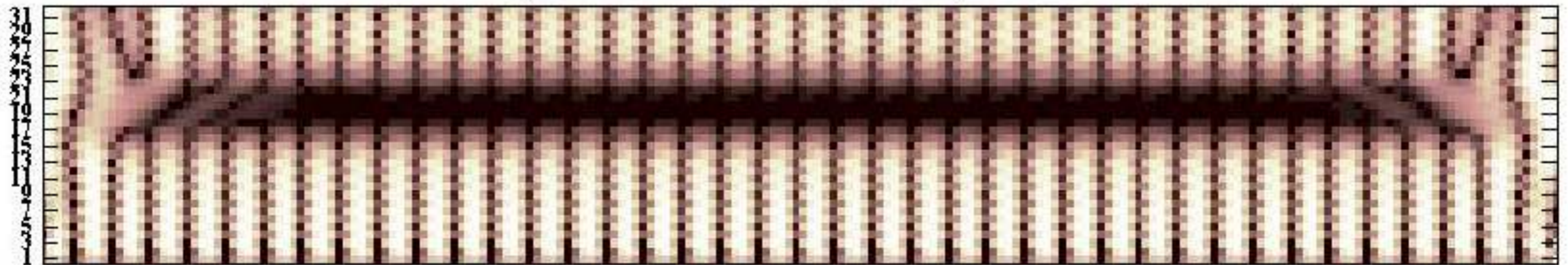


Scale of colors from MIN to MAX

Analyzed Signal (length = 200)

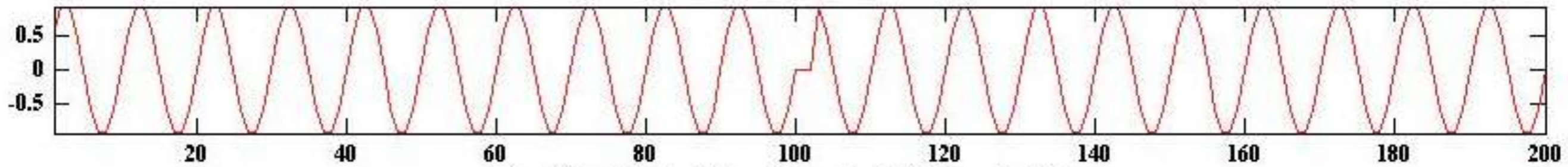


Ca,b Coefficients - Coloration mode: init + by scale + abs



Scale of colors from MIN to MAX

Analyzed Signal (length = 200)

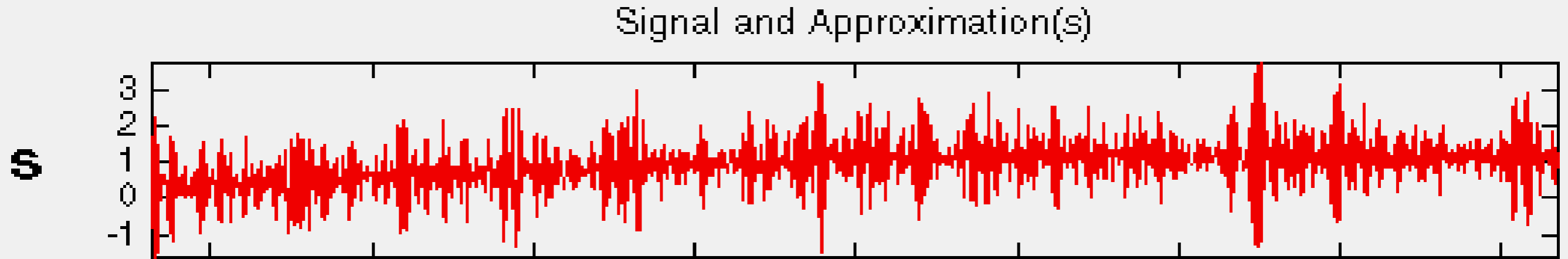


Ca,b Coefficients - Coloration mode: init + by scale + abs

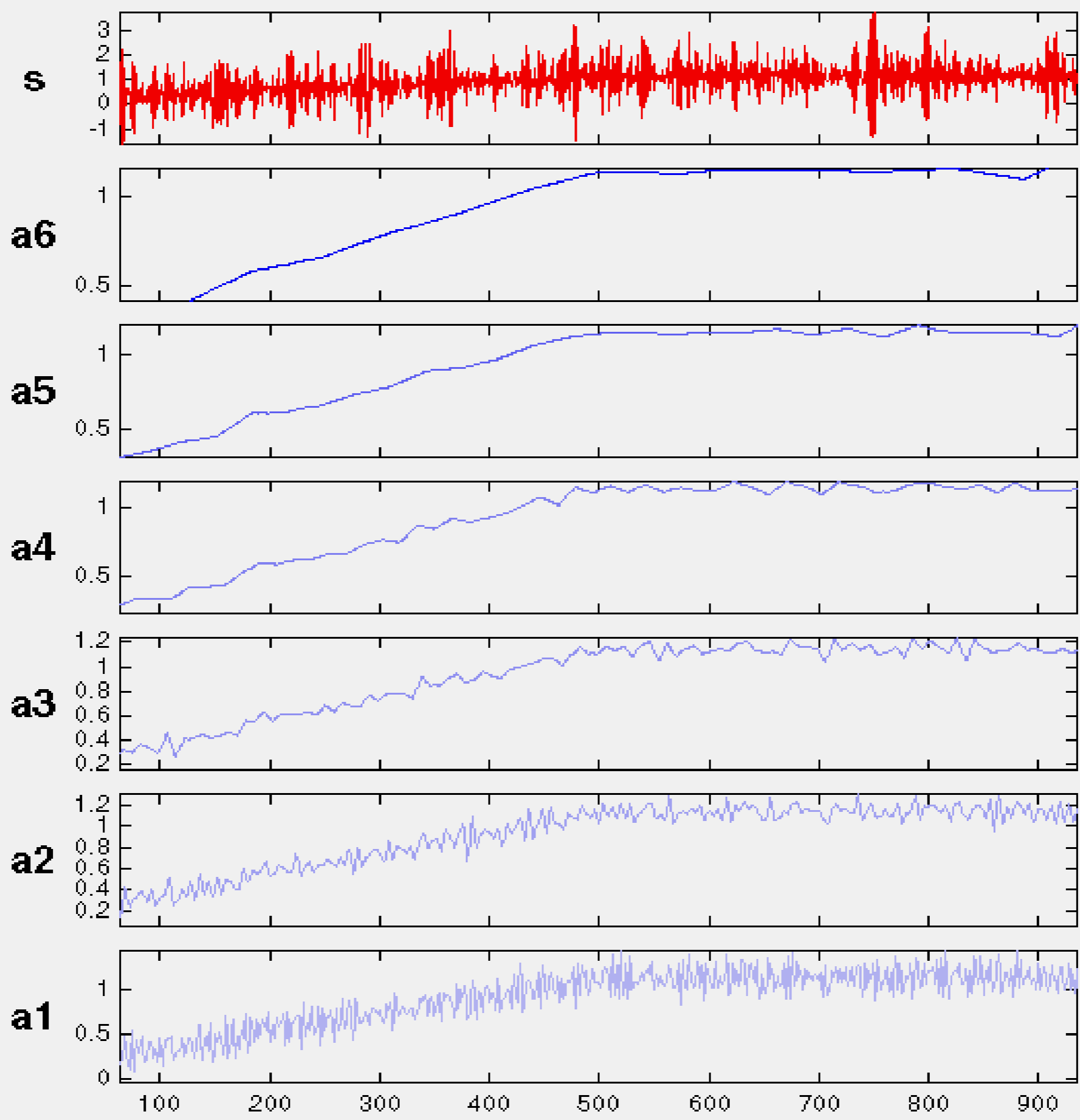


Scale of colors from MIN to MAX

Non-stationary detection

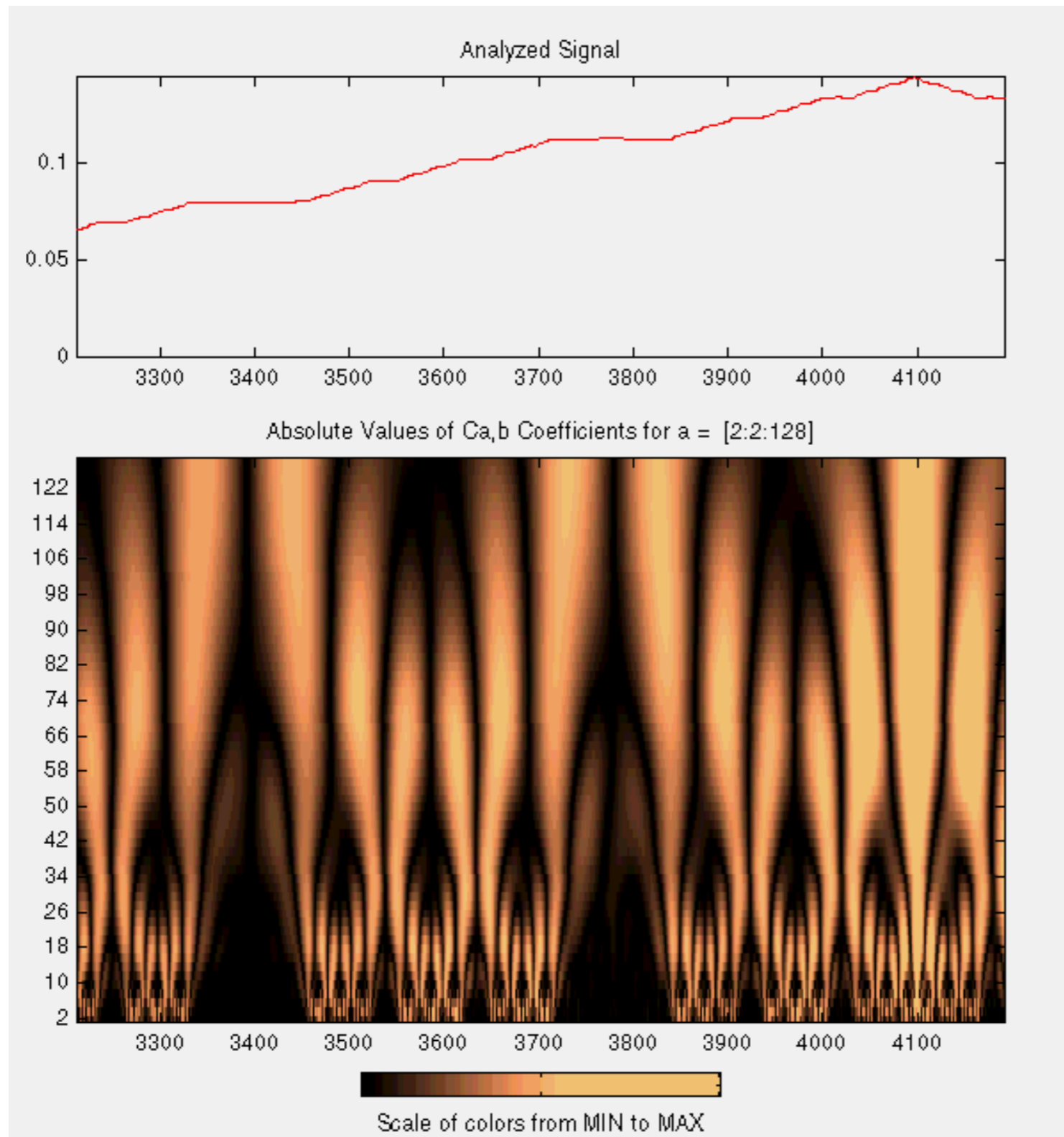
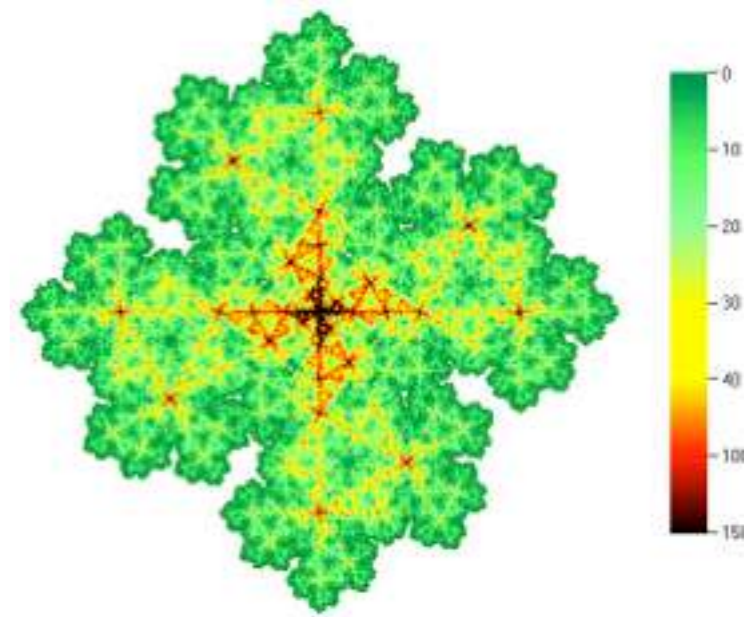


Signal and Approximation(s)



Wavelet: db3
Level: 6

Self-similarity detection



Demo Analysis:

Koch curve

MAT-file:

`vonkoch.mat`

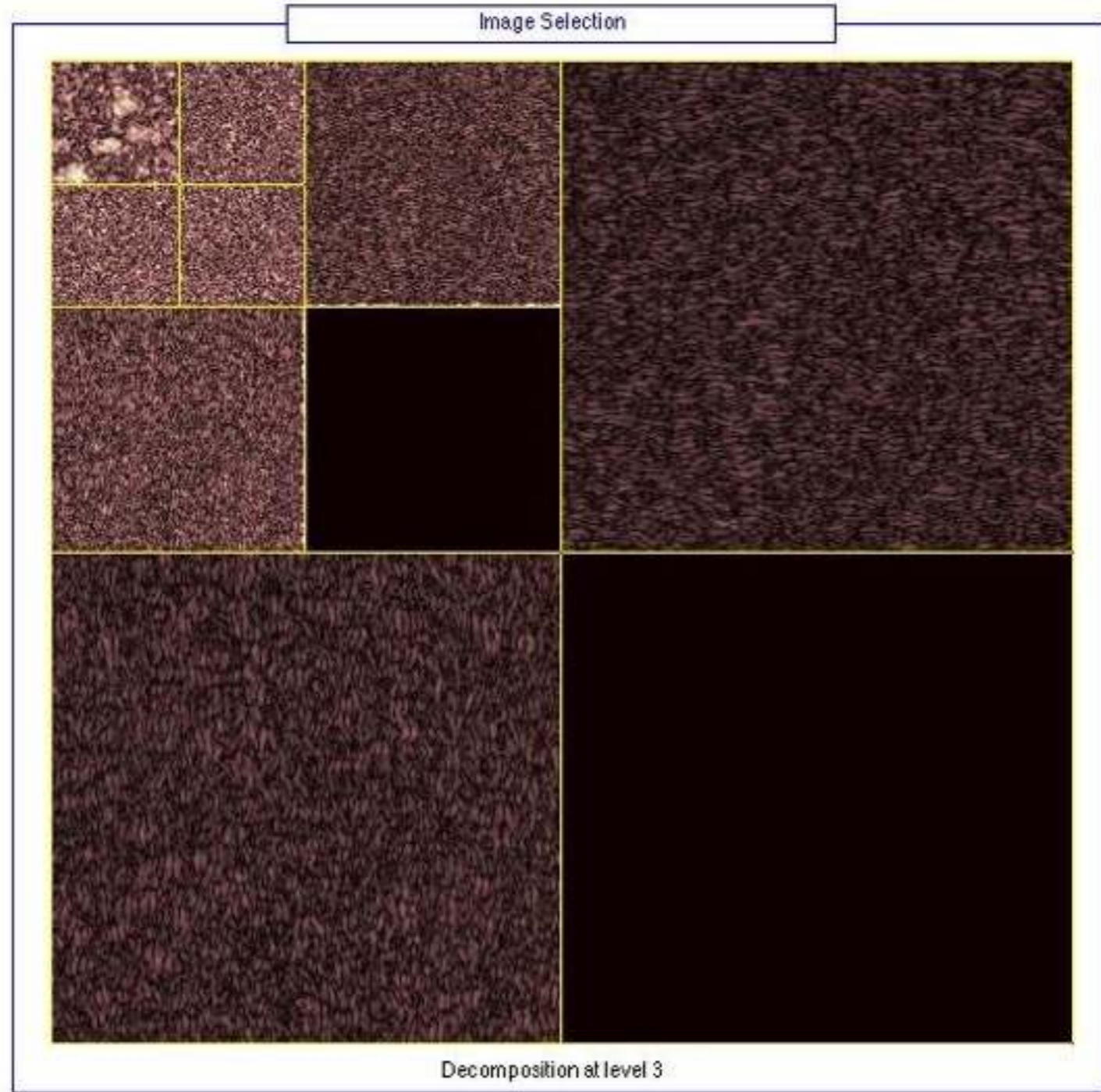
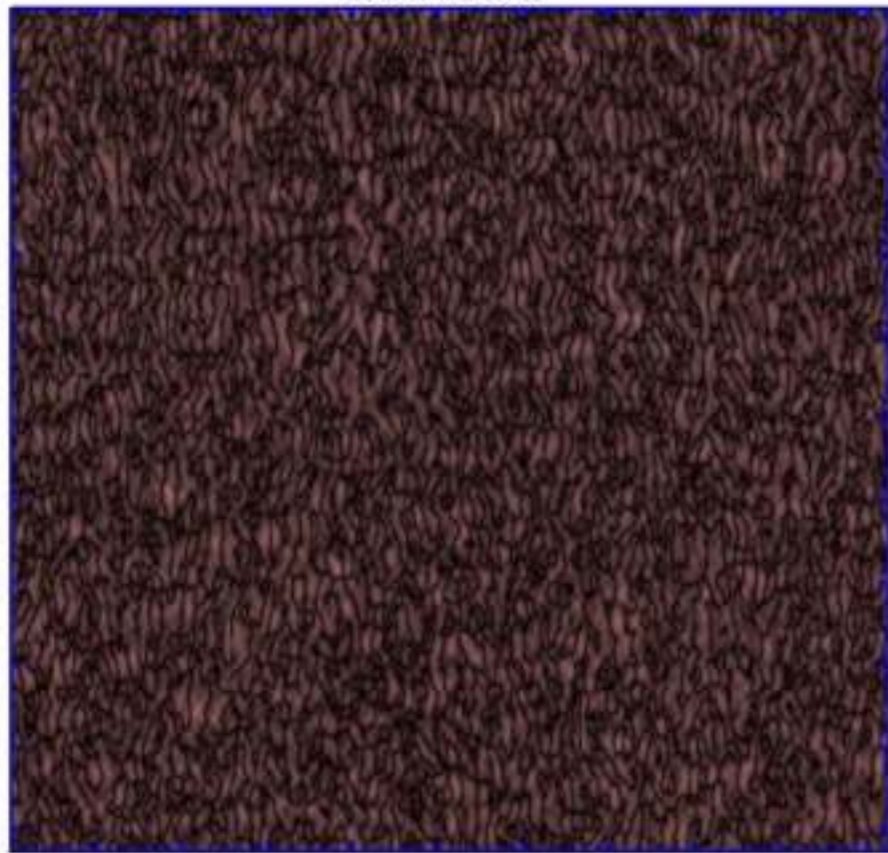
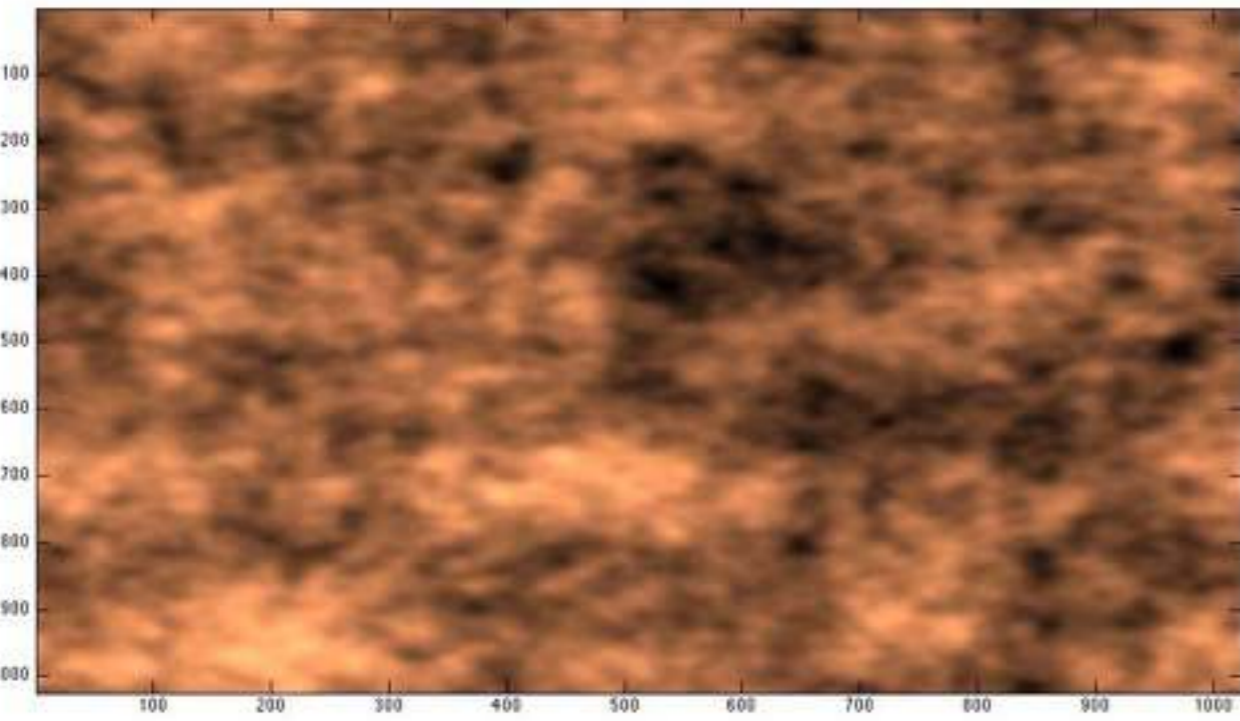
Wavelet:

`coif3`

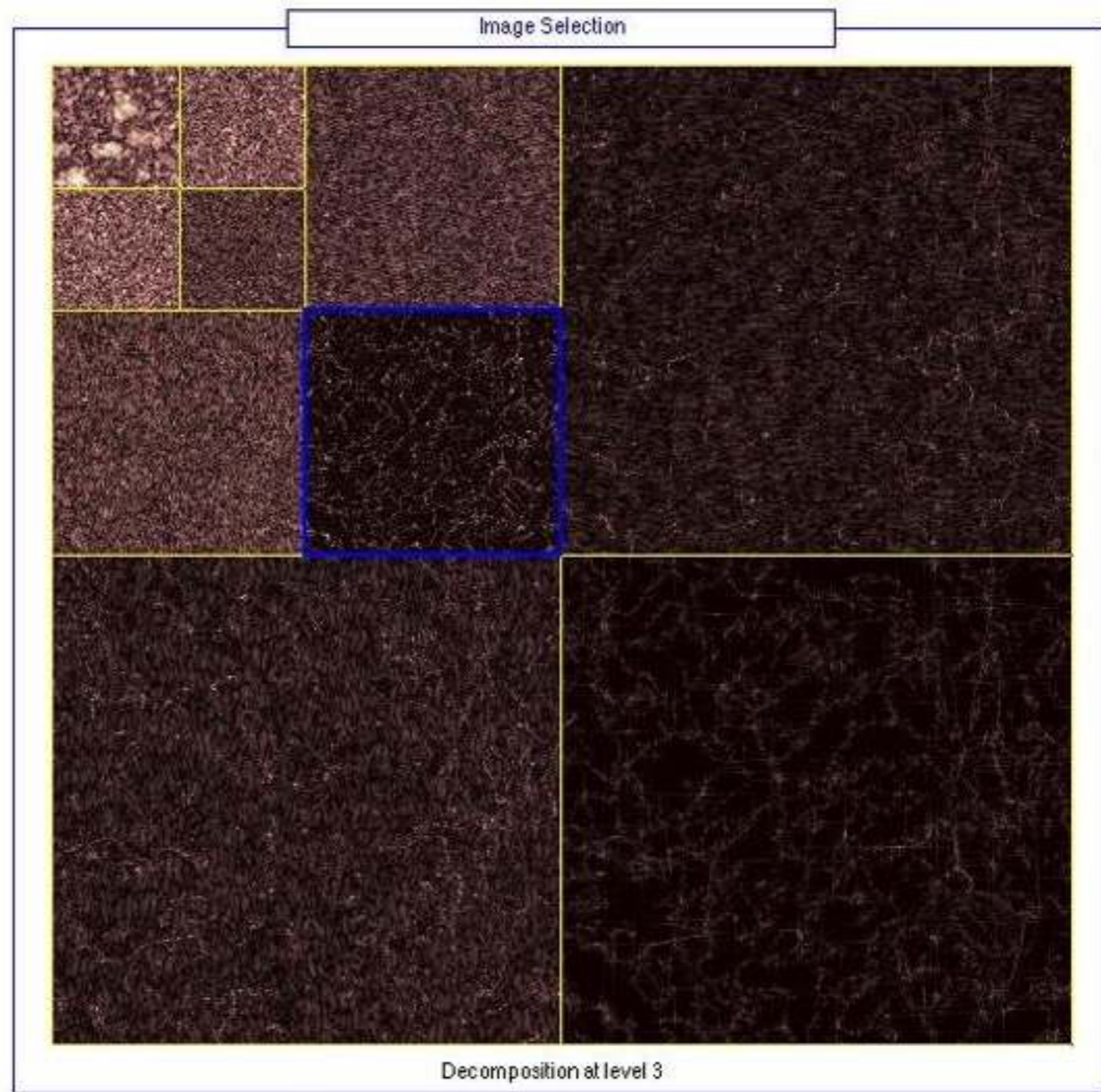
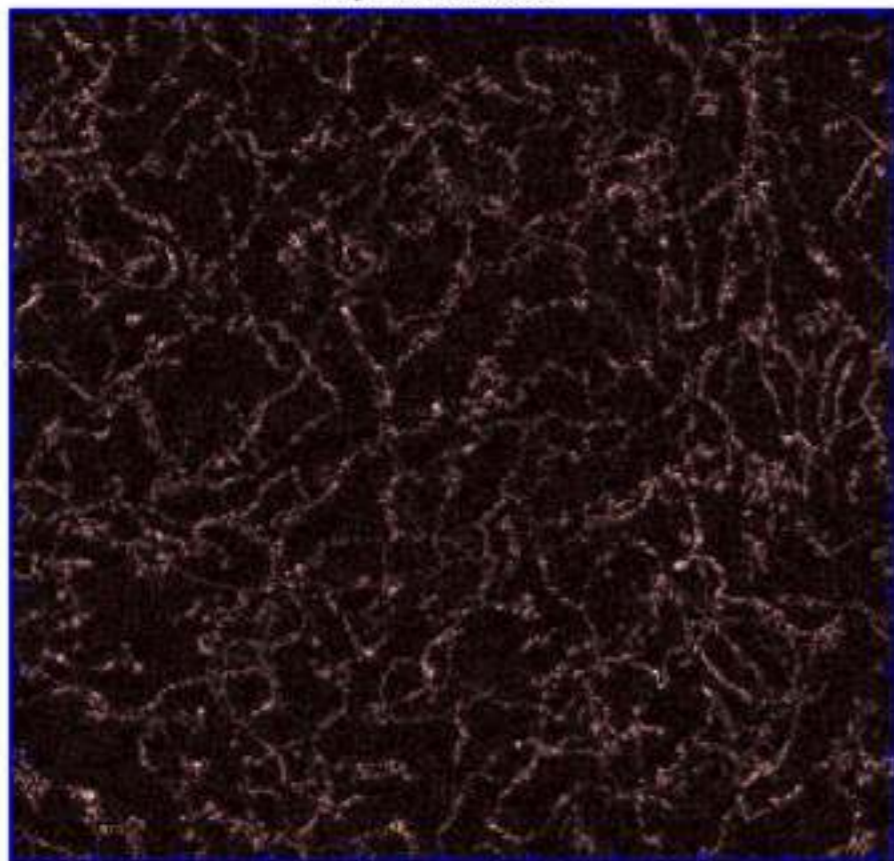
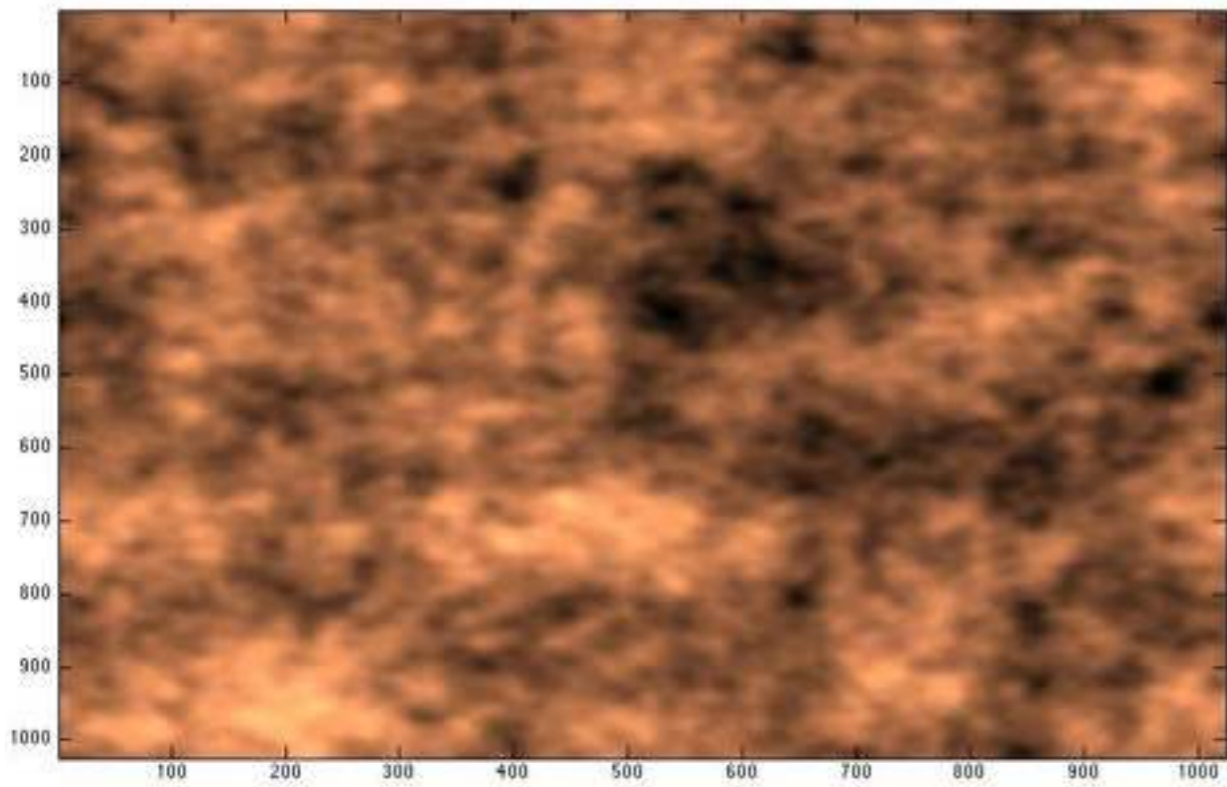
Level:

Continuous, 2:2:128

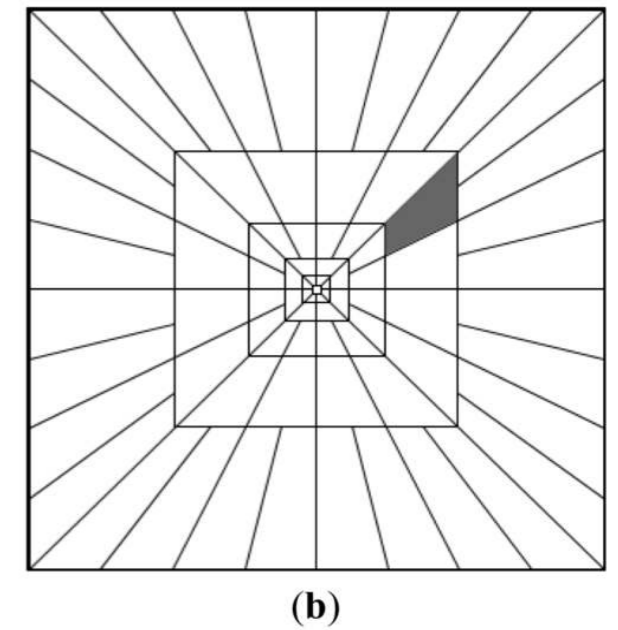
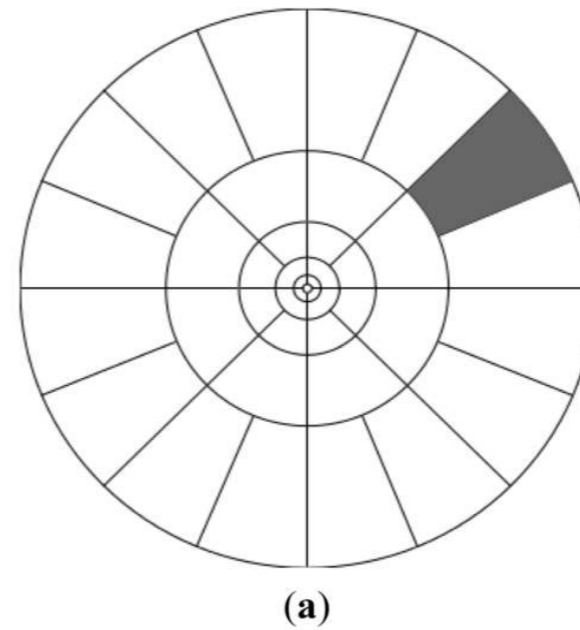
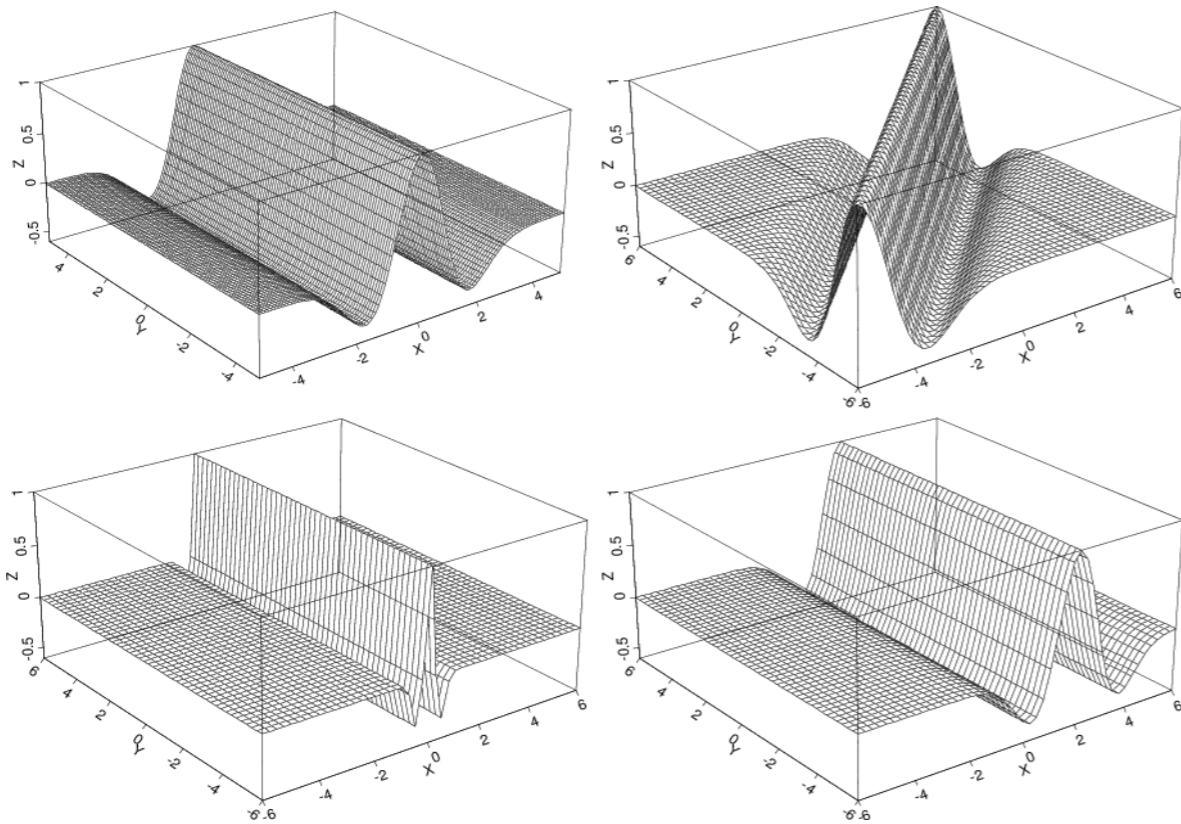
G by sym 3_2



GS by sym 3_2



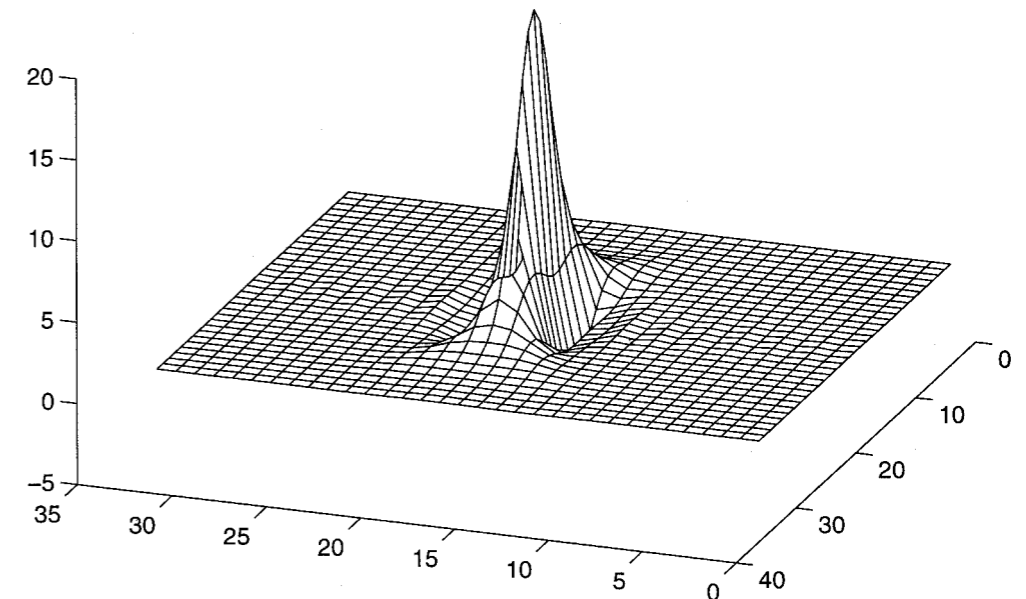
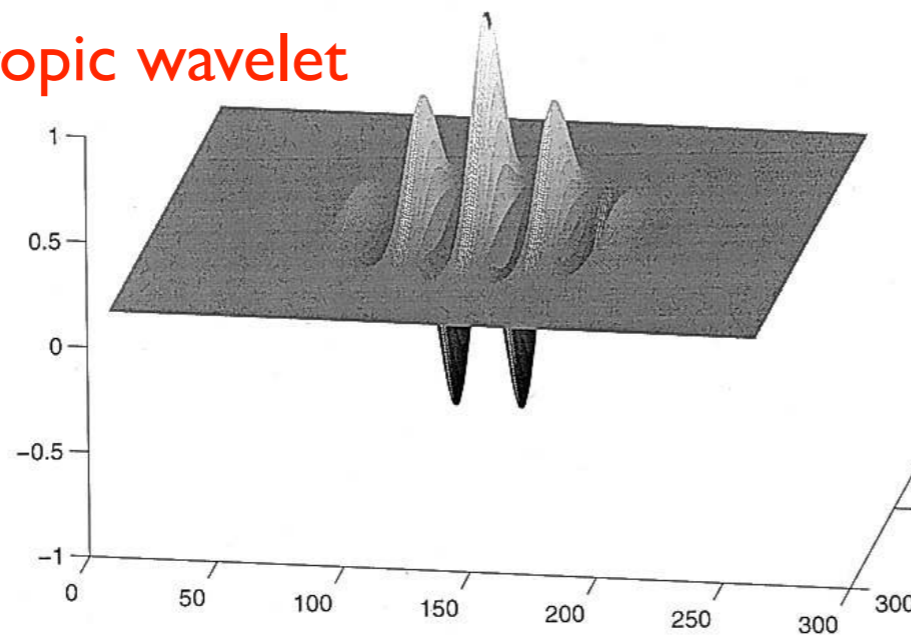
Multiscaling method: Curvelet



The 2-D wavelet transform

33

Localized and Isotropic wavelet



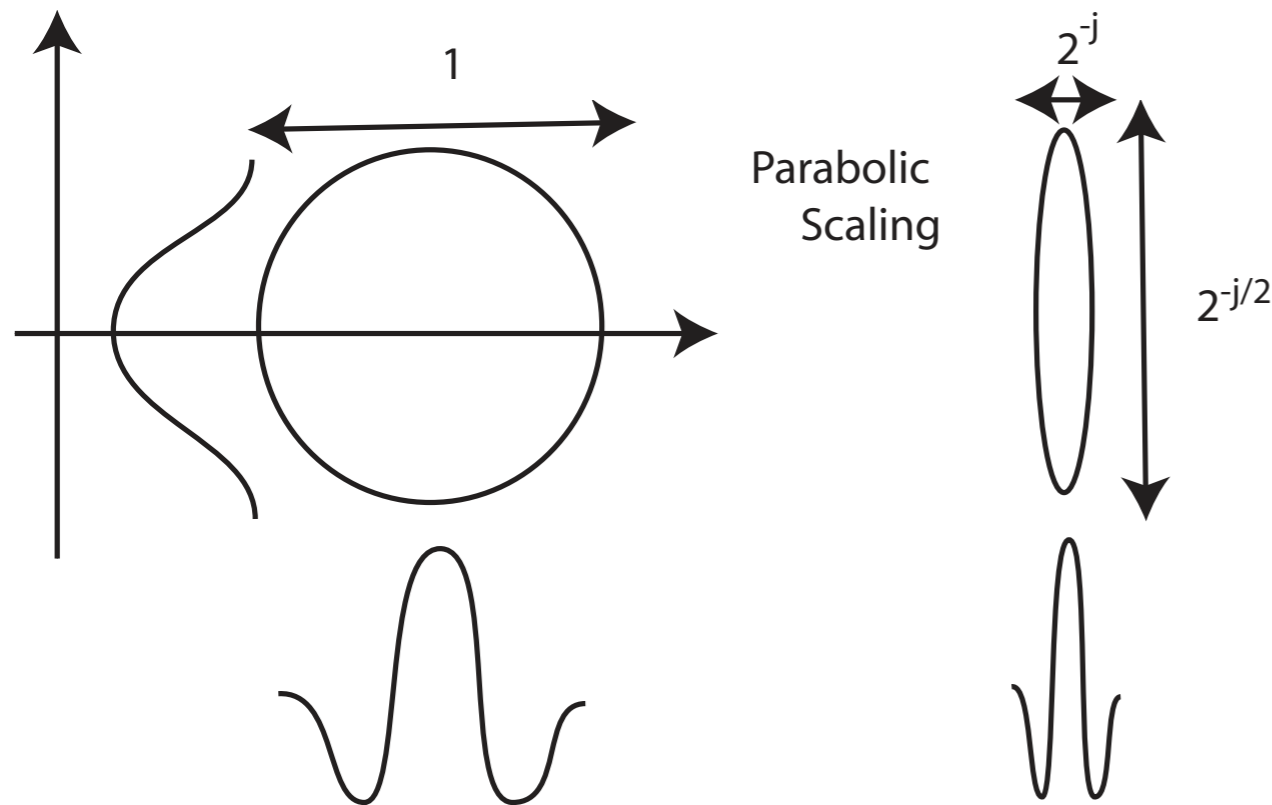
Curvelet Transformation

$$\hat{\varphi}_\mu(\xi) = w(2^{-j}|\xi|)\nu(2^{\lfloor j/2 \rfloor}\theta - \pi\ell)e^{i\langle k^{j,\ell}, \xi \rangle}$$

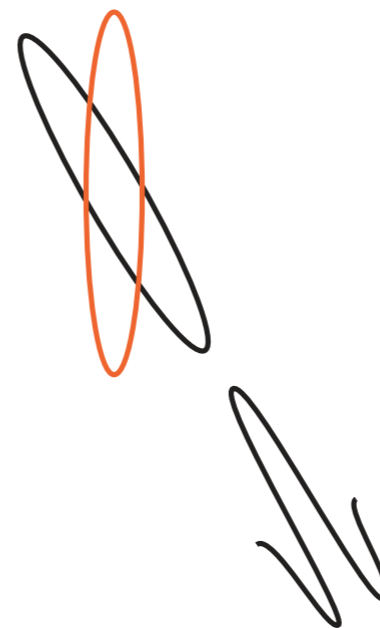
$w(\cdot)$ = window for scale j

$\nu(\cdot)$ = window for orientation θ

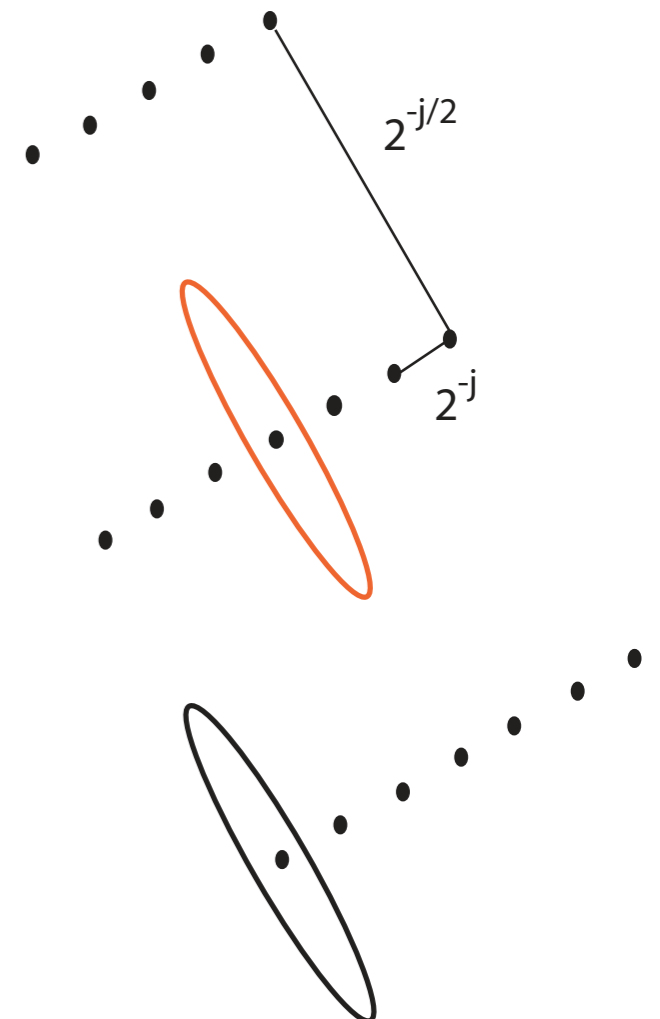
$e^{i\langle k^{j,\ell}, \xi \rangle}$ shifts to location (k, ℓ)



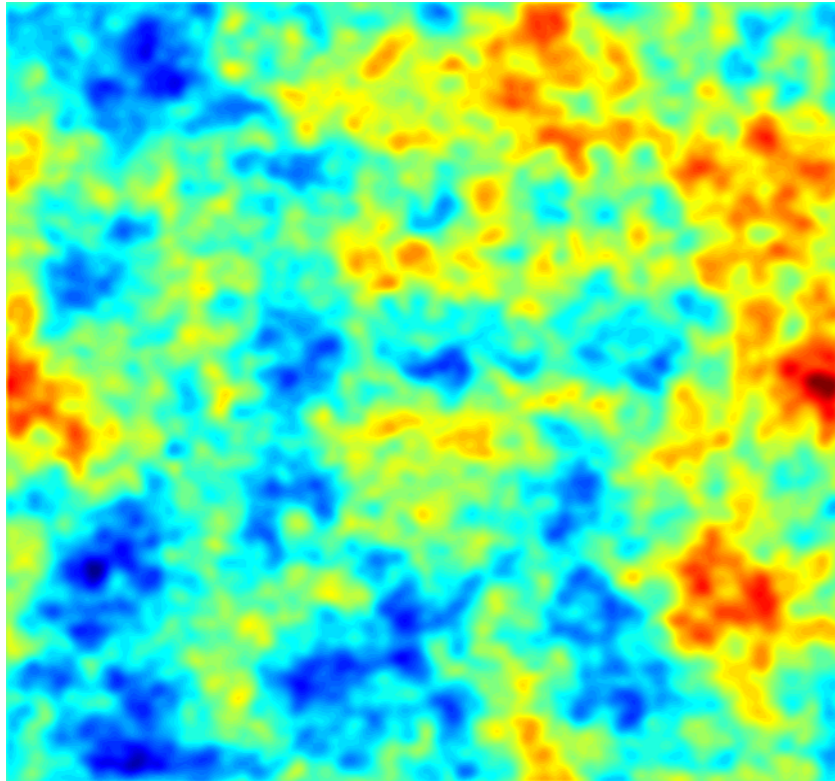
Rotate



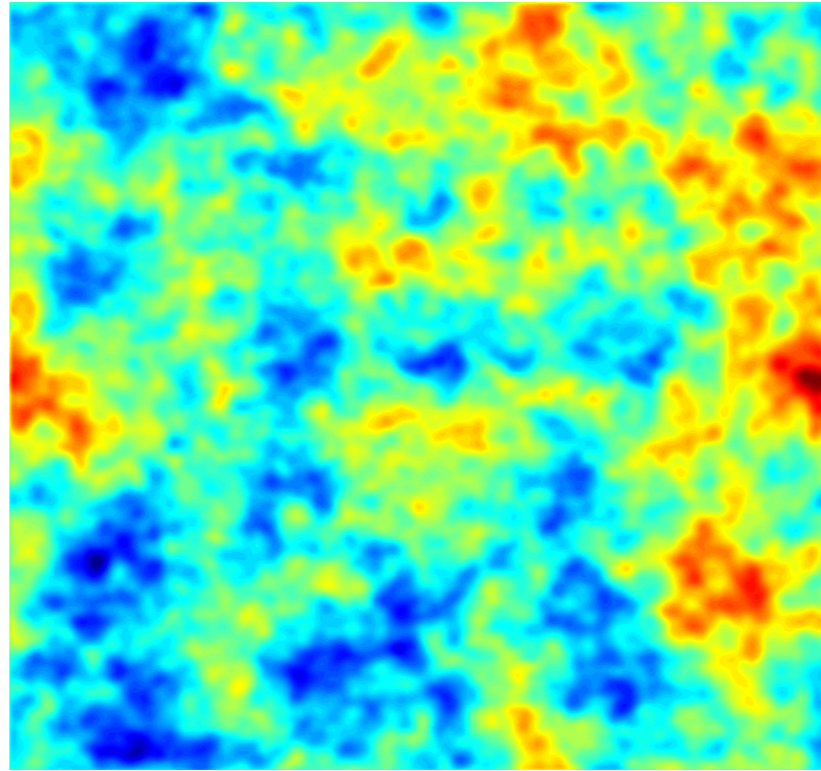
Translate



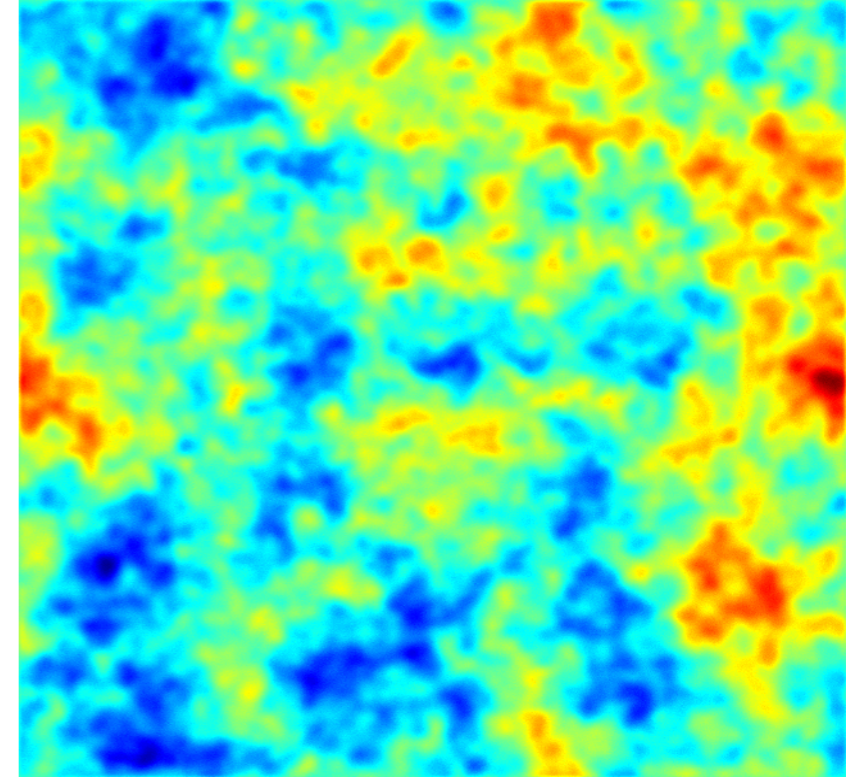
Our search proposal



Pure CMB+Beam



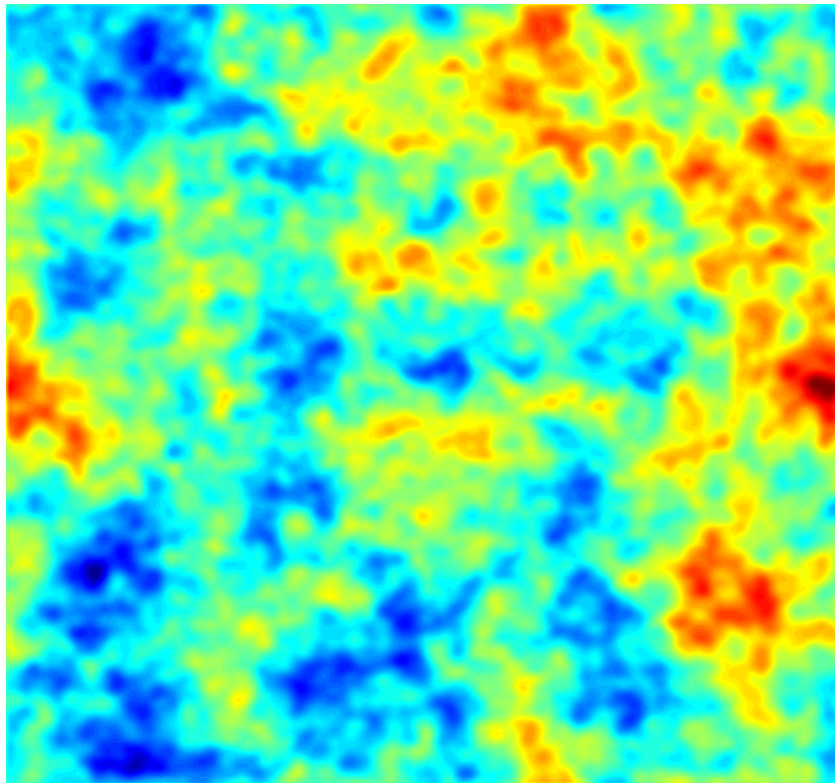
Pure CMB+CS+Beam



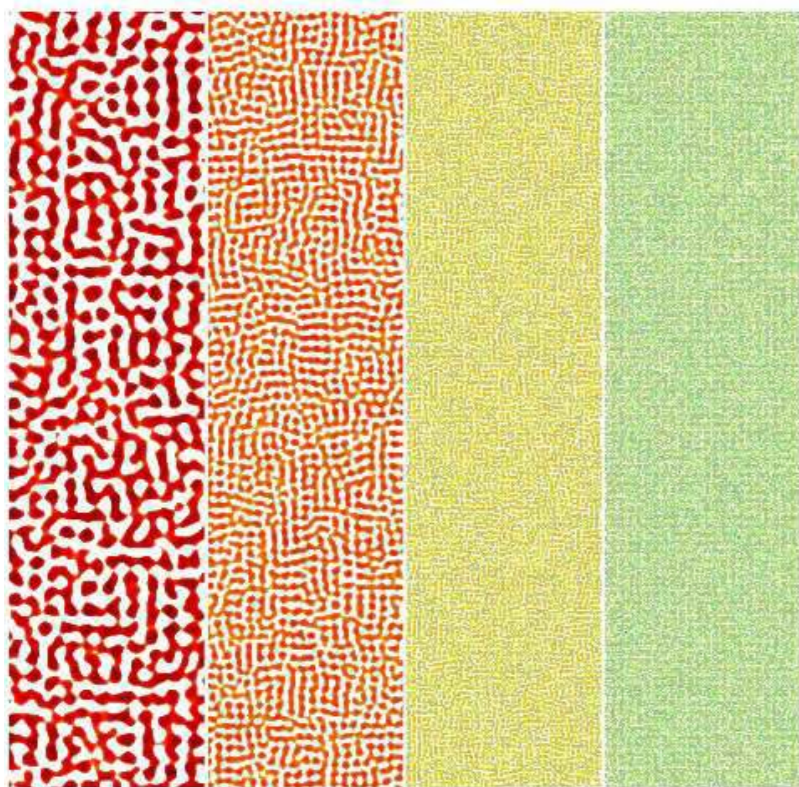
Pure CMB+CS+Beam+Noise

Finding a needle in haystack

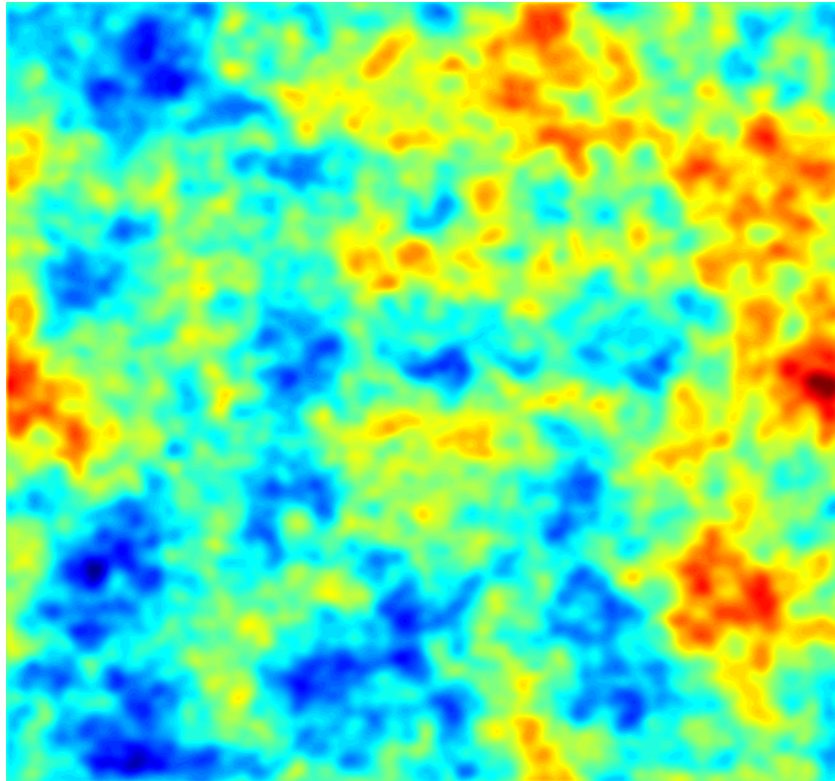
Curvelet Decomposition



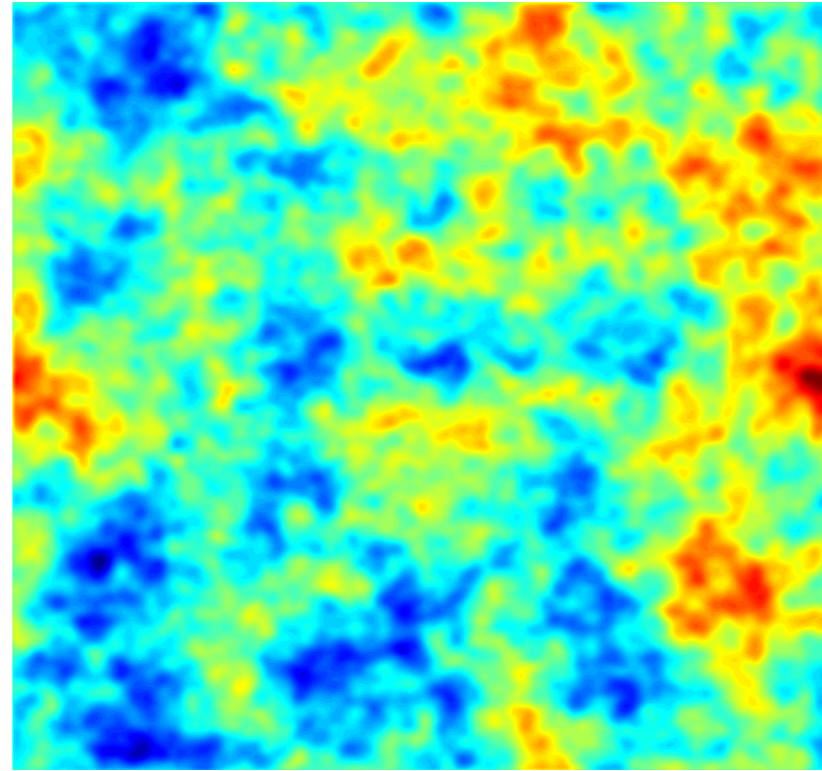
Pure CMB+Beam



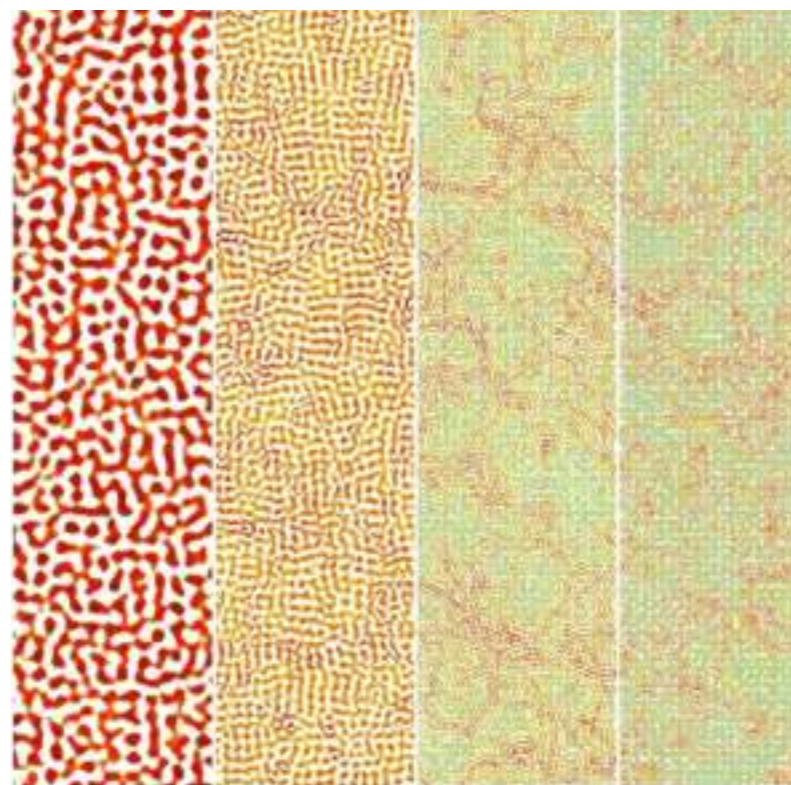
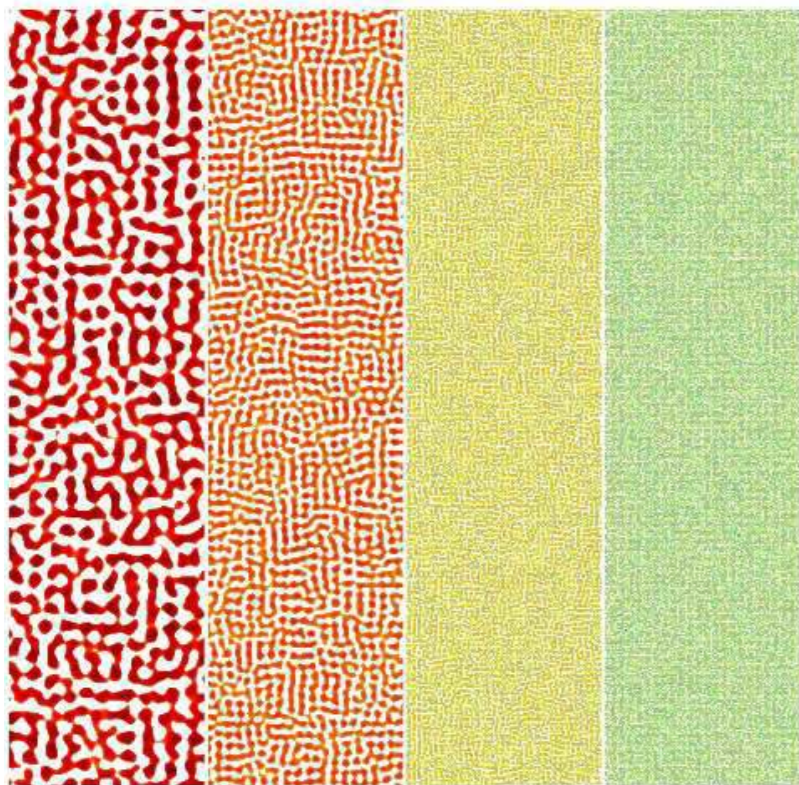
Curvelet Decomposition



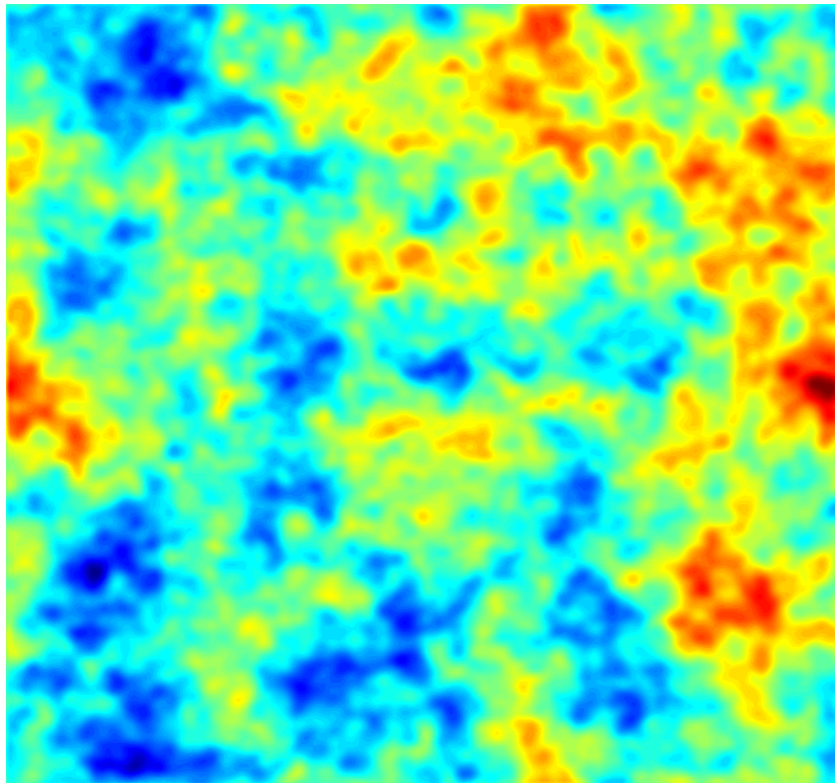
Pure CMB+Beam



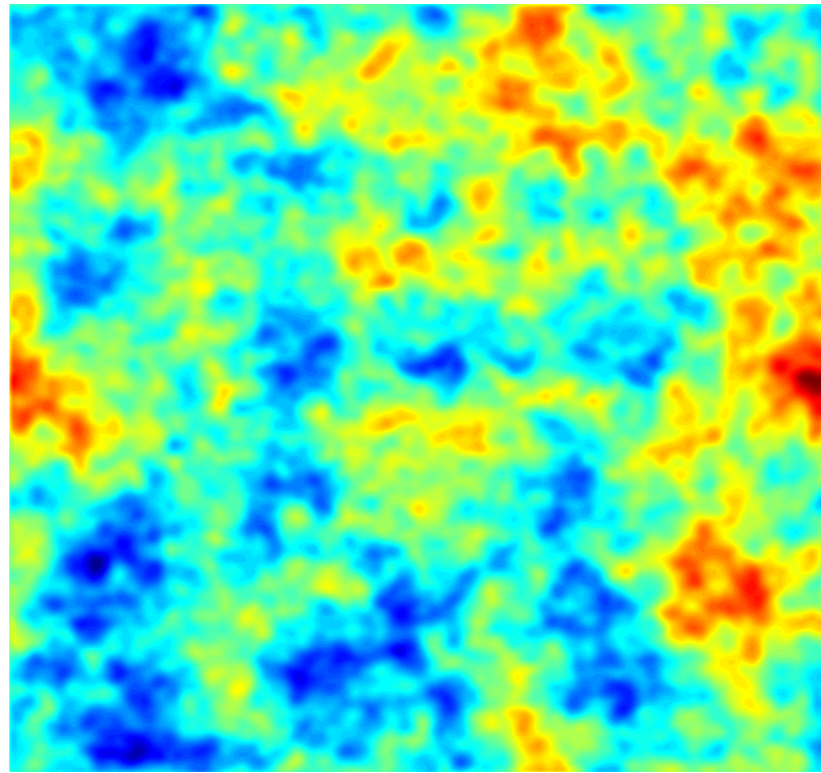
Pure CMB+CS+Beam



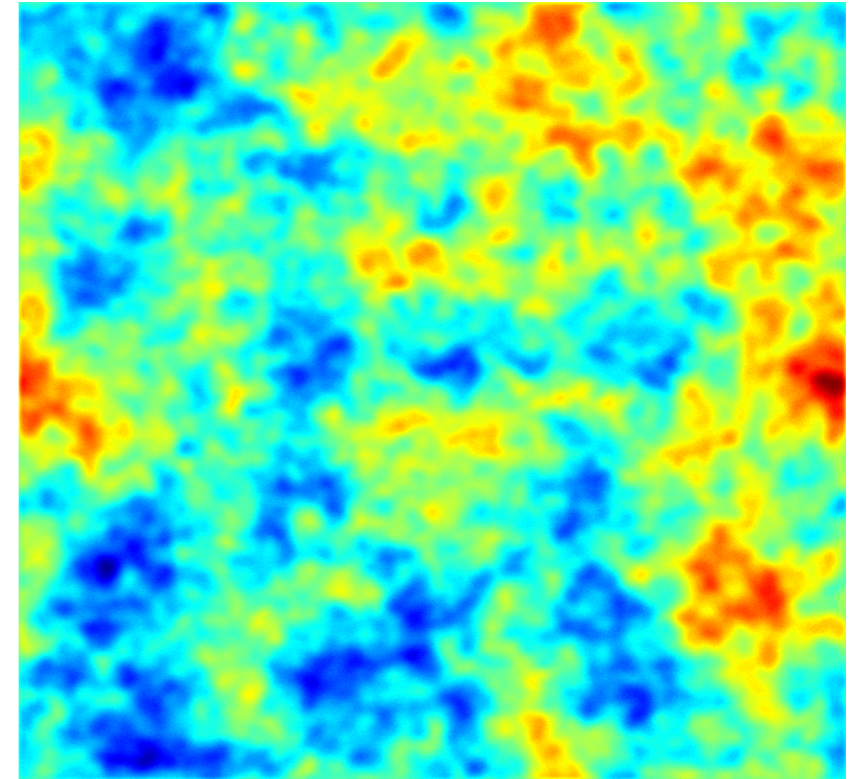
Curvelet Decomposition



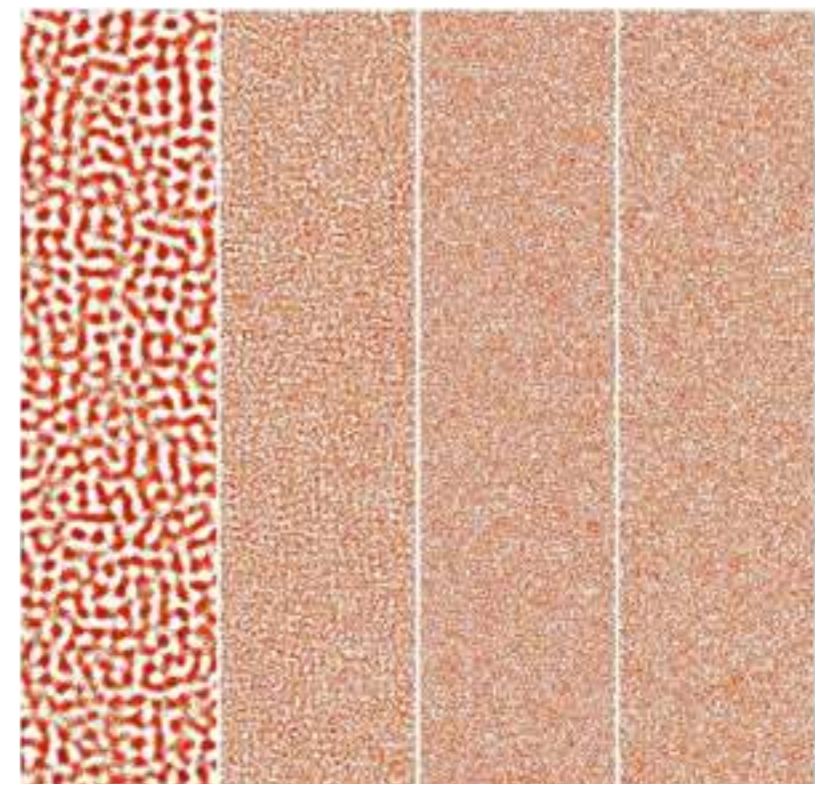
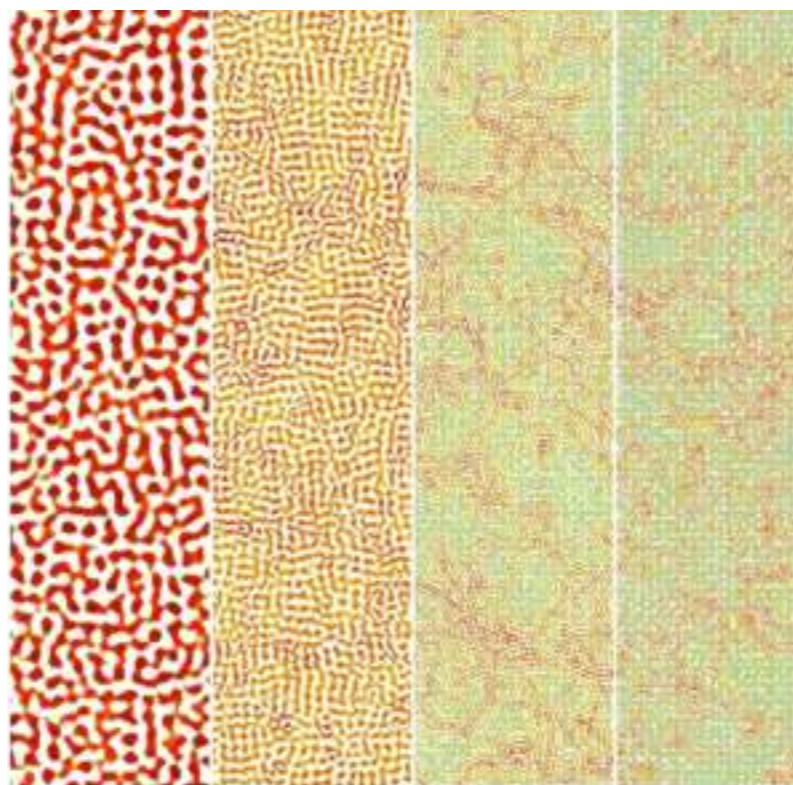
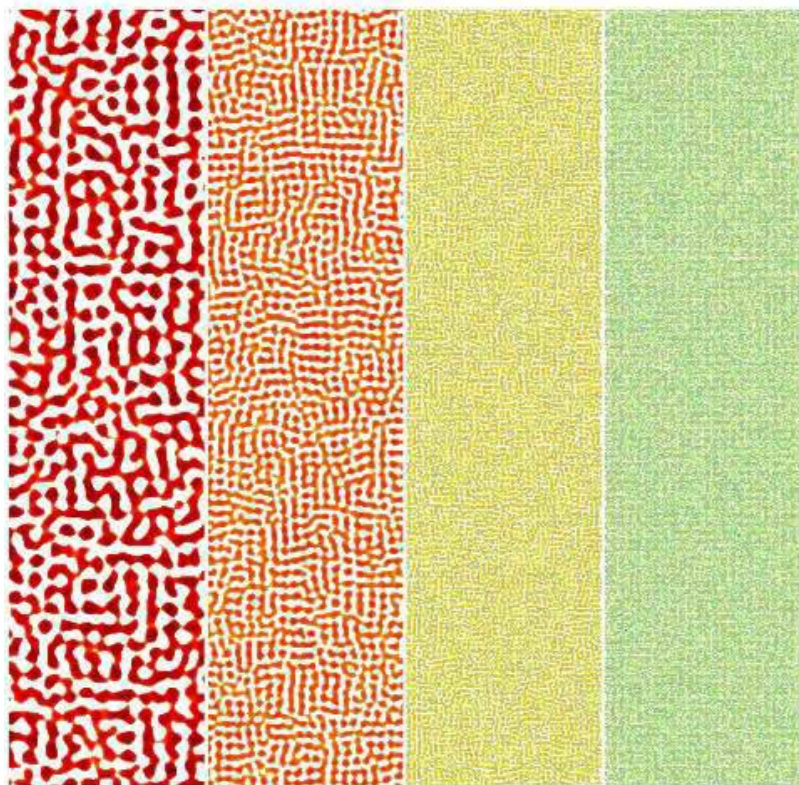
Pure CMB+Beam



Pure CMB+CS+Beam

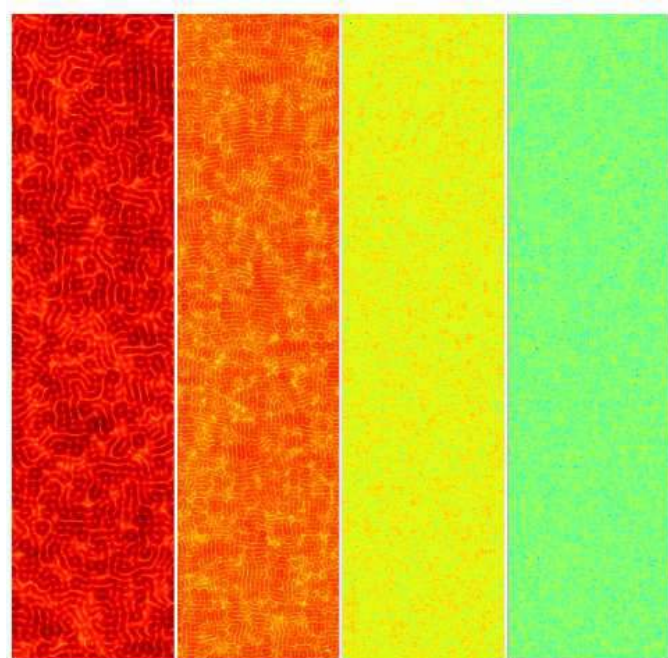
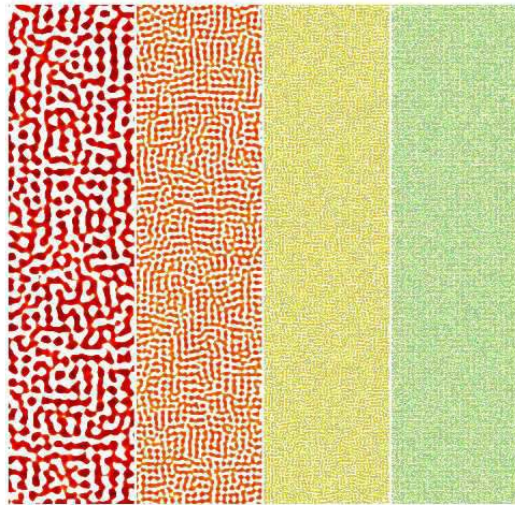
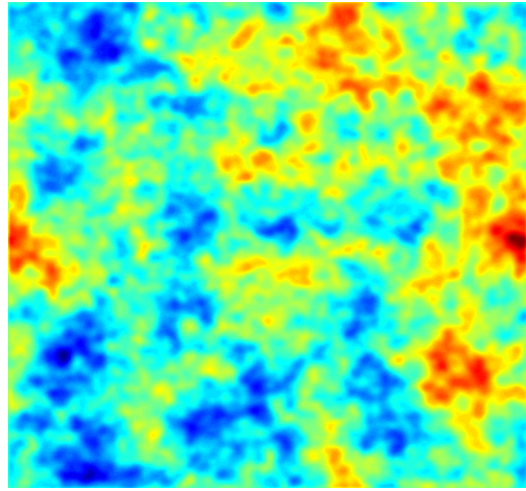


Pure CMB+CS+Beam+Noise



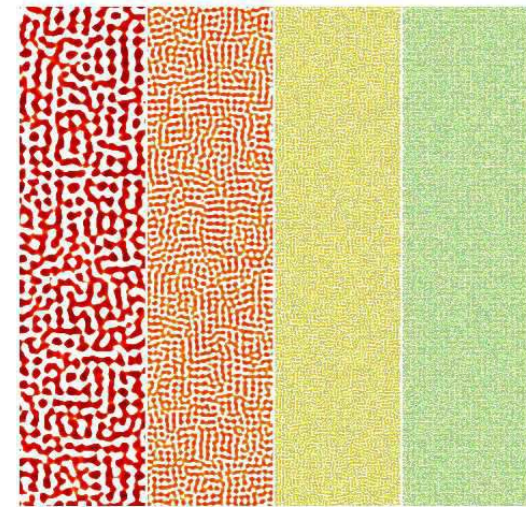
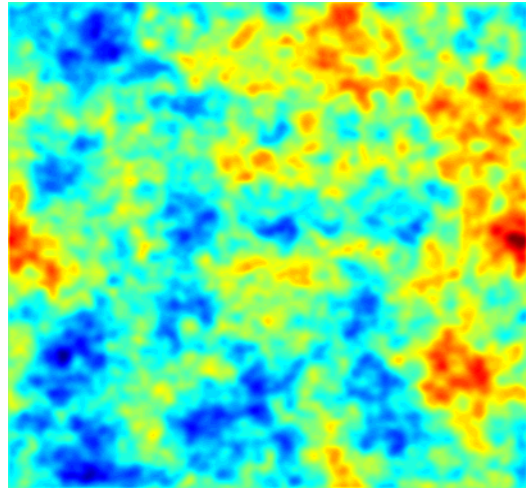
Extended Canny algorithm

Pure CMB+Beam

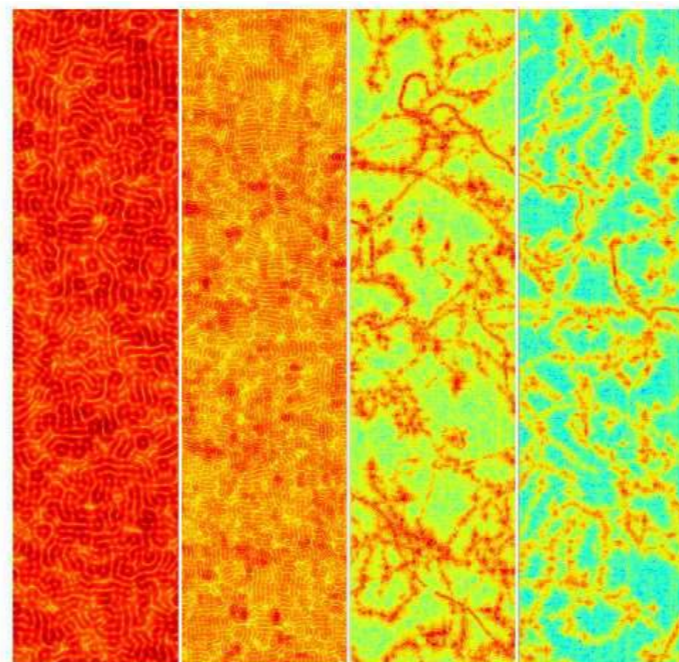
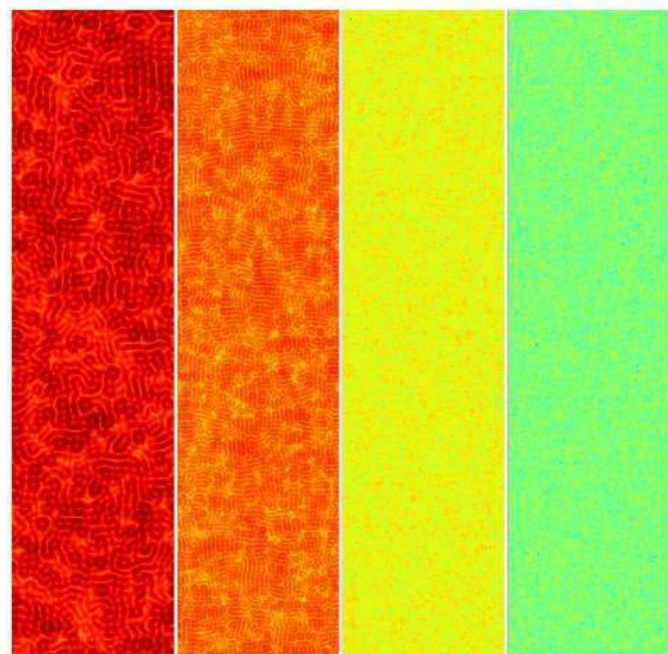
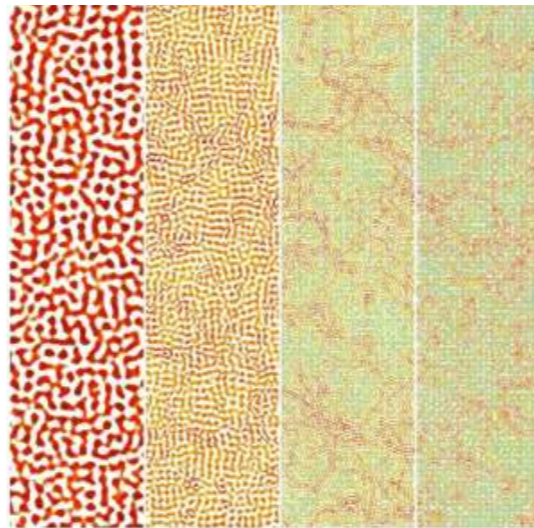
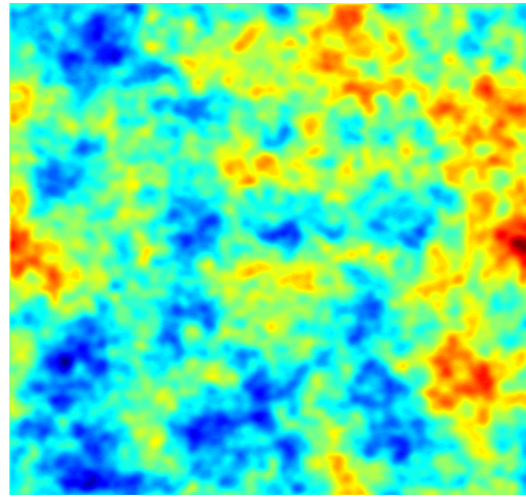


Extended Canny algorithm

Pure CMB+Beam

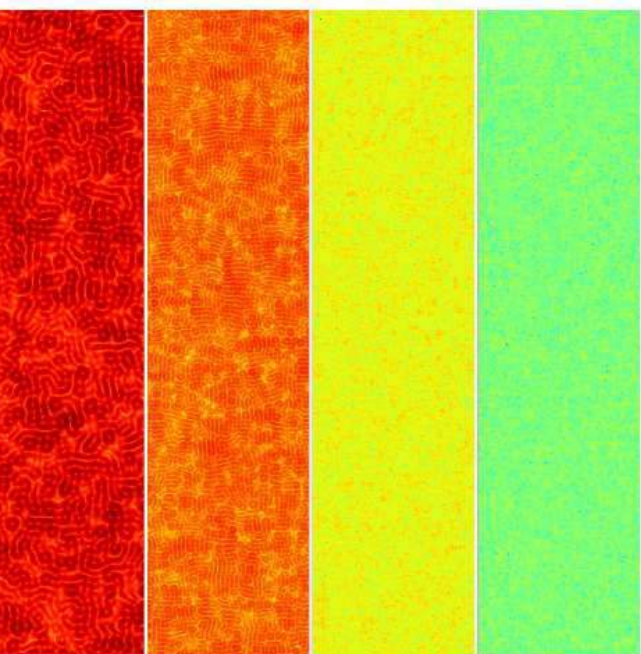
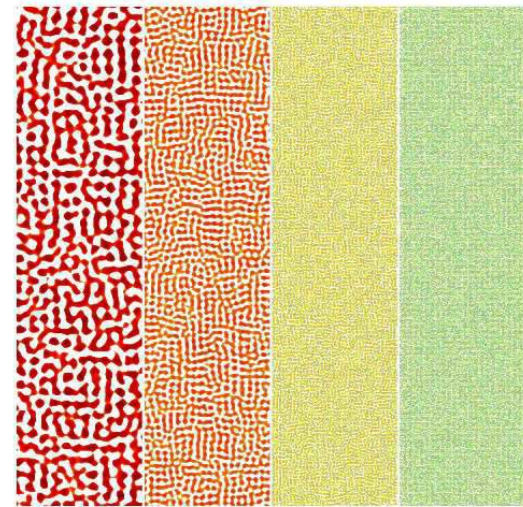
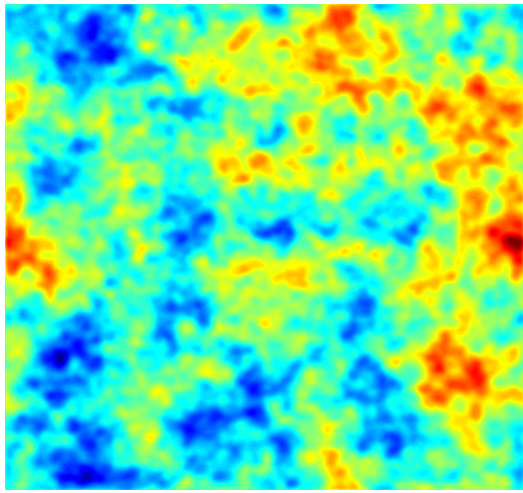


Pure CMB+CS+Beam

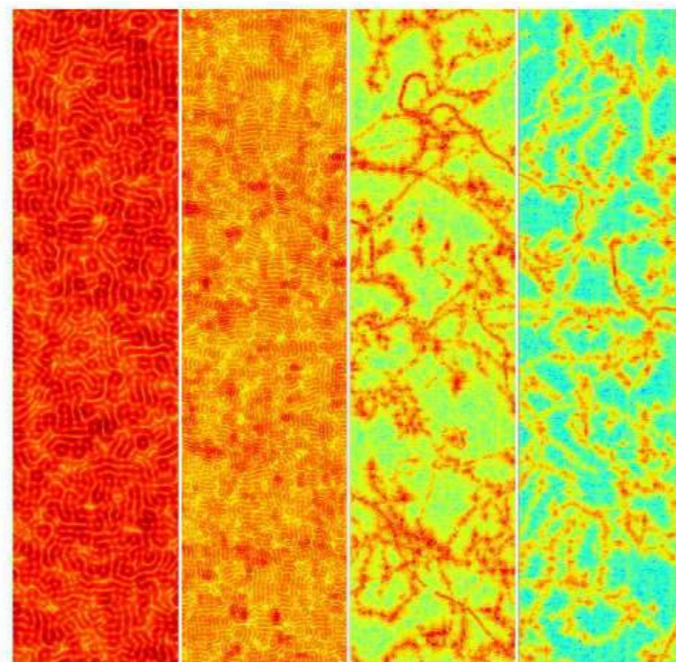
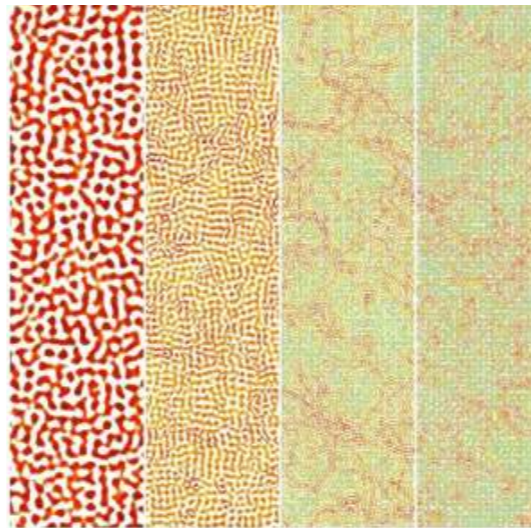
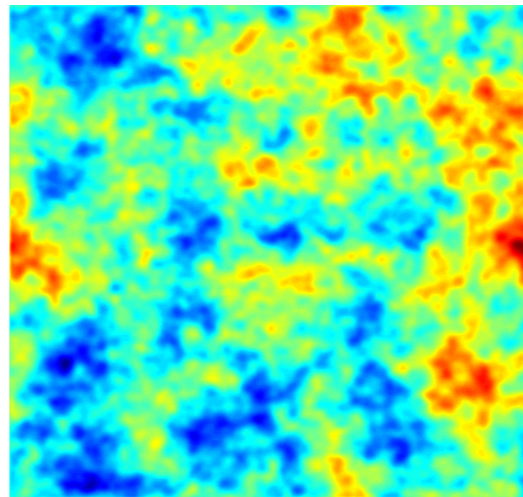


Extended Canny algorithm

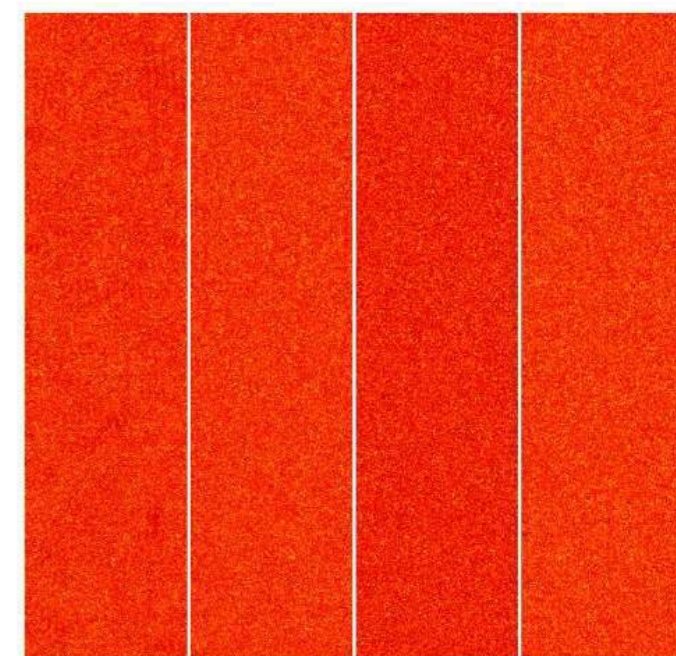
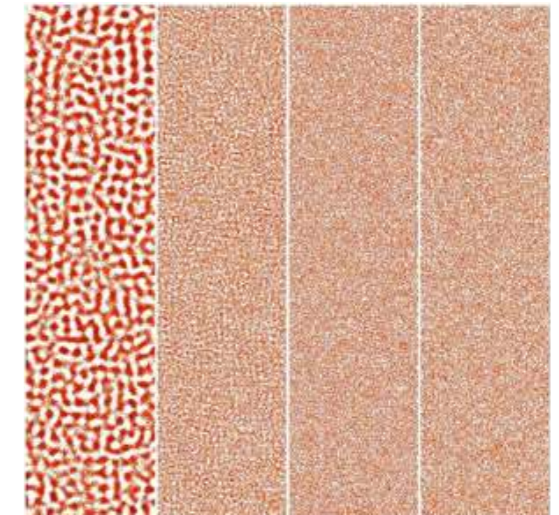
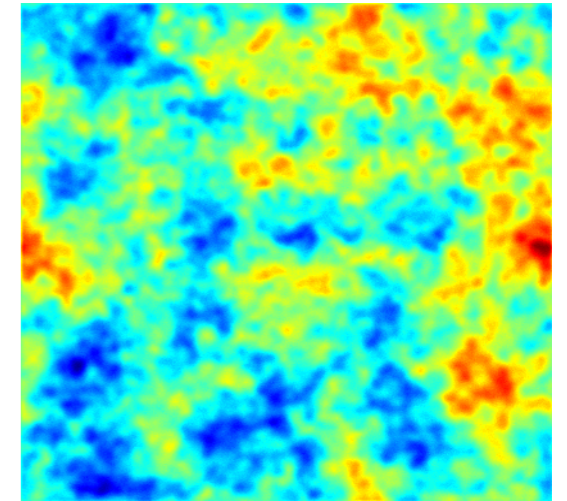
Pure CMB+Beam



Pure CMB+CS+Beam

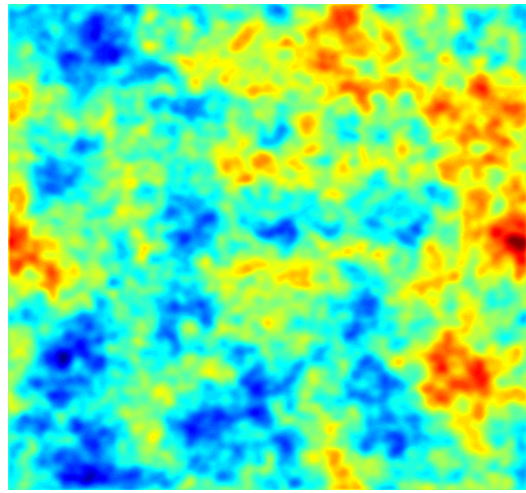


Pure CMB+CS+Beam+Noise

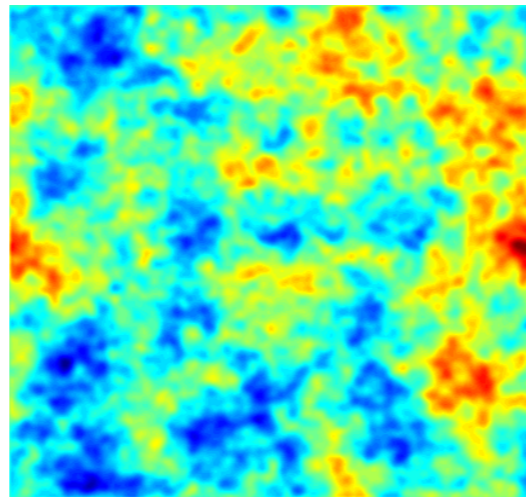


Extended Canny algorithm

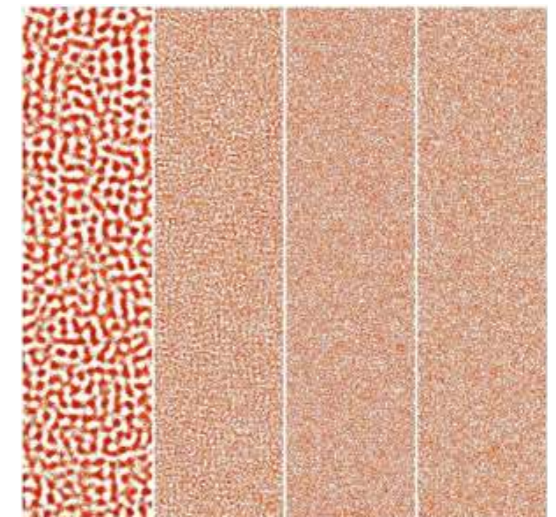
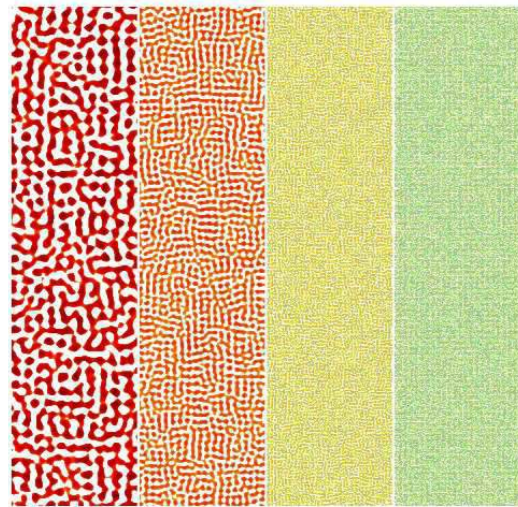
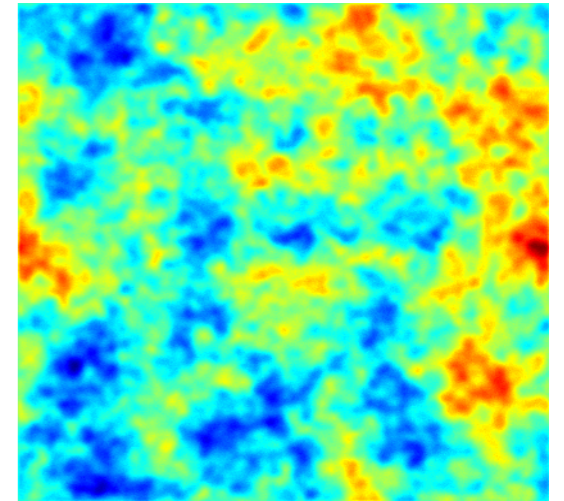
Pure CMB+Beam



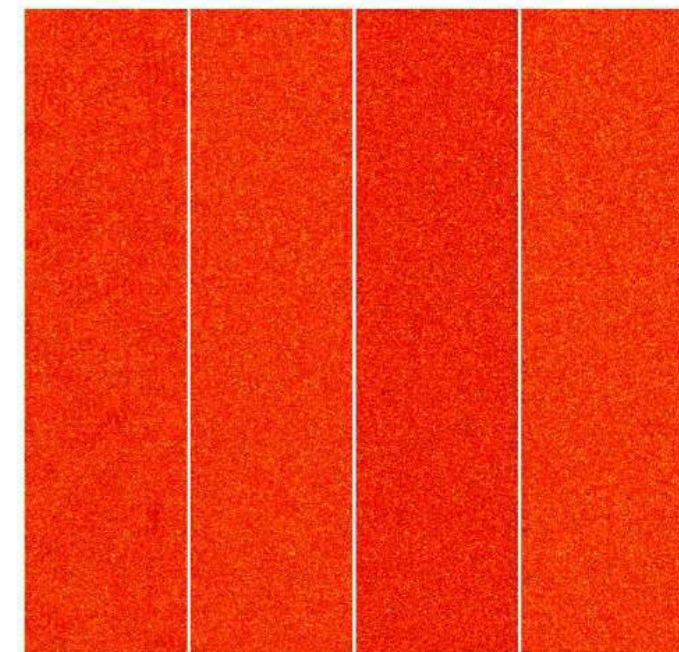
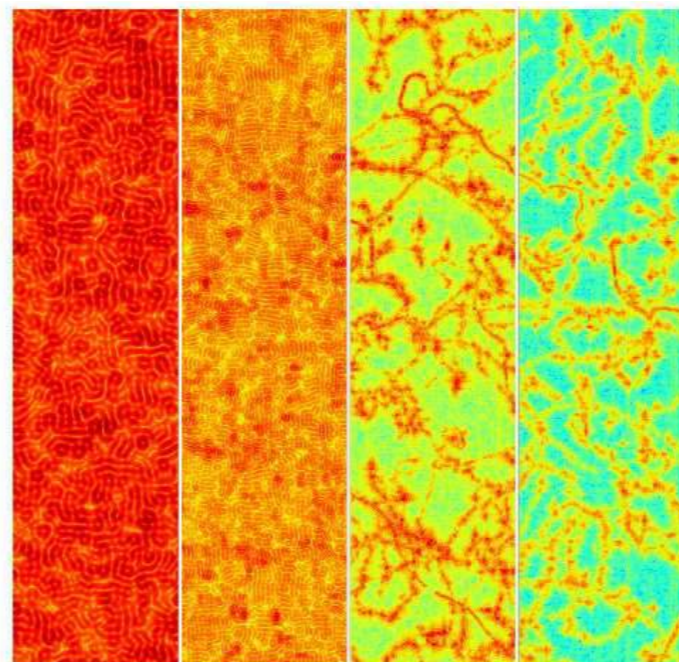
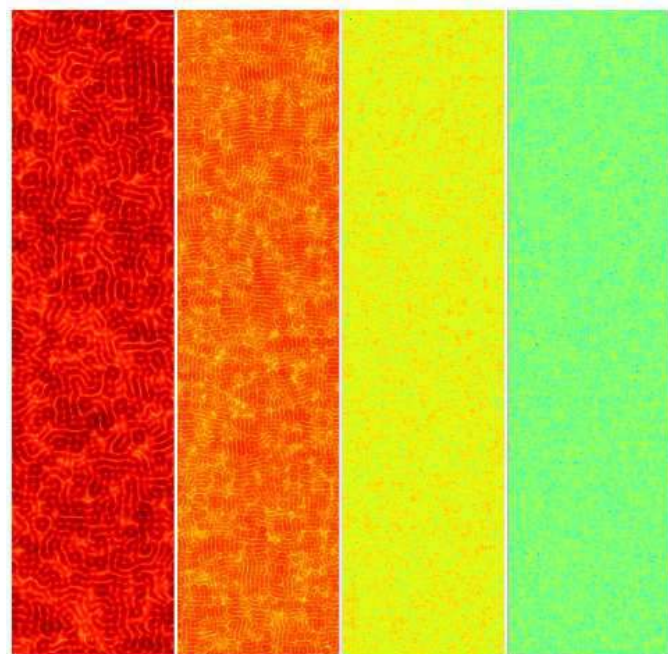
Pure CMB+CS+Beam



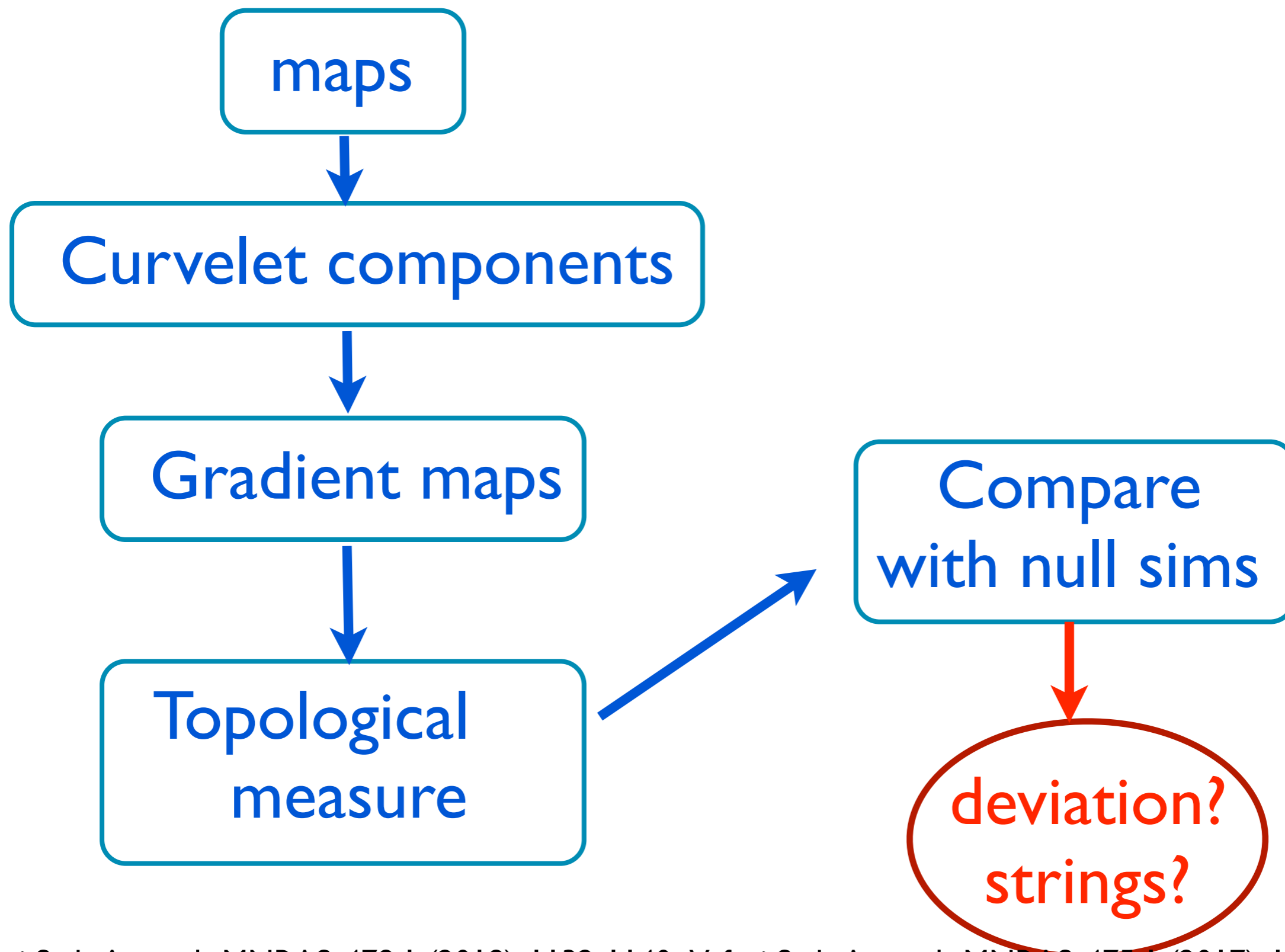
Pure CMB+CS+Beam+Noise

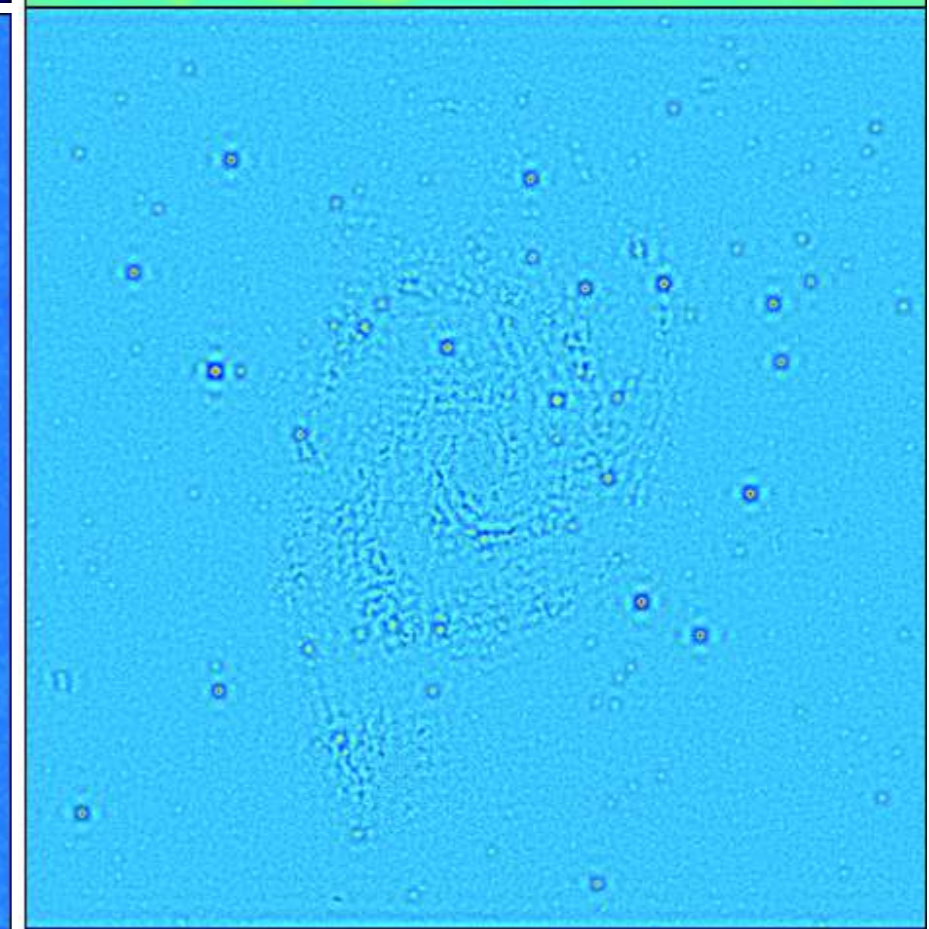
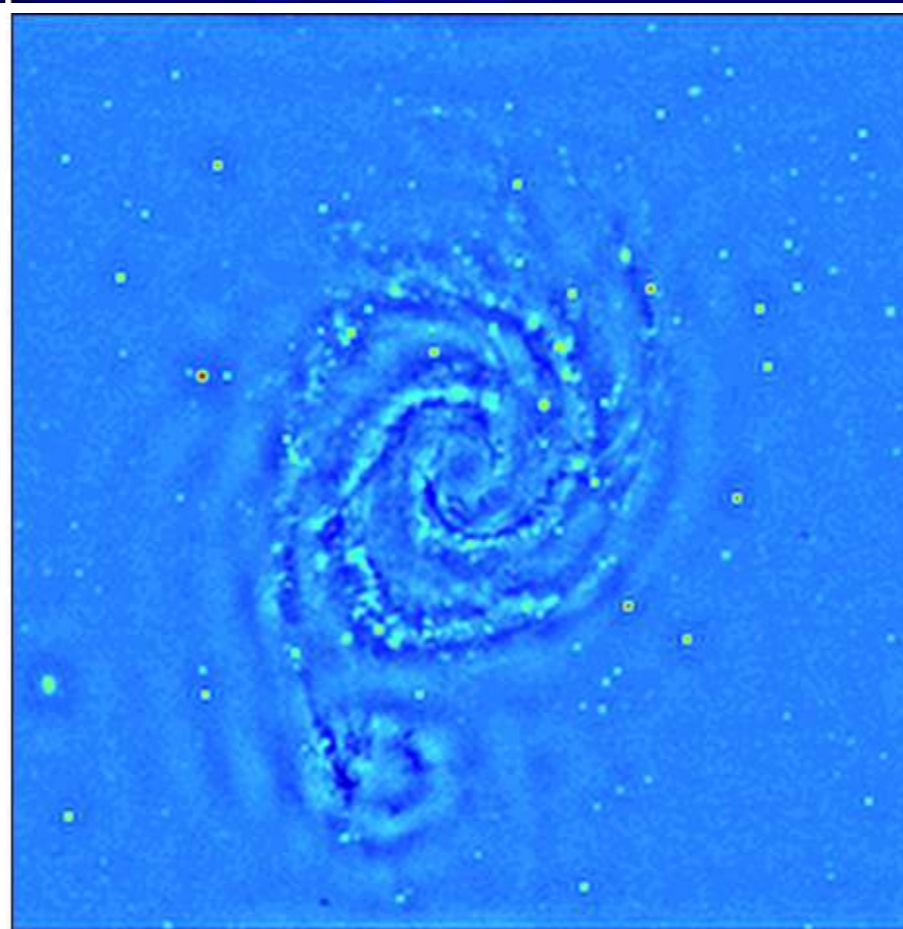
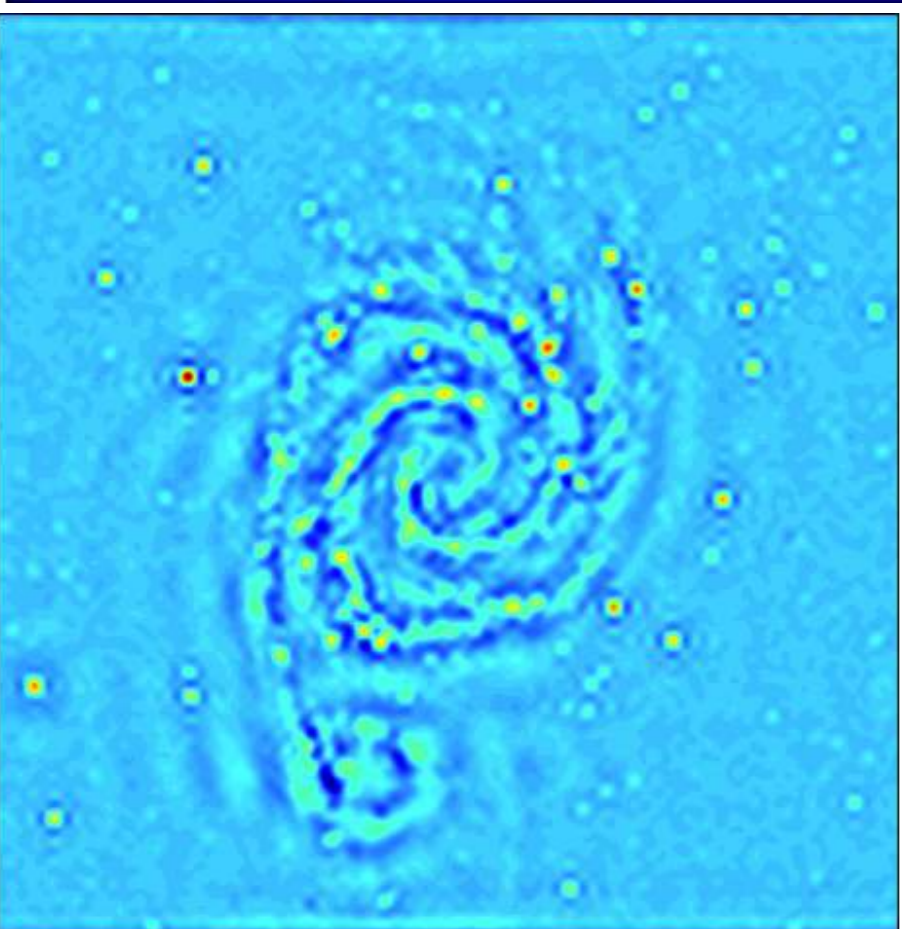
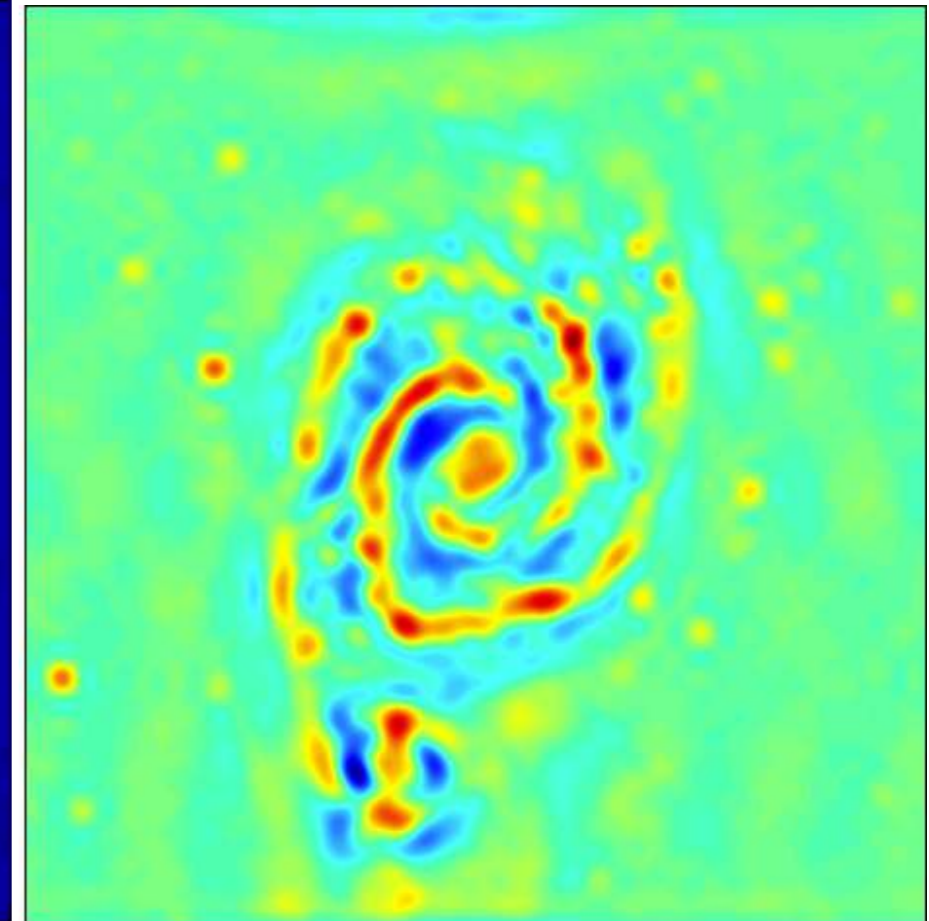
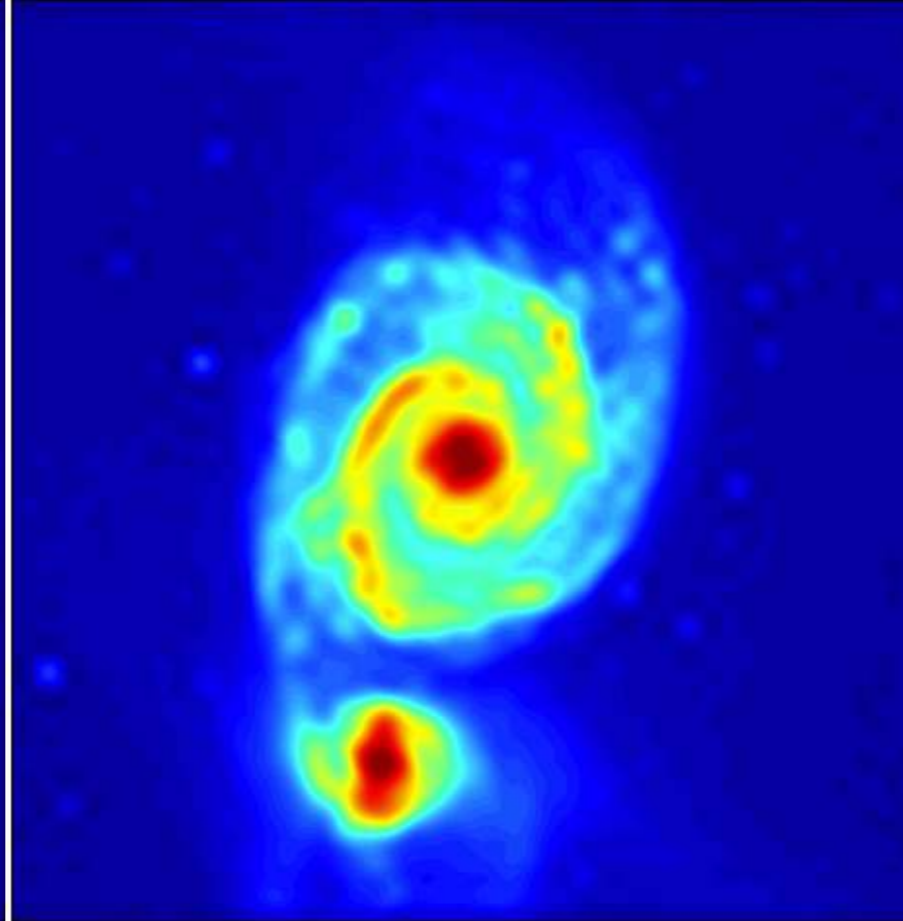
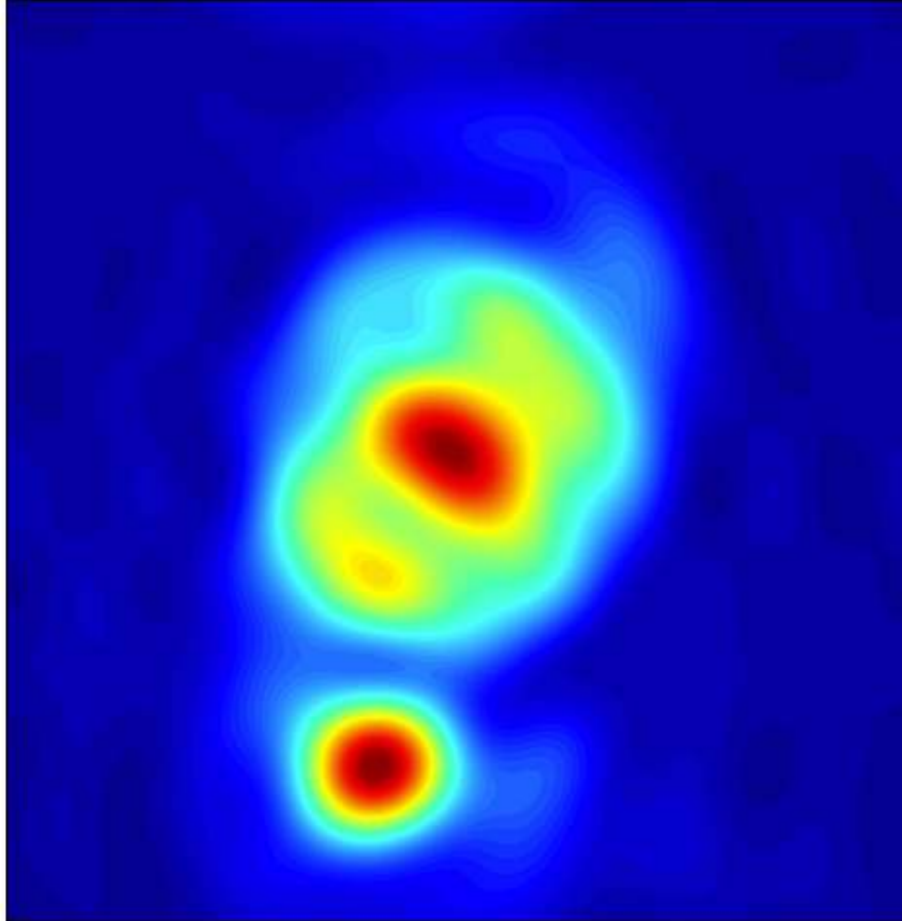


Statistics

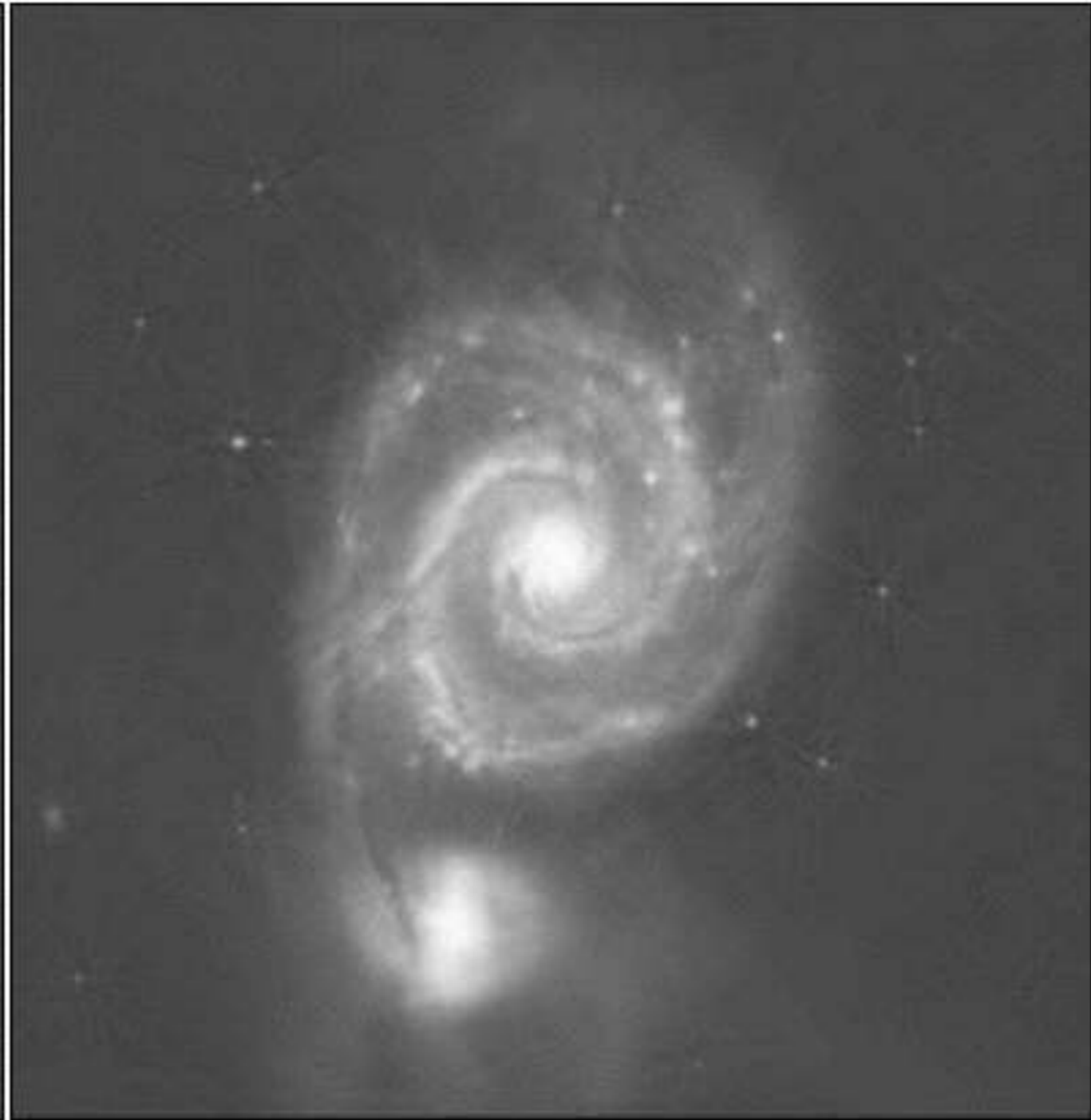


The Pipeline

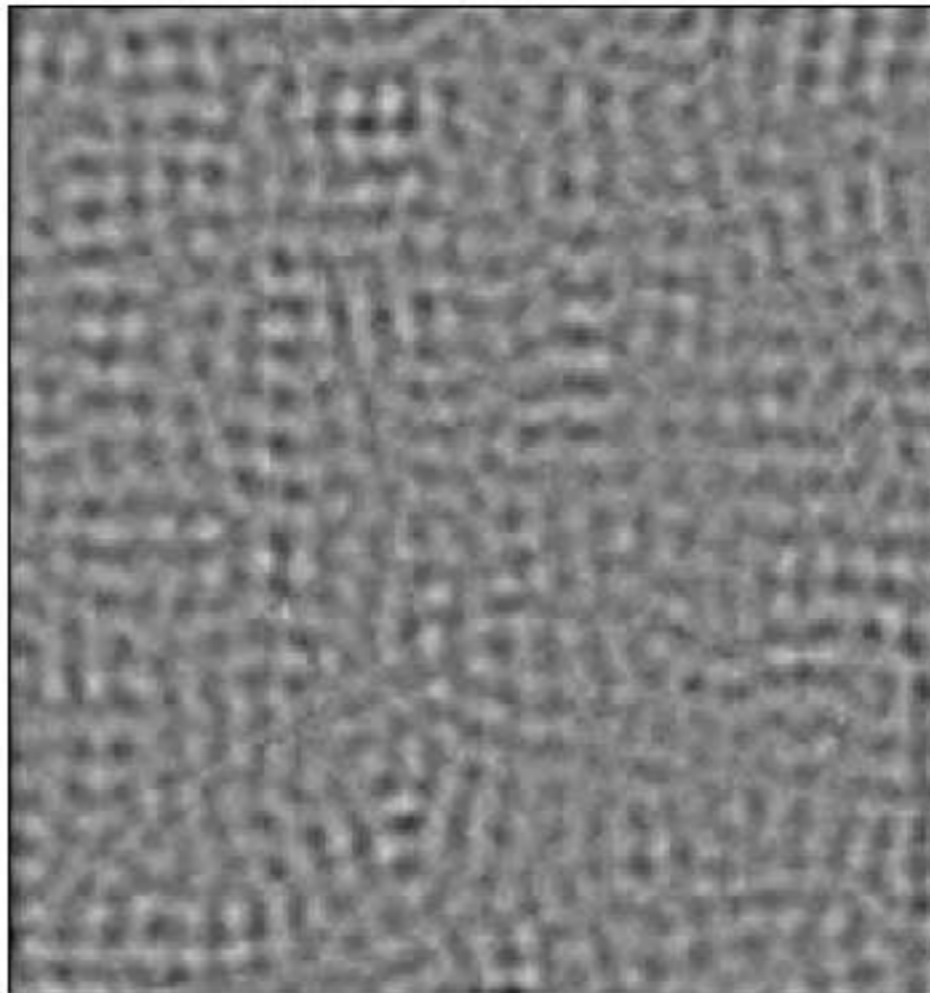
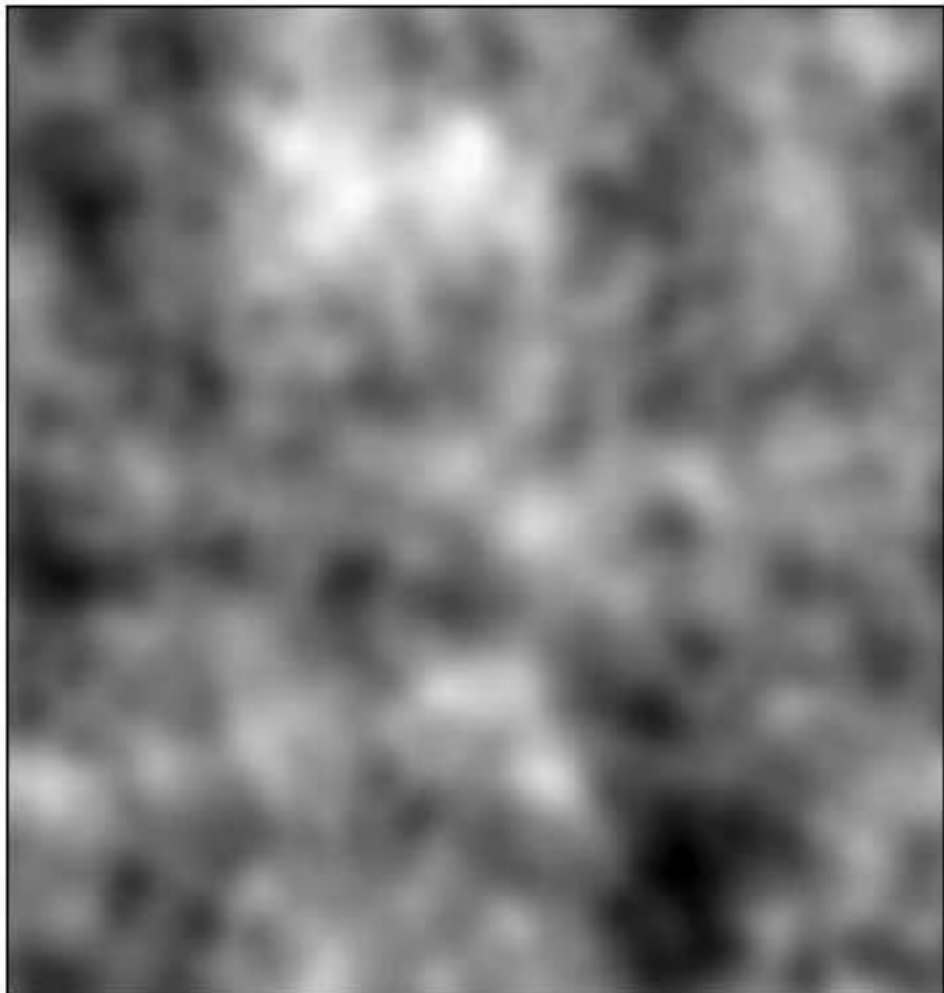
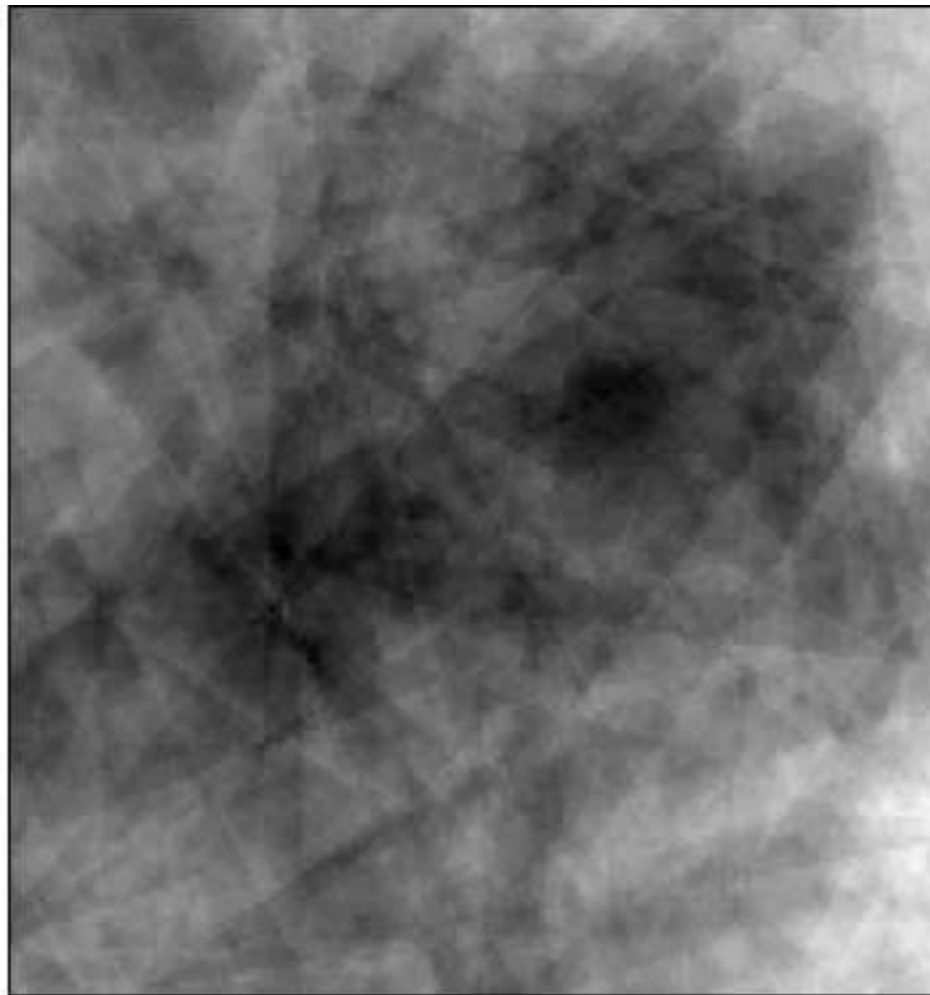
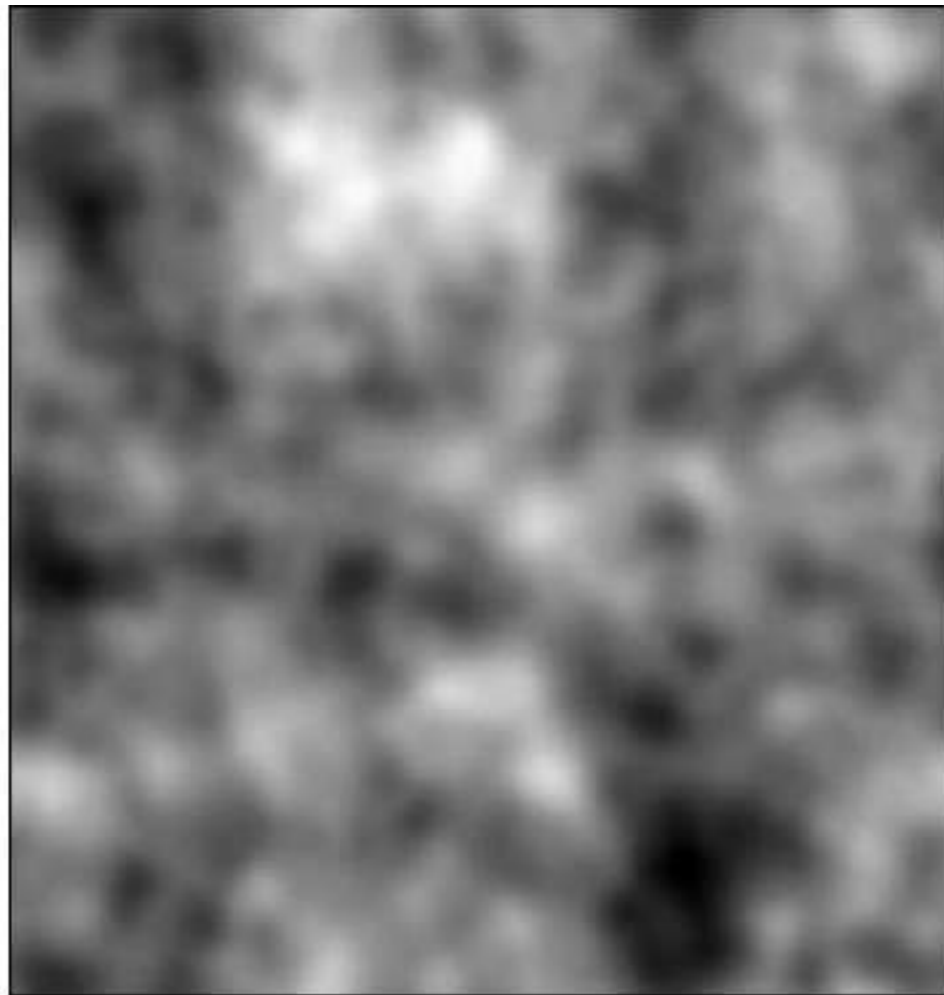




Whirlpool galaxy



شکل شامل نوفه (سمت چپ) و تصویری که توسط `curvelet` اصلاح شده است



WT-Application in Denoising



Boats image



Noisy image (additive Gaussian noise)



Boats image

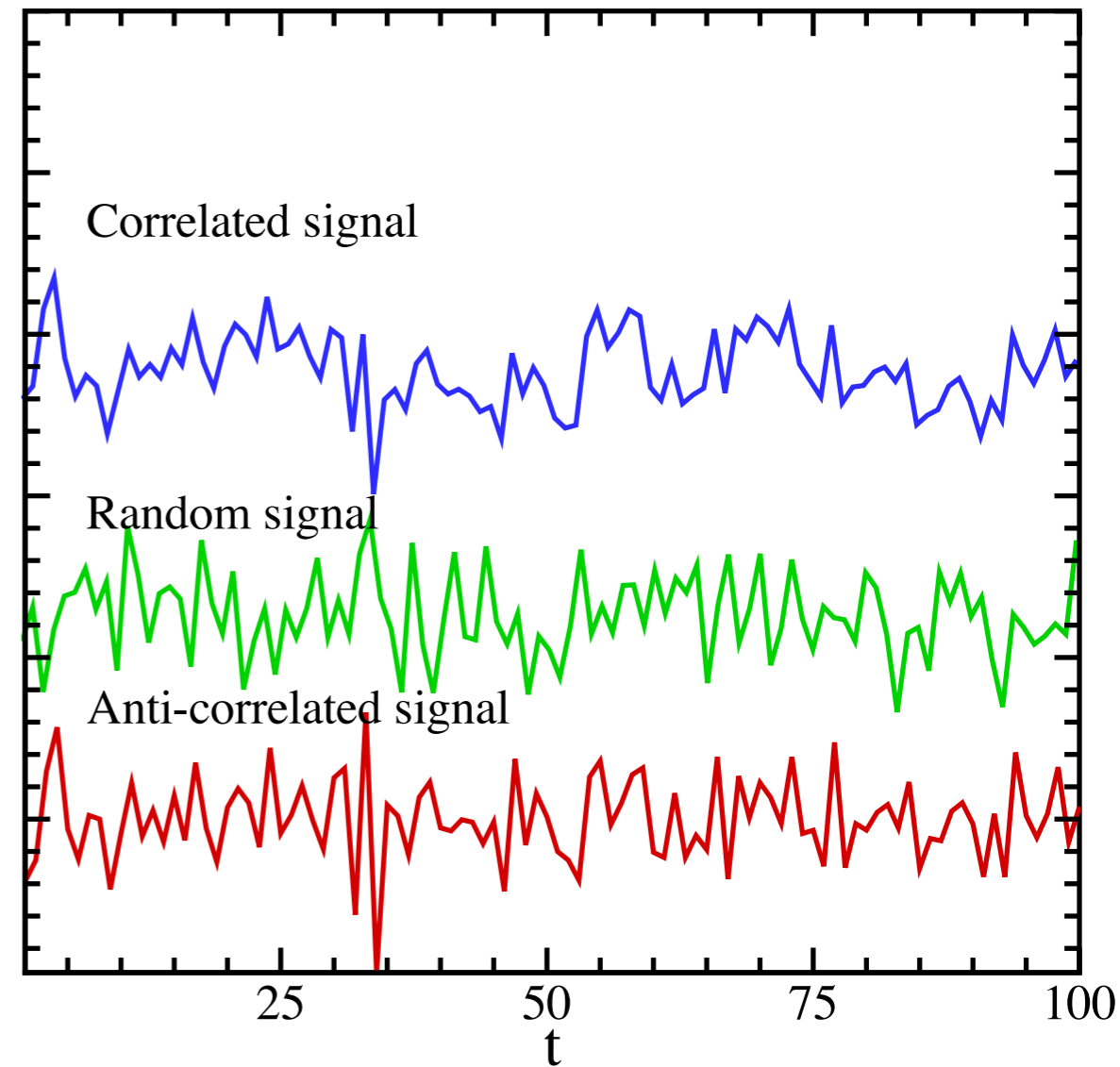


Denoised image using hard thresholding

Classification of time series based on Hurst exponent

$0 < H < 1$

- Correlated: $H > 0.5$
- Uncorrelated: $H = 0.5$
- Anti-correlated: $H < 0.5$



Scaling exponents

- Multifractal scaling exponent
- Generalized multifractal dimension
- Autocorrelation exponent
- Power spectrum scaling exponent
- Holder exponent
- Singularity spectrum

$$\tau(q) = qh(q) - 1$$

$$D(q) = \frac{\tau(q)}{q - 1}$$

$$\begin{cases} C(s) : s^{-\gamma} \\ C(i, j) : i^{-\gamma} + j^{-\gamma} - |i - j|^{-\gamma} \end{cases}$$

$$S(\omega) : \omega^{-\beta}$$

$$\alpha = \tau'(q)$$

$$\alpha = h(q) + qh'(q)$$

$$f(\alpha) = q[\alpha - h(q)] + 1$$

Exponent	1D-fGn	1D-fBm	2D-Cascade	2D-fBm
γ	$2 - 2H$	$-2H$	$1 - 2H$	$-1 - 2H$
β	$2H - 1$	$2H + 1$	$2H$	$2H + 2$

User manual for MF-DFA code written by Sadegh Movahed

1: You should write the name of your data file in it

2: To shuffled data set you should select YES here.

3: If you want to surrogate your data, select YES for this option

4: This value shows the number of shuffling data set.

5: Here you should determine the maximum and minimum no. of windows, i.e. if you select "10" for maximum and "2" for minimum, your data set is divided to 2 up to 10 non-overlapping windows.

6: If you want to calculate just $H=h(q=2)$ you should determine $q=2$, namely, $q_{max}=q_{min}=2$. To find the generalized Hurst exponent i.e. $h(q)$ versus q (moment exponent), must q_{min} and q_{max} to be different. Just in this case you can find the singularity spectrum for data set.

7: Here the step of moment exponent is determined.

8: In some case, we have to use double profile for data. It is done by the proper option in my program.

The name of output files are as follows:

- 1) hurst.txt gives generalized Hurst exponent versus q
- 2) log_f_s.txt gives the $\ln(F(s))$ versus $\ln(s)$
- 3) f_s.txt gives the fluctuation function versus " s "
- 4) tau.txt gives classical multifractal scaling exponent
- 5) D.txt gives generalized multifractal dimension
- 6) singularity.txt gives singularity spectrum
- 7) PDF.txt gives probability density function

The screenshot shows a graphical user interface for the MF-DFA code. It contains several input fields and buttons. Red arrows from the text on the left point to the following fields:

- Name of data file = input.txt
- Shuffling = No (dropdown menu)
- Surrogate = No (dropdown menu)
- Double Profile = No (dropdown menu)
- q_step = 0.5
- Number of Shuffling = 5
- Min_Window = 2
- Max_Window = 100
- q_max = 2.0
- q_min = 2.0
- Hurst = (empty text box)

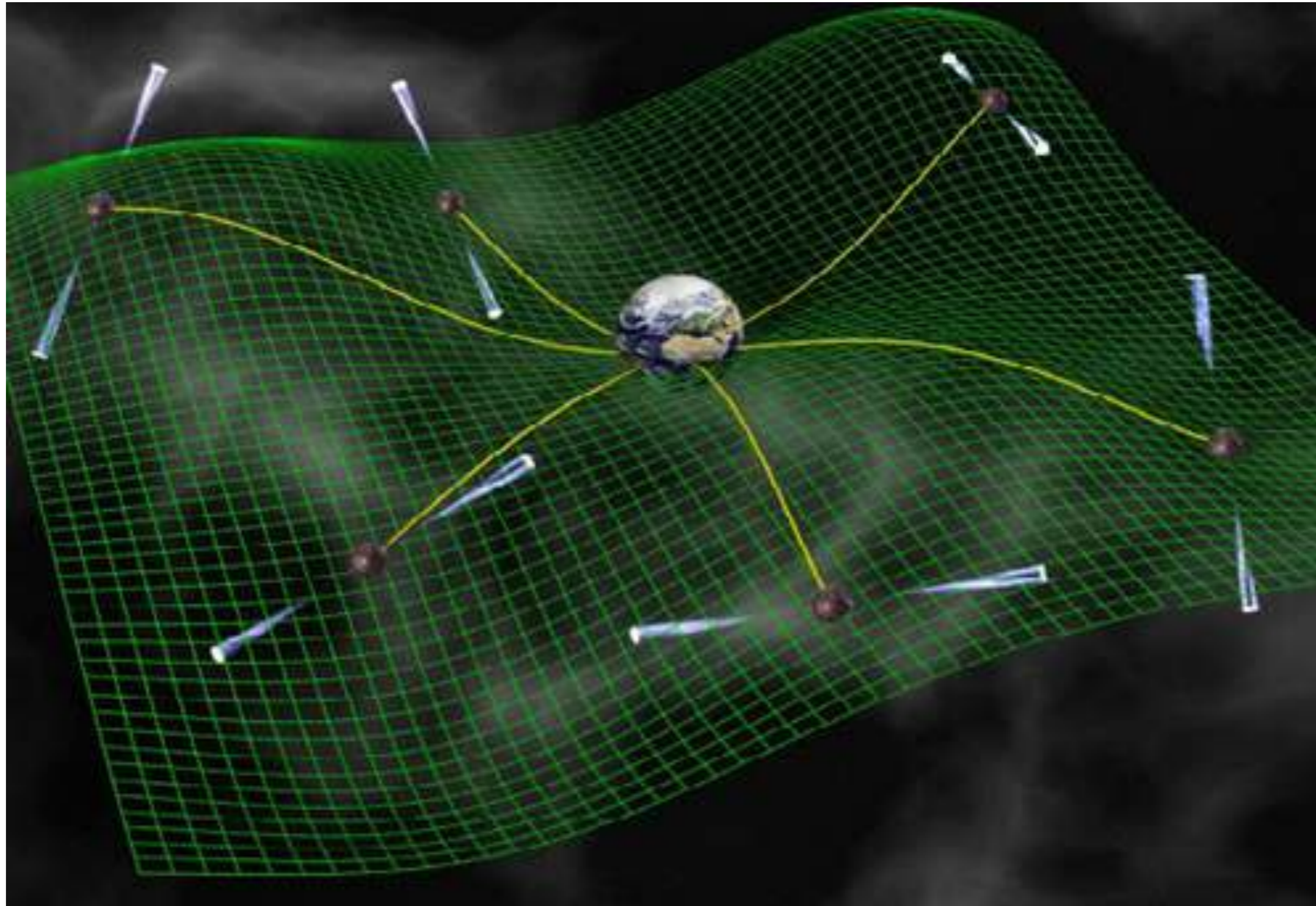
At the bottom of the window, there are two buttons: "RUN" and "CANCEL".

To know more visit

<http://facultymembers.sbu.ac.ir/movahed/>

Example: Gravitational Waves

Applications of Pulsar



Ierapetra, Crete

$$f \sim 1/(\text{weeks-years}) (10^{-6} - 10^{-9} \text{ Hz})$$

Pulsar

- It was observed for the first time on 1967 by Bell and Hewish
- Received Nobel prize on 1974.
- Fast rotating object: Period~ msec -sec
- Pulse periods can be measured with accuracies approaching 1 part in 10^{16}
- A best model for pulsar is Neutron star

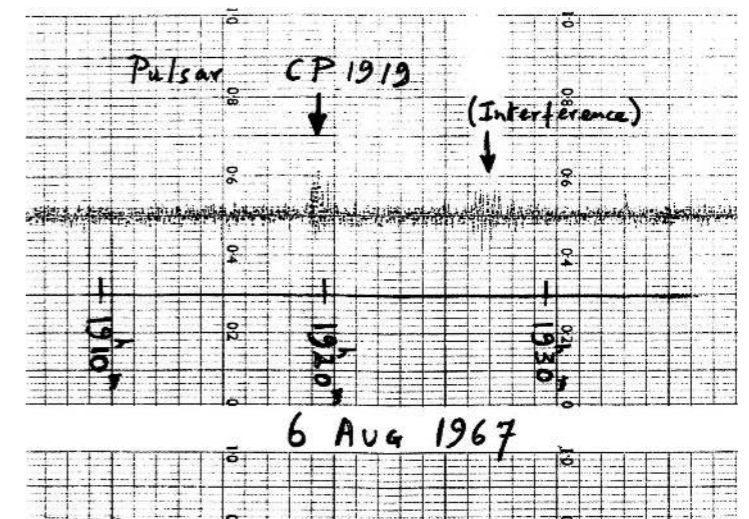
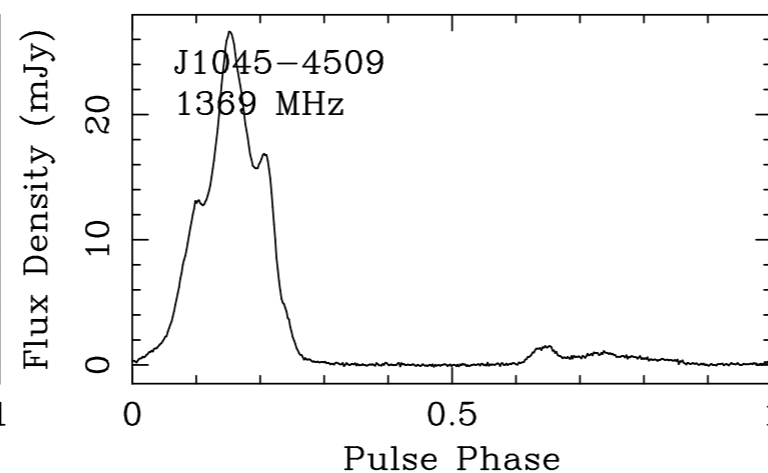
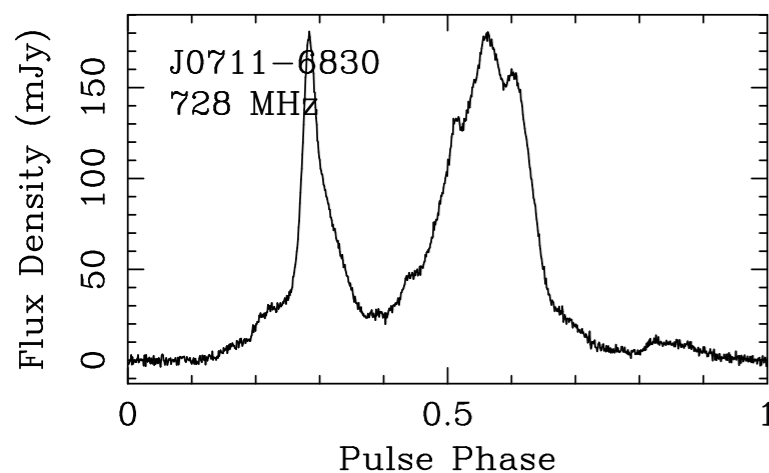
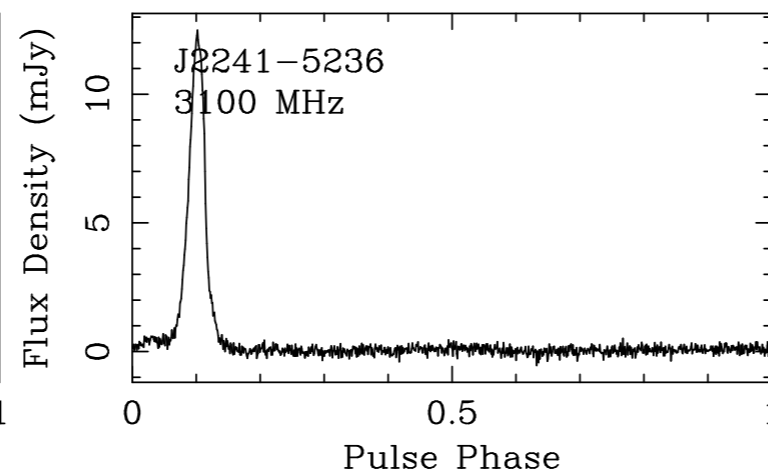
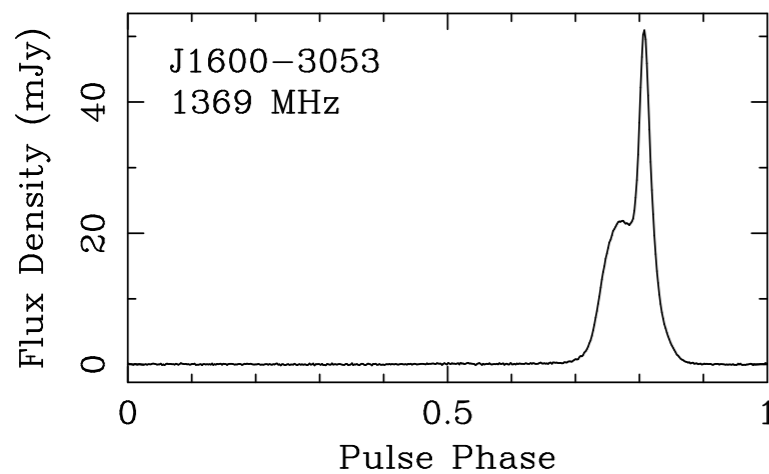


FIGURE 13 Discovery of the first pulsar, PSR 1919+21 (“CP” stands for Cambridge Pulsar). (Figure from Lyne and Graham-Smith, *Pulsar Astronomy*, ©Cambridge University Press, New York, 1990. Reprinted with the permission of Cambridge University Press.)

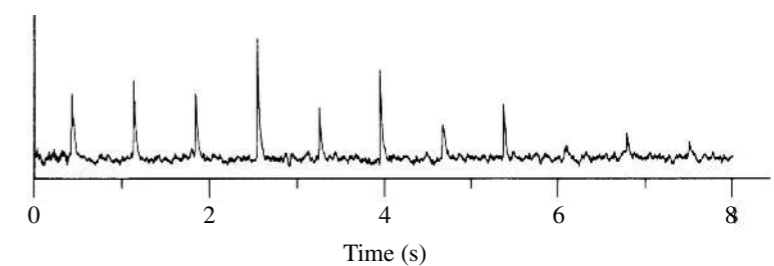
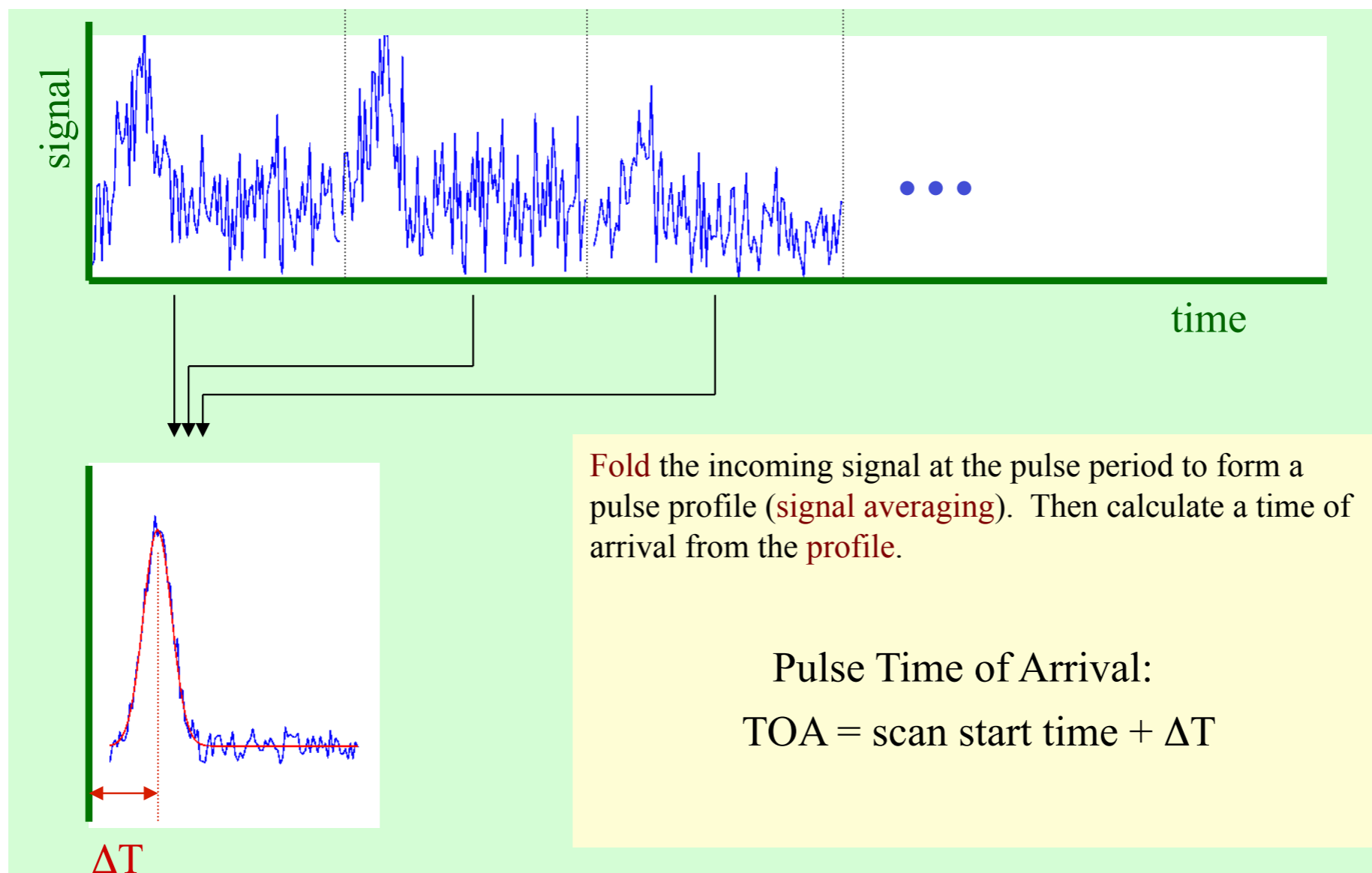


FIGURE 19 Pulses from PSR 0329+54 with a period of 0.714 s. (Figure adapted from Manchester and Taylor, *Pulsars*, W. H. Freeman and Co., New York, 1977.)

Pulsar's Time of Arrival

Pulsar timing is the regular monitoring of the rotation of pulsar by tracking (nearly exactly) the times of arrival of the radio pulses

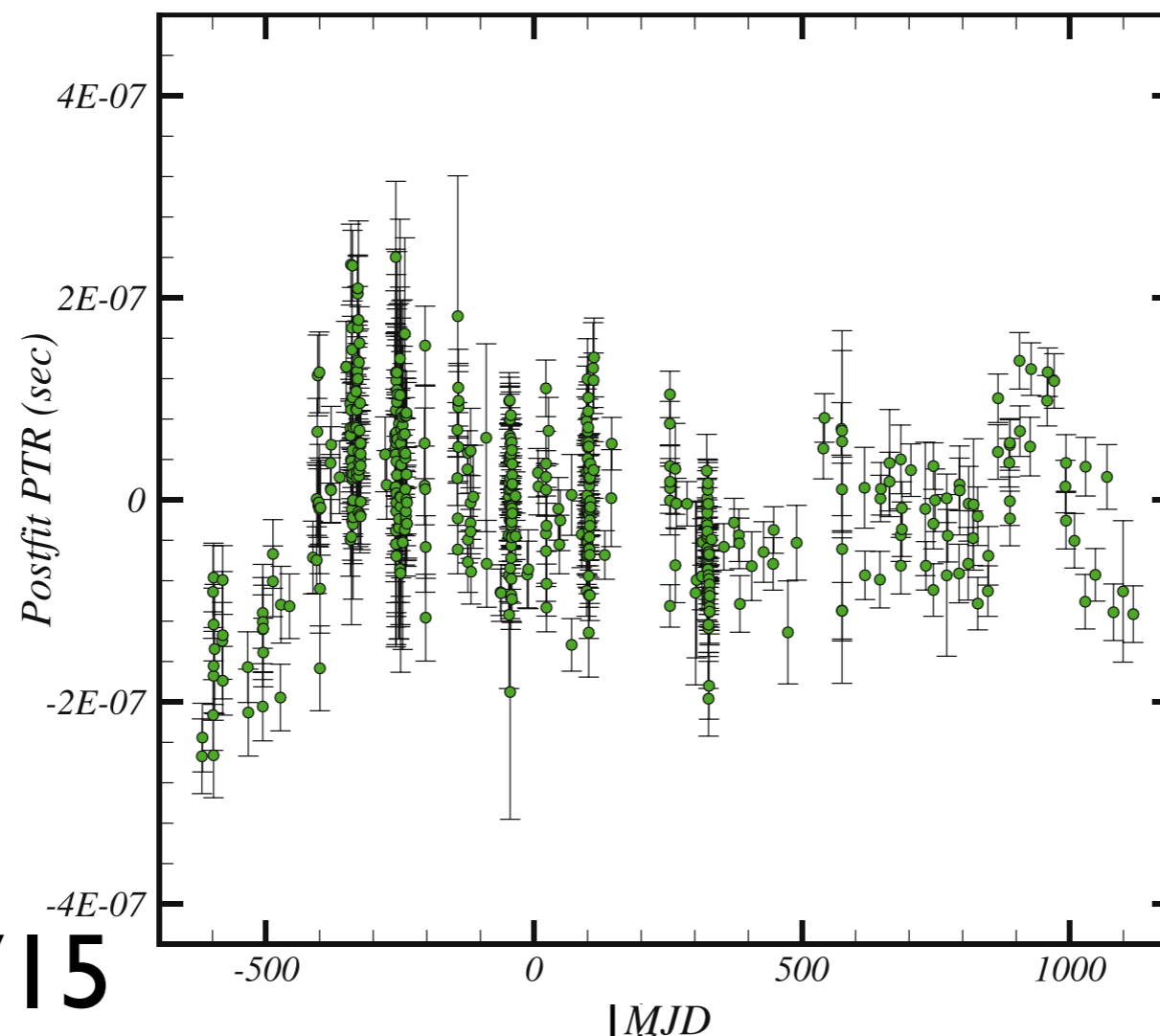


Pulsar's Timing residual

Residual is difference between measured pulse's time of arrival and expected time of arrival:

Residual=Observed ToA-Computed ToA or vice versa

$$\Delta t = \Delta_c + \Delta_A + \Delta_{E_\odot} + \Delta_{R_\odot} + \Delta_{S_\odot} - D/f^\gamma + \Delta_{VP} + \Delta_B$$



PSR J0437-4715

Pulsar Timing Array

- 1) Parkes Pulsar Timing Array (PPTA),
64-meter Radio Telescope from 1961
- 2) Square Kilometer Array (SKA)
- 3) International Pulsar Timing Array (IPTA)
- 4) European Pulsar Timing Array
(Including 5 radio telescopes)
- 5) Indian Pulsar Timing Array (2016)



San Basilio, Sardinia, Italy



Nançay, Nançay, France



Cheshire East, United Kingdom



Australia



Hooghalen, Netherlands



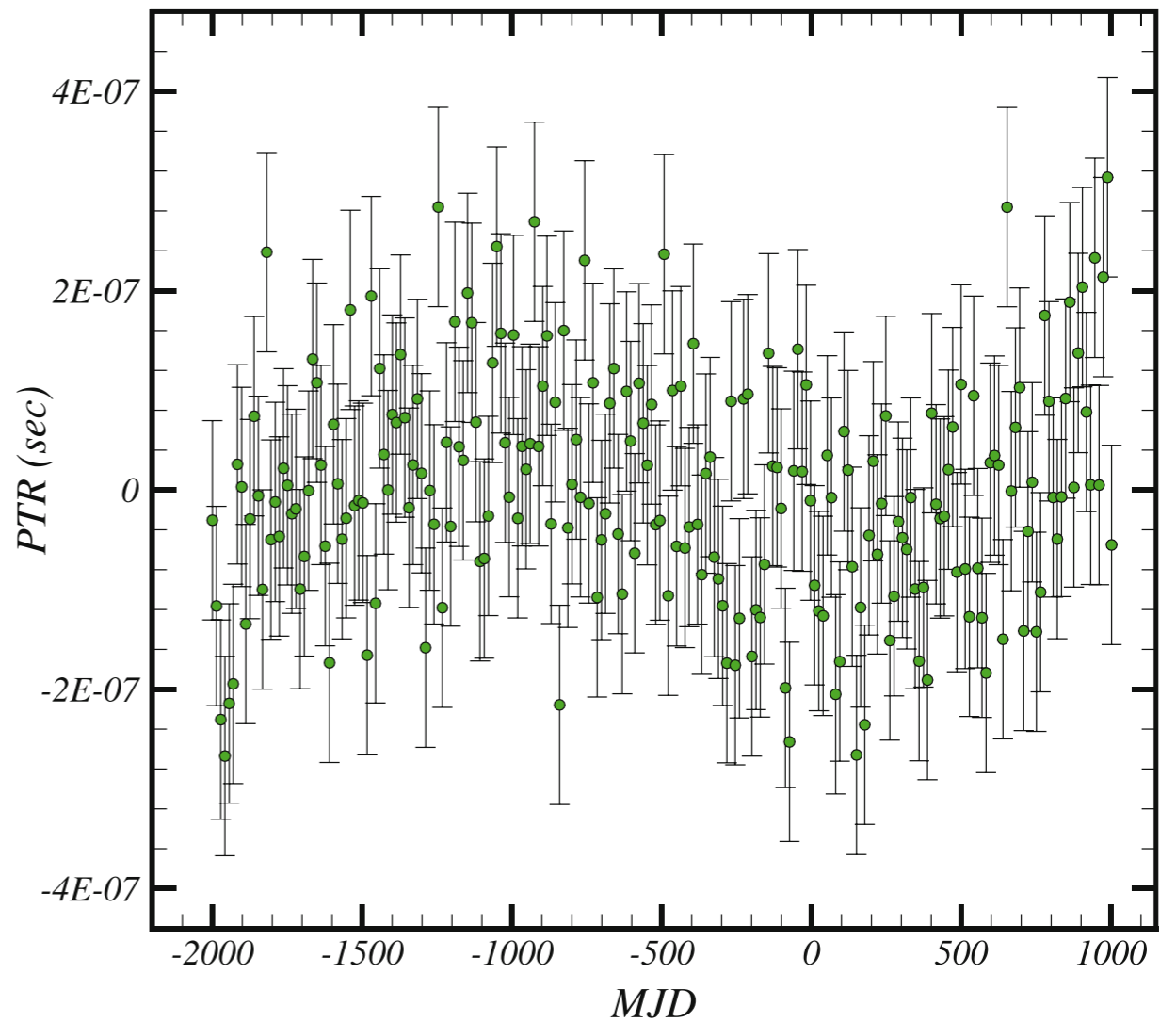
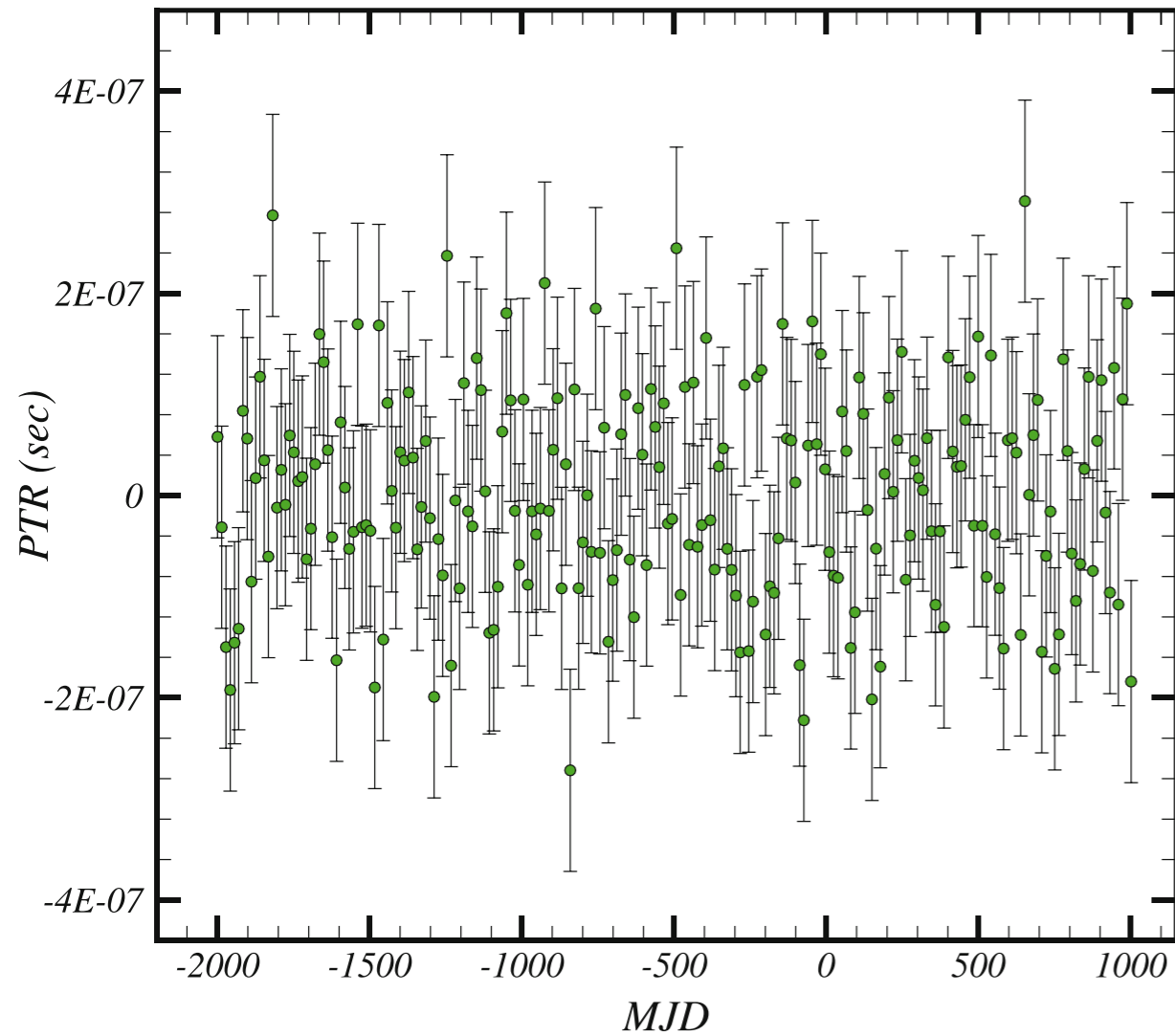
148 North Rhine-Westphalia, Germany

Synthetic Datasets

$$A_{\text{yr}} = 10^{-15}$$
$$\zeta = -2/3$$

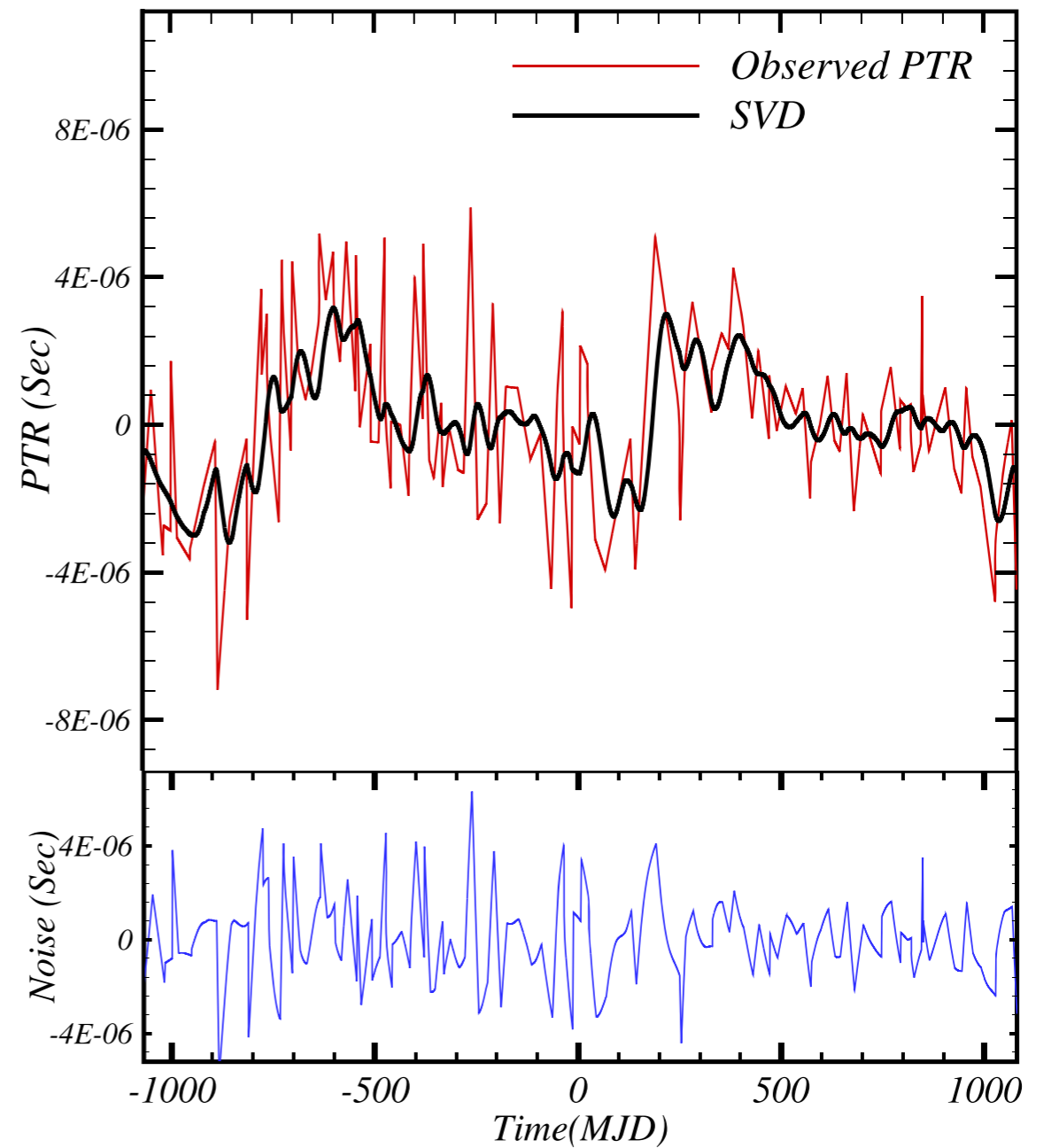
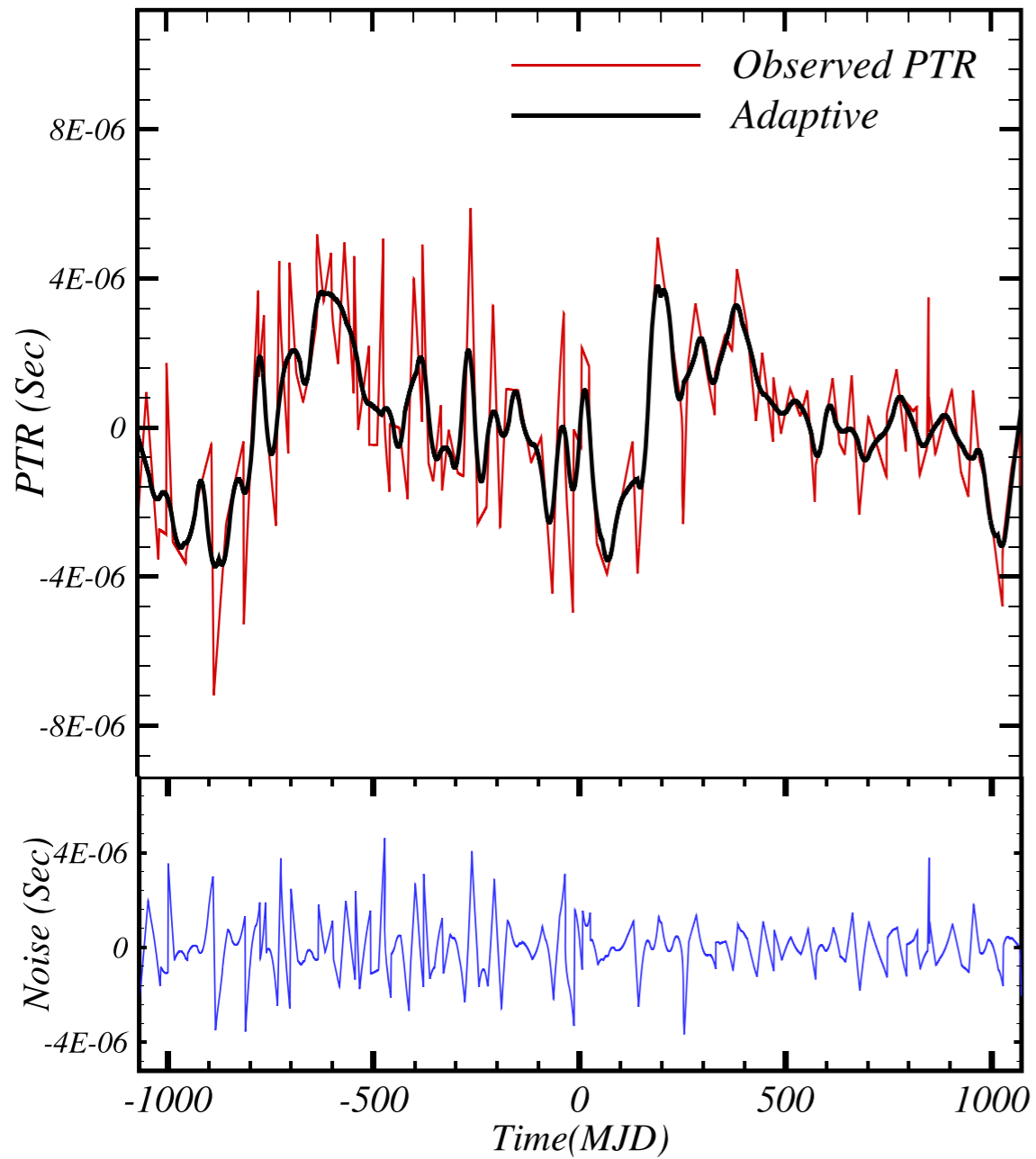
Pure PTR

PTR+GW



TEMPO2 software package

Trend and Noise models



کارگاه تحلیل داده‌ها مبتنی بر توپولوژی

۳ و ۲ شهریورماه ۱۴۰۱
دانشگاه فیزیک، دانشگاه شهید بهشتی

مخاطبان این کارگاه علاقه‌مندان به:

- هسولوری پایداری
- استخراج ناوردها و ساختارهای توپولوژیک از داده‌ها
- تحلیل داده‌های با ابعاد بالا
- کاربردهای روش‌های داده - محور برای تحلیل تلسه‌های پیچیده

کمیته برگزاری: علی صادقی، علی صالحی، مرصیه فرهنگ، آشغود کزایی، سیدمحمد صادق موحّد

مهرت ثبت نام ۱۴ مرداد ماه ۱۴۰۱
<http://ccg.sbu.ac.ir>

کارگاه‌های روش‌های نوین محاسباتی در فیزیک

۱۰ بهمن ۱۴۰۲
دانشگاه فیزیک، دانشگاه صنعتی اصفهان

پیش‌برنامه ششمین کنفرانس فیزیک محاسباتی ایران
<http://www.psi.ir/4/1cp1402>

حامد بخشیان (استاد استادیار)
روش‌های نوین آنالیز کلان‌داده‌ها
کارگاه عملی رایانش کوانتومی

سید طی حله‌موسویان (ارشدی‌نویس)، امین احمدی (ارشدی‌نویس)
شبه‌سازی سیستم‌های فیزیکی با زبان جولیا

سید وحید حسینی (شهادت‌یافته)، محمده عباس‌نژاد (دانشجوی ارشد)
معرفی مفاهیم روش Nudge Elastic Band و کاربردهای آن در فیزیک

سید سعید سیوف جهرم (تخصص‌تکمیل‌کننده)
شبکه‌های ناسوری برای سیستم‌های بی‌س‌دره‌ای

سید محمد صادق موحّد (شهادت‌یافته)، محمد حسن جلالی (کلیف‌یافته‌یافته)
استنتاج مبتنی بر شبیه‌سازی، روشی برای تعیین مقدار و خطای پارامترهای مدل‌های فیزیکی

کارگروه اجرایی: حامد بخشیان، پیمان صاحب‌سرا

فهرست سخنرانان: اصفهان، میدان استقلال، دانشگاه صنعتی اصفهان، دانشکده فیزیک
تلفن: ۰۲۱-۳۲۹۱۳۳۷۵
وبسایت: <https://physics.iut.ac.ir/Fa/1cp1402>
ایمیل: 1cp1402@iut.ac.ir

کارگاه مدل‌سازی داده

مهرت ثبت نام ۱۶ اردیبهشت ۱۳۹۷
۲۶ اردیبهشت ۱۳۹۷

Workshop on Data Modeling

آزمایشگاه میان‌رشته‌ای این سینا، دانشکده فیزیک، دانشگاه شهید بهشتی
In-Situ Multidisciplinary Laboratory, Department of Physics, Shahid Beheshti University

کمیته برگزاری: سیدمحمد صادق موحّد (دانشگاه شهید بهشتی)، مرصیه فرهنگ (دانشگاه شهید بهشتی)، حسین مصححی (دانشگاه شهید بهشتی)، سید علی‌رضا معنوی (دانشگاه شهید بهشتی)، مرصیه فرهنگ (دانشگاه شهید بهشتی)

موضوع: این کارگاه بر روی روش‌های جدید برای تحلیل داده‌های تجربی و نظری در فیزیک و سایر رشته‌های علمی متمرکز است. هدف از این کارگاه، تبادل نظر و همکاری بین محققان در زمینه‌های مختلف است.

موضوعات: $P(\mathbf{T}|\mathbf{D}) = \frac{L(\mathbf{D}|\mathbf{T})P(\mathbf{T})}{\int L(\mathbf{D}|\mathbf{T}')P(\mathbf{T}')d\mathbf{T}'}$, $CL = \int \delta L(\mathbf{T}, \mathbf{D}) d\mathbf{T}$, $\chi^2 = \sum_{i=1}^N \frac{(y_i - f(x_i))^2}{\sigma_i^2}$

کارگاه آشنایی با کدهای کیهان‌شناسی CAMB و CosmoMC

۲۷ اردیبهشت ۱۳۹۷
دانشگاه فیزیک، دانشگاه شهید بهشتی

مهرت ثبت نام ۱۶ اردیبهشت ۱۳۹۷
دانشگاه فیزیک، دانشگاه شهید بهشتی

کمیته برگزاری: مرصیه فرهنگ (دانشگاه شهید بهشتی)، حسین مصححی (دانشگاه شهید بهشتی)، سید علی‌رضا معنوی (دانشگاه شهید بهشتی)

موضوع: آشنایی با کدهای کیهان‌شناسی CAMB و CosmoMC. این کارگاه برای دانشجویان و محققان در زمینه کیهان‌شناسی و فیزیک ذرات طراحی شده است.

موضوعات: $\chi^2 = \sum_{i=1}^N \frac{(y_i - f(x_i))^2}{\sigma_i^2}$, $P(\mathbf{T}|\mathbf{D}) = \frac{L(\mathbf{D}|\mathbf{T})P(\mathbf{T})}{\int L(\mathbf{D}|\mathbf{T}')P(\mathbf{T}')d\mathbf{T}'}$

از توجه شما سپاسگزاریم

مدرسه و کارگاه تحلیل آماری میدان‌های کیهانی

مخاطبان این مدرسه علاقه‌مندان به:

- کشف الگوهای پنهان در داده‌های کیهانی
- کاوش در داده‌های بزرگ از مدل‌های جدید لنگس‌توب‌ها
- تحلیل آماری با هدف استخراج قوانین حاکم بر کیهان نخستین و امروز آن

درس‌ها: مرصیه فرهنگ، مرصیه فرهنگ، مرصیه فرهنگ، مرصیه فرهنگ، سیدمحمد صادق موحّد (دانشگاه شهید بهشتی)، سیدمحمد صادق موحّد (دانشگاه شهید بهشتی)

مهرت ثبت نام ۱۴ مرداد ماه ۱۴۰۱
<http://ccg.sbu.ac.ir>

دومین کارگاه یادگیری ماشین در فیزیک

Workshop on Machine Learning in Physics

دانشگاه فیزیک، دانشگاه شهید بهشتی

۲۸ و ۲۹ فروردین ماه ۹۸
مهرت ثبت نام: ۱۵ فروردین ماه ۹۸

برخی عناوین: آشنایی با اصول یادگیری ماشینی، شبکه‌های عصبی، آشنایی با تنسورفلو

کمیته برگزارکننده: علی صادقی (دانشگاه شهید بهشتی) و پژوهشگاه فیزیک (IPM)، مرصیه فرهنگ (دانشگاه شهید بهشتی)، سیدمحمد صادق موحّد (دانشگاه شهید بهشتی) و پژوهشگاه فیزیک (IPM)، سید مهدی واعظ‌عقایی (دانشگاه تهران) و پژوهشگاه فیزیک (IPM)، علیرضا وفايي (دانشگاه شهید بهشتی) و پژوهشگاه فیزیک (IPM)

مدرسین: دکتر سیدمحمد صادق موحّد (دانشگاه شهید بهشتی)، دکتر حسین مصححی (دانشگاه شهید بهشتی)، (آزمایشگاه میان‌رشته‌ای این سینا، دانشگاه شهید بهشتی)

موضوع: آشنایی با اصول یادگیری ماشینی در فیزیک. این کارگاه برای دانشجویان و محققان در زمینه فیزیک و یادگیری ماشین طراحی شده است.

موضوعات: $\chi^2 = \sum_{i=1}^N \frac{(y_i - f(x_i))^2}{\sigma_i^2}$, $P(\mathbf{T}|\mathbf{D}) = \frac{L(\mathbf{D}|\mathbf{T})P(\mathbf{T})}{\int L(\mathbf{D}|\mathbf{T}')P(\mathbf{T}')d\mathbf{T}'}$

کارگاه یادگیری ماشین در فیزیک

Workshop on Machine Learning in Physics

دانشگاه فیزیک، دانشگاه شهید بهشتی

۲۸ و ۲۹ فروردین ماه ۹۸
مهرت ثبت نام: ۱۵ فروردین ماه ۹۸

برخی عناوین: آشنایی با اصول یادگیری ماشینی، شبکه‌های عصبی، آشنایی با تنسورفلو

کمیته برگزارکننده: علی صادقی (دانشگاه شهید بهشتی) و پژوهشگاه فیزیک (IPM)، مرصیه فرهنگ (دانشگاه شهید بهشتی)، سیدمحمد صادق موحّد (دانشگاه شهید بهشتی) و پژوهشگاه فیزیک (IPM)، سید مهدی واعظ‌عقایی (دانشگاه تهران) و پژوهشگاه فیزیک (IPM)، علیرضا وفايي (دانشگاه شهید بهشتی) و پژوهشگاه فیزیک (IPM)

مدرسین: دکتر سیدمحمد صادق موحّد (دانشگاه شهید بهشتی)، دکتر حسین مصححی (دانشگاه شهید بهشتی)، (آزمایشگاه میان‌رشته‌ای این سینا، دانشگاه شهید بهشتی)

موضوع: آشنایی با اصول یادگیری ماشینی در فیزیک. این کارگاه برای دانشجویان و محققان در زمینه فیزیک و یادگیری ماشین طراحی شده است.

موضوعات: $\chi^2 = \sum_{i=1}^N \frac{(y_i - f(x_i))^2}{\sigma_i^2}$, $P(\mathbf{T}|\mathbf{D}) = \frac{L(\mathbf{D}|\mathbf{T})P(\mathbf{T})}{\int L(\mathbf{D}|\mathbf{T}')P(\mathbf{T}')d\mathbf{T}'}$

کارگاه یادگیری ماشین در فیزیک

Workshop on Machine Learning in Physics

دانشگاه فیزیک، دانشگاه شهید بهشتی

۲۸ و ۲۹ فروردین ماه ۹۸
مهرت ثبت نام: ۱۵ فروردین ماه ۹۸

برخی عناوین: آشنایی با اصول یادگیری ماشینی، شبکه‌های عصبی، آشنایی با تنسورفلو

کمیته برگزارکننده: علی صادقی (دانشگاه شهید بهشتی) و پژوهشگاه فیزیک (IPM)، مرصیه فرهنگ (دانشگاه شهید بهشتی)، سیدمحمد صادق موحّد (دانشگاه شهید بهشتی) و پژوهشگاه فیزیک (IPM)، سید مهدی واعظ‌عقایی (دانشگاه تهران) و پژوهشگاه فیزیک (IPM)، علیرضا وفايي (دانشگاه شهید بهشتی) و پژوهشگاه فیزیک (IPM)

مدرسین: دکتر سیدمحمد صادق موحّد (دانشگاه شهید بهشتی)، دکتر حسین مصححی (دانشگاه شهید بهشتی)، (آزمایشگاه میان‌رشته‌ای این سینا، دانشگاه شهید بهشتی)

موضوع: آشنایی با اصول یادگیری ماشینی در فیزیک. این کارگاه برای دانشجویان و محققان در زمینه فیزیک و یادگیری ماشین طراحی شده است.

موضوعات: $\chi^2 = \sum_{i=1}^N \frac{(y_i - f(x_i))^2}{\sigma_i^2}$, $P(\mathbf{T}|\mathbf{D}) = \frac{L(\mathbf{D}|\mathbf{T})P(\mathbf{T})}{\int L(\mathbf{D}|\mathbf{T}')P(\mathbf{T}')d\mathbf{T}'}$